# UNIVERSIDADE ESTADUAL DE CAMPINAS INSTITUTO DE BIOLOGIA

Este exemplar corresponde à rado est fival da tese de feudido pela sur Nidia Majerousie; Gornia, e aprovoda pela Comissão Julgadora Unicomp, 25 de Abril de 1984

Moro R. frifilif.

Parado de Grandia Diegodora

ESTUDO DA DIFERENCIAÇÃO E CRESCIMENTO DE GEMAS FLORAIS DE COFFEA ARABICA L.

OBSERVAÇÕES SOBRE ANTESE E MATURAÇÃO DOS FRUTOS

NIDIA MAJEROWICZ GOUVEIA
Orientador: Prof. Dr. MARO R. SÖNDAHL

Tese apresentada ao Instituto de Biologia da Universidade Estadual de Campinas, para obtenção do título de MESTRE EM BIOLOGIA - AREA DE BIOLOGIA VECTAL

TÍTULO: MESTRE EM CIÊNCIAS BIOLÓGICAS - ÁRCA BIOLOGIA. VEGETAL.

ABRIL 1984

#### Agradecimentos

- Ao Professor Maro R. Sondahl pela orientação, apoio irres trito, incentivo e pela amizade.
- Ao Dr. Coaracy M. Franco e ao Dr. Alcides Carvalho pelas valiosas sugestões e pelo apoio durante a execução deste trabalho.
- À Pesquisadora-Científica Marinez M. Alves de Lima pela colaboração, pelas sugestões e pela amizade.
- Aos Pesquisadores-Científicos Herculano P. Medina Filho e Luiz C.Fazuoli pelo apoio e a Seção de Genética do Insti tuto Agronômico de Campinas (IAC) pelo suporte humano e material indispensavel para a realização deste trabalho.
- Ao Pesquisador-Científico Sergio Vasco de Toledo e à Se ção de Café do Instituto Agronômico por ter colocado à nossa disposição grande parte dos cafeeiros utilizados neste trabalho.
- À Pesquisadora-Científica Dixier M. Medina pela colabora ção nos estudos de histologia e aos Pesquisadores Científicos Rubens R.A. Lordello e Condorcet Aranha pelas facilidades nos trabalhos de microscopia ótica e fotomicrografias.
- Ao Pesquisador-Científico Carlos J. Rosseto pelo auxílio na realização das fotografias em lupa estereoscópica.
- Ao Pesquisador-Científico Toshio Igue pelo auxílio na an $\underline{\bar{a}}$  lise estatística dos dados.
- Ao Dr. Ângelo P. de Camargo pelas informações e dados  $p\underline{a}$  ra a elaboração das curvas de balanço hídrico e à Seção de Climatologia do Instituto Agronômico.

- Às bibliotecárias M. Lucia N. Dutra de Castro, Neide Zama riolli e Regina R.B. Neves e funcionários da Biblioteca do Instituto Agronômico pela atenção e eficiência na obtenção das referências bibliográficas.
- À Sra. Maria G. Guaraldo pelo prestimoso auxílio em várias etapas deste trabalho e à auxiliar técnica Marley Macareli pela colaboração nos trabalhos de campo e de laboratório.
- Aos professores Antonio C. Magalhães, Ladaslav Sodek e Ivany F.M. Valio pela revisão crítica deste trabalho e pelas sugestões apresentadas.
- Ao Professor Luiz G. Labouriau pelas sugestões no campo da estatística, pelas bibliografias e pelo incentivo .
- Ao Professor A. Constantino de Campos por ter contribuído para a minha formação inicial na área de fisiologia vege tal e pelo incentivo.
- Ao Instituto Brasileiro do Café (IBC) e à Fundação de Amparo à Pesquisa do Estado de São Paulo (FAPESP).

Um agradecimento especial ao meu marido, Gilberto Gouveia, companheiro, amigo e solidário em todos os momentos.

# INDICE

I. INTRODUÇÃO	e • •	I
II. REVISÃO DE LITERATURA		4
1. Crescimento e florescimento em C. arabica		4
1.1. Regiões cafeeiras de Quenia		7
1.2. Regiões cafeeiras da Colombia		8
1.3. Regiões cafeeiras da Índia	• • •	10
1.4. Regiões cafeeiras do Brasil		11
1.5. Fisiologia do crescimento	• • •	12
2. Aspectos morfológicos		16
3. Indução e diferenciação de gemas reprodutivas	• •	21
3.1. Fotoperiodo		23
3.2. Temperatura		28
3.3. Balanço hídrico		31
3.4. Crescimento vegetativo e diferenciação d	e pr <u>i</u>	
mõrdios florais	• • •	34
3.5. Produção e diferenciação de gemas repord	utiva	s35
3.6. Nivel de carboidratos e nutrientes .		39
3.7. Relações hormonais		40
4. Dormência e antese das gemas florais		43
4.1. Características e influência de fator	es	amb <u>i</u>
entais		43
4.2. Relações hormonais		49
5. Frutificação e maturação dos frutos		53
III. MATERIAL E MÉTODOS		58
1. Material vegetal		58

	2.	Estudo histológico sobre a diferenciação de gemas re	
		produtivas em C. anabíca cv. Catuai Vermelho	58
	3.	Estudo sobre o crescimento e desenvolvimento das ge	
		mas reprodutivas em 1980, 1981 e 1982	61
		3.1. Observações de laboratório	61
		3.2. Observações de campo	62
	4.	Observações sobre o periodo de florescimento em 1980,	
		1981 e 1982	67
	5.	Maturação dos frutos de Coffea arabica em 1981, 1982	
		e 1983	67
	6.	Aplicação de fitorreguladores sobre gemas reprodut <u>i</u>	
		vas de Coffea arabica cv. Catuai Vermelho em 1981 e	
		1982	68
		6.1. Tratamentos	70
÷		6.1.a. Ano de 1981	70
		<b>6.1.b.</b> Ano de 1982	71
		6.2. Avaliação dos Tratamentos	71
IV. R	ESUL <sup>-</sup>	TADOS	73
	1.	Observações morfológicas sobre as gemas axilares de ra	<u>.</u>
		mos plagiotrópicos de Coffea arabica	73
	2.	Estudo histológico sobre a diferenciação de gemas re	
		produtivas em Coffea arabica	8 1
	3.	Crescimento das gemas reprodutivas em 1980, 1981 e	
		1982	86
		3.1. Cultivar Catuai Vermelho	86

		V					
	3.2.	Cultivares	Catuai	Vermelho	, Mundo	Novo e Bour	
		bon Amarel	o			,	94
4.	Desenvol	vimento da	s gemas	reprodut	ivas em	1980, 1981	
	e 1982						97
	4.1.	Cultivar C	atuai V	ermelho			97
	4.2.	Estudo com	parativ	o dos cul	tivares	Catuai Ve <u>r</u>	
		melho, Mun	do Novo	e Bourbo	n Amarel	0	102
	4.3.	Transforma	ção pro	bitica do	s dados		109
5.	Observaç	ões sobre	o flore	scimento	de Coff	ea arabica	
	em 1980,	1981 e 19	82				112
	5.1.	Florescime	ento do	cv. Catua	i Vermel	ho em 1980	112
	5.2.	Florescime	ento dos	cultivar	es Catua	i Vermelho,	
		Bourbon Am	arelo e	Nacional	em 1981		116
		5.2.1.	Cultiva	r Catuai	Vermelho		116
		5.2.2.	Cultiva	r Bourbon	Amarelo		120
	•	5.2.3.	Florada	principa	l em pla	ntas dos cu <u>l</u>	
			tivares	Catuai V	ermelho,	Bourbon <u>A</u>	
			marelo,	Arabica	e Mundo	Novo	120
	5.3.	Florescime	ento dos	cultivar	es Catua	i Vermelho	
		e Bourbon	Amarelo	em 1982			124
		5.3.1.	Cultiva	r Catuai	Vermelho	)	124
		5.3.2.	Cultiva	r Bourbon	Amarelo		128
6.	Maturaçã	o dos frut	os de C	offea aro	ıbica em	1981, 1982	е
	1983			* * * * * * * * *			131
	6.1.	Cultivar C	Catuai V	ermelho	* * * * * * * *	* * * * * * 4 * * * *	131
		6.1.1.	Maturaç	ão dos fr	utos das	s 4 florada	s
			de 1980				131
		6.1.2.				florada pri	
			cipal d	e 1980, 1	981 e 19	82	135

V	i
6.2. Maturação dos frutos da florada principal de	
1981 nos cultivares Arabica , Bourbon Amarelo	
e Mundo Novo	138
7. Efeito de fitorreguladores exógenos sobre as gemas r <u>e</u>	
produtivas de Coffea arabica L. cv. Catuai Vermelho	142
7.1. Experimentos de 1981	142
7.1.a. Época I (14/7, 22/7 e 28/7/81)	142
7.1.b. Época II (20/8, 28/8 e 4/9/81)	150
7.2. Experimentos de 1982	156
7.2.a. Época I (20, 22 e 27/5/82)	156
7.2.b. Época II (29 e 30/6, 1/7/82)	162
7.2.c. Época III (3/9/82)	168
7.2.d. Época IV (17/9/82)	173
V. DISCUSSÃO	175 i
Vermelho	175
2. Diferenciação e crescimento de gemas reprodutivas em Co <u>s</u>	<u>6</u>
fea arabica L	185
3. Florescimento de Coffea arabica L. em 1980, 1981 e 1982	195
4. Maturação dos frutos em Coffea arabica L	201
5. Efeito de fitorreguladores exógenos sobre as gemas repro	<u>2</u>
dutivas de Coffea arabica cv. Catuai Vermelho	207
VI. CONCLUSÕES	215
VII. RESUMO	219
VIII. REFERÊNCIAS	222

. . .

#### I. INTRODUÇÃO

Apesar da importância do processo de formação das gemas florais para a produção econômica do cafeeiro, ainda são escassos e limitados os conhecimentos sobre o assunto. As informações sobre a participação de fatores ambientais e endógenos no controle da indução e diferenciação das estruturas reprodutivas são controvertidas. De modo geral, a literatura existente caracteriza-se pela descontinuidade das pesquisas, pela predominância de dados descritivos e muitas vezes pouco precisos e pelo restrito número de estudos realizados em condições controladas. Em parte, esta situação pode ser atribuída às dificuldades en contradas para se estudar plantas perenes tropicais, seja pelo crescimento lento, seja pelas restrições ao porte das plantas a pos uma certa idade ou mesmo pela limitação de recursos para as pesquisas básicas em regiões tropicais e subtropicais.

Estudos sobre o processo de florescimento em Coffea a nabica se fazem necessários para ampliar conhecimentos científi cos básicos, os quais poderão contribuir para a solução rios problemas que a cafeicultura enfrenta, especialmente em regiões de cultivo não tradicionais. Dentre estes problemas, po demos destacar (1) as anomalias florais, (2) a desuniformidade de maturação dos frutos e (3) a produção bienal. No primeiro ca so, os prejuizos à produção dependem do grau de incidência das atrofias florais, pois não se conhecem as causas ou mesmo for mas empiricas de se controlar as anomalias florais. A desunifor midade de maturação está relacionada com a assincronia de dife renciação e antese dos botões florais e é particularmente impor tante porque constitui um fator de depreciação do tipo e da qua lidade da bebida (colheita de frutos verdes, maduros e secos). A produção bienal pode ser considerada um distúrbio fisiológico parcialmente resultante da excessiva demanda nutricional que os frutos impõem à estrutura vegetativa. SYLVAIN (1959) sugeriu que distúrbios fisiológicos como a seca dos ponteiros e a produção bienal ocorrem quando há um desequilíbrio entre a quantidade de frutos e as partes vegetativas que os sustentam. Talvez estes problemas possam ser adequadamente equacionados através de alterações introduzidas durante a formação das gemas florais.

O presente trabalho teve os seguintes objetivos pri $\underline{\underline{\mathsf{n}}}$  ciais:

- (a) Estudar o processo de indução e diferenciação das gemas reprodutivas de Coffea απαδία, nas condi ções normais de cultivo em Campinas, através da análise histológica de cortes seriados de gemas coletadas quinzenalmente.
- (b) Elaborar uma curva de crescimento das gemas reprodutivas desde a indução até a antese, determinando assim, com exatidão, os períodos de crescimento e quiescência das gemas reprodutivas no cafeeiro.
- (c) Realizar observações sobre a época de abertura de flores e maturação dos frutos para se avaliar a contribuição relativa de cada florada, bem como a relação existente entre as épocas de antese e as épocas de frutos maduros.

(d) Efetuar avaliações preliminares sobre o efeito de fitorreguladores exógenos aplicados sobre as gemas reprodutivas de Coófea arabica.

#### II. REVISÃO DE LITERATURA

# 1. Crescimento e florescimento em C. arabica

A espécie Coffea arabica é cultivada nos trópi cos desde 22ºN (Cuba) até 26ºS (Paraná-Brasil), em condições dafoclimáticas diversificadas (MAESTRI e BARROS, 1977). O trole do crescimento e florescimento é atribuído ao fator climã tico de maior amplitude de variação, em cada região, durante o ciclo anual. A distribuição sazonal das chuvas, as oscilações de temperatura e a variação fotoperiódica se configuram como os fatores mais importantes, segundo MAESTRI e BARROS (1977). Nas regiões não equatoriais o crescimento é lento durante a estação seca, fria e de dias curtos (outono e inverno). Nesta estação ē que se da a diferenciação e crescimento das gemas florais.Du rante a primavera, caracterizada pelo alongamento dos dias, pelo aumento da temperatura e início do período chuvoso, as plantas florescem e assumem um novo ciclo de crescimento vegetativo in tenso. Nas regiões equatoriais, os deslocamentos da Linha Inter tropical de Convergência (ITC) originam duas estações chuvosas, cada qual associada a "flushes" de crescimento e florescimento (CANNELL, 1975; TROJER, 1956).

Em sua região de origem, a floresta tropical da Etiópia (7-9°N), *C. anabica* cresce entre 1000-2000m de altitude, onde a precipitação anual é de 1500-2000mm, tendo distribuição sazonal definida. A estação seca pode durar 3 a 4 meses (ALEGRE, 1959). Neste ambiente, as chuvas e os fatores que afetam o balanço hídrico, mais do que as alterações na temperatura, constituem as principais limitações para crescimento do cafeeiro. A influência do regime hídrico se expressa com grande nitidez no

padrão de florescimento de C. arabica (ALVIM, 1973).

A estreita faixa de temperatura favoravel ao de sempenho das atividades vegetativas e reprodutivas de Contea ava bica, entretanto, parece ser um dos principais obstáculos a expansão do seu cultivo (ALEGRE, 1959; SONDAHL e SHARP, 1979). Abaixo de  $16^{\circ}$ C o crescimento vegetativo não é satisfatório e tem peratura inferiores a 12°C, por períodos prolongados, paralizam completamente as atividades vegetativas. Temperaturas médias periores a 23°C também prejudicam o crescimento e a produção. Em regiões equatoriais (Quênia, Tanzânia e Colômbia), o plantio cafeeiro arábica só é praticado em altitudes superiores a 1000m, onde as temperaturas são mais amenas (ALÈGRE, 1959). A faixa tér mica considerada satisfatória ao cultivo do café arábica situa --se entre 18° e 23°C. As condições ótimas estão entre 19° e 21°C (ALEGRE, 1959; CAMARGO, 1977). Existem evidências de que cultiva res mais recentes apresentam melhor adaptação a temperaturas ele vadas, devido à seleção em regiões mais baixas (500-600m), em cam pos experimentais não sombreados (A. CARVALHO, informação pes soal).

KUMAR e TIEZEN (1980a), trabalhando com plântulas de 15 meses de idade, em casa de vegetação e nas condições naturais de Quênia, encontraram baixas condutâncias dos estômatos abaixo de 15°C. A abertura estomática máxima foi observada a 25°C, permanecendo relativamente constante até 35°C. Não obstante, for ram registrados decréscimos progressivos nas taxas fotossintéticas em temperaturas superiores a 25°C, o que foi atribuído à diminuição da condutância do mesófilo. NUNES et al. (1968) observaram que acima de 24°C, cada aumento de um grau na temperatura produzia uma redução de aproximadamente 10% na fotossíntese líquida.

FRANCO (1982a) cultivou, durante 6 meses, plântu las de C. arabica cv. Catuai em solução nutritiva, mantendo temperatura de diferentes recipientes constante nos seguintes valores:  $27^{\circ}$ ,  $29^{\circ}$ ,  $30^{\circ}$ ,  $31^{\circ}$ ,  $32^{\circ}$  e  $33^{\circ}$ C. Em trabalho prévio, jã havia sido demonstrado que o sistema radicular do cafeeiro é bas tante sensível a variações de temperatura, tendo-se obtido lhor desenvolvimento entre 23° e 28°C (FRANCO, 1958). O acrésci mo de 1 $^{\circ}$ C na temperatura das raízes, na faixa de 29 $^{\circ}$  a 33 $^{\circ}$ C, re sultou em pronunciado decréscimo no crescimento das plantas. As raízes foram mais prejudicadas do que a parte aérea. Em experimento, FRANCO (1982b) simulou as variações normais de tem peratura durante as 24 horas do dia em solos contidos em de barro termicamente isolados. As temperaturas do solo reguladas para  $23^{\circ} - 23^{\circ}C$ ,  $33 - 33^{\circ}C$ ,  $23^{\circ} - 33^{\circ}C$  e  $23^{\circ} - 38^{\circ}C$ (tem peraturas diurna e noturna, respectivamente). O crescimento das plantas dos tratamentos 33° - 33°C e 23° - 38°C foi mínimo três últimos meses do experimento. As temperaturas elevadas até 33°C, mesmo por poucas horas, ocasionaram uma redução de 16% no peso das plantas em relação aquelas mantidas na temperatura ōtima - 23°C (constante). Nestes estudos, foram encontradas ev<u>i</u> dências de que a diminuição do crescimento de cafeeiros submeti dos a temperaturas supraótimas parece ser consequência da inibi ção da translocação de fosforo das raízes para as partes aereas, pois houve acumulo de fósforo em raízes mantidas sob temperatu ras elevadas (FRANCO, 1982a, 1982b).

#### 1.1 Regiões cafeeiras de Quênia

Em Quênia (Ruiru 01<sup>0</sup>08'S), onde a variação foto periódica anual é da ordem de alguns minutos (12h 02 min - 12h 09min, CANNEL, 1972), os ciclos de crescimento vegetativo e reprodutivo mostram estreita relação com a distribuição das chuvas. Na quela região, existem duas estações chuvosas alternadas com duas estações secas (RAYNER, 1946; WORMER e GITUANJA, 1970a).

Os períodos de crescimento vegetativo máximo as sim como as floradas mais expressivas coincidem com o fim das es tações secas e início das chuvas. De acordo com as observações de RAYNER (1946) e com resultados de medidas de crescimento efe tuados por BROWNING (1975), o período de crescimento mais importante é o que ocorre logo após a estação seca e quente. CANNELL (1971b) encontrou uma renovação de 61% de área foliar total, em plantas de 3 anos e meio de idade, após o "flushing" de crescimento observado em 1967.

WORMER e GITUANJA (1970a) relataram a existência de dois padrões de florescimento distintos nas principais regiões cafeeiras de Quênia. A oeste do Great Rift Valley, o florescimento de maior magnitude ocorre em fevereiro-março e o outro, de me nor importância, é registrado em outubro-novembro. Na região les te deste vale, o ritmo de florescimento é o mesmo, podendo, entre tanto, ser invertido (floradas intensas em outubro - novembro). Plantações vizinhas e cafeeiros cultivados num mesmo campo podem apresentar ritmos de florescimento diferentes. WORMER e GITUANJA concluiram que a manutenção de um dado padrão de florescimento, nas condições de Quênia, não pode ser separada das condições in trínsecas das plantas (idade, estado nutricional e produção). Ape

sar da ocorrência de floradas principais, WORMER e GITUANJA (1970a) destacaram que a iniciação de gemas florais e pequenas floradas podem ocorrer em qualquer época do ano.

## 1.2 Regiões cafeeiras da Colombia

Na Colombia, existem duas épocas de florescimento e colheita que estão relacionadas a diferentes zonas climáticas. Na região Norte da Colombia (como na América Central), os cafeei ros florescem no início do ano (fevereiro a junho) e a colheita principal se da entre os meses de outubro e janeiro. Há um perío do seco bem caracterizado (dezembro a abril) e um período chuvo so no restante do ano, com uma pequena interrupção em julho. sul, ha um período seco entre julho e setembro seguido por estação chuvosa. O florescimento ocorre no segundo semestre, após o início da estação chuvosa (outubro-dezembro), e o café é colhi do de abril a julho. Entre as duas áreas geográficas extremas xiste uma região intermediária (lat. 2º a 8ºN) cuja periodicida de climática - dois períodos chuvosos alternados com épocas cas - resulta em uma colheita principal e uma colheita secundá ria, denominada mitaca (TROJER, 1968). A época de ocorrência colheita principal assim como os dados referentes ao ciclo vege tativo do cafeeiro permitiram identificar uma linha geográfica bem definida que separa o padrão fenológico do norte e do sul, de nominada equador fenológico. O equador fenológico, que cruza Colombia de leste a oeste entre as latitudes  $4^{\circ}$  a  $6^{\circ}$ N, coincide com o equador climático (TROJER, 1954, 1968). Segundo TROJER (1968) o percentual equivalente a 5,5% da precipitação anual (que varia entre 1000 a 3000m nas regiões cafeeiras) é crítico para o estabe lecimento dos ciclos vegetativos e reprodutivos do cafeeiro.

Na região de Chinchiná (5°N), o crescimento vege tativo mais importante inicia-se pouco após o ponto culminante da estação seca (fevereiro a abril) sendo mais rápido na transição para o primeiro inverno e diminuindo em pleno inverno (estação chuvosa; abril-junho). Uma época de crescimento menos pronunciada é identificada na transição para o segundo inverno, de setembro-outubro (TROJER, 1956). As floradas mais significativas coincidem com a época de crescimento vegetativo máximo (TROJER, 1956; JARAMILLO & VALENCIA, 1980).

Chinchiná (5°N), não conseguiram relacionar a quantidade de precipitação ao ciclo anual do cafeeiro. De acordo com GOMEZ (1977), o comprimento do dia, a precipitação e a temperatura média variam muito pouco durante o ano, não havendo portanto condições limitantes para o desenvolvimento do cafeeiro na região. JARAMI LLO e VALENCIA (1980) concluíram que o comportamento dos cafeeiros, em Chinchiná, está condicionado aos elementos do clima estreitamente associados à radiação solar. TROJER (1956) há havia sugerido que a relação entre a precipitação e o brilho solar (cociente P/B) seria o melhor parâmetro para a definição de zonas climáticas para o cafeeiro. O autor estudou a relação entre as variações do coeficiente P/B e a distribuição anual das fases fenológicas do cafeeiro.

A maior ocorrência de flores nos meses iniciais do ano, em Chinchiná, foi atribuída ao deficit hídrico sofrido pelas plantas em decorrência da elevada demanda evaporativa do ar. Não existiram limitações quanto à disponibilidade de água no solo naquele período (JARAMILLO & VALENCIA, 1980).

# 1.3 Regiões cafeeiras da Índia

O ciclo do cafeeiro, nas condições naturais sul da Índia (13<sup>0</sup>22'N) foi descrito detalhadamente por MAYNE (1944, citado por RAYNER, 1946). por GOPAL e VISHVESHWARA (1971) e por VASUDEVA & RAMAIAH (1979). O crescimento mínimo foi obser vado durante o período seco entre os meses de dezembro a março. O crescimento recomeçou antes da queda das primeiras chuvas, pos sivelmente, em decorrência da elevação da temperatura no do final da seca (VASUDEVA e RAMAIAH, 1979). Após o início chuvas, ocorreram as principais floradas e o começo de um perío do de acelerado crescimento vegetativo. Houve acentuado nio do crescimento entre os meses de junho a julho, época marca da por chuvas torrenciais e grande nebulosidade (monção sudoes te). RAYNER (1946) sugeriu que a lixivação de nitratos do poderia ser a causa da redução do crescimento. Entretanto, diver sas tentativas de adubação nitrogenada, relatadas por (1958), não foram capazes de impedir a redução do em circunstâncias semelhantes, na Costa Rica. O mais provável é que haja diminuição da atividade das raízes devido à aeração in suficiente nos solos com excesso de água. A limitação do cresci mento também pode estar associada à insuficiência de energia lu minosa para a produção primária já que o ceu permaneceu predomi nantemente encoberto nesta época. Terminada a monção de sudoes te, o período de crescimento se estendeu até outubro novembro . VASUDEVA & RAMAIAH (1979) observaram que o período de crescimen to mais importante diferiu entre os dois cultivares estudados . No cultivar S 795 o crescimento foi mais pronunciado no segundo semestre.

#### 1.4 Regiões do Brasil

No Brasil, quase todas as areas cafeeiras situam-se ao sul do paralelo 20°S, em região subtropical. Essa condi
ção resulta num ciclo térmico anual definido. Os cafeerios exi
bem ciclo fenológico bem caracterizado: florescimento na primave
ra, frutificação no verão, maturação no outono e "repouso" no in
verno (CAMARGO, 1977).

Nas investigações realizadas por BARROS e MAESTRI (1972), em Viçosa (22º45'S), a prática da irrigação não alterou o padrão e as taxas de crescimento dos cafeeiros durante a estação seca, levando-os a concluir que a disponibilidade de água não é o fator determinante da redução progressiva do crescimento durante a estação mais seca e fria do ano (abril a setembro). O período de crescimento vegetativo intenso ocorreu na estação úmida e quente, coincidindo com os dias mais longos do ano (outubro a março). Os autores consideraram o fotoperíodo e a variação anual da temperatura como sendo os fatores mais importantes na determinação da periodicidade de crescimento de C. atabica. Todavia, eles não analisaram as alterações da demanda evaporativa do ar, elemento reconhecidamente essencial para o estabelecimento do balanço de água do cafeeiro (BOYER, 1969; BROWNING, 1975; BROWNING

Como é de observação corrente, as floradas mais importantes, nas regiões cafeeiras tradicionais do Brasil, ocorrem 8 a 12 dias após as primeiras chuvas substanciais que marcam o término da estação seca (setembro outubro). A colheita é efetuada entre os meses de maio a junho.

# 1.5 Fisiologia do crescimento

A absorção e distribuição de nutrientes (CARVAJAL, 1969; CANNELL e KIMEU, 1971) bem como a produção e distribuição de matéria seca no cafeeiro arábica (CANNELL, 1971b; CANNELL e HUXLEY, 1969; CLOWES e WILSON, 1977) mostraram-se intensamente influenciadas pelas variações climáticas sazonais e pela presença de flores e frutos.

CANNELL (1971b), em Quênia, demonstrou que os á pices vegetativos constituem os sítios de demanda dominantes , durante a fase de intenso crescimento posterior à estação seca e quente. As raízes finas ( < 3mm), principais responsáveis pe la absorção do cafeeiro, acumularam matéria seca mais rapidamen te durante a estação seca e fria. Os frutos, entretanto, demons traram ser um sítio de mobilização de metabólitos mais eficien te do que as partes vegetativas (CANNELL e HUXLEY, 1969;CANNELL, 1971b).

O decréscimo do crescimento das partes vegetativas em plantas com produção elevada parace ocorrer em função dos seguintes eventos: 1) consumo das reservas de carboidratos das partes lenhosas; 2) restrição do suprimento de metabólitos para as regiões de crescimento (ápices, folhas jovens e raízes) e 3) morte das radicelas ativas na absorção em função da competição por carboidratos e nutrientes (CANNELL, 1971b).

Experimentalmente, foi demonstrado que a periodicidade de crescimento e florescimento do cafeeiro não podem ser alteradas pela magnitude da produção (WORMER e GITUANJA, 1970b, Quênia) pelo sombreamento (SYLVAIN, 1958, Costa Rica; CASTILLO e LOPEZ, 1966, Colombia), pela umidade do solo (SYLVAIN, 1958;

BOYER, 1969, Costa do Marfim; WORMER e GITUANJA, 1970b; BROWNING, 1975, Quênia) e pela adubação nitrogenada em diferentes épocas (SYLVAIN, 1958). Entretanto, os fatores mencionados influencia ram quantitativamente o florescimento e o crescimento do cafeei ro. A época de poda dos cafeeiros foi responsável pela alteração do ciclo de florescimento nas condições de Quênia (WORMER e GITUANJA, 1970a e 1970b).

A ocorrência simultânea de intenso crescimento e de floradas de grande envergadura sugere que os dois eventos são acionados pelos mesmos fatores ambientais. Todavia, BROWNING (1975) encontrou evidências de que, a nível endógeno, os processos são controlados por mecanismos distintos. Foram apli cadas soluções de GA $_3$  (0, 1, 10, 10 $^2$  e 10 $^3$   $\mu$ g 10  $\mu$ l $^{-1}$ ), em crogotas, nos ápices vegetativos. Verificou-se que o GA<sub>3</sub> não foi capaz de romper as restrições ao crescimento impostas pelos de ficit hídrico na estação seca e quente. De modo oposto, a apli cação de GA, sobre gemas florais dormentes promoveu a retomada do crescimento e a antese mesmo em condições de seca ( ALVIM , 1958, 1960b; BROWNING, 1971, 1977). Particularmente relevante foi a constatação de que a sensibilidade dos ápices vegetativos ao GA3, após a recuperação do estado de hidratação, mostrou cor relação direta com nível de estresse de água experimentado ante riormente (BROWNING, 1975). A mesma tendência foi observada quan to à antese das gemas florais em resposta a aplicações de GA3 (ALVIM, 1958, 1960b; BROWNING, 1977).

O cafeeiro arábica parece apresentar uma nota vel adaptação a condições temporárias de seca pois o estresse hídrico severo estimula uma atividade fisiológica compensatória após o restabelecimento das condições favoráveis ao crescimento

(BROWNING e FISHER, 1975; KUMAR, 1979a). Este atributo se expressou não só nas intensas taxas de crescimento como também na maior abertura dos estômatos durante o dia, ao compararem-se plantas submetidas a diferentes níveis de déficit hídrico, ou seja, plantas irrigadas e não irrigadas durante a estação seca e quente (BROWNING e FISHER, 1975). O comportamento distinto entre os dois grupos de plantas, na opínião de BROWNING e FISHER, deve ser consequência de diferenças na resistência das raízes ã ab sorção de água. Foi sugerida a hipótese de que o ácido abscísico (ABA) deva estar envolvido na diferenciação da condutividade hidráulica entre plantas irrigadas e não irrigadas.

O aumento da concentração endógena do ABA em condições de déficit hídrico tem sido encontrado em vários estudos (VAADIA, 1976; SALISBURY e ROSS, 1978; KUMAR, 1979b). O envolvimento do ABA na modificação da sensibilidade de resposta às chuvas e ao GA3, em plantas mantidas sob diferentes déficit hídricos, é um aspecto que precisa ser investigado em cafeeiros, pois a seca exerce um papel fundamental na sincronização do crescimento vegetativo e do florescimento nas espécies C. anabíca e C. canephona.

KUMAR (1979b) acredita que os "flushes" de crescimento, em Quênia, estejam associados ao acúmulo de amido e nu trientes no lenho durante os meses quentes e secos. Assim, os cafeeiros cresceriam ao início da estação chuvosa devido à mobilização das abundantes reservas existentes nos tecidos lenhosos. Para consubstanciar a hipótese de que os cafeeiros realizam nor malmente as suas atividades metabólicas durante a estação seca e quente, KUMAR (1979b) baseou-se nos resultados de KUMAR e TIEZEN (1980b) os quais demonstraram que as folhas do cafeeiro

realizam a fotossíntese, com apenas 25% de redução, entre -10 e -20 bars. Somente abaixo de -20 bars a fotossínte mostrou - se drasticamente diminuída. Acrescentou ainda que a absorção de nu trientes se processa sem alterações relevantes até 50% da capacidade de campo.

Diversos pesquisadores consideram que o balanço hídrico exerce um papel primordial no controle do ciclo de crescimento vegetativo e reprodutivo de *C. arabica* (ALVIM, 1973; BROWNING, 1977 e KUMAR, 1979b). Eles apresentam como principal argumento as características da região de origem do cafeeiro, já descritas anteriormente.

Investigações em condições controladas com plantas adultas e a quantificação adequada das respostas fisiológicas do cafeeiro, em condições de campo e de laboratório, em função de variações da temperatura, fotoperíodo e estresse de água são ainda necessárias para o esclarecimento do comportamento do cafeeiro nas diferentes regiões cafeeiras do mundo.

Os conhecimentos atuais não permitem ainda generalizaçãos amplas sobre o funcionamento integrado dos diversos processos fisiológicos do cafeeiro. Provavelmente, muitas das informações são válidas apenas para as regiões estudadas, sendo que, em muitos casos, as condições em que os dados foram obtidos não são precisamente descritas. Duas dificuldades adicionais surgem ao se considerar que as variedades utilizadas (germoplasma) assim como o tipo de condução das culturas (sombreamento, espaçamento, podas, colheitas, adubação, condições físicas do solo) diferem de região para região.

## 2. Aspectos morfológicos

O cafeeiro caracteriza-se pelo dimorfismo dos ramos, os quais são classificados como (1) ortotrópicos - crescimento vertical e simetria radial. (2) plagiotrópicos ou laterais - crescimento horizontal ou oblíquo, com simetria bilateral, constituindo os ramos frutíferos (CARVALHO et al., 1950 e MOENS, 1963).

MOENS (1963) efetuou investigações detalhadas sobre a ontogênese, morfogênese e desenvolvimento das gemas axilares situadas nos ramos ortotrópicos e plagiotrópicos de Coffea canephora Pierre, a partir do estádio cotiledonar, mostrando que a morfologia geral do cafeeiro depende do comportamento destas gemas.

Dois tipos de gemas axilares são encontradas em ramos ortotrópicos de *C. anabíca* e *C. canephora* - as gemas "cabeça-de-série" e as "gemas seriadas" que diferem, essencialmen te,, quanto às estruturas que originam. As gemas "cabeça-de-série" dão origem aos ramos plagiotrópicos, podendo, excepcional mente, desenvolverem-se em inflorescências (MOENS, 1963).

As gemas "cabeça-de-série" situadas sobre o eixo principal de *C. atabica* L., somente aparecem nas axilas do 89 ao 119 par de folhas de plantas jovens. Certas combinações genéticas de *C. atabica* podem apresentar os primeiros ramos plagio trópicos a partir do trigésimo terceiro par de folhas, ou seja, a juvenilidade para os ramos plagiotrópicos pode ser parcialmente influenciada pelo genótipo.

Em C. canephora Pierre, a formação das gemas "cabeça de-série" se dá entre o 5º e 10º par de folhas do eixo prin

cipal. Demonstrou-se que as gemas "cabeça-de-série" se formam nas axilas foliares, antes das gemas seriadas, e que a sua posição extra-axilar é adquirida secundariamente (MOENS, 1963). Nos ramos plagiotrópicos de *C. canephota* as gemas "cabeça-de-série" são comumente encontradas, apesar de não ocorrerem em todos os nós. Em cafeeiros arábica cultivados em Quênia, a ocorrência de gemas"ca beça-de-série" em ramos laterais é extremamente rara (WORMER e GITUANJA, 1970b).

Existem 4-5 gemas seriadas nas axilas de ramos or totrópicos e plagiotrópicos de C. canephora (MOENS, 1963) e C. arabica (WORMER e GITUANJA, 1970a, 1970b). As gemas axilares si tuadas em ramos ortotrópicos dão origem a ramos ortotrópicos de substituição. Nos ramos plagiotrópicos de C. canephora e C. arabica ca as gemas seriadas podem formar ramos plagiotrópicos de ordem superior ou inflorescências ou,então, permanecerem indiferencia das (CARVALHO et al. 1950, MOENS, 1963).

Vários procedimentos experimentais indicaram que o destino plagiotrópico das gemas "cabeça-de-série" bem como das gemas axilares de ramos plagiotrópicos é um caráter irreversível. Da mesma forma, as gemas seriadas de ramos ortotrópicos formam, somente, novos ramos ortotrópicos (CARVALHO et al. 1950, MOENS, 1963).

MOENS (1963) determinou que as gemas seriadas com comprimento inferior a 300μm são indiferenciadas, podendo evoluir em ramos plagiotrópicos de ordem superior ou em inflorescências. A permanência de gemas seriadas na condição indiferenciada, ou o desenvolvimento alternativo em inflorescências, ou a formação de ramos laterais, parecem estar condicionadas a fatores climáticos e fisiológicos (MOENS, 1962; KUMAR, 1982) e, em última instância,

às práticas culturais empregadas (MOENS, 1962).

Há uma estreita correlação entre a organografia do nó e a anatomia das gemas axilares desenvolvendo-se reprodutivamente, permitindo um reconhecimento rápido e preciso do estado de diferenciação histológico das gemas induzidas (MOENS, 1962).

MOENS (1963) definiu, a nível histológico, as d i ferenças entre gemas axilares vegetativas e gemas induzidas. Fm cortes axiais longitudinais, os ápices de gemas vegetativas têm o formato de um cone mais ou menos estreito, estando envolvido por folhas e estípulas jovens. Quando a gema evolui reprodutiva mente, as células centrais e laterais do "corpo" sofrem das divisões periclinais. As divisões periclinais e anticlinais localizadas resultam no alargamento e elevação do domo apical. O processo torna-se irreversível quando os ápices das gemas induzi das assumem um aspecto tipicamente tabular. Logo a seguir, iden tificam-se dois centros laterais de intensa atividade meristemá tica que dão origem aos primórdios do segundo par de abrácteas ("Collarin bracteal", MOENS, 1968).

WORMER e GITUANJA (1970a) relataram que, em Quênia, as gemas seriadas induzidas podem apresentar três períodos de quiescência até a época de antese. O primeiro período de quies cência ocorre imediatamente após a diferenciação. No segundo ре riodo de quiescência, as gemas já se encontram bastante estumes cidas e volumosas, sendo cobertas por uma substância similar cera. Aqueles autores, todavia, não mencionaram nenhum referen cial a respeito das causas ou natureza das paralizações do cres cimento. O terceiro período de quiescência ocorre quando os bо tões florais individuais ja se encontram totalmente formados. Es ta quiescência tem sido descrito em quase todas as regiões cafe

eiras do mundo (ALVIM, 1973; BROWNING, 1977 e BARROS et al. 1978). Um estímulo ambiental, normalmente as chuvas ou a irrigação que finalizam um período de seca, induz a retomada do crescimento que se completa com a antese após 8 a 12 dias (WORMER e GITUANJA, 1970a).

A estrutura das inflorescências reproduz a organi zação do sistema de ramificação vegetativa. Os dois pares de brác teas das inflorescências são homólogos às folhas e estípulas terpeciolares terciolares dos ramos vegetativos (VAN DER MEULEN, 1939). As in florescências nascem a partir das gemas seriadas axilares de ra mos plagiotrópicos. Cada gema desta série desenvolve-se em um ei xo curto que termina em flor. Nestes novos eixos surgem pares de brácteas, também cruzadas, na axila dos quais se formam outras séries descendentes de gemas que podem crescer de forma similar ao eixo materno, e assim sucessivamente. Como os eixos que supor tam as flores são sempre muito curtos, a inflorescência em con junto assume um aspecto compacto. Por esse motivo, as cências de cafeeiros recebem a denominação de "glomérulos". primórios florais aparecem na axila formada pelas brácteas com o eixo da inflorescência sob a forma de estreitas faixas meristemá ticas (DEDECCA, 1957). Os estudos morfológicos de VAN DER MEULEN (1939) mostraram que as inflorescências de C. arabica e C. cane phora apresentam o mesmo tipo de organização. Em C. arabica até cinco gemas florais (CARVALHO et al., 1969) ou 6 gemas florais (WORMER e GITUANJA, 1970a e 1970b) podem desenvolver-se em inflorescência.

A sequência do desenvolvimento ontogenético dos di versos verticilos florais, em C. arabica,  $\tilde{e}$  semelhante a que normalmente tem sido descrita para inúmeras outras espécies (DE

DECCA; 1957; POPHAM, 1963). Primeiramente, diferenciam-se as se palas. Em seguida, aparecem os primórdios das pétalas, em posição alternada à das sépalas. Os estames são os próximos orgãos a se diferenciarem e o seu surgimento se dá sob a forma de pequenas projeções no interior do anel formado pelas pétalas e em posição alternada aos primórdios destas. A gema floral gradativamente assume um aspecto contorcido. Finalmente, formam-se os primórdios dos carpelos que se desenvolvem ascendentemente para constituir o estigma e os lobos estigmáticos (DEDECCA, 1957).

A flor do cafeeiro arábica apresenta um cálice rudimentar, formado de cinco pequenos segmentos. A corola  $ilde{\mathbf{e}}$ cor branca, constituída de cinco pétalas unidas entre si até qua se a parte mediana, formando um tubo. A parte superior da la se expande em um limbo formado por cinco segmentos lineares e obtusos. Os estames, em número de cinco, são epipétalos e serem-se sobre o tubo da corola. Cada estame consiste em um fi lamento cilíndrico e curto inserido no setor mediano de uma a n tena bilocular.Uma antera em corte transversal, exibe quatro sa cos polínicos. O gineceu é representado por um ovário infero constituídos de dois carpelos unidos e estilo terminal que bifurca em dois lobos estigmáticos. O ovário normalmente é bilo cular, cada lóculo encerrando um óvulo anátropo. O saco nario e do tipo normal, possuindo oito núcleos (DEDECCA, 1957).

O fruto do cafeeiro é uma drupa que normalmente contém duas sementes. Os frutos maduros têm pericarpo bem desen volvido, podendo distinguir-se três regiões: exocarpo, mesocar po e endocarpo. O exacarpo é representado por uma única camada de células, correspondente à epiderme externa do ovário. O meso carpo é uma região formada por mais de 20 camadas de células pa

renquimatosas ricas em tanino, açúcares, gomas e mucilagens diversas, responsáveis pela consistência suculenta do fruto madu ro de C. atabica L. var. typica Cramer. O endocarpo é constituí do por cinco a sete camadas de células menores que, no fruto ma duro, formam o pergaminho da semente. As sementes são plano-con vexas, elíticas ou ovais, sulcadas longitudinalmente na parte plana. O envoltório da semente, a película prateada, origina-se a partir de um único integumento do óvulo, a primina (perisper ma). O endosperma, que constitui quase toda a semente, é de na tureza triplóide. O embrião, pequeno e localizado na base da se mente, na sua face convexa, é representado por 1 hipocótilo e 2 cotilédones cordiformes (DEDECCA, 1957; CARVALHO et al. 1969 ; KRUG et al., 1939).

# 3. <u>Indução e diferenciação de gemas reprodutivas</u>

As angiospermas podem ser divididas em dois am plos grupos: no primeiro grupo, as gemas florais se iniciam em resposta a um estímulo específico, tal como o fotoperíodo ou a vernalização; no segundo grupo, o florescimento não é controla do por um fator isolado (JACKSON & SWEET, 1972). Aparentemente, o cafeeiro, assim como a maioria das plantas perenes, situa - se no segundo grupo (BARROS et al., 1978).

Os majores obstáculos para a elaboração de um quadro coerente sobre o processo de indução e diferenciação das gemas florais do cafeeiro provêm da escassez de experimentos con duzidos em condições controladas. Em parte, este fato resulta das dificuldades práticas encontradas ao se trabalhar com plan

tas parenes em geral, tais como, o porte e o crescimento lento.

A maior parte das informações sobre o processo de florescimento no cafeeiro são oriundas de observações de campo, nem sempre acompanhadas de medidas quantitativas adequadas. Pou cos trabalhos delimitam com nitidez as etapas de indução e diferenciação das fases posteriores de desenvolvimento de gemas florais. Estas informações são particularmente importantes porque permitem definir o período em que a diferenciação de gemas reprodutivas é mais intenso, e consequentemente inferir sobre os fato res ambientais envolvidos na indução reprodutiva e no crescimento das inflorescências.

Os estudos mais detalhados sobre o assunto foram realizados por MOENS (1962), no Zaire (Yagambi -  $0^{\circ}49'N$ ), com C. canephora Pierre e por WORMER e GITUANJA (1970a, 1970b), em Quênia (Ruiru -  $1^{\circ}08'S$ ), utilizando C. arabíca, ambos em condições de campo.

Até o momento, a análise histológica de gemas axilares constitui o método mais eficaz para se avaliar a transição da fase vegetativa para a fase reprodutiva (MOENS, 1963; BARROS et al., 1978). BOYER (1969) encontrou uma nítida elevação na atividade da catalase em tecidos foliares de *C. canephora* durante a iniciação das gemas reprodutivas, sugerindo o emprego desta meto dologia pela sua confiabilidade, simplicidade e rapidez de realização. Entretanto, urge saber se tais flutuações na atividade da catalase são inequivocamente associadas à indução do florescimento. Possivelmente, outros estados fisiológicos poderiam promover alterações no "pool" da catalase.

Na presente revisão, procurou-se analisar as informações disponíveis sobre a influência de fatores ambientais (fotoperíodo, temperatura e água), e de atributos endógenos (crescimento vegetativo, produção, estado nutricional e reguladores de crescimento) sobre a indução, diferenciação e desenvolvimento das gemas florais do cafeeiro.

#### 3.1 Fotoperiodo

Três estudos clássicos, conduzidos em casa de vegetação, demonstraram que a formação de gemas reprodutivas em plantas jovens de *C. anabica* cv. Bourbon é induzida por dias curtos (FRANCO, 1940; PIRINGER & BORTHWICK, 1955; WENT, 1957).

O fotoperíodo crítico para a iniciação dos primór dios florais foi estimado entre 13-14 horas por PIRINGER & BOR THWICK (1955). A diferenciação de gemas florais mostrou-se mais precoce e abundante quando o comprimento do dia foi reduzido de 12 horas para 8 horas (PIRINGER & BORTHWICK, 1955). WENT (1957) sugeriu que, sob as condições naturais de iluminação de Pasadena (34 <sup>0</sup>N), o fotoperíodo crítico parecia ser de 12 horas ou menos, pois as gemas florais ja se mostravam visíveis no final do mês de novembro.

Em Ruiru (1<sup>0</sup>8'S), CANNELL (1972) submeteu plantas adultas de *C. arabica*, em condições de campo, a vários tratamen tos fotoperiódicos: prolongamento de fotoperiodo (ca. 16 horas), fotoperiodos naturais (ca. 12 horas) e interrupções noturnas de 3 horas ou 15 minutos Os cafeeiros tenderam a comportar-se como plantas de dias curtos mas as diferenças, quanto ao florescimen to e o crescimento vegetativo, entre controles e tratamentos fo

ram apenas quantitativas. CANNELL concluiu que plantas adultas de *C. arabica* são pouco sensíveis ao fotoperíodo. A possibilida de de haver alterações na sensibilidade fotoperiódica ao longo do desenvolvimento ontogenético do cafeeiro foi discutida por BAR ROS et al. (1978).

CANNELL (1972) também considerou que as respostas dos cafeeiros às variações do comprimento do dia podem ser alte radas pela temperatura em áreas não equatoriais, tais como Tur rialba (10°N). Nesta região apesar de não existir periodicidade definida na distribuição das chuvas e temperaturas a maior parte dos cafeeiros floresce abundantemente na primavera, de maneira similar às plantas cultivadas em latitudes mais altas. O não acredita que cafeeiros sejam capazes de responder a flutuações fotoperiódicas anuais de apenas 1 hora e 10 minutos, como em Tur rialba. Muitas plantas tropicais, entretanto, são capazes de de tectar variações no comprimento do dia entre 5º e 15º de latit<u>u</u> de (SALISBURY & ROSS, 1978). Cabe ressaltar que a região de ori gem de C. arabica situa-se entre 7º e 9º de latitude Norte (ALĒ GRE, 1959).

Em diversas espécies anuais (ZEEVAART, 1976; SALISBURY & ROSS, 1976) e perenes (JACKSON & SWEET, 1972) as exigências fotoperiódicas para o florescimento são alteradas ou mes mo desaparecem quando as plantas são mantidas em temperaturas in fra ou supra-ótimas. A indução floral em *Vicia ghaminea*, por exem plo, necessita de dias longos. Todavia o fotoperiodo torna-se in relevante abaixo de 14°C de temperatura (LABOURIAU, 1969).

As investigações de TROJER (1954 ; 1968), na Colombia, mostraram que até o limite de 5-6 $^{\circ}$  de latitude Norte o florescimento dos cafeeiros é regulado pelo ciclo anual das chu

vas, coincidindo portanto com o padrão de florescimento do he misfério sul. Acima do equador fenológico  $(4-6^{\circ}N)$  as principais floradas ocorrem en fevereiro-abril, obedecendo ao padrão anual do hemisfério norte. Estas informações sugerem que as flutuações fotoperiódicas controlariam a indução de gemas florais em  $C.a\pi a$  bica, em latitudes superiores a  $6^{\circ}N$ .

CAMARGO (1983) relatou que em várias regiões ca feeiras do nordeste brasileiro (7 a 10°S), a produção de C. απα bica é extremamente reduzida porque o florescimento e a frutifi cação ocorrem durante a estação seca (setembro a março). A dis ponibilidade de água é um fator crítico principalmente, durante a fase de expansão dos frutos (WORMER & NIUNGUNA, 1966; CANNELL, 1971a). Apesar da distribuição pluvial ser justamente oposta à quela que vigora nas principais regiões cafeeiras do Brasil - si tuadas abaixo do paralelo 20°S - a época de florescimento é mesma (agosto a novembro). No nordeste do Brasil, a florada promovida por uma eventual chuva de trovoada (chuva do cajú, CA MARGO, 1983). O autor caracterizou portanto, a existência de uma assincronia entre o ciclo fotoperiódico e o ciclo hidroperiódi co, sugerindo que o problema poderia ser superado através do plantio da variedade semperflorens de C. arabica ,insensível ao fotoperiodo e capaz de florescer e frutificar na época úmida (março a agosto).

Os dados experimentais obtidos por MONACO et al. (1978), em condições de viveiro, acrescentaram novas questões sobre a importância do fotoperíodo para o cafeeiro arábica. Plantas de vários cultivares (Mundo Novo, Catuai Amarelo, Bourbon Vermelho, Geisha e Semperflorens) foram submetidas a duas condições fotoperiódicas, a partir do primeiro par de folhas - foto

período natural das condições de Campinas, São Paulo (10:40 - a 13:35 horas) e fotoperíodos prolongados (18 horas). O floresci mento não số foi simultâneo em ambos os tratamentos como também mais intenso nas plantas sob dias longos. Esta quanto ao número de flores foi atribuída à intensificação crescimento vegetativo em virtude das condições de dias longos. O cultivar semperflorens manteve o seu comportamento caracterís tico em ambos os tratamentos, florescendo em diversas épocas do ano. Uma diferenciação genética significativa quanto à altura , número de ramos laterais e folhas foi encontrada aos 15 meses no tratamento de dias longos. As respostas mais proeminentes fo ram observadas nos cultivares Catuai Amarelo e Mundo Novo, nor malmente mais vigorosos que os demais. Entretanto, aos 28 meses as diferenças não foram mais detectadas. MONACO et al. (1978) concluiram que a indução do florescimento nos cultivares estuda dos não foi controlada pelo fotoperíodo, sugerindo a necessida de de se estudar o efeito de outros fatores climáticos, princi palmente temperatura e umidade, sobre o processo. Uma das trições à efetividade dos tratamentos provêm das interrupções ocasionais da iluminação que não puderam ser evitadas durante o longo período deste estudo.

Normalmente, o comprimento do dia é calculado de acordo com o hora exata da saída e do pôr do sol. Entretanto, as intensidades luminosas críticas para o controle das reações fo toperiódicas das plantas são consideravelmente menores do que as existentes durante as horas de brilho solar. Assim, o comprimento do dia efetivo para os processos sensíveis ao fotoperíodo é maior do que aquele obtido com base no número de horas de brilho solar (WENT, 1957; FRANCIS, 1972). De acordo com WENT (1957)

a intensidade luminosa, sob luz solar plena, oscila entre  $5 \times 10^3$ e  $1 \times 10^4$  "foot-candle" (53,9 x  $10^3$  lux e  $10,76 \times 10^4$  lux), sendo que a fotossíntese e o crescimento não ocorrem quando as plantas crescem abaixo de 100-200 "foot-candle" (1076 e 2152 lux). FRAN CIS (1972) relatou que a extensão artificial do período luminoso por 5 horas, com intensidades luminosas superiores a 2-5 "foot candle" (22-54 lux). atrasou a diferenciação floral em cerca 5 dias e 20 dias, respectivamente, em genótipos de milho sensi veis ao fotoperíodo. Em experimento realizado por WENT (1957) plantas de C. arabica cv. Bourbon receberam 4 horas de luz cional antes e após um período de 8 horas de luz natural, tentativa de simular a aurora e o crespúsculo. As intensidades suplementares foram de 100, 10, 1 e 0 "foot-candle" (combinação de luz incandescente e fluorescente na proporção de 4:9). meses e meio após os tratamentos, os cafeeiros sem luz suplementar e os submetidos à intensidade de 1 "foot-candle" apresenta vam gemas florais bem desenvolvidas, enquanto que nas plantas mantidas sob 10 "foot-candle", as gemas florais estavam atrasa das em seu desenvolvimento. WENT (1957) concluiu que intensida des luminosas ligeiramente superiores a 10 "foot-candle" não fetam a indução fotoperiódica de gemas florais de C. arabica .Es tas observações experimentais com C. anabica coincidem com as in formações da literatura quanto à exigência mínima de luz para tivar o sistema fitocromo em plantas sensíveis ao fotoperíodo. In tensidades luminosas superiores à faixa 0,3 a 3 "foot-candle" (3-30 W/cm<sup>2</sup>; luz incandescente) são capazes de induzir respostas f<u>o</u> toperiódicas em Xanthium (SALISBURY & ROSS, 1969). Portanto ao se considerar as variações anuais do comprimento do dia, nas regiões tropicais, é importante incluir o período da aurora crepusculo, tendo em vista a intensidade luminosa crítica para o

indução de respostas fotoperiódicas no cafeeiro (sensibilidade do sistema fitocromo).

Nas regiões equatoriais, onde o fotoperíodo écontinuamento indutivo, o florescimento pode ocorrer o ano inteiro. Apesar disso, TROJER (1956, Chinchiná - 5°N) e WORMER e GITUANJA (1970a, 1970b; Ruiru - 1°08'S) identificaram "períodos ótimos" para a diferenciação das gemas florais. TROJER associou o fenômeno aos períodos de seca (baixo coeficiente P/B - precipitação /brilho solar), enquanto que WORMER e GITUANJA (1970a, 1970b), atribuiram à ocorrência de temperaturas anuais mais amenas.

Investigações adicionais sobre a influência do fotoperiodo na indução de primórdios florais em cafeeiros jovens e adultos de cultivares comerciais (Catuai, Mundo Novo), em condições controladas ainda se fazem necessárias.Principalmente es tudos referentes ao número de ciclos fotoperiódicos necessários para a indução floral e visando determinar, com precisão, a intensidade luminosa mínima capaz de induzir as gemas reprodutivas. Estudos sobre interação entre temperaturas e diferentes fotope riodos também forneceriam informações valiosas para a elucidação do controle da indução de gemas reprodutivas em C. arabica.

#### 3.2 Temperatura

Etapas críticas da ontogênese vegetal podem ser controladas em resposta a diferentes temperaturas (SALISBURY e ROSS, 1978). Em citrus, a diferenciação de gemas florais é inibida por temperaturas elevadas e favorecidas por baixas temperaturas (MOSS e BEVINGTON, 1977). Demonstrou-se que em olivei

ras, a termoindução promove a elevação do nível endógeno de <u>gi</u> berelinas e a redução de inibidores nas gemas destinadas ao florescimento (JACKSON e SWEET, 1972).

MES(1957) e WENT (1957) avaliaram a influência de vários termoperíodos sobre a iniciação e crescimento de ge mas florais em plantas jovens de *C. aπαbica* cv. Bourbon, cultivadas em estufas, sob fotoperíodo de 8 horas. As temperaturas e levadas produziram resultados divergentes nestes estudos. WENT (1957) encontrou maior número de gemas florais em combinações de temperatura diurna e noturna de 30°/23°C. Contrariamente, MES (1957) verificou que as gemas axilares permaneciam indiferencia das em temperaturas de 30°/23°C e 30°/17°C, nos quatro cultivares utilizados - Caturra, Mundo Novo, Bourbon Vermelho e Semper florens. A diferenciação de gemas reprodutivas não ocorreu quan do os cafeeiros foram submetidos a baixas temperaturas (17°/12°C; WENT, 1957).

Nos experimentos de MES (1957), o efeito inibitó rio das temperaturas elevadas foi menos pronunciado em cafeei ros mais velhos (2 anos e meio a 3 anos de idade). Ao contrário das plantas de 13 meses de idade, os cafeeiros mais velhos de senvolveram um pequeno número de gemas florais. BARROS et al. (1978) destacaram que a sensibilidade à temperatura também pode ser modificada ao longo do desenvolvimento do ontogenético do cafeeiro.

A combinação de temperatura mais favoravel ao processo de diferenciação de primórdios florais foi 23º/17ºc (MES, 1957). Entretanto, a influência da temperatura sobre a iniciação floral não pôde ser separada de seus efeitos sobre o crescimen

to vegetativo e as condições gerais dos cafeeiros. No termoperiodo de 23º/17ºC, os cafeeiros mostraram-se mais vigorosos e desenvolveram maior número de gemas florais por axida foliar.

Após o período de diferenciação das inflorescências, a temperatura não mais influenciou o número de gemas florais produzidas. MES (1957) constatou que as gemas florais das plantas mantidas a 23º/17ºC apresentaram um atraso de 3 a 8 semanas em relação às plantas cultivadas nos termoperíodos de 30º/24ºC e 26º/20ºC. Esta informação é especialmente importante por que demonstra que as exigências quanto à temperatura não são as mesmas nas diferentes etapas do processo de desenvolvimento reprodutivo, ou seja, indução, diferenciação, crescimento e antese.

WORMER e GITUANJA (\$2970a), em condições de campo em Quênia, verificaram que as temperaturas elevadas de março e as baixas temperaturas do mês de julho não inibiram a iniciação floral. Porém, a diferenciação de gemas florais mostrou-se intensificada nos meses mais frios do ano. Na localidade de Mariene, onde as temperaturas são mais baixas que as de Ruiru, a diferenciação foi mantida sem interrupção por um periodo mais prolongado. GOPAL e VASUDEVA (1973) sugeriram que, na Índia (13°22'N), a indução e diferenciação das gemas florais pode ser promovida por baixas temperaturas. Em Cuba (Havana, 26°N) os periods de rápida diferenciação de primôrdios florais coincidiram com os periodos de temperaturas amenas e com umidades relativas inferiores a 75% (SAM, 1980).

Em duas regiões cafeeiras do Brasil (Viçosa e Campinas) e no Zimbábue (África), regiões cujas características climáticas guardam grande semelhança, a diferenciação das gemas re

produtivas se processa durante a estação seca e fria (BARROS et al. 1978; SONDHAL e SHARP, 1979; CLOWES e ALLISON, 1982). Em Campinas, os primeiros indícios de gemas induzidas foram identificadas em fins de março e início de abril, época que coincide com o início do outono (SONDAHL e SHARP, 1979).

Os dados experimentais de MES (1957), juntamente com as observações de campo efetuadas em diversos países, suge rem que as temperaturas amenas favorecem a diferenciação de ge mas reprodutivas em Coffea arabica.

# 3.3 Influência do balanço hidrico

Muitos processos das plantas são afetados — pelo estado de hidratação dos tecidos. A remoção de 10 a 15% da água de um tecido túrgido pode afetar profundamente as atividades vitais das plantas (HSIAO et al., 1976). No cafeeiro, uma turges cência relativa de 80% acarreta sintomas de murchamento (NUNES, 1976). Níveis de estresse relativamente incipientes, correspondentes a variações do potencial da água de -3 a -8 bars, desenca deiam uma sequência de respostas capaz de modificar substancial mente o metabolismo (SALISBURY & ROSS, 1978).

HSIAO et al. (1976), em revisão sobre a influência do estresse hídrico no metabolismo, evidenciaram que os processos físiológicos das plantas diferem quanto à sensibilidade aos déficit hídricos. O crescimento celular pode ser afetado em primeiro lugar. A redução progressiva do potencial da água nas plantas, além de interferir em eventos metabólicos essenciais (síntese de parede celular, síntese de proteínas, fotossíntese e

redução de nitrato) também altera o nível endogeno de regulado res de crescimento. Concentrações crescentes de ácido abscísico (ABA) são frequentemente detectadas com o aumento de estresse hídrico em várias espécias (VAADIA, 1976), inclusive em *C. atabica* (KUMAR, 1979b). VAADIA (1976) encontrou redução da ativida de das citocininas em raízes de plantas submetidas a déficit hídricos. A produção de etileno parece ser ativada pelo estresse de água (SALISBURY e ROSS, 1978).

A formação de gemas florais em plantas perenes tem sido relacionada a déficit hídrico moderados. Em citrus, o estresse de água é utilizado para promover a iniciação de gemas florais (JACKSON e SWEET, 1972). As informações existentes sobre a influência da água na indução e diferenciação de gemas florais em *C. atabica* são fragmentárias, circunstanciais e obtidas sem controle dos parâmetros ambientais.

A diferenciação de gemas florais no cafeeiro, em Chinchiná, na Colombia, parece ser favorecida durante a época mais seca do ano (TROJER, 1956). Na Índia, o atraso de cerca de 1 mês na diferenciação das gemas florais da safra de 1970 - 1971, em C. atabica, coincidiu com o prolongamento das chuvas de monção (GOPAL e VASUDEVA, 1973). WORMER e GITUANJA (1970a, 1970b) consideraram secundária a influência das precipitações, nas áreas cafeeiras de Quênia, pois a formação de gemas florais foi intensa em períodos secos e chuvosos. Todavia, a época de máxima diferenciação começou no final da estação chuvosa, estendendo - se através da estação seca e fria, marcada pelo reduzido crescimento vegetativo (RAYNER, 1946; WORMER e GITUANJA, 1979a, 1970b).

Nas regiões cafeeiras do Brasil (BARROS et al., 1978; CLOWES e ALLISON,

1982), e em Cuba (SAM, 1980) o desenvolvimento das gemas reprodutivas se processa nas épocas mais secas e frias do ano.

Deve-se considerar que o balanço hídrico das plantas depende da conjugação de vários fatores tais como: 1) disponibilidade de água no solo que relaciona-se com o regime pluvio métrico e com as características físico-químicas do solo (BOYER, 1969); 2) condições de evapotranspiração que resultam da interação entre umidade, temperatura do ar e insolação (BOYER, 1969; BROWNING & FISHER, 1975; KUMAR, 1979a); 3) resistência dos tecidos ao transporte da água (CANNELL, 1975; NUNES, 1976). Sendo assim, existem dificuldades em se comparar as informações existentes na literatura pertinente ao cafeeiro. Apesar disso as informações disponíveis sugerem que um estresse hídrico moderado pode favorecer a diferenciação de gemas florais, em condições naturais (BARROS et al., 1978; KUMAR, 1979b).

KUMAR (1979b) discutiu o possível envolvimento do ácido abscísico (ABA) e das giberelinas na diferenciação de gemas florais do cafeeiro. Ele argumentou que, por ser uma planta de dias curtos, o cafeeiro exigiria baixo nível de giberelinas e níveis de ácido abscísico relativamente elevados, de acordo com os dados da literatura. O déficit hídrico, promovendo a produção de ácido abscísico, beneficiaria a diferenciação de primórdios florais, através de uma concentração relativa GA / ABA mais favorável ao processo reprodutivo do cafeeiro.

3.4 Crescimento vegetativo e diferenciação de primordios florais

Nas principais regiões cafeeiras de Quênia, for ram identificados dois ritmos de florescimento, para *C. anabiz* ca, que se diferenciaram pelas épocas das floradas mais importantes (WORMER e GITUANJA, 1970a). O ciclo de florescimento mostrou-se alterado pela época de poda, pela ocorrência de precipitações insuficientes na estação de crescimento ou quando houve atraso na colheita de plantas em condições nutricionais precárias. WORMER e GITUANJA (1970a, 1970b) concluiram que o crescimento vegetativo e o desenvolvimento reprodutivo são eventos estreitamente relacionados.

MOENS (1962), em *C. canephora*, verificou que o tempo transcorrido entre a formação das gemas seriadas e a diferenciação em gemas reprodutivas dependia da época de origem dos meristemas axilares. As gemas surgidas no início da estação chuvosa transformavam-se em gemas reprodutivas num tempo mais curto (1,8 a 2,2 meses) do que aquelas formadas no final da estação úmida e durante a época seca (2,5 a 3,0 meses). MOENS deduziu que toda época de máxima diferenciação floral é precedida de um período de crescimento vegetativo intenso.

Em plantas jovens de *C. canephora*, cultivadas em vasos e em casa de vegetação, BOYER (1969) encontrou os primeiros estádios de diferenciação floral 5 a 6 semanas após o crescimento vegetativo máximo. Nas condições experimentais de BOYER, a iniciação floral só foi observada em ramos laterais cujo crescimento vegetativo anterior tinha se caracterizado por uma taxa média diária de 1,0 a 1,5mm.

Diversos trabalhos demonstraram a existência de uma elevada correlação entre a produção e o período de crescimento imediatamente anterior (GOMEZ, 1977; SONDAHL e SHARP, 1979; CLOWES e ALLISON, 1982).

A ocorrência de períodos de máxima diferenciação floral parece depender da interação dos seguintes fatores : 1) do número de nós formados na estação de crescimento; 2) da existência de condições ambientais favoráveis à diferenciação das gemas florais (temperatura e/ou balanço hídrico, fotoperíodo inferior a 13 horas).

### 3.5 Produção e diferenciação de gemas reprodutivas

Em muitas árvores frutíferas a diferenciação de gemas florais tende a ser reduzida em anos em que a produção é elevada, ocasionando a diminuição da colheita no ano seguinte (JACKSON e SWEET, 1972; MOSS e BEVINGTON, 1977). O ciclo bienal de produção do cafeeiro é um aspecto amplamente conhecido (CLOWES e WILSON, 1977; FAZUOLI, 1977; CLOWES e ALLISON, 1982).

O efeito inibitório dos frutos sobre a diferenciação de gemas florais em *C. anabica* foi identificado por WOR MER e GITUANJA, 1970b). Plantas cujos frutos haviam sido removidos na fase de chumbinho demonstraram uma evidente aceleração do processo de diferenciação de gemas florais. Apesar disso, o padrão de florescimento não foi alterado, ou seja, a antese o correu na mesma época em plantas tratadas e no controle.

JACKSON e SWETT (1972) sugeriram duas explicações

para a ocorrência da produção bienal: 1) a restrição da diferenciação de gemas florais, em anos de grande produção, seria consequência da competição por nutrientes e compostos orgânicos ;

2) a presença de grande número de frutos promoveria um balanço hormonal desfavorável à diferenciação de gemas florais.

O esgotamento de cafeeiros em diferentes graus, tais como a seca dos ponteiros (die-back) ou a produção bienal são eventos atribuídos à excessiva mobilização de nutrientes or gânicos e inorgânicos pelos frutos (CANNELL, 1971b, CLOWES WILSON, 1977; CLOWES e ALLISON, 1982). Na opinião de (1959), a proporção entre a massa vegetativa e a quantidade frutos é decisiva para a ocorrência dos distúrbios fisiologi cos. Os estudos de VASUDEVA e RATAGERI (1981) revelaram que area foliar de 17,70 cm² é necessaria para suportar um fruto de C. arabica nas condições do Sul da Índia. CANNELL (1975) esti mou que 2-3 frutos podem ser adequadamente sustentados pelo par de folhas de cada no (20-30 cm<sup>2</sup>/folha). Considerando uma média de 6-8 frutos/no, grande parte das reservas de carboidratos nutrientes dos tecidos lenhosos precisa ser carreada para 0.5 frutos. A formação dos frutos, em anos de produção elevada, ра rece afetar diretamente o crescimento das raízes (CANNELL, 1975; CLOWES e WILSON, 1977). NUTMAN (1933) encontrou deficiência carboidratos em raízes de cafeeiros com excesso de produção. KU MAR (1979b) relatou que uma produção correspondente a 50% da ca pacidade produtiva da arvore não alterou o crescimento das rai zes. Após este limite, a redução do crescimento do sistema radi cular foi drástica. A morte de radicelas ativas em plantas um bom nível de produção foi observada por CANNELL (1971b).

RENNA et al. (1983) compararam as taxas fotossintéti cas de uma linhagem comercial de Catuai Vermelho e outra de tuai Amarelo e de duas progênies de Catimor, uma com baixo ní vel de depauperamento (UFV 1603) e outra com acentuado depaupe ramento (UFV 1359), na presença de uma boa carga de frutos. autores encontraram diferenças marcantes na resistência foliar total ao  ${\rm CO}_2$ , entre os quatro germoplasmas, em temperaturas fo liares inferiores a 23-25°C e superiores a 32-33°C. As maiores taxas fotossinteticas líquidas (mg  $CO_2$  dm<sup>-2</sup> h<sup>-1</sup>) foram obser vadas a 28-29  $^{\circ}$ C (UFV 1603 - 12,0 ; UFV 1359 - 8,0 ; Catuai 6,0 e Caturra - 5,0). Em períodos mais quentes, a troca de gas car -onico foi ligeiramente negativa para o Catuai  $(-1,0 \text{ mg dm}^{-2}h^{-1})$ e para o UFV 1359 (-2,5 mg  $CO_2$  dm $^{-2}$  h $^{-1}$ ), que apresentou altas taxas de fotorrespiração sob temperaturas elevadas. Na UFV 1603 e no Caturra, as taxas de fotossíntese líquida foram sempre po sitivas. RENNA et al. (1983) associaram os diferentes níveis de depauperamento destes germoplasmas, em função da carqa de tos, as temperaturas elevadas dos meses de dezembro e (capacidade de produção de fotossimilados) e à distribuição das floradas (mais ou menos concentradas).

CLOWES & WILSON (1977) acreditam que a deficiên cia de carboidratos nas raízes seja a causa primária da seca dos ponteiros em café. As raízes, além das atividades de absorção de água e sais minerais, são importantes sítios de produção de hormônios (CLOWES & WILSON, 977; SALISBURY e ROSS, 1978; KUMAR, 1979b). A morte total ou parcial da parte aérea poderia ser cau sada pela insuficiência de citocininas e giberelinas sintetiza das pelas raízes (CLOWES e WILSON, 1977).

As restrições ao crescimento vegetativo impostas

pelos frutos não resultam, exclusivamente, de competição por nu trientes e compostos orgânicos. A frutificação pode produzir e feitos mais diretos sobre a morfologia das árvores devido à in fluência (nutricional e hormonal) que exerce sobre o desenvolvimento das gemas vegetativas. CLOWES e WILSON (1977) chegaram a tais conclusões após observarem que a quantidade de frutos foi inversamente proporcional ao número de ramos laterais formados.

Em síntese, a produção bienal em cafeeiros pare ce ser consequência da interação de dois eventos. Primeiramente, produções elevadas acarretam a redução do crescimento vegetativo, atravês da exaustão de reservas, restrição da atividade dos ápices em crescimento, redução da emissão de novos ramos laterais e diminuição da atividade do sistema radicular. Estes fatores limitam a quantidade de meristemas axilares disponíveis para a formação de inflorescências. Em segundo lugar, a presença dos frutos aparentemente atrasa e restringe a diferenciação das gemas florais, provavelmente devido à ação combinada de fatores hormonais e nutricionais que ainda precisam ser determinados.

CANNELL (1974) sugeriu que a exaustão do cafeeiro, em decorrência de uma alta produção nos plantios a pleno sol, o correria devido à inexistência de mecanismos para regular o número de sementes. Em condições naturais (café sombreado), a espécie C. anabica teria evoluido para garantir o desenvolvimento de poucas sementes produzidas através de um mecanismo endógeno de regulação que assegurasse intensa mobilização de compostos orgânicos e de nutrientes. Cultivares mais recentes, seleciona dos a pleno sol, parecem ser menos suscetíveis a distúrbios fisiológicos acentuados (SONDAHL, informação pessoal).

# 3.6 Nivel de carboidratos e nutrientes

Elevada relação carbono/nitrogênio (C/N) foi utilizada por muito tempo para explicar o fenômeno da indução de gemas florais em várias árvores frutíferas. Entretanto, trabalhos mais recentes, mostraram que fertilizantes nitrogenados estimulam o florescimento em várias plantas perenes (JACKSON e SWEET, 1972).

MOENS (1962) encontrou estreito paralelismo en tre as variações da relação C/N das folhas e a intensidade de iniciação de gemas florais, concluindo que valores elevados da relação C/N favoreceriam a diferenciação floral em C. canephora.

RAYNER (1946), SYLVAIN (1959 e JANARDHAN (1971a, 1971b) salientaram a importância das reservas de carboidratos para inúmeras atividades do cafeeiro. GOPAL e RAJU (1978) esta beleceram uma correlação altamente significativa entre o número total de gemas florais e as reservas de carboidratos em ramos secundários e terciários. RAYNER (1946) associou alto nível de carboidratos com a iniciação de gemas florais.

o potencial de florescimento das gemas de macieiras, laranjeiras e pereiras apresentou estreita relação com o conteúdo do fósforo (JACKSON e SWEET, 1972). CANNELL e KIMEU (1971), em Quênia, encontraram acúmulo de fósforo em gemas florais de cafeeiros arábica em diferenciação. Durante a estação seca e quente, as gemas florais absorveram 39% do fósforo incorporado. Na mesma época, o incremento das gemas florais em matéria seca correspondeu a 8% do total.

# 3.7 Relações hormonais

A aplicação do ácido giberélico (GA<sub>3</sub>) tem efeito inibitório sobre a diferenciação de gemas florais na maioria das dicotiledôneas (JACKSON e SWEET, 1972; ZEEVAART, 1976; PHARIS, 1977). Esta propriedade foi explorada por MOSS e BEVINGTON (1977) para controlar a produção bienal em citrus.

ra retardar diferenciação de gemas florais em *C. anabica* e as sim alterar o padrão sazonal de frutificação nas regiões cafee<u>i</u> ras de Quênia. Comparativamente ao controle, as plantas tratadas com oito aplicações de 100 ppm de GA3, apresentaram uma redução de 77% na primeira época de colheita e uma elevação de 91% na segunda colheita.

KUMAR (1982) relatou a ocorrência de três tipos de anormalidades no florescimento de cafeeiros, em dois anos con secutivos de chuvas torrenciais e bem distribuídas, nas de cafeicultura de Quênia. Num dos casos, as plantas de uma re gião exibiram uma produção de flores equivalentes a apenas de sua potencialidade total, apesar do aspecto vegetativo sido saudavel. Os tecidos foliares das plantas "sem capacidade de florescimento" reveleram uma atividade de giberelinas aproxi madamente dez vezes superior à das plantas com florescimento nor mal. As causas do elevado nível de giberelinas nas árvores mais não pôde ser precisamente esclarecida. Na área de ocorrên cia da anomalia, o conteúdo de nitrogênio do solo estava ramente acima do recomendável. KUMAR (1982) citou um trabalho (PHILIPS, 1968) no qual a nutrição nitrogenada promoveu a sínte se de giberelinas. Os outros dois tipos de anomalias (gemas flo rais semi-secas e flores rudimentares) foram observadas em <u>ge</u> mas florais presentes em inflorescências já formadas. Em ambos os casos, a atividade das giberelinas foi inferior à de gemas florais normais (KUMAR, 1982). Um dos aspectos mais relevantes discutidos por KUMAR (1982) diz respeito aos diferentes níveis de ácido giberélico exigidos ao longo do processo de desenvolvimento reprodutivo. A diferenciação das inflorescências seria fa vorecida por uma baixa concentração de giberelinas enquanto que um nível intermediário seria necessário para o desenvolvimento de gemas florais. Um nível endógeno ainda maior seria indispensável para garantir a antese normal das gemas florais.

A diminuição do número de flores e frutos da pelo sombreamento é um fato bem conhecido. CASTILLO e (1966) demonstraram experimentalmente, na Colombia, que intensi dades luminosas crescentes (25%, 50%, 75% e 100% de plena expo sição solar) elevaram o número de flores por nó e por inflores cência, aumentaram o número de inflorescências por nó, além terem ampliado o número de nos com flores nos ramos laterais.Es tes resultados, bem como a falta de resposta de plantas sombrea das à aplicação de fertilizantes, foram atribuídos à cia de energia luminosa (CASTILLO e LOPEZ, 1966). KUMAR (1978) determinou que o sombreamento excessivo elevava a atividade dogena das giberelinas. Em cultivos cuja intensidade de plantio superava 6.000 plantas/ha houve um expressivo aumento na ativi dade das giberelinas, sendo evidente a menor diferenciação de gemas reprodutivas.

FISHER e BROWNING (1978), em plantios de alta densidade em Quênia, observaram que os cafeeiros irrigados pos suiam maior número de nos que os não irrigados, mas continham

menor número de frutos por nó. Eles relacionaram o evento ao crescimento vegetativo mais intenso das plantas irrigadas, oca sionando maior auto-sombreamento e consequentemente reduzindo a diferenciação de primórdios florais.

A aplicação do retardante de crescimento comercial CCC, inibidor da síntese de giberelinas, promoveu o aumento da produção de cafeeiros arábica de cinco anos de idade cultivados em Quênia na densidade de 5.000 plantas/ha. As plantas tratadas com CCC superaram em 30% a produção do controle (KUMAR, 1978).

A hipótese do envolvimento do ácido abscísico (ABA) na indução de gemas reprodutivas foi defendida por KUMAR (1978, 1979b). O autor fundamentou-se em estudos que demonstra vam a participação do ácido abscísico na indução de gemas florais em plantas de dias curtos. O estresse hídrico moderado e a condição de dias curtos favoreceriam o processo de diferencia ção floral através do estímulo da síntese do ABA.

O papel dos reguladores de crescimento na indu
ção e diferenciação das gemas florais do cafeeiro ainda precisa
ser rigorosamente investigado. Os conhecimentos nesse campo po
derão abrir possibilidades de controle de eventos fisiológicos
importantes, permitindo a obtenção de floradas mais concentra
das e minimizando as diferenças entre colheitas em anos consecu
tivos. Como já foi mencionado, CANNELL (1971b) obteve sucesso
ao tentar controlar o padrão de florescimento de plantas de C.
atabica utilizando o GA3. Todavia, as plantas tratadas manifes
taram alterações consideráveis na parte aérea. O GA3 ocasionou
o alongamento dos internós e modificou o tamanho e o formato das

folhas, deixando a copa das arvores mais rarefeita e aberta e talvez mais vulneravel aos ventos.

# 4. Dormência e antese das gemas florais

4.1 Características e influência de fatores ambientais

O fenômeno da dormência e antese das gemas florais no gênero Coffea foi objeto da grande maioria dos estudos sobre o florescimento. ALVIM (1973), BROWNING (1977) e BARROS et al. (1978) apresentaram revisões sobre o assunto. O florescimento do cafeeiro foi detalhadamente discutido na revisão de BARROS et al. (1978).

A paralização do crescimento das gemas florais, após uma certa fase de desenvolvimento, é um evento amplamente documentado em quase todas as regiões cafeeiras do mundo. De mo do geral, a etapa de repouso das gemas florais coincide com a estação seca do ano, estendendo-se até o término do déficit hídrico. Em condições naturais, as primeiras chuvas estimulam o reinício do crescimento das gemas florais, que passam a se expandir rapidamente até a abertura das flores 8 a 15 dias mais tarde (BARROS et al., 1978)

As gemas florais diferenciadas ao entrarem nesta fase de dormência, caracterizam-se por apresentarem as células mãe do microscópio completamente desenvolvidas (MES,1957; REDDY, 1979). O tamanho atingido pelas gemas florais quando se dá a cessação do crescimento varia entre cultivares, especies e pos

sivelmente com as condições ambientais (BARROS et al. 1978; REDDY, 1979). Em Viçosa (FREDERICO e MAESTRI, 1970) e Campinas (SONDAHL e SHARP, 1979), as gemas florais dormentes de *C. anabica* apresentaram 4-6mm. Na India, o comprimento observado situou-se entre 7 e 9 mm (GOPAL e VISHVESHWARA, 1971; GOPAL e VASUDEVA, 1973). Esta diferença pode ser devida ao cultivar ou ao ponto de referência das medidas (incluindo ou não a base da inflorescência).

Após a queda das chuvas, o crescimento das gemas florais é acompanhado por drásticas alterações morfológicas, ana tômica e bioquímicas (BARROS et al., 1978). A meiose das células maternas do microscópio ocorre logo a seguir (MES, 1957; REDDY, 1979) e a corola sofre um incremento de peso fresco e peso seco da ordem de 500% e 300%, respectivamente, até antese (MES, 1957; CROOPE et al., 1970; BROWNING, 1971). O intervalo entre a quebra da dormência e a abertura das flores pode oscilar de 7 días (SONDAHL e SHARP, 1979) a 18 días (BARROS et al., 1978). MES (1957) demonstrou, experimentalmente, que o número de días entre a quebra da dormência e a antese depende da temperatura do ar.

do uma quantidade suficiente de chuvas, o percentual de flores normais mantinha correlação com o número de folhas por nó e por ramo, com o índice de amido do lenho e com as condições gerais das plantas.

Varios fatores ambientais influenciam decisivamen te o surgimento de flores anormais. Secas muito prolongadas an tes do florescimento (KUMAR, 1979b) ou uma quantidade de chuvas insuficiente (BARROS et al., 1978) parecem ser particularmente im portantes. Temperaturas elevadas (30°C diurna / 24°C noturna; MES,

1957) e temperaturas baixas (A. CARVALHO, informação pessoal) na época da antese produzem anomalias florais ("estrelinhas" e ou tras atrofias) Alguns cultivares de *C. anabica* apresentam maior proporção de anomalias florais do que outros, indicando que este caráter é parcialmente controlado a nível genético (KUMAR, 1979b).

Diversos tipos de transição entre as flores com pletamente estéreis e flores normais podem ser identificados (L. MULLER, informação pessoal). KUMAR (1979b) descreveu três cate gorias de gemas florais anormais, as quais diferiram quanto ao grau de exposição prematura das partes internas das flores (estigma, estilo e antera). A retenção de frutos pode ser reduzida em até 80% no caso de anomalias mais severas e em 40% nos casos intermediários (KUMAR, 1979b).

O papel desempenhado pelas folhas no mecanismo de quebra de dormência é um aspecto que ainda precisa ser investigado. MAGALHÃES e ANGELOCCI (1976) observaram que em nós sem folhas os botões florais não abriam. Ao realizarem medidas simultâneas do potencial da água de gemas dormentes e do par de folhas subjacente, aqueles autores verificaram que o processo de quebra da dormência está associado a rápidas alterações no balanço de água entre os dois órgãos. Por outro lado, MES (1957) e BROWNING (1973) encontraram antese de botões florais em nós e ramos desfolhados.

BARROS et al. (1982) demonstraram que são nece<u>s</u> sários 4,7 cm<sup>2</sup> de área foliar para que haja a abertura de uma flor normal em híbridos Catimor selecionados em Viçosa. A maior parte dos compostos orgânicos assimilados pelos botões florais

provinham diretamente da fotossíntese. As reservas das folhas e do lenho tiveram uma contribuição limitada. Os autores verifica ram que os botões florais são capazes de utilizar fotoassimila dos de folhas situadas em outros nós de um mesmo ramo, seja em direção ascendente ou descendente, não havendo inclusive limita ções ao transporte lateral. Os botões florais também foram capa zes de mobilizar matéria seca acumulada no lenho de ramos total mente desfolhados. Estes dados explicariam porque são observa das flores normais em nós e ramos parcialmente desprovidos de folhas, em condições naturais.

Existem controvérsias a respeito do significado fisiológico da paralização do crescimento das gemas florais ferenciadas. Alguns pesquisadores sustentam a hipótese de que as gemas florais experimentariam uma quiescência imposta seca. A cessação do crescimento e a redução das atividades meta bólicas resultariam do déficit hídrico das plantas (MES, 1957; GOPAL e VASUDEVA, 1973; GOPAL et al., 1975a; REDDY, 1979). tros pesquisadores, alicerçados em inúmeros dados experimentais, acreditam que o estresse hídrico é necessário para que haja a quebra da dormência e que, portanto, haveria uma dormência ver dadeira, determinada por condições endógenas (ALVIM, 1958, 1960, 1973; BROWNING, 1971, 1973a, 1973b, 1977). Esta hipótese substancialmente reforçada pelos resultados de MAGALHÃES e ANGE LOCCI (1976). Eles encontraram um potencial crítico de -12 bars, nas folhas, abaixo do qual as gemas florais abriam em resposta ã irrigação do solo. A antese não foi observada em plantas tidas com um potencial da folha superior a -11 bars. MAGALHÃES e ANGELOCCI concluiram que a irrigação quebrava a dormência quan do havia uma brusca reversão do gradiente de potencial da água

entre as gemas florais e folhas subjacentes. Assim, após a irrigação, o fluxo de água das folhas para as gemas florais seria restabelecido.

Um dos argumentos contrários à hipótese de que o estresse de água seja fundamental para quebra da dormência ba seia-se nas observações de que plantas com plena disponibilida de de água nas raízes (irrigadas ou em solução nutritiva) e plantas submetidas à seca são capazes de florescer simultaneamente. Mas, como já foi discutido anteriormente, cafeeiros irrigados e em solução nutritiva podem apresentar acentuado estresse hídrico em condições de elevada demanda evapotranspiratória (BOYER, 1969; BROWNING e FISHER, 1975; KUMAR, 1979b; KUMAR e TIEZEN, 1980b).

taram que a seca tem efeitos benéficos sobre a produção do <u>ca</u> feeiro, independentemente do fato de promover a concentração da antese. FISHER e BROWNING (1978) relataram que plantas irrigadas de duas em duas semanas, ao longo do ano, e <u>las irrigadas</u> na estação seca e quente, não produziram adequadamente em cult<u>i</u> vos de alta densidade, aparentemente demonstrando que a seca fa vorece ao processo de florescimento em *C. arabica*.

ALVIM (1973) supôs a existência de duas etapas fisiologicamente distintas durante a paralização do crescimento das gemas florais. Primeiramente, a dormência endógena, atribuída à presença de substâncias inibidoras, seria revertida durante a seca. A partir de um dado momento, passaria a existir uma quiescência ou dormência imposta, que se estenderia enquanto perdurasse o estresse de água dos cafeeiros.

BROWNING (1977) acredita que as rápidas ções na temperatura, que normalmente acompanham as chuvas nos trópicos, podem desempenhar um papel relevante na quebra da dormência. Ele relatou que, nas condições de Quênia, o flores cimento está invariavelmente associado à rápidas reduções temperatura, exceto após secas prolongadas. Neste caso, chuvas ou a irrigação isoladamente são suficientes para estimular a abertura de flores. O autor determinou que a quebra da dormên cia ocorria apenas quando a queda da temperatura era de 3ºC ou mais, num período de 45 minutos ou menos. Tais alterações temperatura estavam sempre associadas as chuvas. ALVIM ponderou que a queda da temperatura pode ter um efeito indire to, pois ocasionando redução das perdas transpiratórias, favo receria de imediato o balanço hídrico dos cafeeiros.

Sob temperaturas de  $18^{\circ}$ C, REDDY (1979) não obteve a quebra da dormência. Entretanto, a interrupção da dormência foi conseguida em cerca de 12 horas após a submersão dos ramos, por 30 segundos, em água mantida a  $33^{\circ}$ C.

BARROS et al. (1978), analisando os dados experimentais de REES (1964) com C, rupestris e de BROWNING (1972, 1973) com C. arabica, concluiram que as rápidas reduções na temperatura devem ter um papel crítico na quebra da dormência, independentemente da água.

Fundamentando-se nas informações disponíveis , BARROS et al. (1978) sugeriram que as seguintes condições podem promover o florescimento do cafeeiro: a) uma queda rápida da temperatura, isoladamente, quando o balanço hídrico das plantas não for crítico; b) chuvas abundantes ou irrigação apos um

longo período de seca; c) quedas bruscas na temperatura e suprimento de água, tanto da chuva como da irrigação, atuando comple tamentarmente ou sinergisticamente.

## 4.2 Relações hormonais

Os fatores ambientais responsáveis pela dormên cia e estímulo à antese promovem alterações endógenas dos fitor reguladores. O ácido giberélico exógeno (GA3) substitui o estímulo gerado pela irrigação ou pelas chuvas quando aplicado diretamente sobre as gemas de C. arabica (ALVIM, 1958, 1960b; BROW NING, 1971). Após irrigação ou chuvas, acompanhadas de rápida redução na temperatura, demonstrou-se que as gemas florais de C. arabica produziram quantidades crescentes de giberelinas. A concentração endógena de GA, entretanto, diminuiu quando os botões florais começaram a se expandir e absorver água rapidamente, ou seja, a partir do 49 dia após o estímulo causado pelas chuvas, nas condições de Quênia (BROWNING, 1973a).

Na opinião de BROWNING (1973a), os fatores ambientais que estimulam a antese atuariam, de imediato, sobre a a tividade das giberelinas dentro das gemas florais. O autor con siderou que as giberelinas das gemas não poderiam ter sido importadas de outras regiões da planta porque a concentração das giberelinas no xilema permaneceu inalterada após a quebra da dor mência.

A aplicação de inibidores da síntese de giberelinas (Bg e CCC) não inibiu o processo de indução da antese após as chuvas (BROWNING, 1971). Este autor concluiu que o incremen

to da atividade das giberelinas, como resposta a estímulos ambientais, resultaria da conversão de giberelinas conjugadas para uma forma livre.

O estimulo à antese pela irrigação ou pelas chu vas pode ser completamente inibido pela aplicação prévia de áci do abscísico (ABA) sobre as gemas florais (ALVIM, 1973; BROWNING, 1977). A eficácia do ABA exógeno dependeu do grau de estresse a que as plantas estavam submetidas. Houve decréscimo do efeito inibitório do ABA com o prolongamento da seca (BROWNING, 1977). Ao contrário, a sensibilidade das gemas dormentes ao estímulo do GA3 aumentou com a extensão da seca (ALVIM, 1958,1960b; BROWNING, 1971).

BROWNING et al. (1970) demonstraram a presença do ABA em gemas florais coletadas antes e após a quebra da dor mência. O ABA foi responsável por 75% da ação inibitória do ex trato ácido. A concentração absoluta de ABA, após a quebra da dormência, permaneceu inalterada até quatro dias antes da aber tura das flores, tendo então aumentado. Com base no peso fresco, entretando, houve considerável diluição quando as gemas passa ram a absorver água aceleradamente. Mesmo assim, ocorreu recupe ração das concentrações de ABA nos quatro dias anteriores à an tese (BROWNING, 1973a).

O ácido abscísico não foi capaz de antagonizar a ação estimulatória do GA3 exógeno, sugerindo que o ABA poderia estar afetando os níveis de giberelinas conjugadas e livres nas gemas florais. O ácido abscísico alteraria o equilíbrio entre as giberelinas conjugadas e livres (BROWNING, 1973).

A adição de GA em quantidades variáveis ao ABA

demonstrou que a ocorrência de flores anormais depende, de forma crítica, da relação de concentração GA/ABA (BROWNING, 1977).

O autor acredita que a dormência e a sua liberação envolvem um mecanismo delicado e complexo no qual o ABA e o GA exercem um papel crucial.

dade biológica de substâncias inibidoras e promotoras em gemas florais antes e após a qeubra da dormência. Nas gemas dormentes, a atividade de inibidores foi 25 vezes superior à atividade dos promotores. Os inibidores desapareceram completamente quatro dias após a irrigação, enquanto que os promotores aumentaram a centuadamente até dois dias antes da antese. BARROS et al.(1978) consideraram os resultados acima consistentes com os obtidos por BROWNING (1971,1973a, 1973b). atribuindo as discrepâncias aos tipos de técnicas analíticas utilizadas.

HUMPHREY e BALLANTYNE (1974) encontraram flutua ções quantitativas e qualitativas no conteúdo de giberelinas de folhas de cafeeiros após a irrigação. A atividade de giberelinas na fração ácida de acetato de etila (giberelinas livres) foi crescente nos cinco dias seguintes ao término da seca. Apesar de não terem investigado o transporte de giberelinas a partir das folhas, aqueles autores supuseram que as giberelinas daquele ór gão poderiam influenciar as gemas florais em crescimento.

A aplicação de citocininas sobre gemas dormentes só mostrou-se efetiva na promoção da antese em plantas expostas a um longo período de seca (BROWNING, 1971).

As citocininas do xilema e das gemas florais apresentaram modificações quantitativas e qualitativas após a quebra

de dormência (BROWNING, 1973b). O decrescimo da concentração de giberelinas coincidindo com o rápido aumento do nível endógeno de citocininas nas gemas florais em expansão induziu BROWNING (1973b) a concluir que as giberelinas e citocininas atuam em se quência.

A exigência absoluta de citocininas para o crescimento das gemas florais foi questionada por BARROS et al.(1978). Eles argumentaram que muitos experimentos de indução de antese não poderiam ser compreendidos caso os citocininas fossem realmente essenciais. Como exemplo citaram o estímulo da antese pe lo GA3 em condições de estresse hídrico (ALVIM, 1960b) e pelo gotejamento localizado em gemas florais (MES, 1957). Nestes casos, seria difícil estabelecer a origem das citocininas. Normalmente, estas substâncias são sintetizadas nas raízes e transportadas pelo xilema para a parte aérea. BROWNING (1973b) sugeriu que parte das citocininas poderia ser produzida pelas próprias gemas florais, uma vez que o aumento da concentração endógena de citocininas (em ca. de 8 vezes) ocorreu antes que as gemas começassem a absorver água rapidamente.

As provas existentes sugerem que as auxinas não desempenham uma função importante no fenômeno da dormência e na sua liberação (BARROS et al., 1978). A concentração do ácido in dolil-3-acético (AIA) mostrou-se elevada nas fases iniciais do desenvolvimento das gemas florais. O decrescimo do conteúdo do AIA, com o início da estação seca e quente, foi associado â maturidade das gemas florais (JANARDHAN et al., 1977).

BARROS et al. (1978) propuseram um modelo explicativo do processo de quebra da dormência. Durante a maturação

das gemas florais haveria um acúmulo de giberelinas conjugadas. A seca, através de um mecanismo não conhecido, poderia contribuir direta ou indiretamente para o acúmulo de giberelinas conjugadas e de ácido abscísico nas gemas florais. O ABA atuaria facilitando o incremento das giberelinas conjugadas. Os fatores ambientais associados a uma rápida elevação do potencial da água nas gemas florais e/ou rápidas reduções da temperatura do ar, promoveriam a liberação de giberelinas ativas as quais superariam o estado de dormência.

# 5. Frutificação e maturação dos frutos

Após a fertilização, o saco embrionário cresce, comprimindo as células internas do integumento. As células ex ternas deste envoltório passam então a multiplicar-se acelerada mente originando o perisperma. Ao término do seu desenvolvimento, o perisperma (tecido materno) ocupa inteiramente lóculos do tamanho de uma semente normal. A primeira divisão do endosperma se dá 21 a 27 dias após a antese enquanto que o zigoto apresenta a sua primeira divisão 60 a 70 dias após a abertura das flores (MENDES, 1942).

O crescimento e o desenvolvimento dos frutos de C. arabica segue o padrão de uma curva sigmoidal dupla (WORMER & NJUNGUNA, 1966; CANNELL, 1971a e GOMEZ, 1977). Durante as 5-6 semanas posteriores à antese, os frutos não apresentam crescimento visível sendo denominados "chumbinhos" (WORMER & NJUNGUNA, 1966). Nesta fase, os frutos não podem ser caracterizados como dormentes, porque apresentam alta taxa respiratória (CANNELL,

1971a), mobilizam metabólitos (CANNELL e HUXLEY, 1969) e exibem divisão celular (MENDES, 1942). A partir da 7ª semana (CANNELL, 1971a - Quênia) ou da 5ª semana (GOMEZ, 1977 - Colômbia), os fru tos expandem-se rapidamente atingindo tamanho máximo em torno da 16ª semana. Nessa época, os tecidos aquosos do integumento (perisperma) ocupam totalmente os lóculos, mas são gradativamen te substituídos pelo endosperma entre a 12ª e 20ª semanas se guintes á antese. Entre a 19ª a 29ª semanas após a florada, as sementes acumulam matéria seca, havendo poucas modificações no tamanho dos frutos. A maturação, nas condições de Quênia, se processa entre a 29ª e 35ª semanas (WORMER e NJUNGUNA, 1966).

O tempo necessário para a completa maturação dos frutos parece variar com as condições climáticas (KUMAR, 1979b) e em função da constituição genética do cafeeiro (SONDAHL e SHARP, 1979). Durante a maturação o pericarpo se expande, acumu la matéria seca e água, além de alterar a sua coloração (WORMER, 1966).

Em Campinas (SONDAHL e SHARP, 1979) e Chinchiná (GOMEZ, 1977), os frutos do cafeeiro arábica amadurecem por volta da 32ª semana após a abertura das flores. A maturidade fisio lógica dos frutos de *C. arabica* cv. Mundo Novo foi atingida 220 dias após o florescimento, nas condições de campo de Lavras(MG), Brasil (CAIXETA, 1981).

O tamanho final e a forma das sementes são determinadas por características genotípicas e pelas condições ambientais existentes durante o crescimento dos frutos (WORMER, 1966). A disponibilidade de água durante a fase de expansão dos frutos revelou-se crucial para a determinação do tamanho final das se

4 NIUN GUNA

mentes (WORMER, 1966; CANNELL, 1974). O endocarpo dos frutos (pergaminho) torna-se lignificado e inflexível ao final da eta pa de expansão, passando a constituir uma barreira mecânica constituir (WORMER) 1966; CANNELL, 1974).

CANNELL (1974), através de experimentos de <u>des</u> folha, demonstrou que o fornecimento de metabólitos tem pouca influência sobre o tamanho final das sementes e que as <u>diferen</u> ças na disponibilidade de água durante a etapa de expansão são mais importantes.

A abscisão natural de muitos frutos durante OS estádios iniciais do desenvolvimento (conhecida como queda de chumbinhos) é um aspecto ainda não esclarecido. CANNELL (1971a) e VASUDEVA (1979) associaram o fenômeno a déficit de carboidratos. ALMEIDA et al. (1982) verificaram que a quantidade de tos derrubados entre 75 e 90 dias, após o florescimento foi di retamente proporcional aos níveis de desfolhas. Entretanto, ра rece que o componente nutricional não atua isoladamente. Aplica cões de soluções aquosas da auxina sintética 2,4 D (ácido2,4 di clofenoxiacético), após a antese, reduziram entre 20 e 25% queda prematura dos frutos de C. arabíca , no sul da Índia PAL, 1974). O efeito benéfico da auxina variou entre plantações e de ano para ano, dependendo da proporção de flores normais pro duzidas. CLOWES & WILSON (1977) relataram que a abscissão de fru tos, 10-17 semanas após a florada, não foi influenciada quantidade de frutos presentes nos ramos laterais individualmen te. Os autores concluiram que a queda de frutos independe disponibilidade de compostos orgânicos, sugerindo que a abscis são de frutos possa ser causada por um desequilibrio hormonal.

OPILE (1979) analisou o conteúdo endógeno de fitohormônios ao longo do desenvolvimento dos frutos de cafeeiros arábica, crescendo em Quênia. No estádio de "chumbinho" o nível de promotores de crescimento do grupo de giberelinas e citocini nas mostrou-se muito baixo. Ao contrário, haviam concentrações substanciais de inibidores da categoria do ácido abscísico. O autor supôs que tal combinação de reguladores de crescimento poderia ser responsável pela quiescência dos frutos durante cerca de 8 semanas, mesmo sob condições favoráveis de umidade.

KUMAR (1979b) argumentou que a deficiência de promotores de crescimento tornaria os "chumbinhos" incapazes de competir por metabólitos com os ápices em crescimento, ricos em auxinas, giberelinas e citocininas. A expansão dos frutos só se iniciaria após o término do "flush" de crescimento, quando os ápices diminuiriam sua taxa de crescimento e diferenciação de novos órgãos.

A atividade das giberelinas foi máxima quando as sementes já se encontravæm totalmente formadas, voltando a ser insignificante na época da maturação. Nesta etapa, houve con siderável aumento na atividade dos inibidores do grupo do ABA. As citocininas apresentaram um comportamento bimodal com um pi co de atividade na fase de rápida expansão e outro durante a maturação dos frutos (OPILE, 1979).

A aplicação exógena de  $GA_3$ , dissolvido em etanol, sobre frutos em 5 fases de desenvolvimento diferentes, resultou em incremento em peso fresco, peso seco e volume dos frutos (OPILE, 1979).

O efeito do agente maturador CEPA (acido-2-cloro

-etil fosfônico), liberador de etileno, foi estudado por vários pesquisadores (BROWNING, 1971; SONDAHL et al.; OYEBADE, 1976; CLOWES, 1977; OPILE, 1979). Os frutos tratados com o CEPA atingem a maturidade 2 a 3 semanas após a sua aplicação. Os trabalhos supracitados foram quase unânimes na constatação de que o etileno só produz resultados benéficos quando aplicado sobre frutos completamente desenvolvidos. OPILE (1978) estimou que a época ideal para o tratamento situa-se entre 7 a 8 semanas antes da maturação natural esperada. Em Campinas, SONDAHL et al. (1975) verificaram que os efeitos benéficos do ethrel (CEPA), considerando-se a qualidade da bebida, só foram alcançados quando o produto foi aplicado 2 a 3 semanas antes da colheita.

O CEPA provoca a abscisão de frutos em expansão (BROWNING, 1971; MONACO e SONDAHL, 1974; CLOWES, 1977; OPILE, 1978), e a maturação prematura de frutos em estádios mais avançados, porém ainda imaturos. A maturação aparente constitui um dos principais obstáculos ao emprego do CEPA na cafeicultura, pois resulta em frutos com pericarpo maduro, porém com sementes contendo endosperma imaturo, o que deprecia a qualidade da bebida (SONDAHL et al., 1975; OPILE, 1978).

Enquanto não for possível maior controle da uni formidade de florescimento em *C.anabica*, a utilização do etile no como agente acelerador da maturação estará fortemente limita da (SONDAHL et al., 1975; OPILE, 1978).

#### III. MATERIAL E MÉTODOS

### 1. MATERIAL VEGETAL

Foram utilizadas plantas dos seguintes cultivares de Coffea Atabica L., localizadas em campos experimentais do Centro Experimental de Campinas, Instituto Agronômico (IAC) e pertencentes a ensaios da Seção de Café e da Seção de Genética: Catuai Vermelho, Bourbon Amarelo, Mundo Novo e Arábica. A Tabela la presenta informações mais detalhadas a respeito das plantas estudadas. Todas as avaliações e medidas foram realizadas em cafeeiros mantidos em condições de campo.

# 2. ESTUDO HISTOLÓGICO SOBRE A DIFERENCIAÇÃO DE GEMAS REPRODUTIVAS EM COFFEA ARABICA CV. CATUAI VERMELHO

Nos anos de 1980 e 1981 realizaram-se coletas quinze nais de 5 ramos plagiotrópicos de 1ª produção nos seguintes periodos: - 15/2 a 29/4/1980; 6/1 a 2/5/1981. Gemas seriadas G<sub>1</sub>, localizadas nas axilas foliares do 3º ao 9º par de folhas, a partir do ápice, foram removidas e fixadas em FAA 50%. O material vegetal foi desidratado, utilizando-se uma série de soluções de alcool butilico-terciário, e incluído em parafina. Prepararam-se cortes seriados longitudinais-axiais de 10-12µm, os quais foram coloridos com safranina e "fast green" (JOHANSEN, 1940). Importante mencionar que o tempo de permanência na solução de 0,5% de safranina teve de variar em função do tamanho das gemas. O melhor tempo para as gemas pequenas (≤ 2mm) foi de quinze minutos, enquanto que as gemas mais desenvolvidas foram tratadas durante 2-3 minutos em solução de safranina.

Tabela 1. Informações sobre o material vegetal e estudos realizados.

Cultivar	Época de plantio	Ano de estudo	Produção kg/cova(a)	Época de colheita	Estudos realizados
1) Catuai Vermelho(b) H-2077-2-5	Maio/1966(d)	1980	1,1	29/5 (38%) 3/7 (26%) 3/8 (36%)	Diferenciação, crescimento e de- senvolvimento de gemas reproduti vas; florescimento.
Catuai Vermelho(b) H-2077-2-5	Maio/1966(d)	1981	7,4	30/5 (82%) 19/7 (18%)	Diferenciação, crescimento e desenvolvimento de gemas reprodutivas; florescimento; maturação das floradas de 1980.
2) Catuai Vermelho(c) H-2077-2-5-81	Novembro/1975	1981	1,2	início de maio	Florescimento.
Catuai Vermelho(c) H-2077-2-5-81	Novembro/1975	1982	5,2	24/6 (100%)	Diferenciação, crescimento e desenvolvimento de gemas reprodutivas; florescimento; maturação da florada principal de 1981.
Catuai Vermelho(c) H-2077-2-5-81	Novembro/1975	1983	î .	1	Maturação da florada princi pal de 1982;
3) Catuai Vermelho(b) Catuai Vermelho(b)	Março/1979 Março/1979	1981	2,3	1/6/81 (100%) 9/7/82 (100%)	Efeito de fitorreguladores exógenos. Efeito de fitorreguladores exógenos

Tabela 1. Continuação

eremerenten der	and the second of the second o				ARREST STATE OF THE PROPERTY O
Cultivar	Época de plantio	Ano de estudo	Produção kg/cova(a)	Época de colheita	Estudos realizados
4) Bourbon Amarelo(c)	Novembro/1975	1981	0,4	início de maio	Crescimento e desenvolvimento de
					gemas reprodutivas; florescimento.
Bourbon Amarelo(c)	Novembro/1975	1982	1,2.	24/6 (100%)	Diferenciação, crescimento e desenvolvimento de gemas reprodutivas; maturação da florada principal de 1981.
5) Mundo Novo(b)	Novembro/1955(e)	1981	6*7	14/6 (100%)	Crescimento e florescimento de gemas reprodutivas; florescimento.
6) Mundo Novo(c)	Novembro/1975	1982	1	í	Maturação da florada principal de 1981
7) Arabica(c)	Novembro/1975	1981	I	t	Maturação da florada principal de 1981.
ober der gegen general der	anderen der system der state d	And the second s			

a) Café cereja; b) Cafeeiros de ensaios da Seção de Café - IAC; c) Cafeeiros da coleção da Seção de Genética - IAC; d) Plan tas decotadas a 1,20m em setembro de 1978; e) Plantas recepadas a 40cm em setembro de 1978.

# 3. ESTUDO SOBRE O CRESCIMENTO E DESENVOLVIMENTO DAS GEMAS REPRODUTIVAS EM 1980 , 1981 e 1982

# 3.1. Observações de laboratório

No ano de 1980, foram coletados cinco ramos laterais de Cossea arabica cv. Catuai Vermelho a cada quinze dias, entre 15/2 e 15/9/80 (item 1, Tabela 1). Em 1981, coletaram-se dez ramos plagiotrópicos, das mesmas plantas, em intervalos quinze nais, durante o período compreendido entre 6/1 e 15/7/81. Já em 1982, as amostragens voltaram a ser constituídas de 5 ramos laterais colhidos quinzenalmente entre 1/3 e 21/5/82. A diminuição do número de repetições e da época de amostragem de ramos destacados foi decorrência do reduzido número de plantas disponíveis para o estudo (apenas 9 plantas; item 2, Tabela 1). Neste ano de 1982, além do cv. Catuai Vermelho estudou-se o cv. Bourbon Amarelo (item 4, Tabela 1).

Procurou-se utilizar ramos laterais com número de nós semelhantes, formados durante a estação de crescimento anterior. Os ramos destacados foram acondicionados em sacos plásticos úmidos e mantidos no refrigerador (cerca de  $5^{\circ}$ C) até o momento de serem analisados.

As medições e observações foram efetuadas em nos localizados entre o 4º e 9º par de folhas, a partir do ápice do ramo. Com o auxilio de uma lupa estereoscópica, efetuava-se a dissecação dos nos, removendo-se a base do peciolo e as estipulas. As gemas existentes, em ambas as axilas foliares, eram então me

didas (mm) e caracterizadas morfologicamente. No ano de 1980, en tre os meses de março e outubro, as gemas axilares reprodutivas foram esquematizadas e fotografadas com o objetivo de se caracterizar as diferentes etapas de diferenciação morfológica. A partir de julho de 1981 e em 1982 as gemas reprodutivas do cafeei ro passaram a ser classificadas de acordo com os padrões morfológicos sistematizados na Figura 1, o que possibilitou a quantificação das fases morfológicas em cada época de avaliação. As medidas de crescimento das gemas seriadas, no laboratório e no campo, foram efetuadas tendo-se como base o comprimento total das mesmas (Figura 2). Durante as observações de laboratório, os nós dissecados foram mantidos sob uma solução de 100 ppm de ácido ascórbico para controlar a oxidação dos tecidos.

# 3.2. Observações de campo

As avaliações sobre o crescimento e desenvolvimento das gemas axilares no campo foram executadas em dez ramos, previamente marcados. As medidas tiveram início tão logo o desenvolvimento das gemas o permitiu.

No ano de 1980, utilizou-se uma amostra constituída de cinco ramos laterais, tendo-se um ramo por planta.

Estabeleceu-se que seriam avaliadas gemas axilares de idade fisiológica semelhante. Por esse motivo, escolheu-se 6 nós localizados entre o 4 e 9 par de folhas, a partir do  $\tilde{a}$ pice, no início das observações. As avaliações foram conduzidas até a  $\tilde{e}$  poca da florada principal de cada ano.

Figura 1 - Esquemas representativos dos estádios de desenvolvimento morfológico das gemas seriadas  $G_1$  de Coffea arabica cv. Catuai Vermelho.

# FIGURA 1

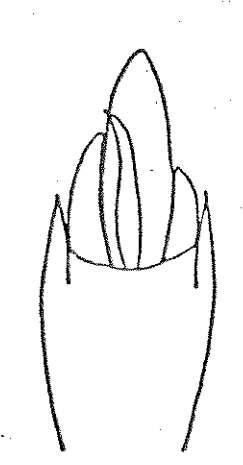
Estadio	Caracterīsticas principais	Comprimento Mēdio (mm)	Aspecto Morfológico Típico
<b>1</b> .	Gema aparente- mente vegetati- va. Estípula aderi da ao eixo do ramo, na região da axila foliar.	0,5 a 1,7	
2	Gema entumesci- da. Estípula i <u>n</u> chada ao nível da axila foliar.	1,8 ± 0,6* 1,9 ± 0,4**	
3	Gema volumosa, vi sível acima do nível da estípula, na axila foliar, podendo apresentar goma marron translúcida em seu ápice.	3,3 ± 0,4* 3,5 ± 0,7**	
4	Fase imediata- mente anterior ao surgimento das gemas florais. Caracteriza-se pe lo 20 par de brácteas inter- no, oposto ao já existente.	4,8 ± 0,6* 5,2 ± 0,8**	1 mm

<sup>(\*)</sup> Catuaí

<sup>(\*\*)</sup> Bourbon

5 Fase inicial da inflorescência.

6,9 ± 0,8\* 6,9 ± 1,0\*\*

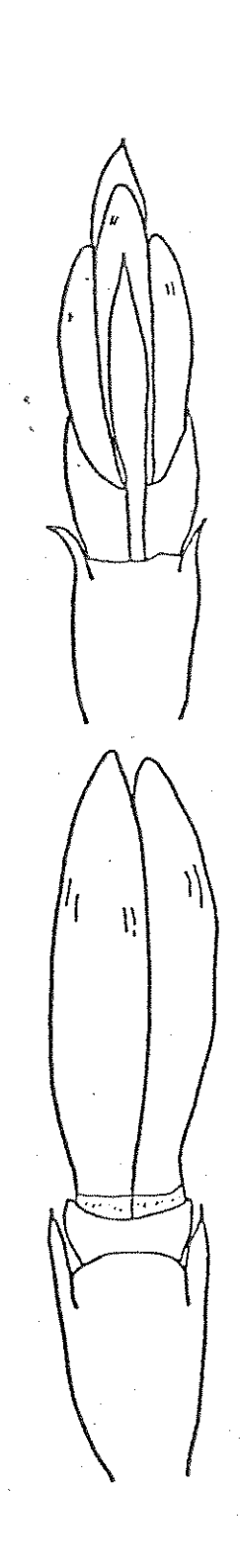


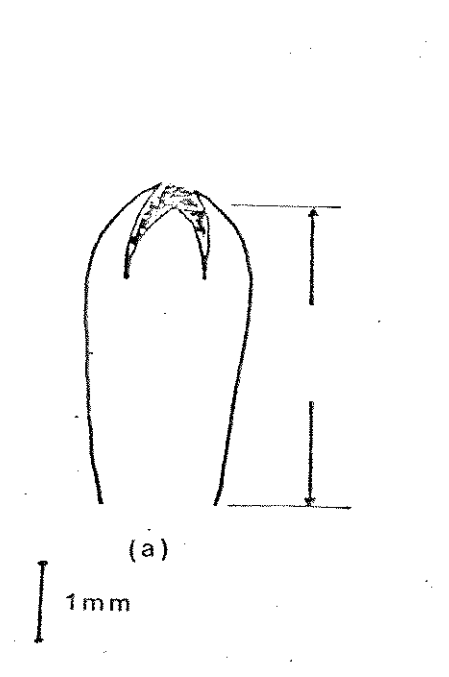
Fase de desenvolvimento intermediária.

9,4 ± 1,0\* 9,7 ± 1,9\*\*

7 Fase de desenvolvimento final  $10,3 \pm 0,7$   $10,0 \pm 0,8$ 

- (\*) Catuaí
- (\*\*) Bourbon





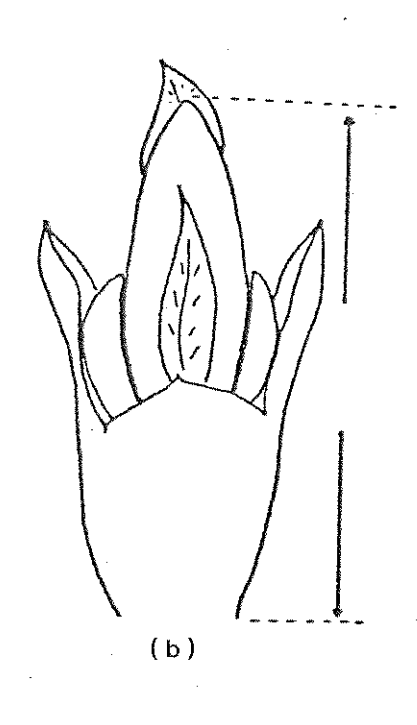


Figura 2 - Esquemas demonstrativos dos referenciais toma dos para a mensuração das gemas seriadas. 2a. gema seriada  $G_1$  no estádio 3. 2b. gema seriada  $G_1$  no estádio 6.

# 4. OBSERVAÇÕES SOBRE O PERÍODO DE FLORESCIMENTO EM 1980, 1981 e 1982

Para cada cultivar, foram analisados dez ramos lateralis de 1º produção, previamente marcados, utilizando-se no máximo, dois ramos por planta. Durante as floradas, avaliou-se as seguintes estruturas: - gemas florais, flores normais, chumbinhos (denominação dada ao estadio inicial dos frutos) e/ou frutos e as estruturas florais danificadas aleatoriamente ou com aspecto anormal ("perdas"). Estes dados permitiram estimar a contribuição relativa de cada florada assim como a participação relativa das 4-5 gemas axilares (G<sub>1</sub>, G<sub>2</sub>, G<sub>3</sub>, G<sub>4</sub> e G<sub>5</sub>) em cada florada.

# 5. MATURAÇÃO DOS FRUTOS DE COFFEA ARABICA L. EM 1981 , 1982 e 1983

Em cada uma das 4 floradas observadas nas plantas do cultivar Catuai Vermelho (item 1, Tabela 1), em 1980, marcaram-se cinco ramos laterais, utilizando-se cinco plantas escolhidas ao acaso na 1ª florada. Destes ramos, removeram-se as gemas florais, chumbinhos e flores anormais existentes, deixando-se apenas as flores normais abertas em cada florada. Assim, cada uma das quatro floradas sucessivas ficou representada por cinco ramos. Também foram marcados dez ramos controle, os quais foram mantidos intactos no decorrer das floradas.

Na florada principal de 1981, marcaram-se ramos laterais nos seguintes cultivares de Coffea anabica - Catuai Verme

ciam ao Banco de Germoplasma da Seção de Genética do IAC (Tabella 1). Em cada um dos cultivares, foram marcados 20 ramos plagiotrópicos de 1º produção. Em 10 ramos permaneceram apenas as flores normais abertas. Os outros ramos foram mantidos intactos para serem empregados como controle.

Em 1983, estudou-se a maturação de frutos em dois grupos de plantas do cultivar Catuai Vermelho que diferiam mentre si quanto à idade: (1º) cafeeiros de 5 anos de idade (item 3), Tabela 1) e (2º) cafeeiros de 9 anos de idade (item 2, Tabela 1). Na florada principal de 1982, marcaram-se 20 ramos plagiotrópicos em cada grupo de plantas, sendo que em 10 ramos foram deixa das apenas as flores abertas.

A partir de março-abril dos anos de 1980, 1981 e 1982, realizaram-se contagens semanais dos frutos segundo seis categorias, correspondentes a diferentes estadios de maturação dos frutos de café. Os padrões de maturação empregados nas avaliações estão explícitos nas Figuras 3 e 4.

6. APLICAÇÃO DE FITORREGULADORES SOBRE GEMAS
REPRODUTIVAS DE *COFFEA ARABICA* cv. CATUAI
VERMELHO EM 1981 e 1982

Para cada tratamento, utilizaram-se 10 ramos plagio trópicos de 1ª produção. Em 1982, o critério de seleção dos ramos foi mais rigoroso do que no ano anterior, tendo-se baseado nas seguintes exigências:

(1º) Os ramos laterais localizavam-se exclusivamente

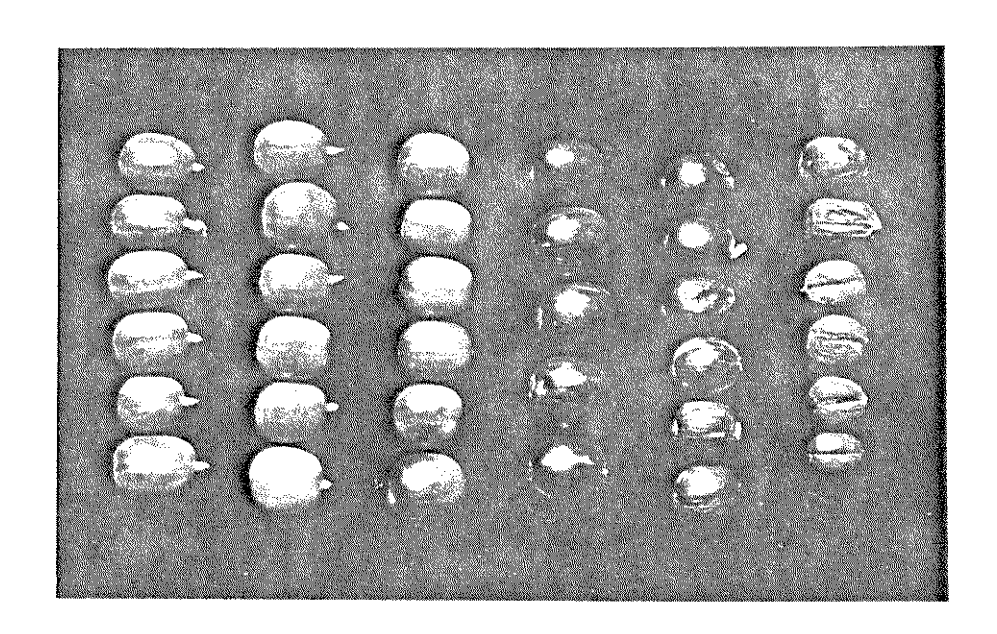


Figura 3 - Classes de maturação utilizadas na classifica ção dos frutos do café Catuai Vermelho, Mundo Novo e Arábica: verde, verde-amarelo, vermelho-claro, vermelho-escuro, passa e seco.

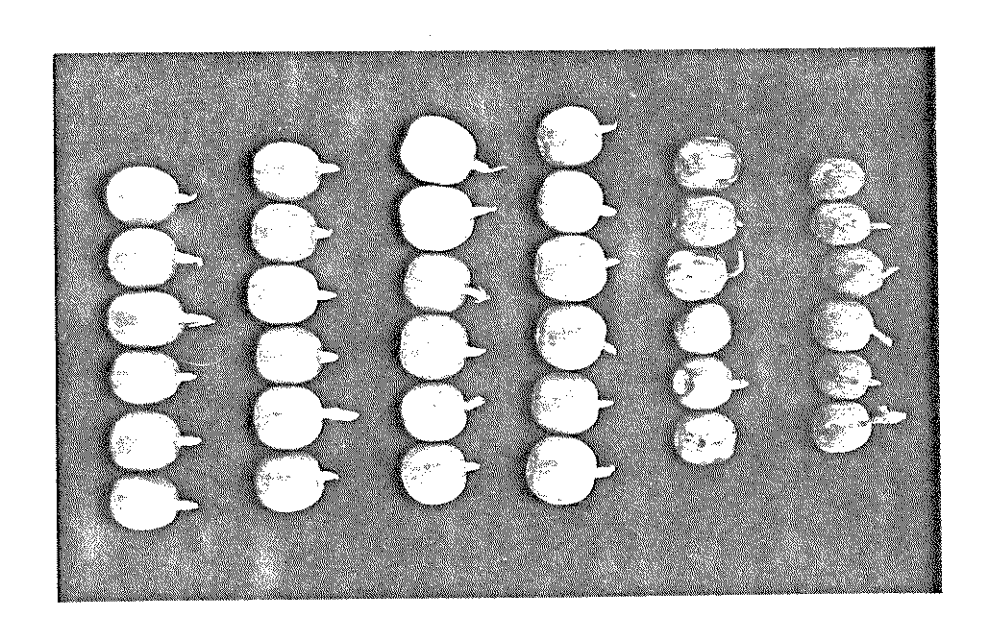


Figura 4 - Classes de maturação utilizadas para o cultivar Bourbon Amarelo: verde, verde-amarelo, amarelo-claro, amarelo-intenso, passa e seco.

no terço superior das plantas.

(29) Os ramos apresentavam número de nos semelhantes.

Com tal procedimento, objetivou-se a diminuição da variabilidade dentro dos tratamentos. Os ramos foram previamente marcados e sorteados para cada tratamento.

As informações sobre as plantas, pertencentes a um en saio de mecanização da Seção de Café, está explícitas no item 3 da Tabela 1.

### 6.1. Tratamentos

Soluções contendo fitorreguladores foram pulverizadas em diferentes epocas nos anos de 1981 e de 1982. Em cada epoca de pulverização, realizavam-se três aplicações com o objetivo de se assegurar maior penetração dos reguladores de crescimento. O pH das soluções foi ajustado para 4,5 por conferir maior estabilidade à forma ativa das giberelinas  $A_4$  e  $A_7$ .

As épocas das pulverizações bem como os fitorre guladores empregados são descritos a seguir:

6.1.a. <u>Ano de 1981</u>: Época I - 14/7, 22/7 e 28/7/81; Época II - 20/8, 28/8 e 4/9/81.

Foram aplicadas soluções de 200 ppm de:(1) giberelinas  $A_4$  e  $A_7$  e (2) giberelinas  $A_4$  e  $A_7$  juntamente com acido  $\alpha$  naftaleno acético (ANA). O controle foi pulverizado apenas com

o veículo dos fitorreguladores, ou seja, solução 0,25% de Triton X-100 em tampão de ácido fosfórico com pH 3,5-3,6.

6.1.b. <u>Ano de 1982</u>: Epoca I - 20/5, 22/5 e 27/5/82: Epoca II: 29/6, 30/6 e 1/7/82; Epoca III: 3/9/82 e Epoca IV: 17/9/82.

As soluções de fitorreguladores aplicadas nas  $\underline{e}$  pocas le II são discriminadas a seguir: (1) ácido giberélico (GA3; 100ppm); (2) giberelinas A4 e A7 (GA4-7; 50 ppm); (3)  $\underline{g}$  berelinas A4 e A7 + citocinina, N-(fenilmetil)-6 amina-1 H purina (50 ppm); (4) ácido triiodo benzóico (TIBA, 200 ppm).

Foram utilizados dois tipos de controle. Um de les foi pulverizado com o veículo dos fitorreguladores. O outro controle não recebeu nenhum tipo de pulverização.

Nas épocas III e IV foram aplicadas soluções de 200 ppm dos seguintes fitorreguladores: (1) giberelinas  $A_4$  e  $A_7$  -  $GA_{4-7}$  (2) ácido abscísico - ABA e (3) giberelinas  $A_4$  e  $A_7$  + ácido abscísico. O controle foi pulverizado com o veículo dos reguladores de crescimento. Deve-se mencionar que nas pulverizações das épocas III e IV havia seis repetições por tratamento , em vez de 10 repetições.

#### 6.2 Avaliação dos tratamentos

Em 1981 foram analisados todos os nos que sustentavam estruturas reprodutivas. Ja em 1982, avaliou - se apenas

seis nos de posição 4 a 9, tendo-se o ápice como referência. Os nos foram marcados no início dos experimentos e avaliados, até a florada principal, quanto ao número de gemas florais, flores, chumbinhos, frutos e "perdas" (danos aleatórios e atrofias florais).

Avaliações do desenvolvimento das gemas reprodutivas, de acordo com os padrões da figura 1, foram realizadas anteriormente e após as pulverizações das épocas I e II, em 1982.

Os resultados das avaliações do número de estruturas reprodutivas, expressos sob a forma de percentuais, foram analisados estatisticamente pelo teste de heterogeneidade (MATHER, 1947). Os dados sobre o desenvolvimento reprodutivo foram submetidos à transformação probítica (MATHER, 1947; SOKAL e ROLPH, 1969; LABOURIAU, informação pessoal).

#### IV. RESULTADOS

## 1. OBSERVAÇÕES MORFOLÓGICAS SOBRE AS GEMAS AXILARES DE RAMOS PLAGIOTRÓPICOS DE COFFEA ARABICA

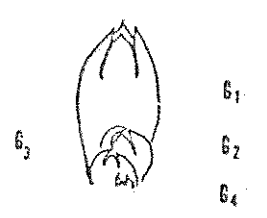
Nas axilas foliares de ramos laterais de Coffea axabica foram observadas 4-5 gemas, inicialmente dispostas em sequên cia linear (Figura 5). O termo "gemas seriadas" foi sugerido por MOENS (1963) que observou o mesmo padrão de organização ao estudar a espécie Coffea canephoxa. As gemas seriadas formam-se su cessivamente, sendo que a mais desenvolvida da série ( $G_1$ ) situa-se junto ao eixo do ramo e a mais tardia ( $G_4$  ou  $G_5$ ) junto à conexão do pecíolo. As gemas  $G_1$  podem originar ramos laterais ou inflorescências (Figura 6). As outras gemas ( $G_2$ ,  $G_3$ ,  $G_4$  e  $G_5$ ) raramente desenvolvem-se vegetativamente, podendo formar inflorescências ou permanecer indiferenciadas (Figura 7).

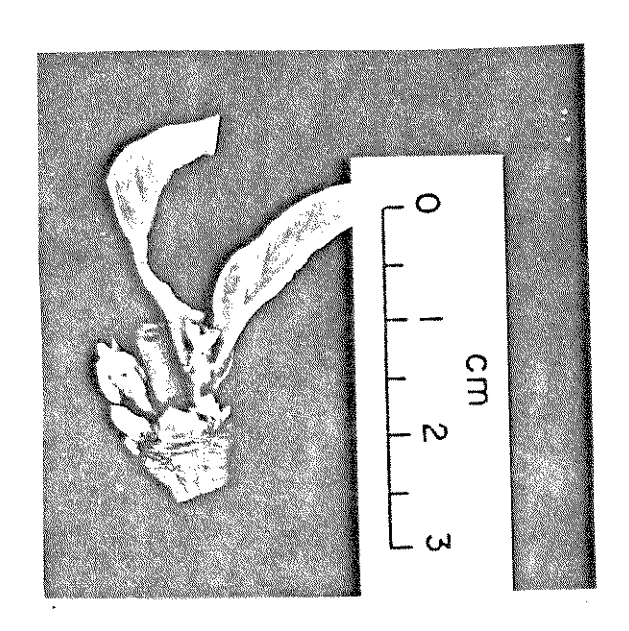
A nível morfológico, as gemas seriadas G<sub>1</sub> foram consideradas vegetativas quando apresentavam-se afiladas, achatadas e constituídas por um único par de primórdios foliares (Figura 1 - estádio 1; Figura 8.a), O primeiro indício morfológico do desenvolvimento reprodutivo foi evidenciado pelo entumescimento das gemas G<sub>1</sub>. Nesta fase, as estípulas já mostravam uma ligeira protuberância em sua superfície, na altura da axila foliar (Figura 1 - estádio 2, Figura 8.b). Um intenso aumento em volume caracterizou a etapa seguinte do desenvolvimento morfológico (Figura 1 - estádio 3). Era comum observar-se, no ápice das gemas, a ocorrência de uma goma de coloração marrom que ao ser hidratada tornava-se branca e aumentava em volume (Figura 8.c). O surgimento de um segundo par de brácteas, em posição oposta

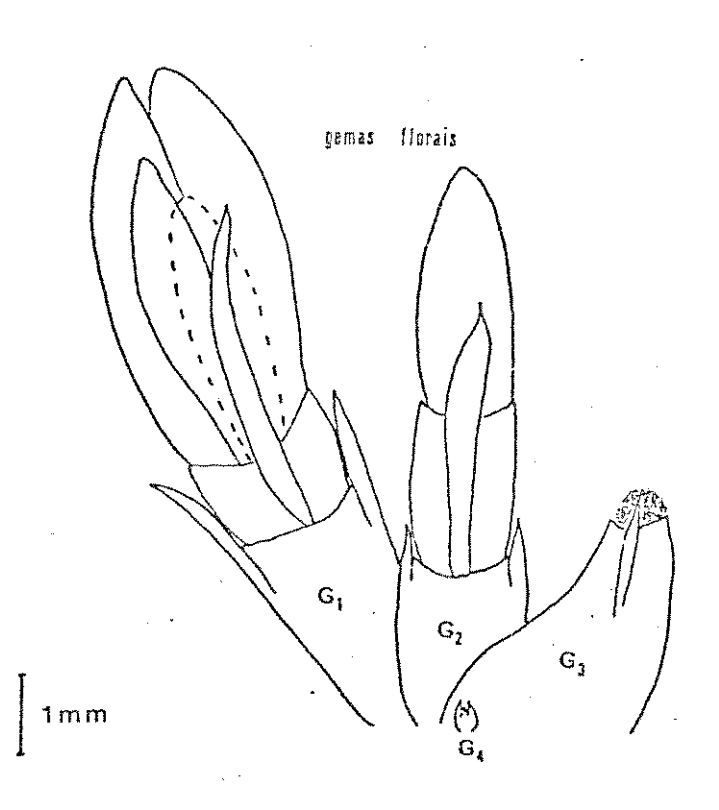
Figura 5 - Gemas seriadas  $G_1$ ,  $G_2$ ,  $G_3$  e  $G_4$  situadas em ramos plagiotrópicos de Coffea atabáca cv. Catuai Vermellho, observadas em 30/3/80. A gema  $G_1$  é nitidamente mais desenvolvida que as demais gemas seriadas.

Figura 6 - Nó de ramo plagiotrópico mostrando gemas seria das G<sub>1</sub> dando origem a inflorescência (lado esquerdo) e o ramo plagiotrópico secundário (lado direito); Aumento: 1,6x. Material coletado em 17/8/80.

Figura 7 - Esquema de gemas seriadas  $G_1$ ,  $G_2$ ,  $G_3$  e  $G_4$  em 17/8/80. Destacam-se as gemas florais das gemas  $G_1$  e  $G_2$ , formando as inflorescências típicas de Coffea and Coffea are Coffea and Co







- Figura 8 Estádios morfológicos iniciais das gemas seriadas G<sub>1</sub> desenvolvendo-se reprodutivamente.
  - 8a. Aspecto típico de gemas seriadas no estádio 1, ocorrendo em 12/4/80. As gemas  ${\rm G}_1$  apresentam-se como estruturas achatadas e estreitas. São visíveis as gemas  ${\rm G}_2$  e  ${\rm G}_3$  (Aumento: 20x).
  - 8b. Gema seriada  $G_1$  no estádio 2, em 12/4/80. Observa-se o entumescimento das gemas  $G_1$  e a presença das demais gemas seriadas:  $G_2$ ,  $G_3$  e  $G_4$ . (Aumento: 15x).
  - 8c. Gema seriada  $G_1$  volumosa (estádio 3), em 12/4/80. Nesta axila foliar também estão visíveis as gemas  $G_2$  e  $G_3$ . (Aumento: 15x).
  - 8d. Gemas seriadas  $G_1$ ,  $G_2$ ,  $G_3$  e  $G_4$  observadas em 7/7/80. Nota-se a presença de um segundo par de brácteas em  $G_1$  e  $G_2$ . (Aumento: 5x).



Fig. 8(a)



Fig. 8(b)



Fig. 8(c)

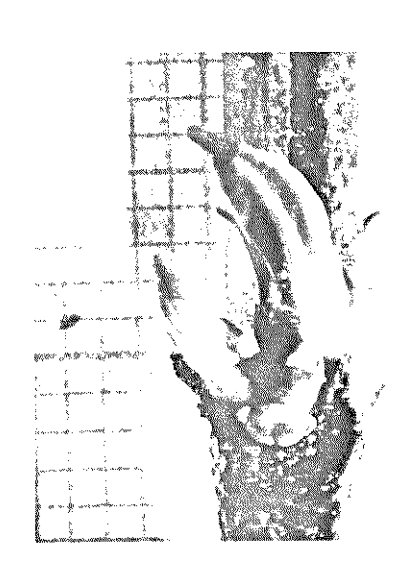


Fig. 8(d)

produtivo (Figura 1 - estádio 4, Figura 8.d). Em alguns casos, es te segundo par de brácteas não se apresentou visível externamente. O padrão morfológico modificou-se substancialmente quando as gemas florais emergiram do interior do 2º par de brácteas , formando as inflorescências típicas do cafeeiro (Figura 1 - estádio 5; Figura 9). A partir de então, as alterações morfológicas se deram em função do crescimento e desenvolvimento das gemas florais (Figura 1 - estádios 6 e 7). Existiam, em média , 1-6 gemas florais por inflorescência nas plantas do cultivar Catuai Vermelho estudadas em 1980 e 1981. No entanto, cafeeiros de uma linhagem mais produtiva do mesmo cultivar, que se encontra vam com grande produção de flores em 1981, chegaram a apresentar uma elevada frequência de inflorescências contendo 8-10 gemas florais (Figura 10).

Nas condições de Campinas, precipitações de baixa in tensidade, a partir de meses de julho-agosto, promoveram peque nas floradas. Nestas ocasiões, foi possível constatar que nem todas as gemas florais de uma única inflorescência abriram na mesma época. Numa estimativa realizada ao final do período de florescimento de 1982, verificou-se que 32,8% das gemas  $\mathbf{G}_1$  e  $\mathbf{G}_2$  haviam participado de duas floradas diferentes (Tabela 2). As inflorescências contendo botões brancos ou flores abertas foram incluídas no estádio 8 enquanto que as inflorescências que já sustentavam chumbinhos foram classificadas no estádio 9.

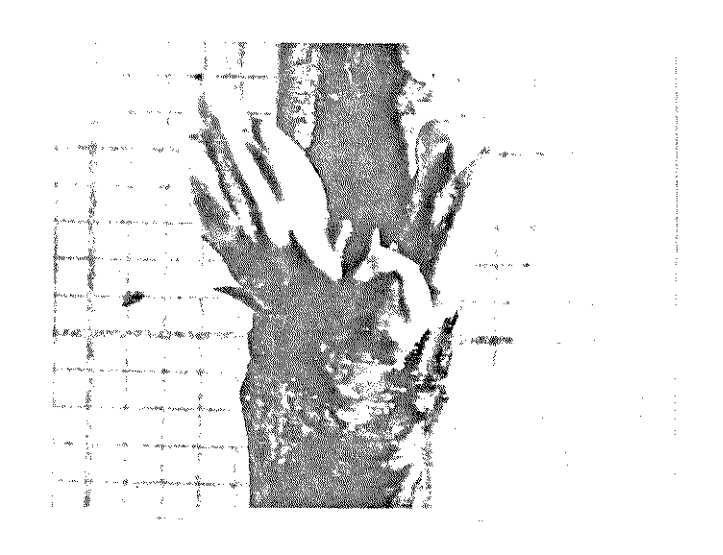


Figura 9 - Axila foliar contendo gemas seriadas  $G_1$ ,  $G_2$  e  $G_3$  desenvolvendo-se reprodutivamente (7/7/80). Observase que a gema  $G_4$  permanece indeferenciada. Destaca -se a gema  $G_1$  por apresentar 3 gemas florais visíveis (estádio 6, Aumento: 5x).

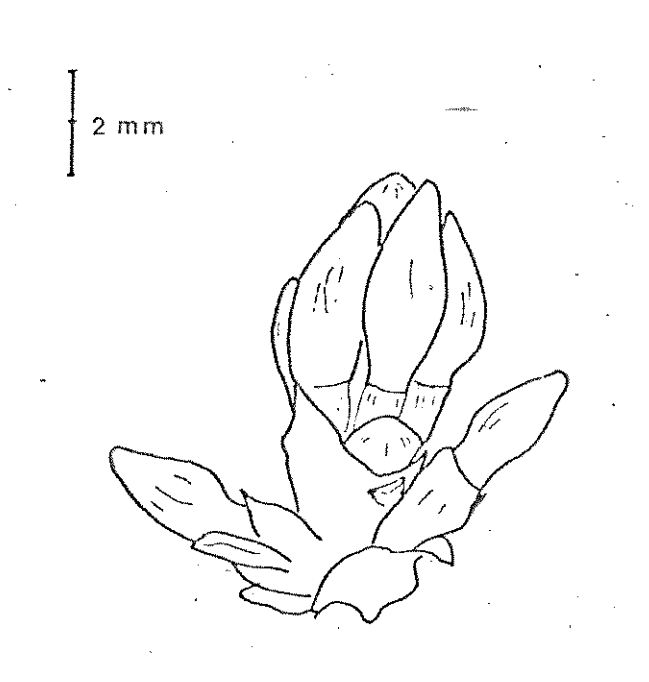


Figura 10 - Esquema de inflorescência de cafeeiro do cultivar Catuai Vermelho apresentando 8 gemas florais. Observação em 18/9/81. Plantas pertencentes ao Banco de Germoplasma da Seção de Genética do IAC (H-2077-2-5-81).

Tabela 2. Avaliação da uniformidade das gemas  $G_1$  e  $G_2$  na florada principal, em cafeeiros do cultivar Catuai Vermelho (4 anos de idade), em 1982.

		Notas*	Total		
Gemas	1	2	3	Total gemas	
$G_{1}$	58,5	38,6	2,8	236	
G <sub>2</sub>	72,5	27,0	0,4	241	
Total	65,5	32,8	1,6	477	

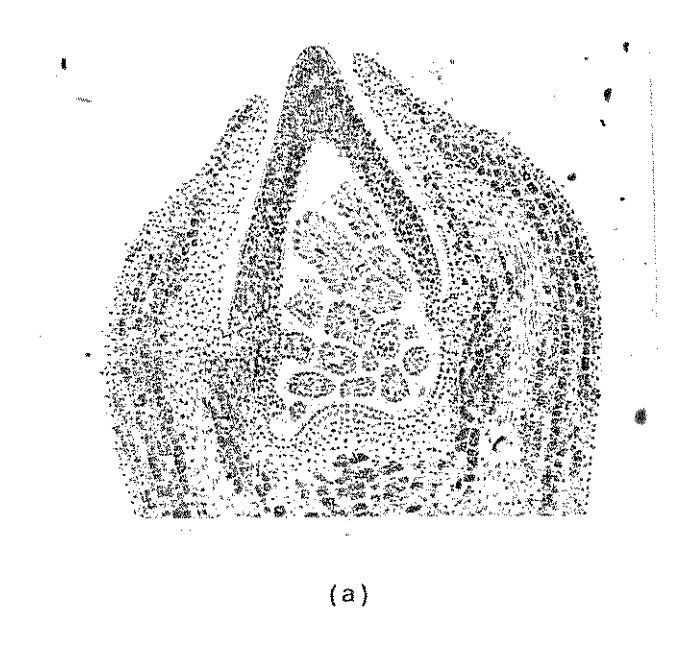
<sup>\*</sup> Nota 1 - gemas que participaram de uma florada (apenas flores ou chumbinhos ou frutos na inflorescência).

Nota 2 - gemas que participaram de duas floradas. (flores e chumbinhos ou flores e frutos eu frutos e chumbinhos na mesma inflorescência).

Nota 3 - gemas que participaram de três floradas ou mais (flores, chumbinhos, frutos na mesma inflorescência).

## 2. ESTUDO HISTOLÓGICO SOBRE A DIFERENCIAÇÃO DE GEMAS REPRODUTIVAS EM COFFEA ARABICA

O principal objetivo deste estudo foi identificar a é poca de transição entre gemas seriadas vegetativas e gemas riadas reprodutivas, logo após a indução. Para um melhor enten dimento deste estudo, foram estabelecidas seis fases que gem as etapas iniciais do processo de diferenciação das reprodutivas. A Figura 11.a apresenta uma gema não diferenciada (fase I), caracterizada pelo ápice tipicamente cônico e estrei to, inserido entre os primórdios foliares e estipulares. O pa drão de organização de ápices na fase I é do tipo normalmente encontrado nas angiospermas (POPHAM, 1963; ESAU, 1960., Figura 11.b). Estas observações coincidem com os estudos histológicos efetuados por MOENS (1963), em Coffea canephora. O alargamento e elevação do domo apical constituem as primeiras alterações histologicas que identificam as gemas induzidas para a fase re produtiva - fase II (Figura 12.a e 12.b). O alargamento e expan são do domo apical após a indução parece ser um evento amplamen te encontrado nos angiospermas (ESAU, 1960; POPHAM, 1963). ápices na fase II apresentam, nas regiões laterais, duas áreas de intensa proliferação celular onde predominam divisões clinais (Fig. 12.b). Estas áreas dão origem aos primórdios do 2º par de brácteas e ao pedicelo da futura inflorescência. A ex pansão e diferenciação das zonas meristemáticas laterais nem a fase III (Figura 13). O padrão histológico da fase IV estabelecido pelo surgimento de primórdios florais nas axilas do primeiro par de bracteas (Figura 14). A fase V caracteriza - se quando o ápice da gema reprodutiva, situado entre as projeções foliares do 2º par de brácteas, começa a diferenciar as regiões meristemá



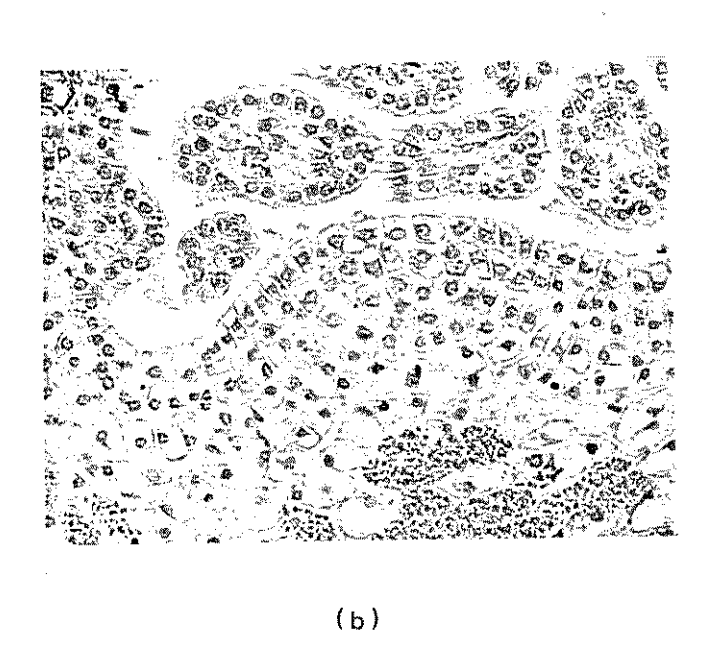
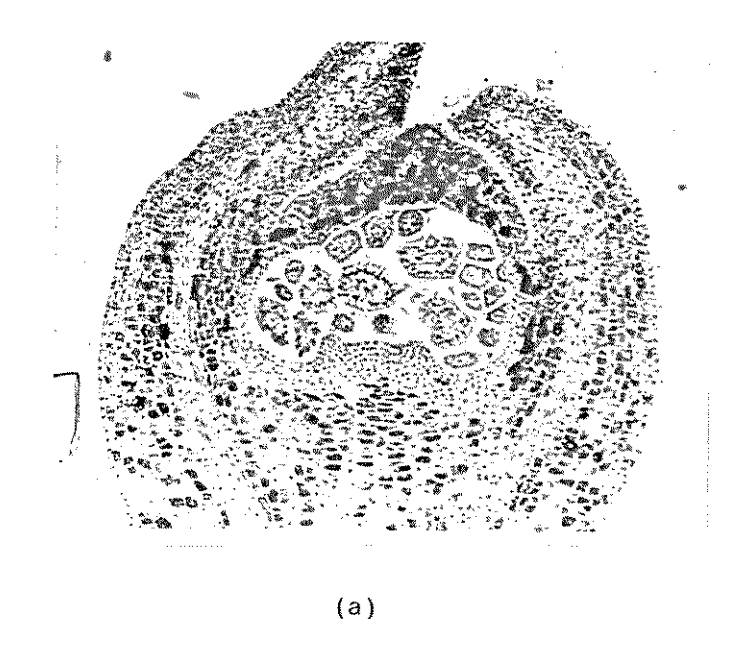
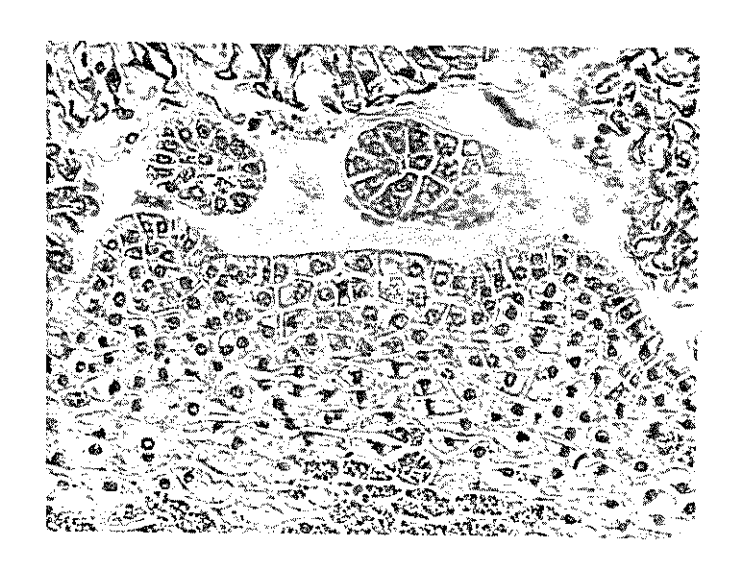


Figura 11 - Corte histológico de gema G<sub>1</sub> não diferenciada (fase 1), em 21/1/1981. 11a. Ápice com formato cônico, situado entre os primórdios foliares. Gema situada no 5º nó, a partir do ápice do ramo lateral. (Aumento: 112x). 11b. Detalhe do ápice meristemático mostrando a túnica bi-seriada. (Aumento: 448x).

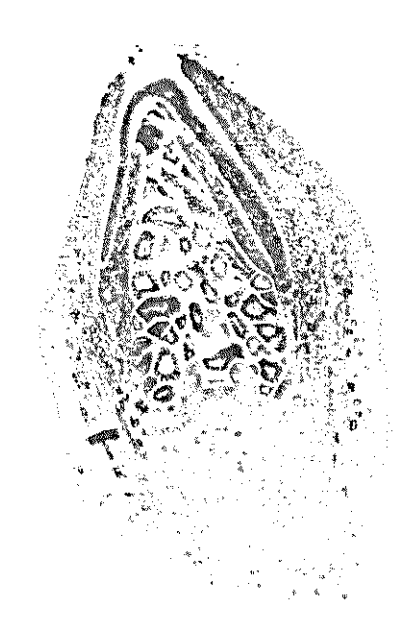




(b)

Figura 12 - Corte histológico de gema G<sub>1</sub> na <u>fase II</u>, em 30/03/80. Gema localizada no 6º nó a partir do <u>apice</u> do ramo lateral. 12a. Destaca-se o <u>apice</u> com formato t<u>i</u> picamente tabular, localizado entre o 1º par de <u>brác</u> teas. (Aumento: 90x). 12b. Detalhe do <u>apice</u>, mostrando dois grupos laterais de células em divisão. (Aumento: 448x).

- Figura 13 Cortes histológicos de gema G<sub>1</sub> na <u>fase III</u>. Dest<u>a</u> cam-se os primórdios do 2º par de brácteas, originadas a partir dos grupos meristemáticos laterais mostrados na figura anterior. Gema situada no 6º nó a partir do ápice do ramo lateral coletado em 15/3/80. (Aumento: 45x).
- Figura 14 Corte histológico de gema G<sub>1</sub> na <u>fase IV</u>. Nota-se a diferenciação do 2º par de brácteas e a presença dos pr<u>i</u> mordios florais nas axilas do 1º par de brácteas, indica dos pela seta. Gema do 6º no a partir do ápice do ramo la teral (29/4/80; 56x).
- Figura 15 Fotomicrografia de gema G<sub>1</sub> na <u>fase V</u>. Evidenciam -se os primórdios das gemas florais diferenciando-se na região apical, situado no interior do 2º par de brácteas. Gema localizada no 8º nó do ramo lateral coletado em 29/4/80. (Aumento: 45x).
- Figura 16 Fotomicrografia de gema G<sub>1</sub> na <u>fase VI</u>. Destacam-se grupos meristemáticos, situados nos flancos dos <u>pri</u>
  mórdios das gemas florais, que originarão as sépalas e as
  pétalas. São visíveis dois primórdios florais na axila <u>es</u>
  querda do 1º par de brácteas. Gema situada no 7º nó de um
  ramo lateral coletado em 13/5/80. (Aumento: 45x).



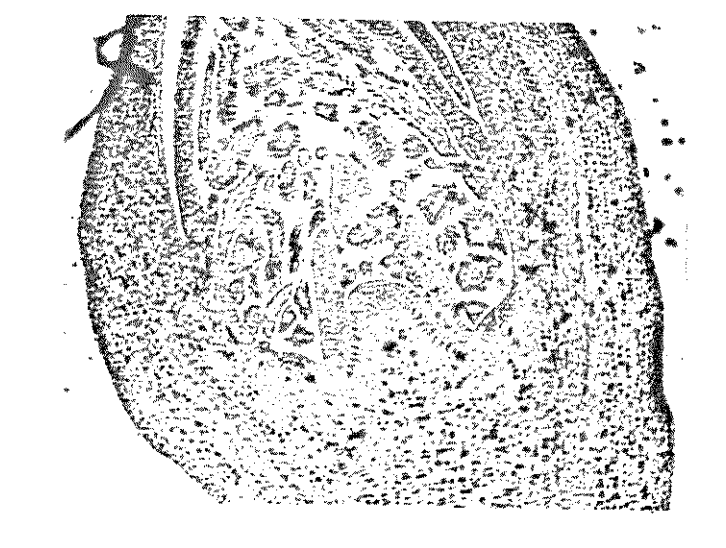


Fig. 13

Fíg. 14



Fig. 15

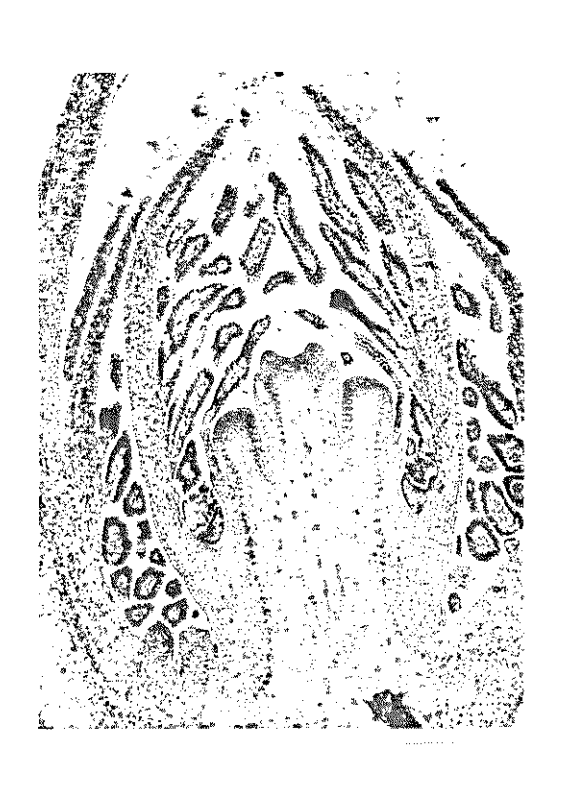


Fig. 16

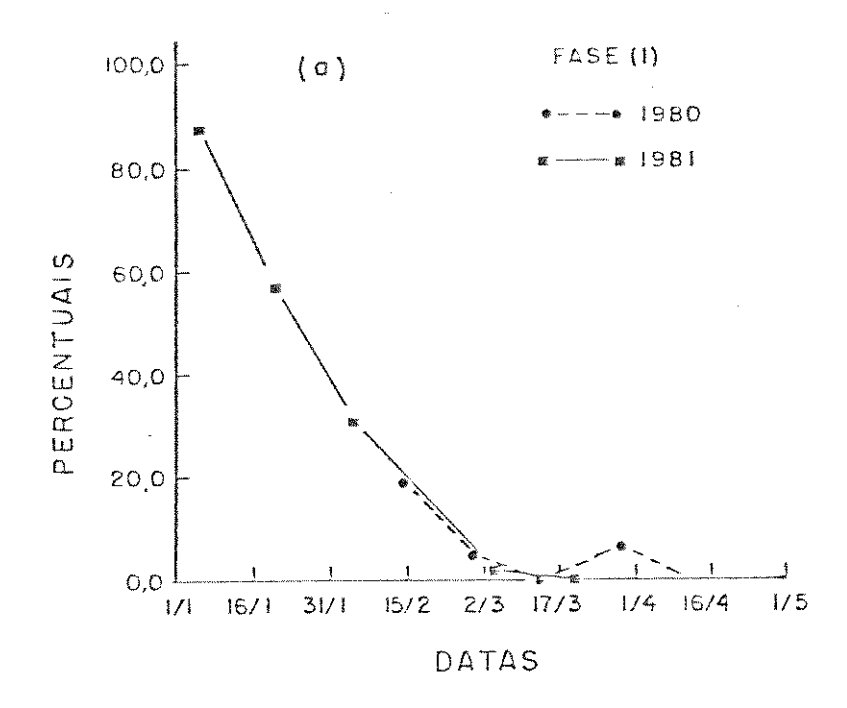
ticas que formarão as gemas florais (Figura 15). A última eta pa de diferenciação histológica identificada em nossas amostras (fase VI) corresponde ao surgimento dos primórdios das sépalas e pétalas nos flancos das protuberâncias meristemáticas das gemas florais (Figura 16).

As Figuras 17.a, 17.b e a Tabela 3 mostram que em <u>ja</u> neiro de 1981 e em fevereiro de 1980 o processo de indução e d<u>i</u> ferenciação já estava em curso. No início de março de ambos os anos, praticamente não havia mais gemas G<sub>1</sub> na fase I, enquanto que o número de gemas nas fases II e III era muito semelhante. Porém, a diferenciação das gemas reprodutivas prosseguiu segu<u>n</u> do taxas sensivelmente mais aceleradas no ano de 1980, do que no ano de 1981.

## 3. CRESCIMENTO DAS GEMAS REPRODUTIVAS EM 1980, 1981 e 1982

### 3.1. Cultivar Catuai Vermelho

A análise do crescimento reprodutivo das gemas seria das será centralizada na gema  $G_1$ , porque o crescimento das de mais gemas da série  $(G_2, G_3, G_4 \in G_5)$  revelou-se dependente e subordinado à gema  $G_1$  (Figuras 18.a, 18.b e 18.c). O crescimento das gemas  $G_2$ ,  $G_3$  e  $G_4$  inicia-se posteriormente e, em linhas gerais acompanha as tendências expressas nas curvas da gema  $G_1$ . Portanto, o estudo da gema  $G_1$  constitui um parâmetro adequado e preciso para o entendimento das características do crescimen



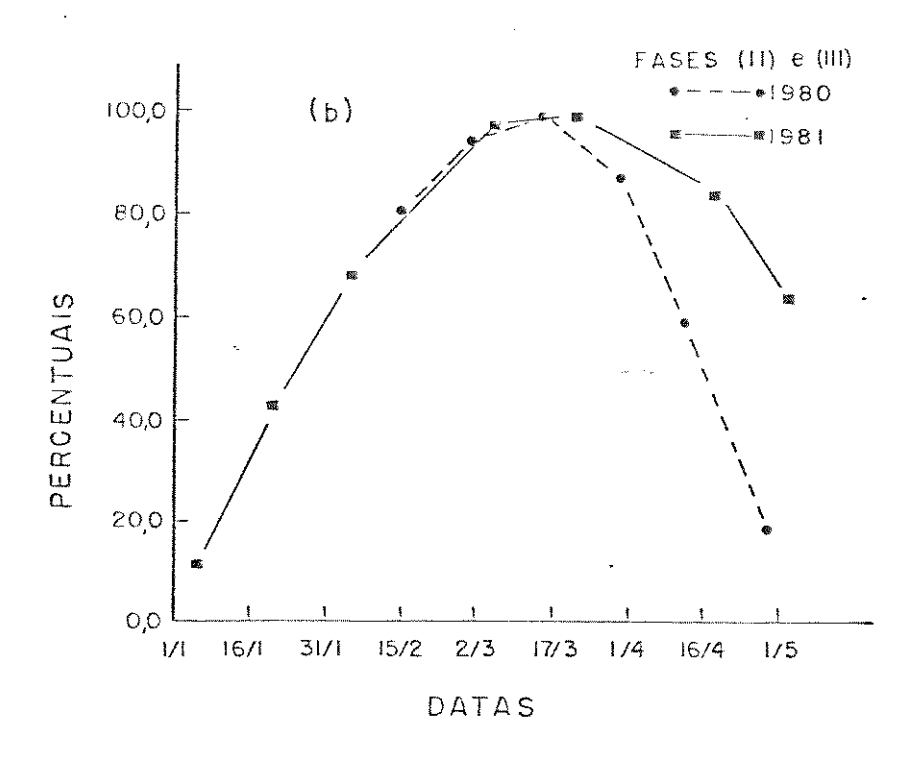
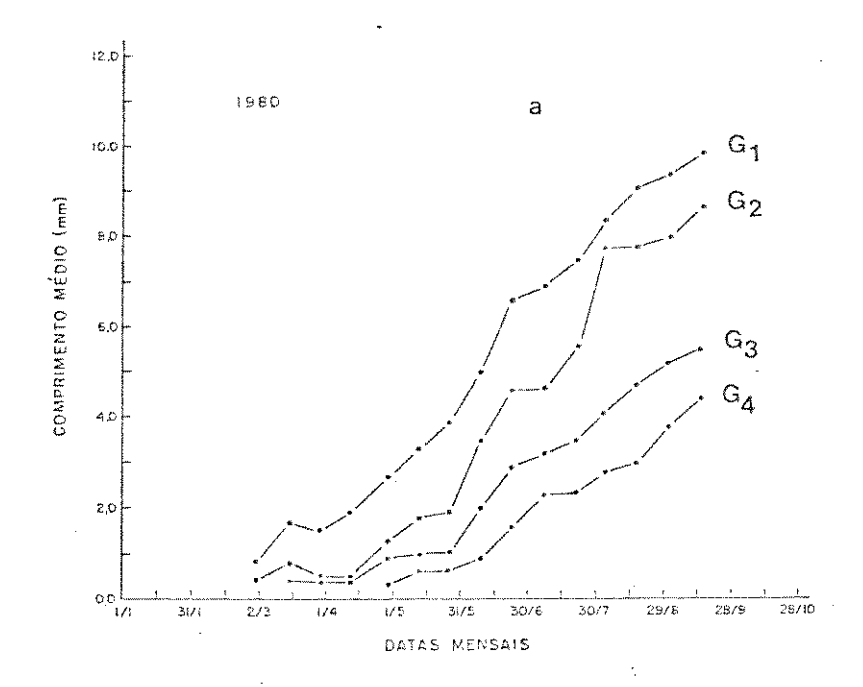


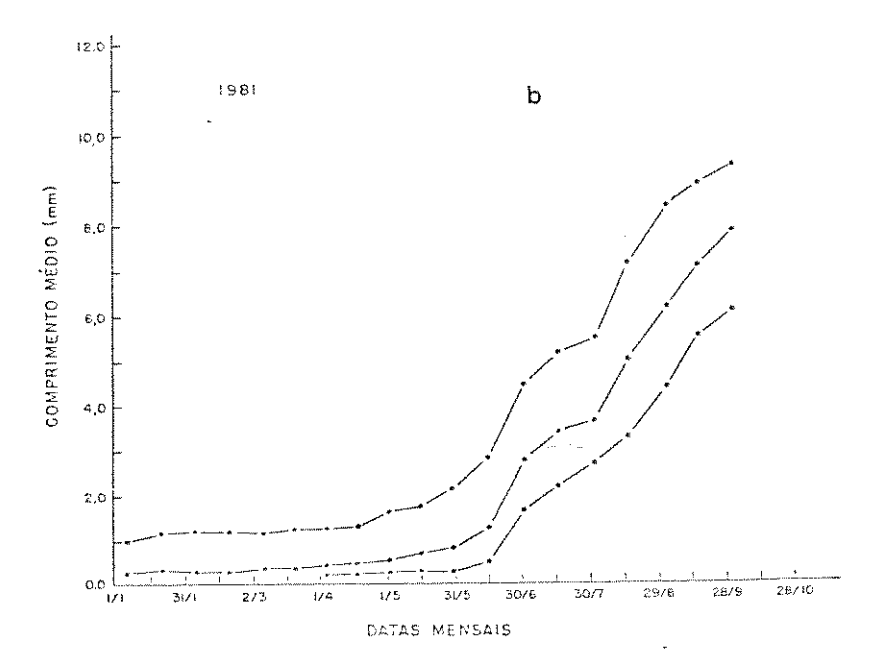
Figura 17 - Gráfico representativo da distribuição percentual das gemas nas fases histológicas iniciais (I;II e III) entre os meses de janeiro e maio de 1980 e 1981. Dados do cultivar Catuai Vermelho. 17a. Curvas dos valores percentuais da fase I. 17b. Curvas dos valores percentuais das fases II e III, somadas. Verificou-se que na  $1^\circ$  semana de março de 1980 e 1981 praticamente todas as gemas  $G_1$  já haviam sido induzidas.

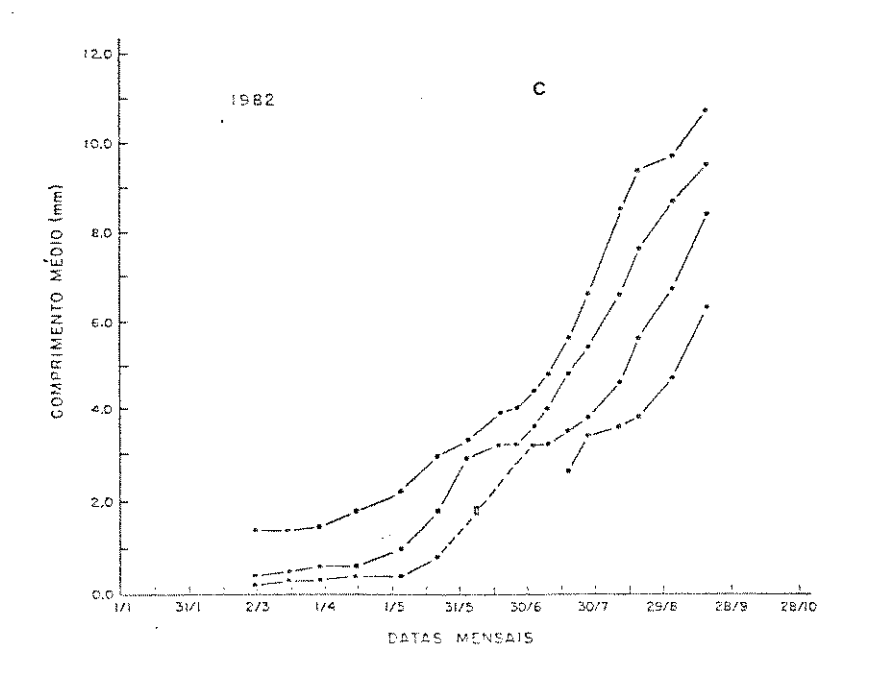
Tabela 3. Classificação dos estádios de diferenciação histológica da gema  $G_{\hat{1}}$  de C. anabica cv. Catuai Vermelho nos anos de 1980 e 1981.

Tota:	Fases Histológicas (%)							
(nº)	VI	V	IV	111	11		Datas	
17	www	-	- water	N	11,8	82,2	6/1/81	
14		AND	<del>-</del>		42,9	57,1	21/1/81	
21	- Marie		-	42,9	38,1	19,0	15/2/80	
16		sancer	-	37,6	31,2	31,2	5/2/81	
21	- Annex	wass	*****	23,8	71,4	4,8	1/3/80	
34	_			26,5	70,6	2,9	7/3/81	
16	1800	45500	<del></del>	62,5	37,5	0,0	15/3/80	
13	HERON-		- The state of the	53,9	46,1	0,0	21/3/81	
15	_	6,7	33,3	46,7	13,3	0,0	12/4/80	
1,3	***	7,7	7,7	23,1	61,5	0,0	18/4/81	
15	6,7	20,0	53,3	13,3	6,7	0,0	29/4/80	
17	-	5,9	29,4	47,1	17,6	0,0	2/5/81	

Figura 18 - Curvas de crescimento das gemas  $G_1$ ,  $G_2$ ,  $G_3$  e  $G_4$  em cada época de coleta, até a florada principal . 18a. Ano de 1980 ( $G_1$ ,  $G_2$ ,  $G_3$  e  $G_4$ ); 18b. Ano de 1981 ( $G_1$ ,  $G_2$  e  $G_3$ ); 18c. Ano de 1982 ( $G_1$ ,  $G_2$  e  $G_3$ ,  $G_4$ ).







to reprodutivo em cada ano agrícola.

A Figura 19 apresenta as curvas de crescimento da ge ma G, , em 1980 e 1981. A defasagem quanto ao início do cresci mento assim como nos valores médios de comprimento em períodos correspondentes nos anos de 1980 e 1981 são dois aspectos que se destacam. Tendo-se como referência o ano de 1980, pode-se es timar que houve um atraso no início do crescimento de G, em 1981. Apesar das discrepâncias, as curvas de crescimento mostra ram tendências semelhantes a partir da 2ª quinzena de maio (13/ 5 em 1980 e 16/5 em 1981). Nestas datas, as gemas  $\mathbf{G}_1$  tinham os seguintes valores médios: 3,3 mm (1980) e 1,7 mm (1981). Em tor no do mês de julho, houve um decréscimo acentuado nas taxas crescimento, sendo que as gemas G, mediam 6,6 mm (1980) e 4.4mm (1981) no início desta época. O crescimento acelerou-se nova mente no mês de agosto de ambos os anos. Entretanto, a taxa de crescimento foi nitidamente mais acelerada em 1981, indicando que o atraso inicial foi compensado neste período. A última e tapa da curva caracterizou-se por uma nova diminuição das taxas de crescimento, sendo que ao final do processo as gemas  ${\bf G}_{\bf 1}$  atin qiram 9,9 mm (1980) e 9,3 mm (1981).

Em 1982, estudou~se outro grupo de plantas do cultivar Catuai Vermelho porque os cafeeiros utilizados nos anos anterio res foram seriamente afetados pela geada de 20/7/1981 (Tabela 1). As curvas de crescimento obtidas nos 3 anos consecutivos são a presentadas na Figura 20. O aumento do comprimento médio das gemas G<sub>1</sub> só foi observado a partir de 30/3/82, quando as gemas possuiam um comprimento médio de 1,5 mm. Dois aspectos se desta cam ao se comparar o período de 30/3 a 3/7 de 1982 com épocas

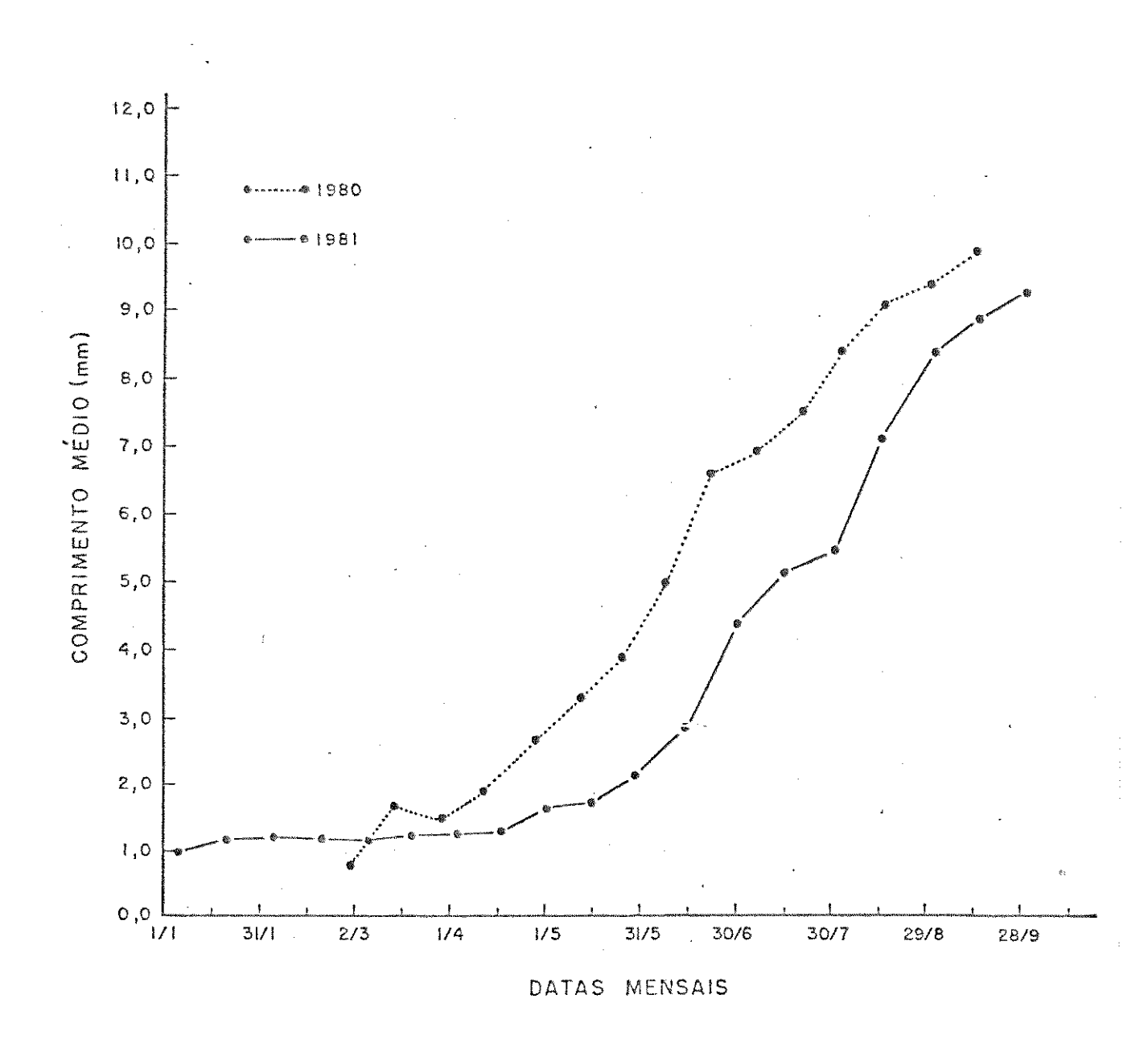


Figura 19 - Curvas de crescimento de gemas seriadas  $\mathbf{G}_1$  do cultivar Catuai Vermelho, em 1980 e 1981.

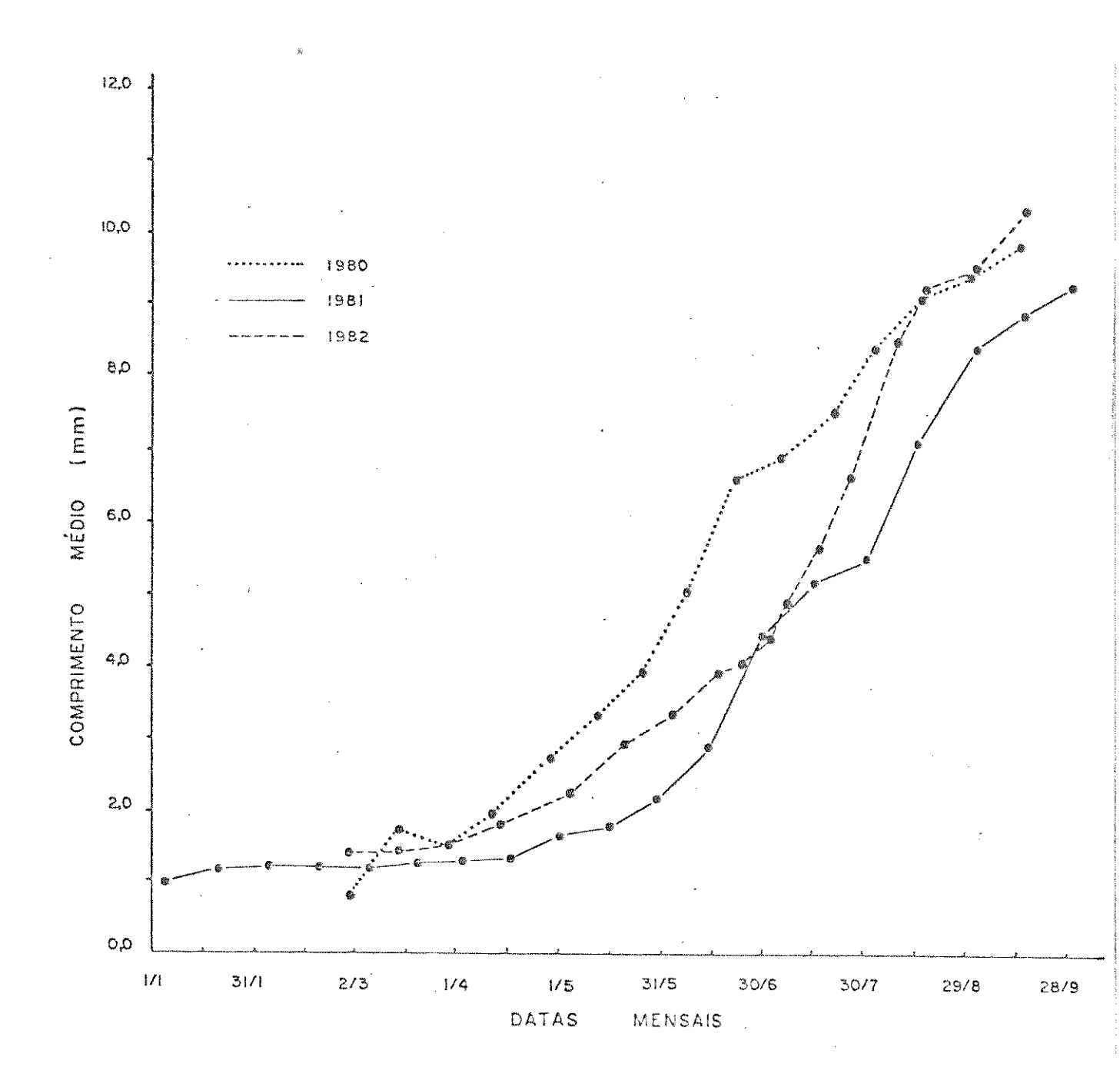


Figura 20 - Crescimento de gemas reprodutivas  $G_1$ , pertencentes ao cultivar Catuai Vermelho, nos anos de 1980 , 1981 e 1982.

idênticas dos anos anteriores: (1º) a existência de taxas de crescimento e comprimentos médios intermediários em 1982 e (2º) a não ocorrência de elevações abruptas nas taxas de crescimento no mês de junho de 1982. Durante o período compreendido entre 3/7 e 18/8 de 1982 o crescimento mostrou-se progressivamente a celerado, assumindo uma tendência nitidamente exponencial, o que contrasta com o que se observou no mês de julho de 1980 e 1981. A taxa de crescimento diminiu consideravelmente entre 18/8 e 2/9 de 1982, mas aumentou no período seguinte (2/9 a 17/9).

### 3.2. Cultivares Catuai Vermelho, Mundo Novo e Bourbon Amarelo

Gemas reprodutivas de plantas dos cultivares Catuai Vermelho, Mundo Novo e Bourbon Amarelo foram avaliadas entre 1/7 e 1/10 de 1981. Cabe destacar que os cafeeiros de cada cultivar localizavam-se em campos experimentais diferentes (Tabela 1). As curvas de crescimento das gemas dos cultivares Catuai Verme lho e Mundo Novo apresentaram comprimento médios e padrões de crescimento muito semelhantes durante todo o período (Figura 21). O cultivar Bourbon Amarelo destacou-se no seguinte: (a) pelos elevados valores médios das gemas  $G_1$  e  $G_2$ ; (b) por ter apresentado curvas caracterizadas por uma taxa de crescimento constante entre 1/7 e 16/8 de 1981 e (c) pelo crescimento zero a partir de 16/8 de 1981.

Em função destes dados preliminares, decidiu-se realizar um estudo comparativo do crescimento das gemas reprodutivas dos cultivares Catuai Vermelho e Bourbon Amarelo em 1982 (Figura 22). O crescimento das gemas  $G_1$  pertencentes ao cultivar

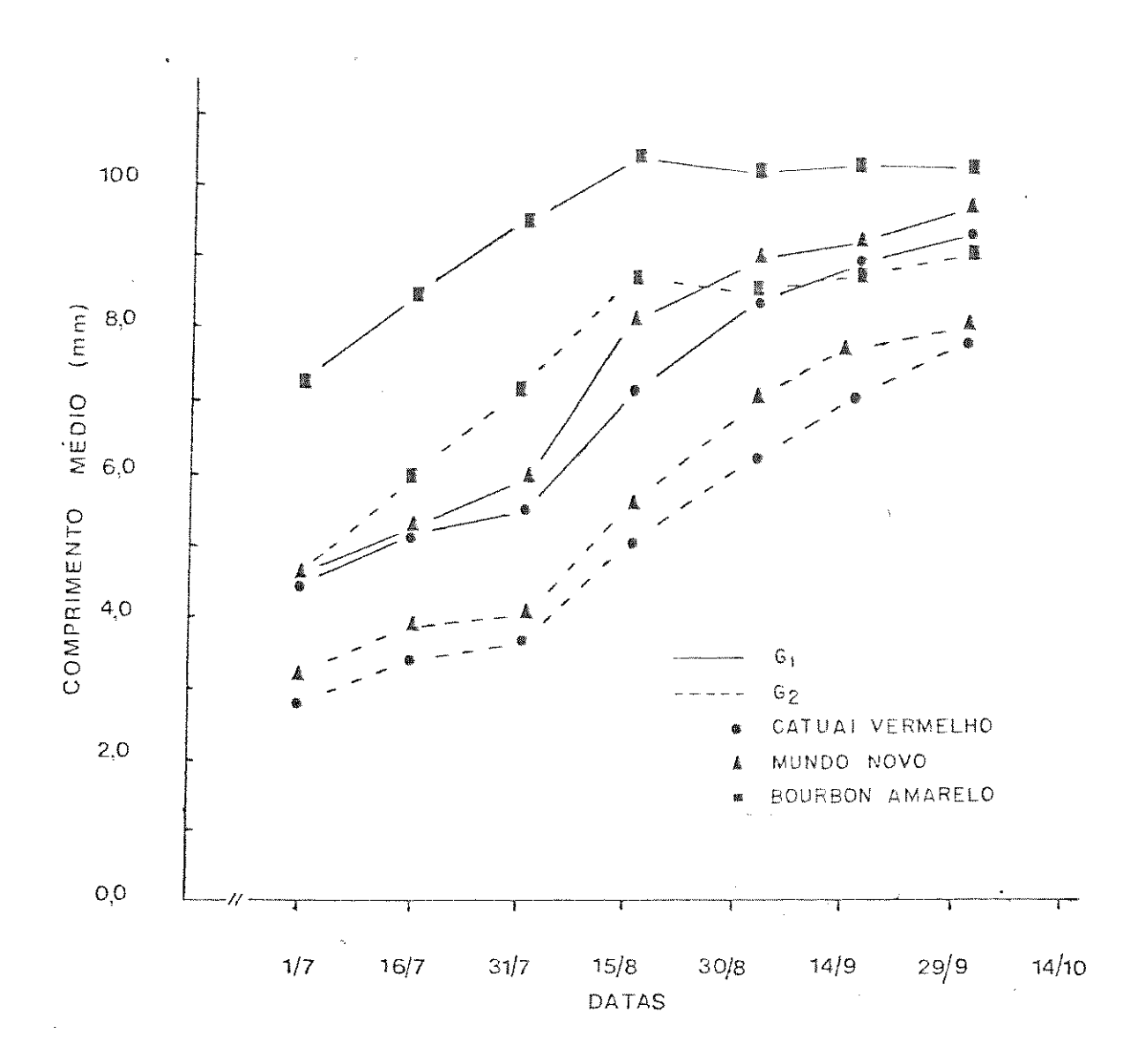


Figura 21 - Curvas de crescimento das gemas seriadas  $\mathbf{G}_1$  e  $\mathbf{G}_2$  nos cultivares Bourbon Amarelo, Mundo Novo e Catuai Vermelho, em 1981.

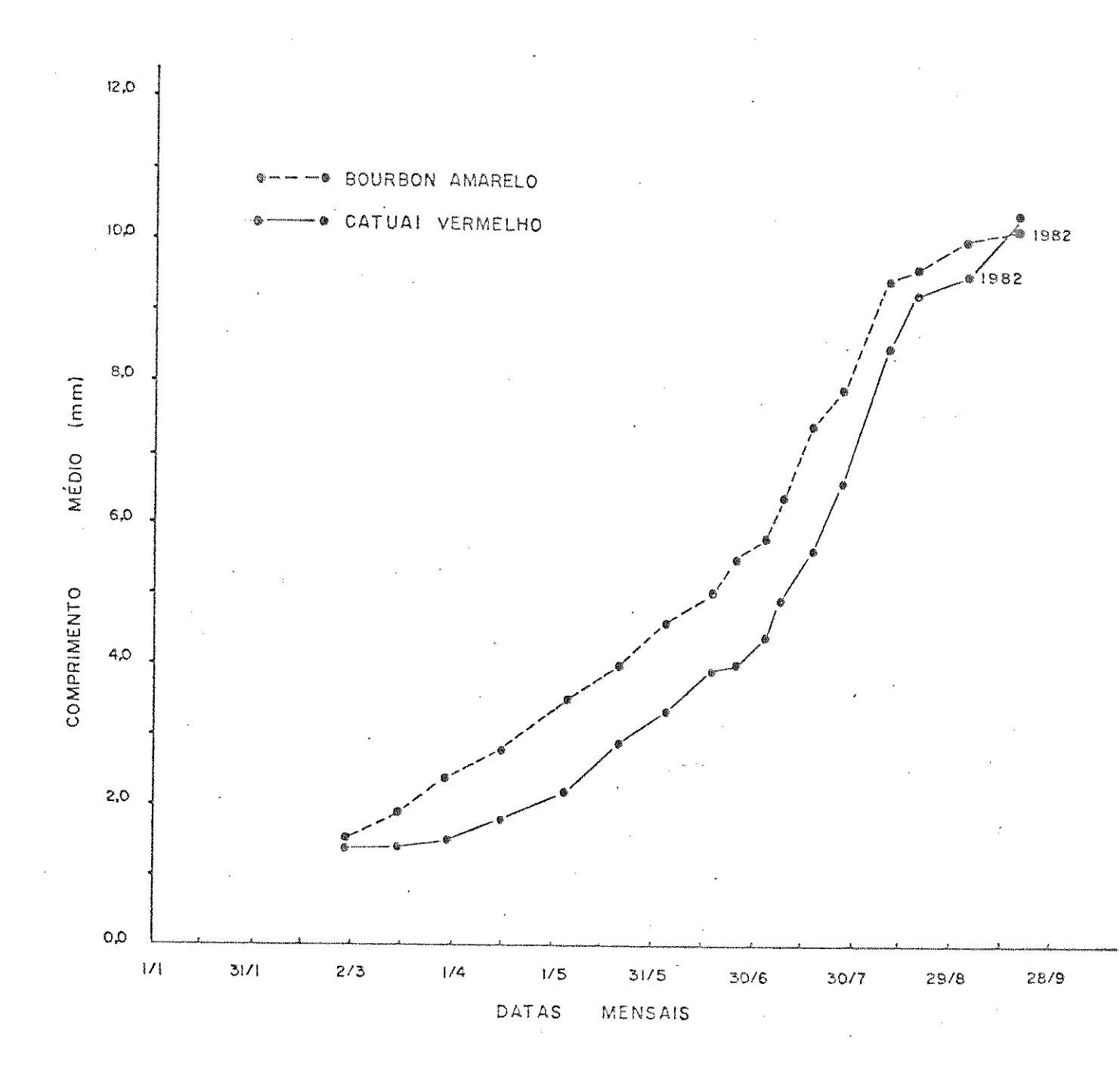


Figura 22 - Gráfico representativo do crescimento das gemas reprodutivas G<sub>1</sub>, nos cultivares Catuai Vermelho e Bou<u>r</u> bom Amarelo, entre 1/3 e 17/9/82.

Bourbon Amarelo já estava ocorrendo na primeira quinzena de mar co de 1982. Pode-se, portanto, estimar que houve uma defasagem de cerca de 1 mês quanto ao início do crescimento reprodutivo entre os cultivares Catuai Vermelho e Bourbon Amarelo. As taxas de crescimento das gemas G<sub>1</sub> nos cafeeiros de Bourbon Amarelo su peraram taxas observadas para o Catuai Vermelho até 5/5/82. As curvas demonstraram tendências semelhantes entre 5/5 e 3/7/82. A partir desta data, houve uma grande aceleração do crescimento das gemas G<sub>1</sub> em ambos os cultivares, sendo que as taxas de crescimento foram maiores em Catuai Vermelho. Houve acentuado declinio do crescimento entre 10/8 e 17/9/82, nos cafeeiros Bourbon Amarelo.

## 4. DESENVOLVIMENTO DAS GEMAS REPRODUTIVAS EM 1980, 1981 e 1982

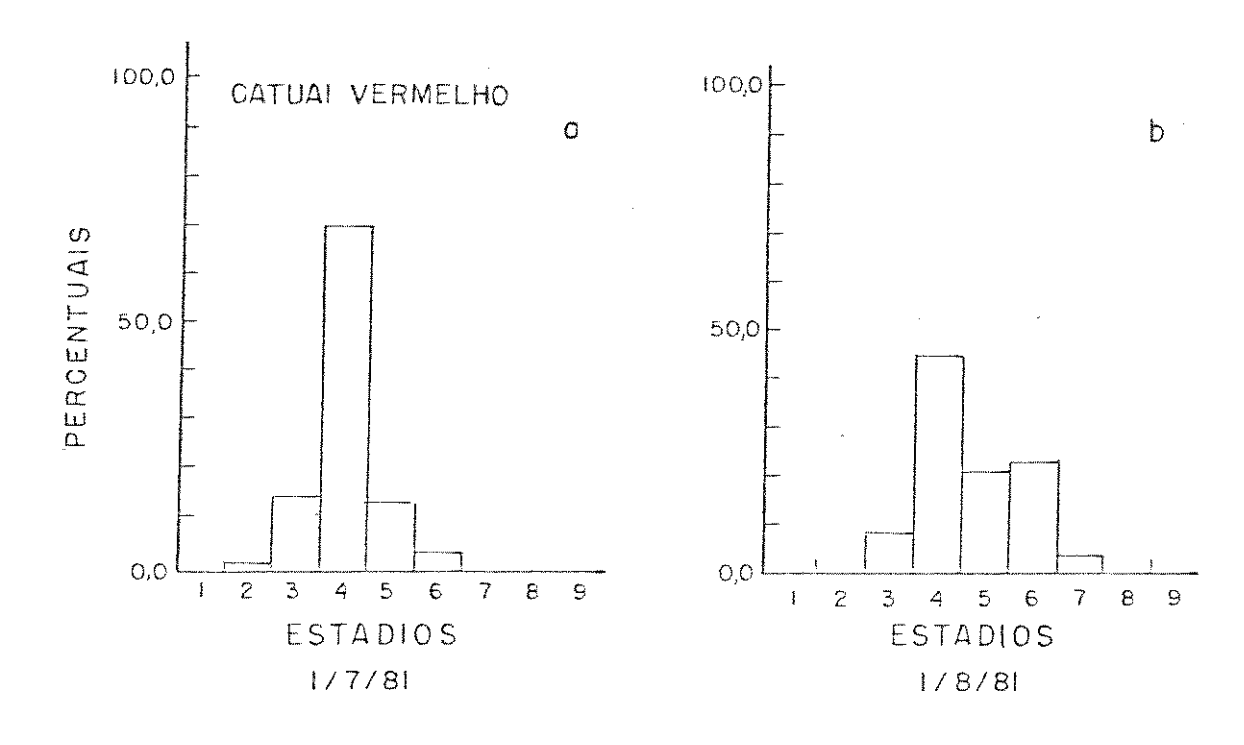
### 4.1. Cultivar Catuai Vermelho

As observações morfológicas realizadas em 1980 mostra ram que a grande maioria das gemas G<sub>1</sub> jã encontravam-se na fase de inflorescência (estádios 5 e 6) no final do mês de junho. A partir de 1/7 de 1981, as transformações morfológicas foram es timadas com maior precisão através do emprego dos padrões descritos na Figura 1. Tentou-se elaborar uma classificação estrutura da em aspectos morfológicos bem caracterizados que pudesse ser facilmente empregada nos trabalhos de campo.

Constatou-se que, em 1/7/1981, 69,8% das gemas  $G_1$  en

contravam-se no estádio 4 (Figura 23.a), enquanto que os está dios 3 e 5 correspondiam, respectivamente, a 13,0% e 12,9% total das gemas G<sub>1</sub> analisadas. Transcorrido um mês (1/8/1981) , o estádio 4 ainda mantinha um elevado valor percentual (45,3%), mas cerca de 47% das gemas G<sub>1</sub> formavam inflorescências buidas da seguinte forma: 20,5% no estádio 5; 23,1% no estádio 6 e 3,4% no estádio 7 (Figura 23.b). Durante o mês de agosto os percentuais dos estádios 3, 4 e 5 declinaram rapidamente. As sim, em 2/9/81, cerca de 76,9% das gemas G, concentravam-se estádios 6 e 7. Ao mesmo tempo, aproximadamente 12% das gemas G, apresentavam botões florais (estádio 8 - Figura 23.c). A Fi gura 24 revela que as alterações morfológicas foram particular mente acentuadas entre 1/8 e 16/8 de 1981. Em 1/10/81,82,1% das gemas G<sub>1</sub> encontravam-se no estádio 7; 2,7% apresentavam flores e 11,6% possuiam chumbinhos (Figura 23.d). A florada principal ocorreu em 12/10/81.

Os percentuais do estádio 1 e das etapas iniciais do desenvolvimento reprodutivo - estádios 2 e 3 - obtidos no ano de 1982, são mostrados na Figura 25.a. Durante o mês de março a fase 1 manteve-se amplamente majoritária, correspondendo a 80,8% e 69,1% das gemas G<sub>1</sub> em 1/3 e 30/3, respectivamente. A ta xa de declínio dos percentuais do estádio 1 permaneceu constante no mês de abril (30/3 a 5/5/82), mas aumentou consideravel mente entre 5/5 e 4/6/82. Gemas G<sub>1</sub> no estádio 1 não foram mais encontradas em 18/6/82. As curvas do estádios 2 e 3 mantiveram tendências perfeitamente simétricas ã do estádio 1 até 5/5/82, quando apareceram as primeiras gemas no estádio 4 (Figura 25.b). Desta data em diante, houve um rápido aumento no percentual do estádio 4 que atingiu valor máximo em 3/7/82 (ca. de 60% das ge



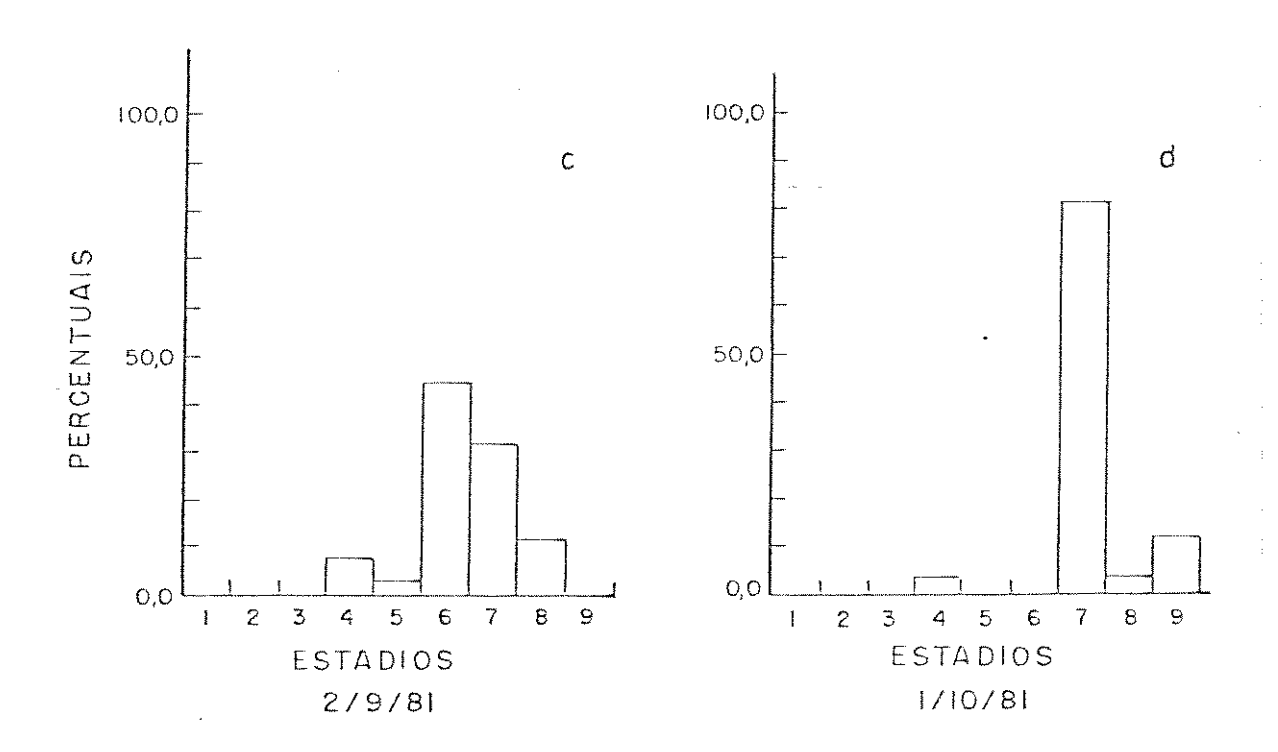


Figura 23 - Histogramas da distribuição percentual dos estádios de desenvolvimento reprodutivo no cultivar Catuai Vermelho, 1981; (a) 1/7/81; (b) 1/8/81; (c) 2/9/81 e (d) 1/10/81.

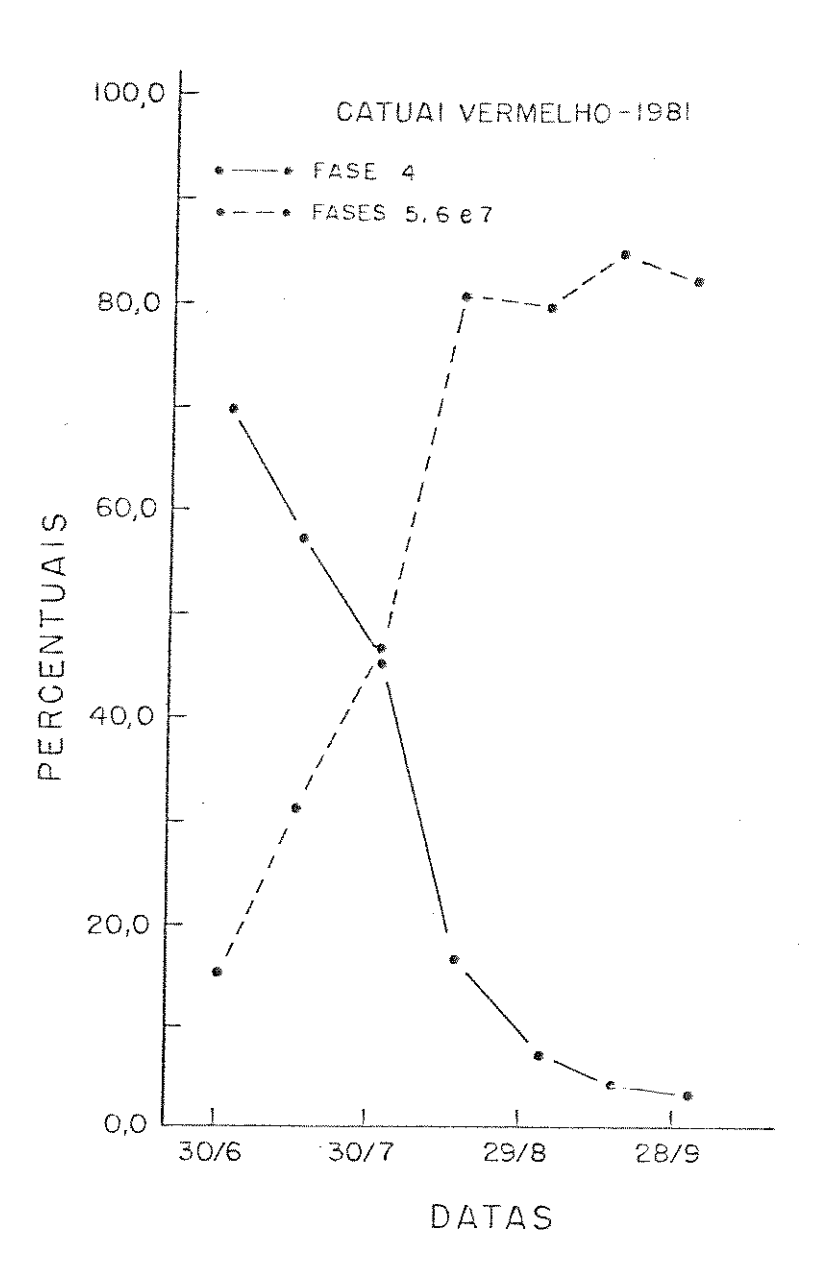


Figura 24 - Curvas da distribuição percentual do estádio 4 e dos estádios 5, 6 e 7 no período compreendido entre 1/7 e 1/10/81.

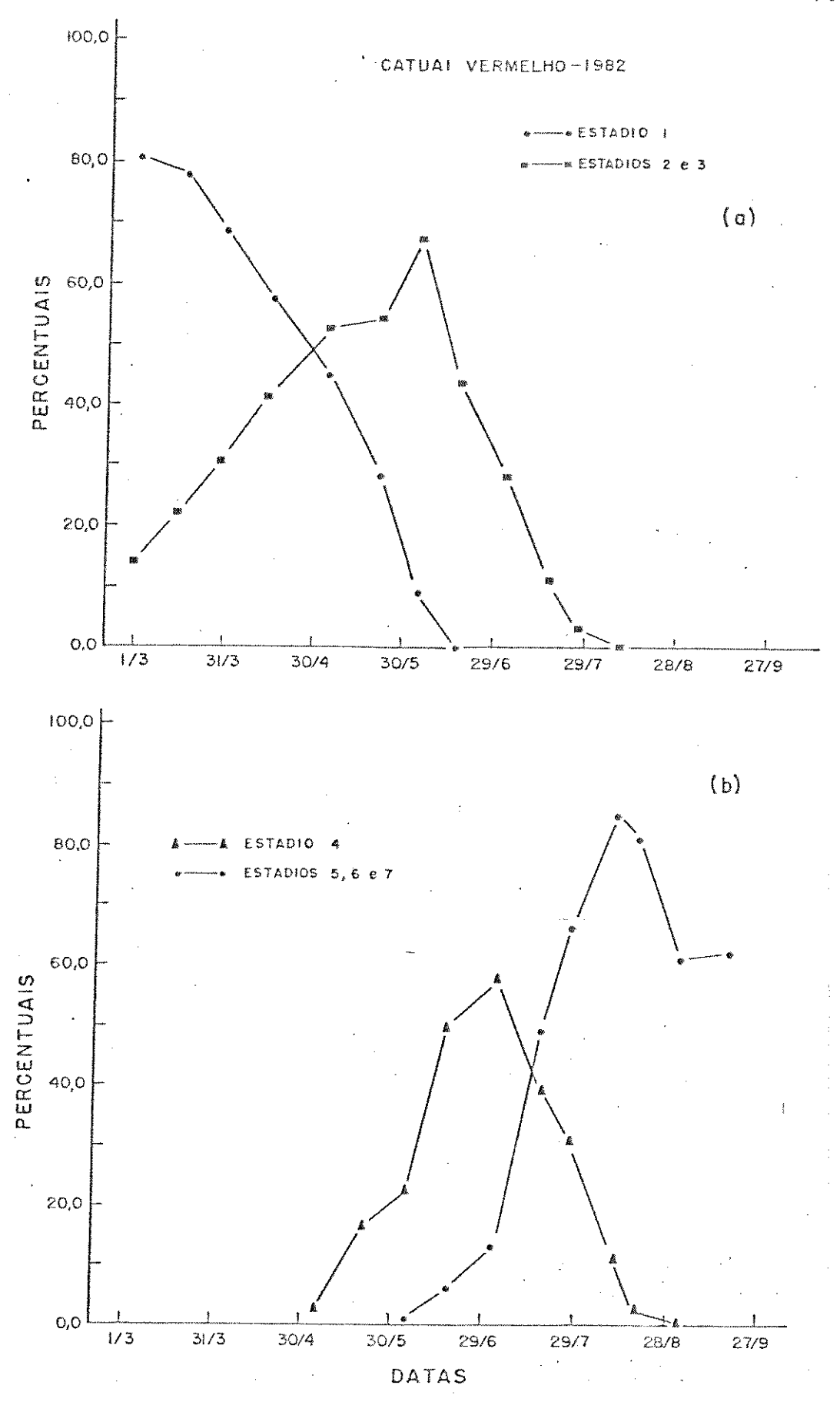


Figura 25 - Gráfico das fases de desenvolvimento mor fológico de gemas G<sub>1</sub> desenvolvendo-se reprodutivamente, no ano de 1982. 25a. Percentuais da fase I e das fases 2 e 3. 25b. Percentuais da fase 4 e das fases 5, 6 e 7 somadas.

mas G<sub>1</sub>). Ainda assim, aproximadamente 26% das gemas encontravam-se no estádio 3. A formação de inflorescências (estádios 5, 6 e 7) progrediu de forma bastante acelerada entre 3/7 e 10/8/82, passando de 13,7% a 85.1% (Figura 25.b). O decréscimo dos valores percentuais dos estádios 5. 6 e 7 entre 10/8 e 17/9/82, foi consequência da antese de botões florais. Em 17/9/82, cerca de 38,4% das gemas G<sub>1</sub> haviam produzido flores. A maioria das gemas (61,4%) participou da florada principal de 1982 (10/10/82). Os histogramas contidos na Figura 26 mostram mais detalhadamente a distribuição percentual dos estádios morfológicos no período de 3/7 a 17/9 de 1982.

4.2. Estudo comparativo dos cultivares Catuai Vermelho, Mundo No vo e Bourbon Amarelo

As Figuras 27.a e 27.b mostram as curvas dos estádios morfológicos de gemas reprodutivas pertencentes a cafeeiros dos cultivares: Catuai Vermelho, Mundo Novo e Bourbon Amarelo, em 1981. Inicialmente, verifica-se que o Bourbon Amarelo encontra va-se consideravelmente mais adiantado que os outros cultivares. Em 1/7/1981, 71.3% das gemas G<sub>1</sub> de Bourbon, distribuiram-se en tre os estádios 5 e 6. Na mesma época, o estádio 4 apresentava -se majoritário nas plantas de Catuai Vermelho (69,8%) e Mundo Novo (79,8%). Durante o mês de julho, o declínio dos valores percentuais da fase 4 foi mais acentuado em Mundo Novo. No início de agosto (1/8/1981), os estádios 5 e 6 totalizavam 47% das gemas G<sub>1</sub> em Catuai Vermelho enquanto que, em Mundo Novo 74,7% das gemas distribuiram-se entre os estádios 5, 6 e 7 (Figura 28). Os cafeeiros Bourbon Amarelo apresentavam cerca de 64% das gemas

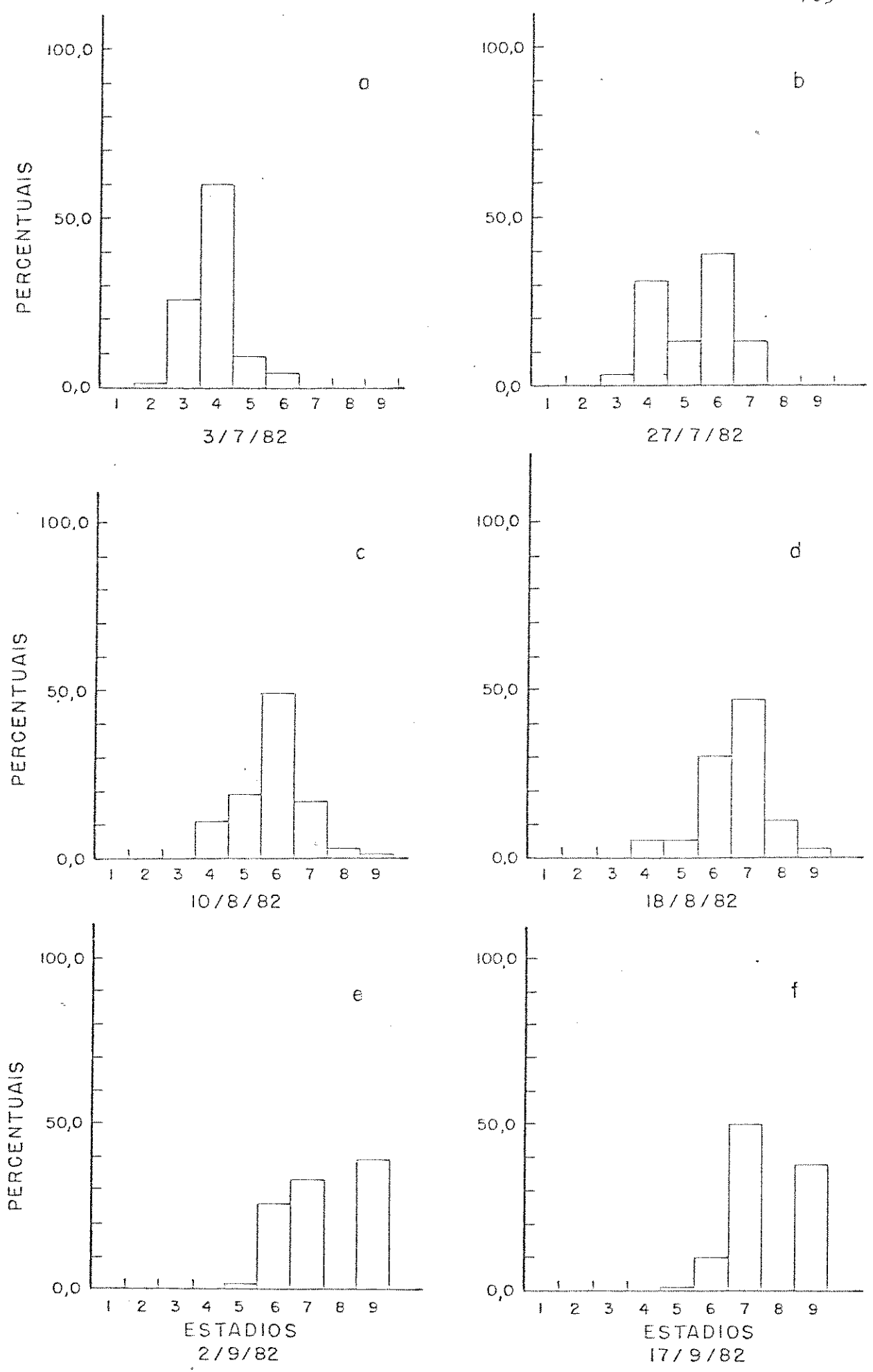


Figura 26 - Histogramas representativos da distribuição percentual dos estádios morfológicos de gemas  $G_1$  reprodutivas do cultivar Catuai Vermelho, entre 3/7 e 17/9/82.

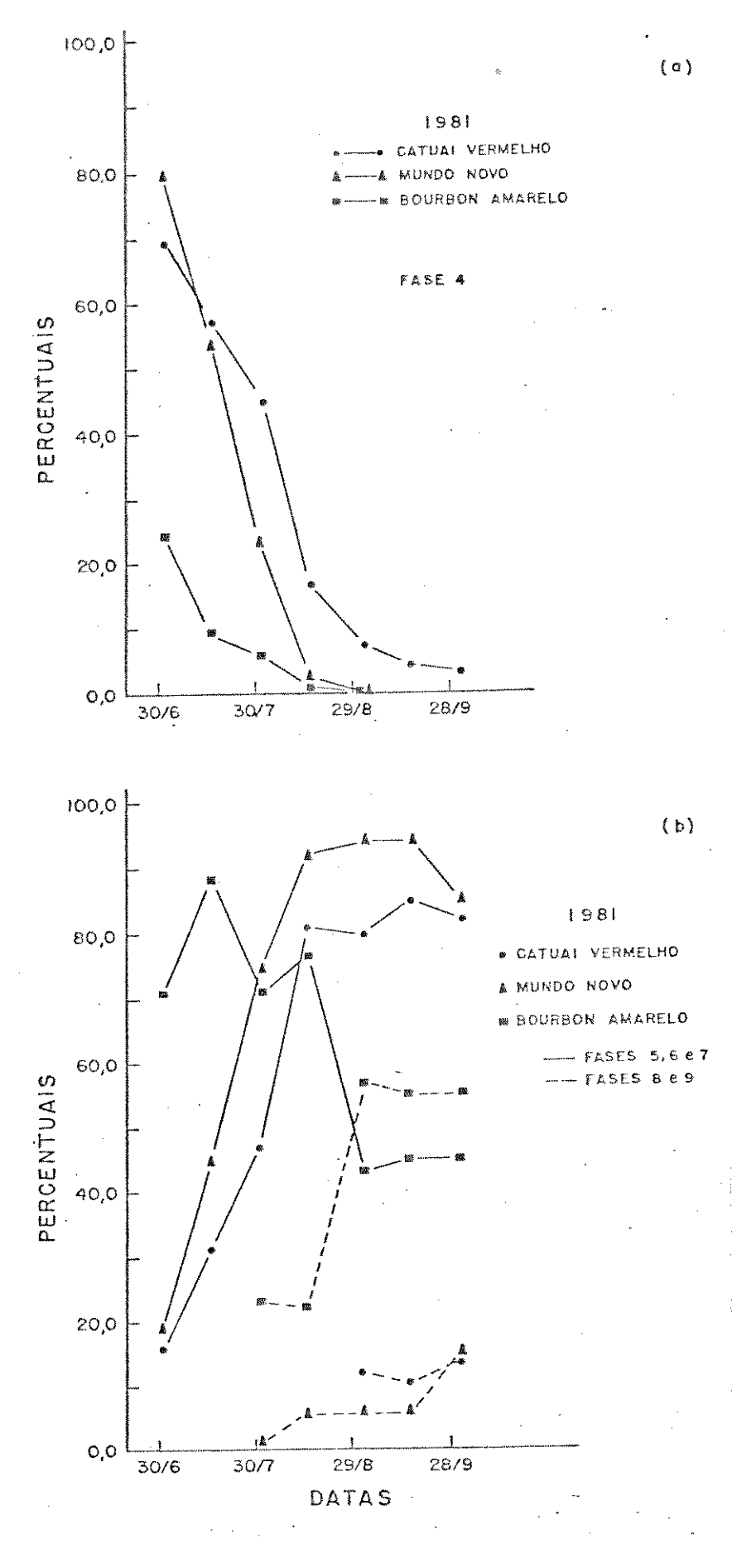


Figura 27 - Curvas dos valores percentuais dos estádios morfológicos de gemas G<sub>1</sub> reprodutivas pertencentes a cafeeiros dos cultivares Catuai Vermelho, Mundo Novo e Bourbon Amarelo, entre 1/7 e 1/10/81. 27a. Percentuais da fase 4. 27b. Percentuais das fases 5, 6 e 7; 8 e 9.

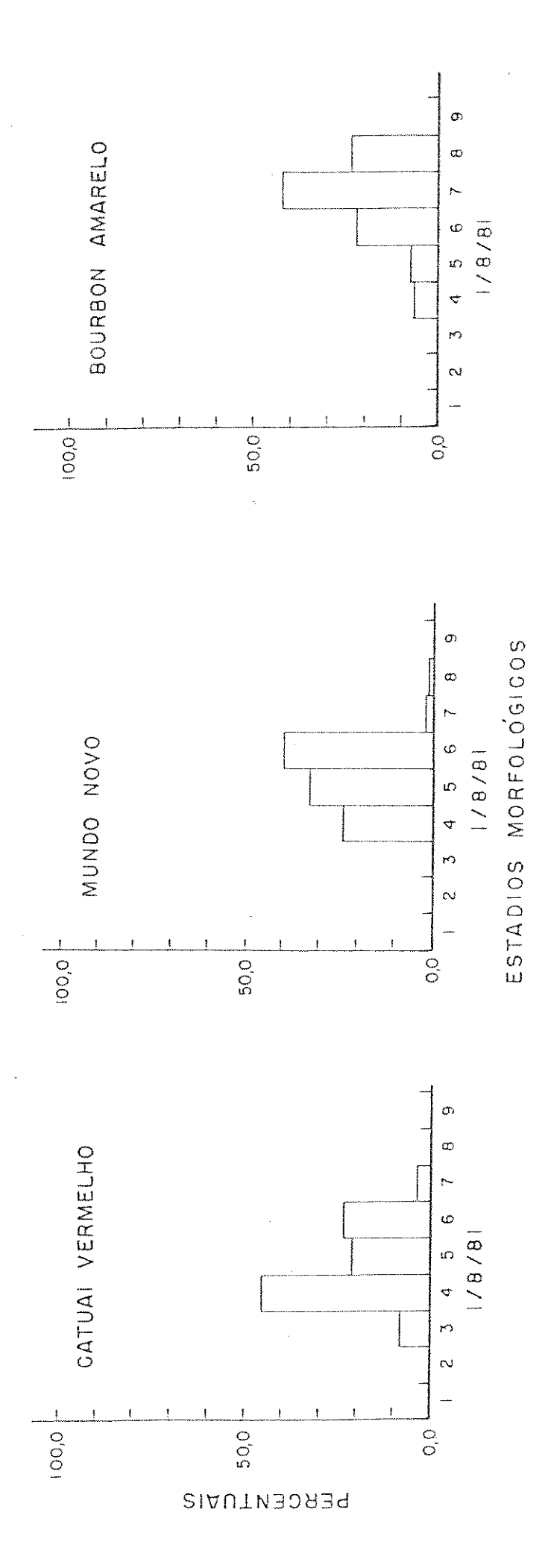


Figura 28 - Distribuição percentual dos estádios morfológicos de gemas dos cultívares Catuai Verme 1ho, Mundo Novo e Bourbon Amarelo em 1/8/81.

nos estádios 6 e 7 e flores em 22,8% das inflorescências (Figura 28). O atraso das plantas de Catuai Vermelho foi abruptamente reduzido entre 1/8 e 16/8/81 (Figura 24 e Figura 27). Na  $\tilde{u}1$  tima data de avaliação (1/10/81), os percentuais dos estádios morfológicos de Catuai Vermelho e Mundo Novo atingiram valores semelhantes, sendo que a grande maioria das gemas encontravam seno estádio 7 (82,1% e 71,7%, respectivamente). Na cultivar Bourbon Amarelo, existiam chumbinhos em 55% das gemas  $G_1$ , restando somente 45% para a época da florada principal de 1981 (Figura 27.b).

Os resultados do estudo comparativo entre as cultiva res Catuai Vermelho e Bourbon Amarelo, em 1982, estão sinteti zados nas Figuras 29, 30 e 31. Jā em 1/3/82, os cafeeiros Bour bon Amarelo apresentavam menor quantidade de gemas no estádio 1 (67,5%; Catuai Vermelho - 80,8%; Figura 29). 0 surgimento dos estádios 2 e 3 foi sensivelmente mais rápido em Bourbon Ama relo, o que acentuou ainda mais as diferenças entre os dois cul tivares. Na avaliação de 15/4/82, o estádio 1 correspondia apenas 5,0% do total de gemas  $\mathbf{G}_1$  em Bourbon Amarelo , enquanto que 58,3% das gemas de Catuai Vermelho permaneciam no estádio 1 (Figura 29). Os valores percentuais máximos do estádio 4 foram atingidos em 18/6/82 na cultivar Bourbon Amarelo (65,0%) e 3/7/82 no cultivar Catuai Vermelho (60,0%; Figura 30). Apesar da defasagem entre as cultivares não ter desaparecido até a épo ca da florada principal, observou-se uma substancial diminuição das diferenças entre 4/6 e 18/6 (Figura 30) e entre 3/7 e 10/8/82, quando houve intensa formação de inflorescências (fases.5; 6 e 7; Figura 31). Em 17/9/82, cerca de 62,0% das gemas  $G_1$  de Catuai Vermelho encontravam-se no estádio 7 e 38,0% das inflorescências

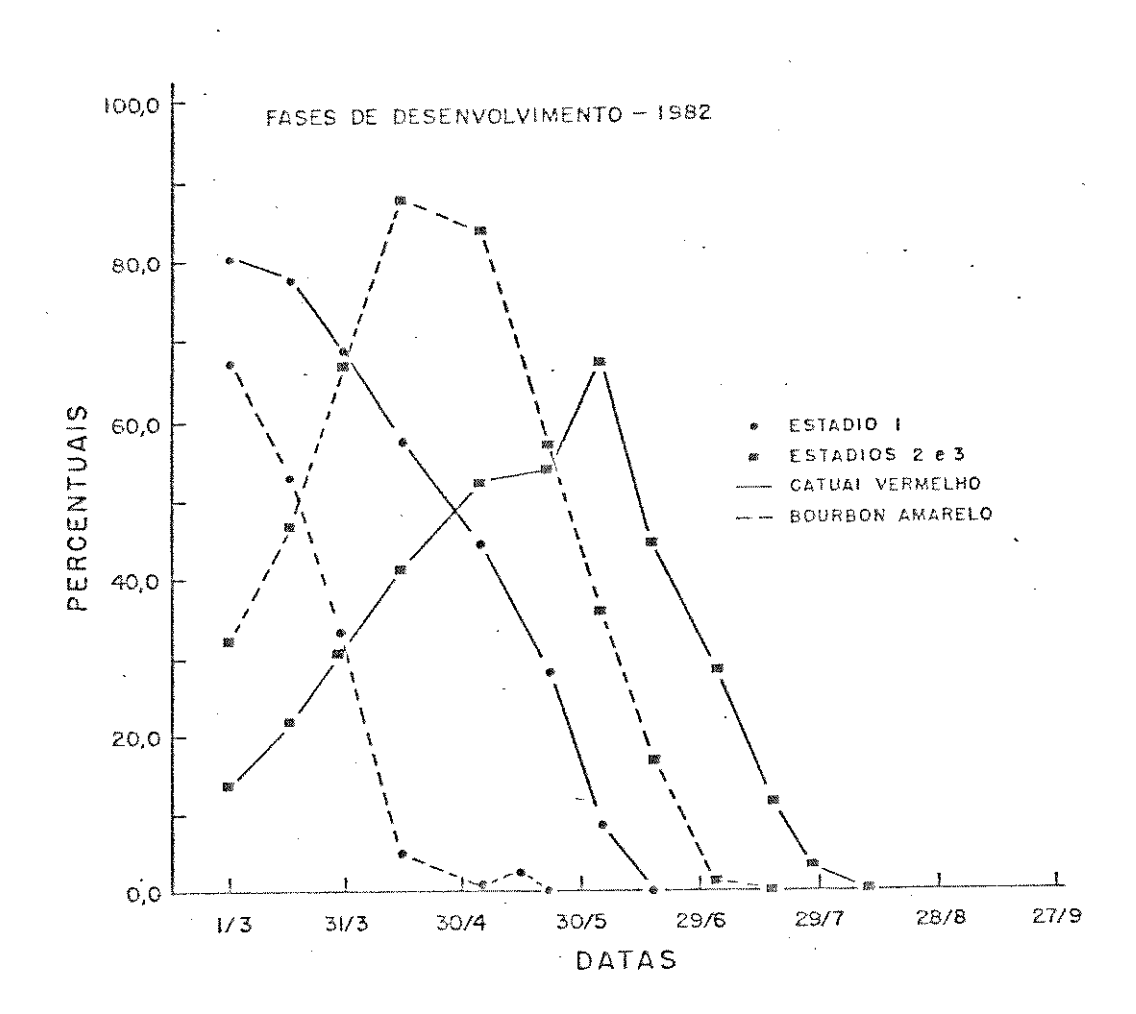


Figura 29 - Curvas dos percentuais do estádio morfol $\tilde{0}$  gico 1 e dos estádios 2 e 3 (gemas  $G_1$ ) em cafee $\tilde{1}$  ros dos cultivares Catuai Vermelho e Bourbon Amar $\tilde{1}$  lo durante o desenvolvimento reprodutivo de 1982.

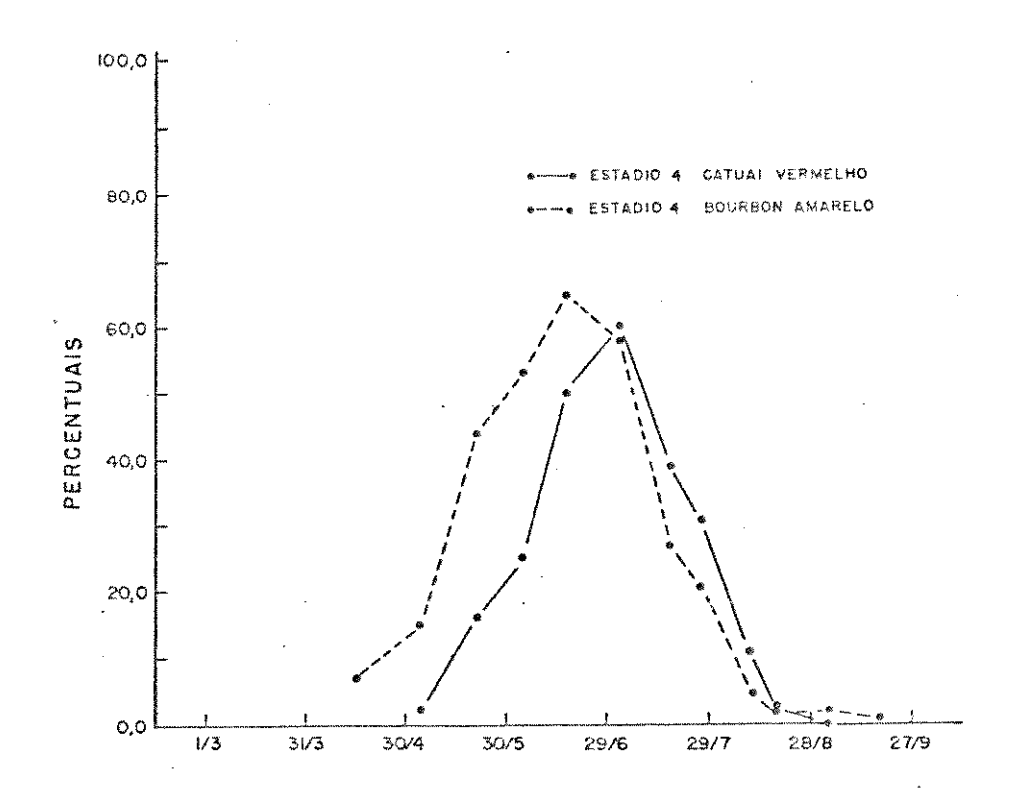


Figura 30 - Curvas dos valores percentuais do es tádio 4 (gemas  $G_1$ ) em cafeeiros dos cultivares Catuai Vermelho e Bourbon Amarelo, em 1982.

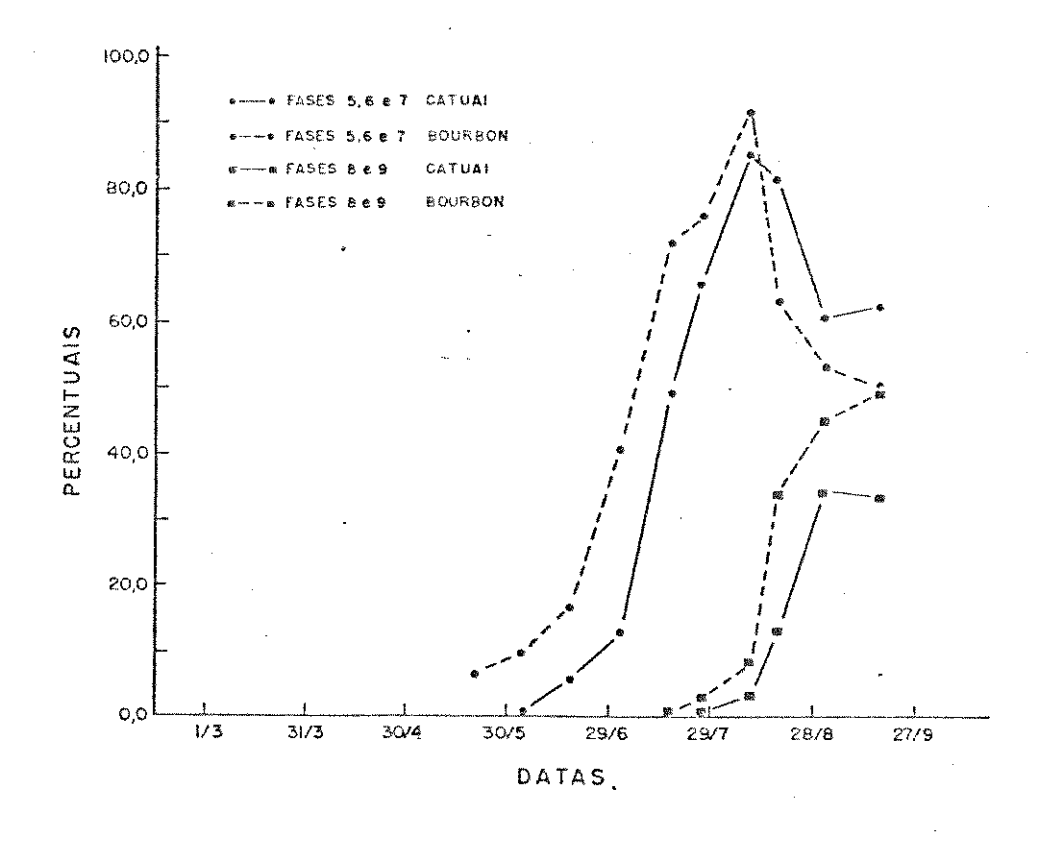


Figura 31 - Curvas dos valores percentuais das gemas G<sub>1</sub> nos estádios 5, 6 e 7 e nos estádios 8 e 9 em plantas de Catuai Vermelho e Bourbon Amarelo durante o ano de 1982.

continham chumbinhos. O cultivar Bourbon Amarelo apresentava  $\underline{a}$  proximadamente 50,0% das gemas no estádio 7 e 49% nos estádios 8 e 9 (Figura 31).

#### 4.3. Transformação Probítica dos Dados

A distribuição percentual dos estádios morfológicos pode ser transformada através de uma técnica estatística que permite estimar o estádio médio e o desvio padrão em cada época. Admitindo-se que a frequência de distribuição dos estádios florais seja normal, pode-se empregar a transformação probítica. Esta técnica permite transformar uma ogiva de frequência acumu lada numa reta, tornando possível a obtenção da média e do desvio padrão a partir dos valores percentuais (SOKAL & ROLFH, 1969; LABOURIAU, informação pessoal).

Os valores médios dos estádios morfológicos de plantas dos cultivares Catuai Vermelho, Mundo Novo e Bourbon Amarello, entre 1/7 e 1/10/81, estão plotados no gráfico da Figura 32. As curvas obtidas acompanham as tendências das curvas de crescimento das gemas G<sub>1</sub>, mantendo as diferenças entre os três cultivares em estudo (Figura 21 e Figura 32). A comparação entre a distribuição dos valores percentuais dos estádios e o seu respectivo valor médio em cada época, sugere que a transformação probítica resulta em valores subestimados (Figuras 23, 28 e 32).

A Figura 33 apresenta as curvas dos estádios reprodutivos médios (transformação probítica) das plantas de Catuai Vermelho e Bourbon Amarelo, avaliadas em 1982. Novamente se cons

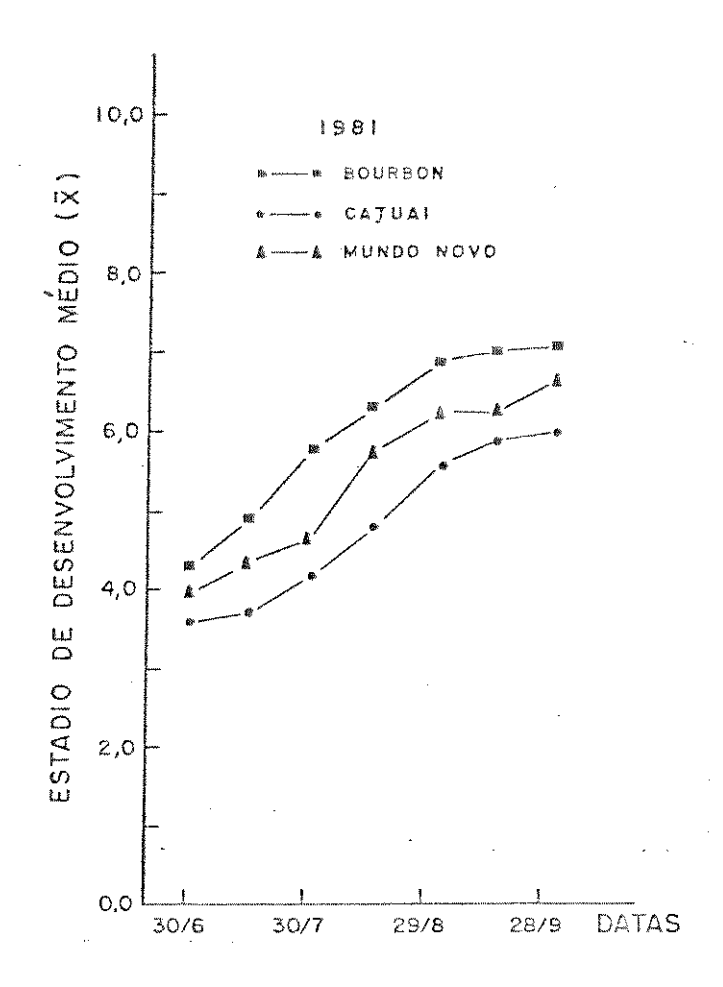


Figura 32 - Curvas dos estádios morfológicos médios, obtidos através da aplicação da transformação probítica sobre as distribuições de frequência das fases de desenvolvimento reprodutivo. Dados dos cultivares Catuai Vermelho, Bourbon Amarelo e Mundo Novoentre 1/7 e 1/10/81.

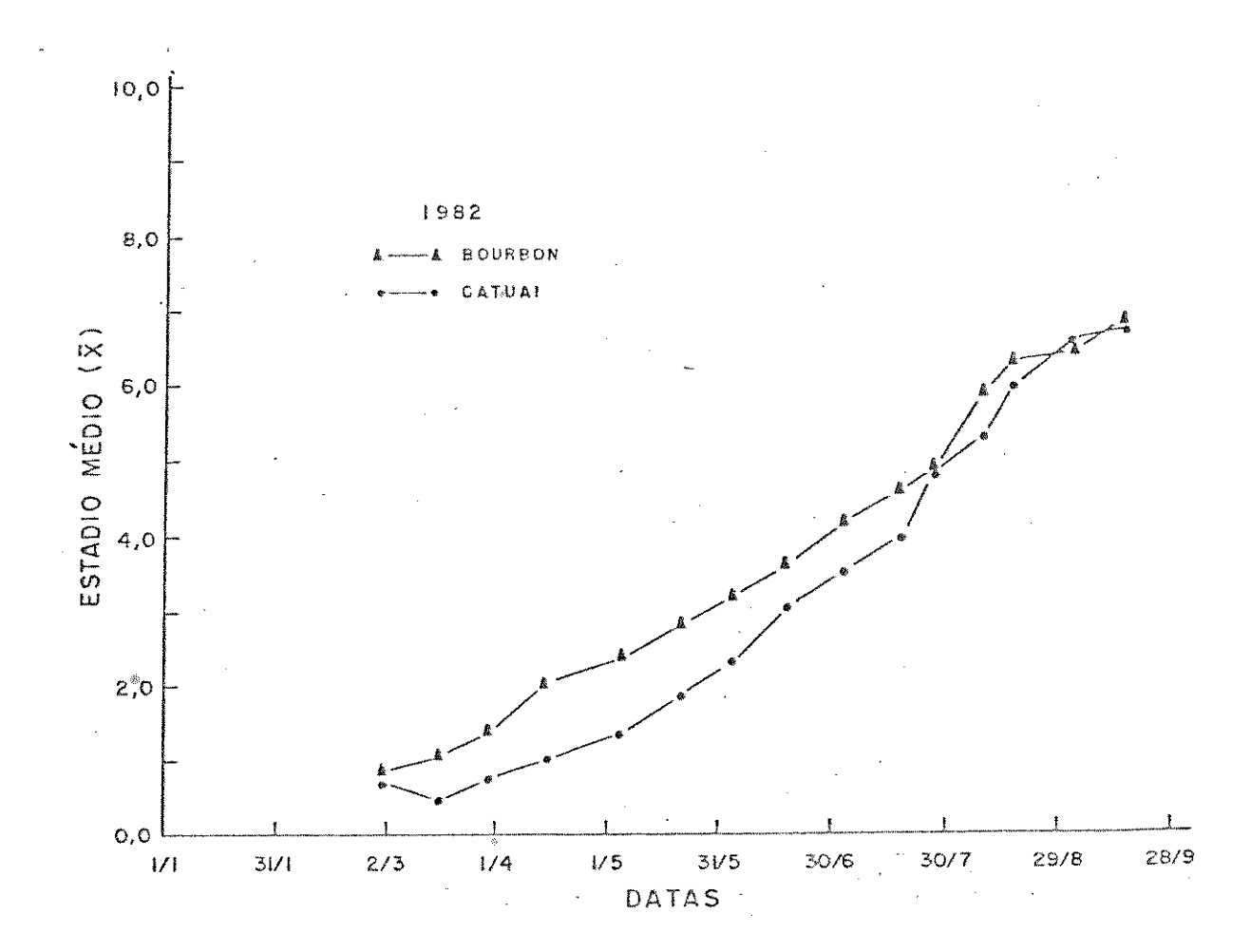


Figura 33 - Curvas dos estádios de desenvolvimento reprodutivo médios (x) entre 1/3 e 17/9/82, obtidas em cafeeiros dos cultivares Catuai Vermelho e Bourbon Amarelo (transformação probítica).

trado inclusive valores inferiores a 1 no período de 1/3 a 30/3 de 1982. A maior precocidade de desenvolvimento do cultivar Bourbon Amarelo ficou bem evidenciada neste gráfico. Porém, a peque na defasagem de crescimento da gema  $G_1$  entre os cultivares, mantida na etapa final do processo, não foi discriminada através desta transformação.

# 5. OBSERVAÇÕES SOBRE O FLORESCIMENTO DE *COFFEA ARABICA* EM 1980, 1981 e 1982

#### 5.1. Florescimento do cv. Catuai Vermelho em 1980

O período de florescimento do cafeeiro arabica, em Campinas, é marcado pela ocorrência de sucessivas floradas entre os meses de agosto e novembro.

No ano de 1980, foram registradas 4 floradas nas plantas de Catuai Vermelho (Tabela 1 e 4). A 19 florada (24/8/80) resultou da precipitação de 12 mm ocorrida em 16/8/80, tendo uma contribuição de 7,3% (Tabela 4; Figuras 34 e 35). A 29 florada (3/9/80) correspondeu à abertura de apenas 2,9% do total de botões florais produzidos e esteve relacionada com as chuvas dos dias 23,26 e 27/8 (21,2 mm). Nas duas floradas, as gemas  $G_1$  foram responsáveis pela maior parte das flores (76,5% - 19 florada e 83,3% - 29 florada; Figura 35 e Tabela 4). A 39 florada (1/10/80) foi caracterizada pela abertura de 62,4% dos botões florais existentes, portanto constituindo a florada principal de

Tabela 4. Florescimento do cultivar Catuai Vermelho em 1980.

Florad <b>a</b>		Contribuição das gemas				
	Flores abertas (%)	• •				
AND STANCE OF THE PROPERTY OF		G <sub>1</sub>	G <sub>2</sub>	G <sub>3</sub>	G <sub>4</sub>	
1ª (24/08/80)	7,3	76,5	17,6	5,9	<del></del>	
2ª (03/09/80)	2,9	83,3	16,7	-	******	
3ª (01/10/80)	62,4	53,5	33,4	11,9	1,2	
4ª (19/10/80)	3,3	33,4	46,5	20,1		
Total	76,0	56,0	31,7	11,2	1,0	
Perda <b>s</b>	18,7					
Restante <sup>*</sup>	5,3					

<sup>\*</sup> Gemas florais dormentes.

ဝှ

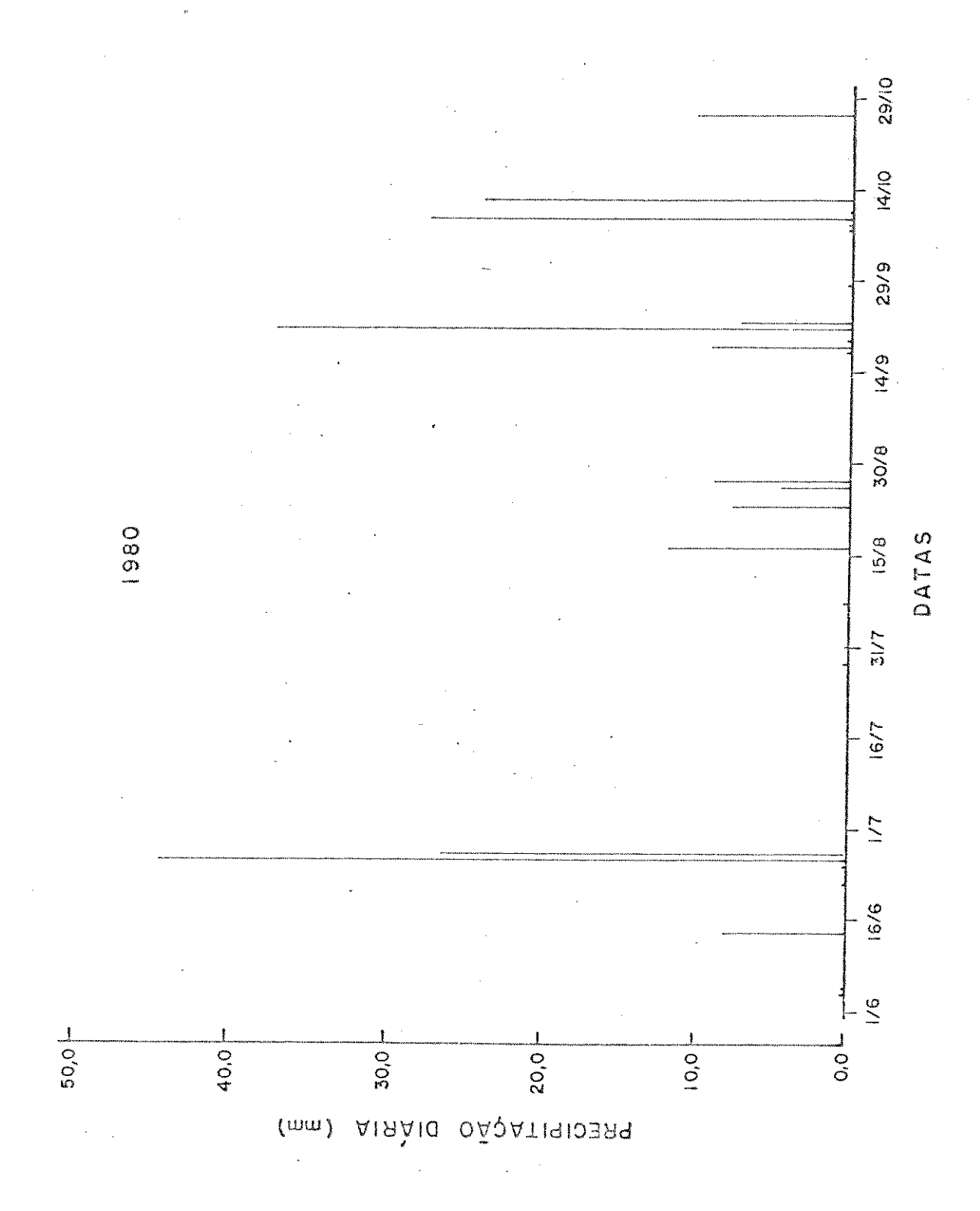


Figura 34 - Precipitação diária (mm) entre 1/6 e 30/10/80. Dados Centro Experimental de Campinas (Seção de Climatologia).

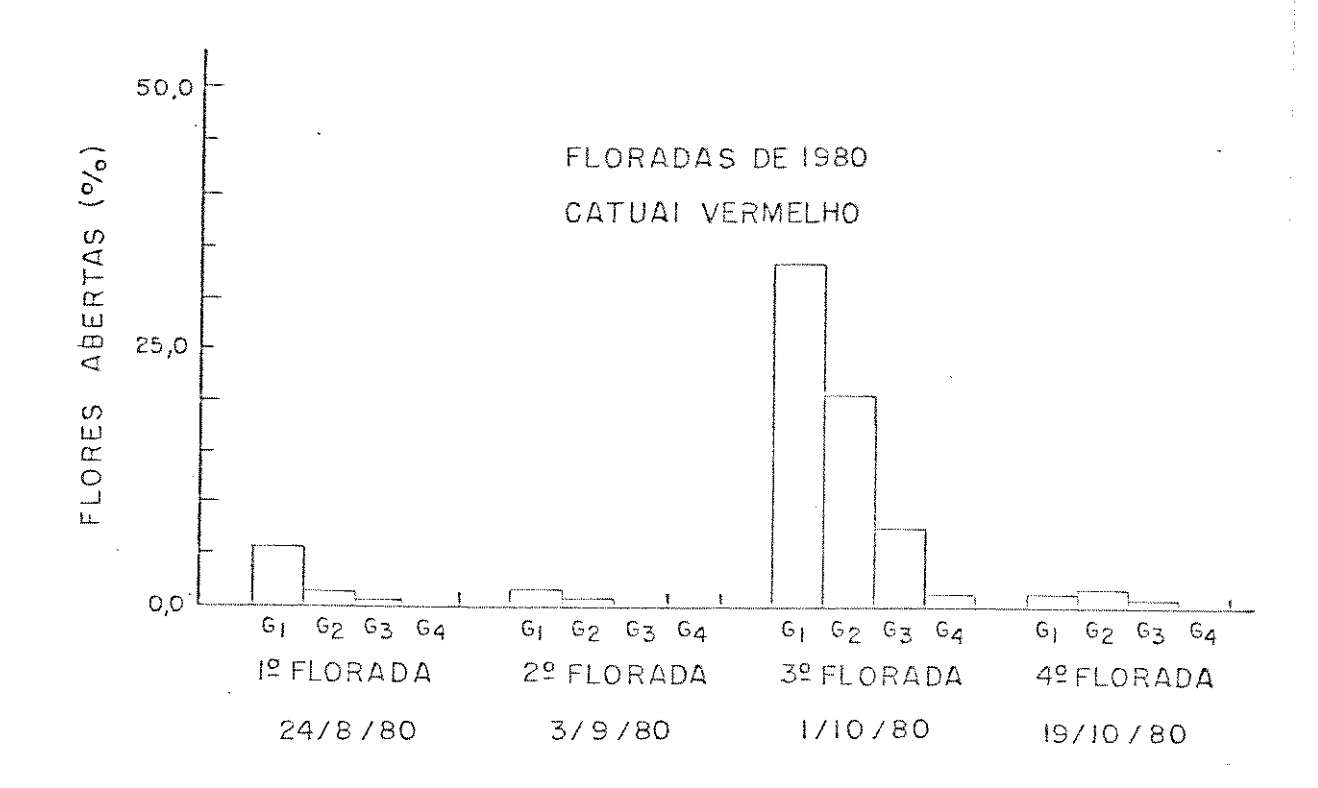


Figura 35 - Participação relativa (%) das gemas  $G_1$ ,  $G_2$ ,  $G_3$  e  $G_4$  nas 4 floradas de 1980 em plantas do cult $\underline{i}$  var Catuai Vermelho.

de 1980. Nesta florada, houve participação majoritária das gemas  $G_1$  e  $G_2$  que, juntas, produziram 86,9% das flores. A florada principal foi consequência das chuvas registradas entre 18/9 e 22/9/81, que totalizaram 56,8 mm. A  $\frac{40}{1000}$  foi da ordem de 3,3%, tendo relativamente maior contribuição das gemas  $G_2$  (46,2%) e  $G_3$  (20,1%; Tabela 4). A última florada foi promovida pela precipitação de 9/10/80 (27,6 mm). Considerandose todas as floradas deste ano de 1980, verificou-se que 87,7% das flores foram originadas pelas gemas  $G_1$  e  $G_2$  (Figura 35).

5.2. Florescimento dos cultivares Catuai Vermelho, Bourbon Amarelo, Mundo Novo e Arabica em 1981

#### 5.2.1. Cultivar Catuai Vermelho

As mesmas plantas estudadas em 1980 apresentaram duas floradas no ano de 1981. A 1ª florada (1/9/81) teve uma contribuição percentual de 9,5% em relação ao total de gemas. florais produzidas nos dez ramos avaliados (Tabela 5 e Figura 36). As chuvas de 19/8/81 (11,8 mm) foram responsáveis pela abertura dos botões florais (Figura 37). As gemas  $G_1$  produziram 71,1% das flores enquanto que as flores restantes distribuiram-se entre as gemas  $G_2$  (27,8%) e  $G_3$  (1,1%). A 2ª florada (12/10/81) caracte rizou-se pela abertura da grande maioria das gemas florais existentes (83,1%), correspondendo  $G_1$  florada principal de 1981. As precipitações registradas entre 3/10 e 8/10/81 (74,5 mm) promo veram a 2ª florada. As gemas  $G_1$  e  $G_2$ , em conjunto, originaram 88,2% das flores abertas nas floradas de 1982.



Tabela 5. Florescimento do cultivar Catuai Vermelho em 1981.

	Cont	tribuição das gemas			
Flores abertas (%)		da florada	(%)		
	$G_{1}$	G <sub>2</sub>	G <sub>3</sub>	G <sub>4</sub>	
9,5	71,1	27,8	1,1	Juda	
83,1	54,1	33,8	11,3	0,9	
92,6	55,9	33,1	10,1	0,9	
6,5					
0,9					
	9,5 83,1 92,6 6,5	Flores abertas (%) seriace G1  9,5  71,1  83,1  54,1  92,6  55,9	Flores abertas (%) seriadas em cada de Garago	Flores abertas (%) seriadas em cada florada  G1 G2 G3  9,5 71,1 27,8 1,1  83,1 54,1 33,8 11,3  92,6 55,9 33,1 10,1  6,5	

<sup>\*</sup> Gemas florais dormentes.

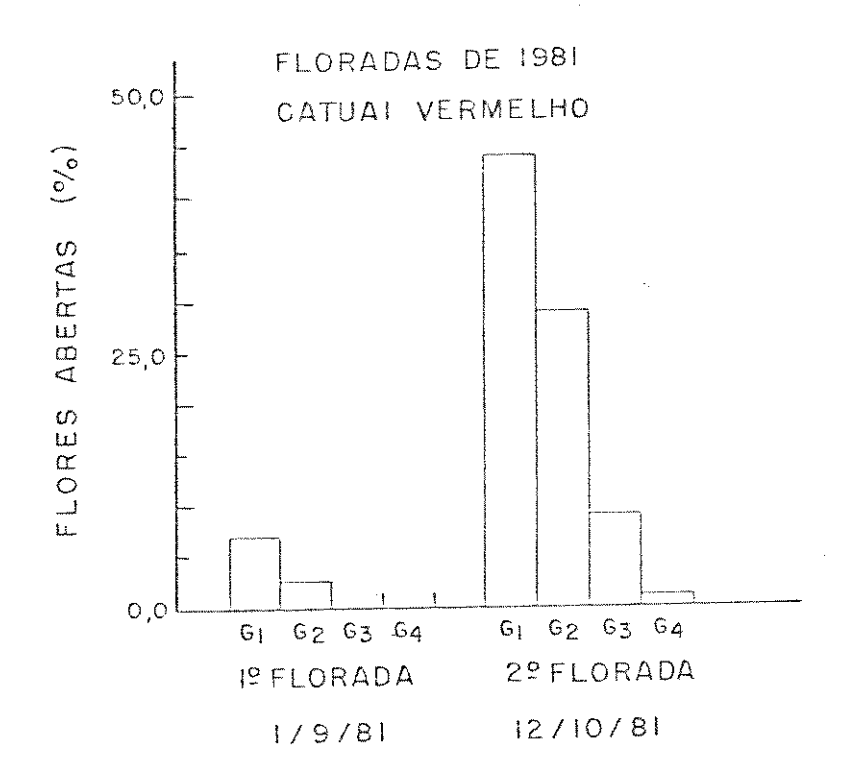


Figura 36 - Participação das gemas  $G_1$ ,  $G_2$ ,  $G_3$  e  $G_4$ , expressa em percentual, nas floradas dos cafeei ros do cultivar Catuai Vermelho, em 1981.

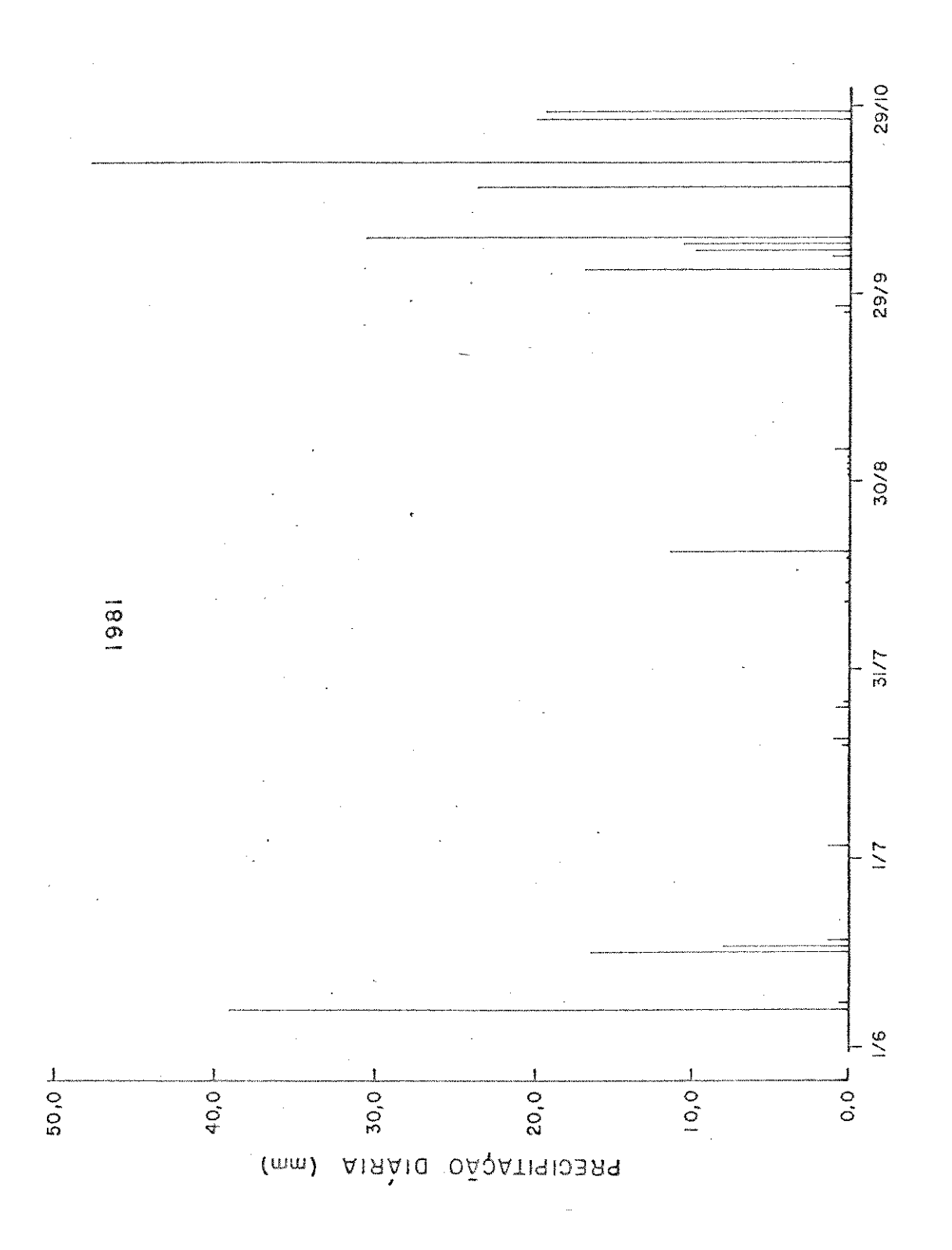


Figura 37 - Precipitação diária (mm) entre 1/6 e 30/10/81. Dados do Centro Experimental de Campinas (Seção de Climatologia)

#### 5.2.2. Cultivar Bourbon Amarelo

Nos cafeeiros do cultivar Bourbon Amarelo, localizados na Coleção de Germoplasma da Seção de Genética do IAC, registra ram-se três floradas em 1981 (Tabela 6). A 1ª florada (5/8/81) foi da ordem de 10,5%. As flores abertas pertenciam às gemas seriadas  $G_1$  (87,2%) e  $G_2$  (12,8; Figura 38). Na  $2^{\frac{3}{2}}$  florada (1/9/81), registrou-se a antese de 24,2% das gemas florais (chuvas de 19/8/81 - 11,8 mm; Figura 37). As flores distribuiram se entre as gemas  $G_1$  (72,7%) e  $G_2$  (23,7%). A  $3^{\frac{3}{2}}$  florada (12/10/81) representou a florada principal, pois houve abertura de 56,7% das gemas florais produzidas. Apesar das gemas  $G_1$  terem produzido o maior percentual de flores (47,5%), verificou-se um au mento da participação relativa das gemas  $G_2$  (40,4%). Isto por que a maior parte das flores abertas nas floradas anteriores pertenciam às gemas  $G_1$ . No decorrer das três floradas , 92,6% das flores foram produzidas pelas gemas  $G_1$  e  $G_2$ .

### 5.2.3. Florada principal em plantas dos cultivares Ca tuai Vermelho, Bourbon Amarelo, Arabica e Mun do Novo

A Tabela 7 caracteriza a <u>florada principal</u> de 1981 (12/10/81) em quatro cultivares de <u>Coffea arabica</u>: Catuai Verme lho, Arabica, Bourbon Amarelo e Mundo Novo. Deve-se ressaltar que os cafeeiros dos três primeiros cultivares citados, local<u>i</u> zavam-se no mesmo campo experimental e apresentavam excelente vigor vegetativo. As plantas do cv. Mundo Novo, por sua vez, en contravam-se em precarias condições vegetativas (Tabela 1). O

Tabela 6. Florescimento do cultivar Bourbon Amarelo em 1981.

Because of the control of the contro		Contribuição das gemas					
Florada	Flores abertas (%)		adas em ca <sup>G</sup> 2				
1ª (05/08/81)	10,5	87,2	12,8				
2ª (01/09/81)	24,2	72,7	27,3	aleno	Adapa		
3ª (12/10/81)	56,7	47,5	40,4	11,9	0,2		
Total	91,4	58,8	33,8	7,3	0,1		
Perdas	9,1						
Restante*	0,3						

<sup>\*</sup> Gemas florais dormentes.

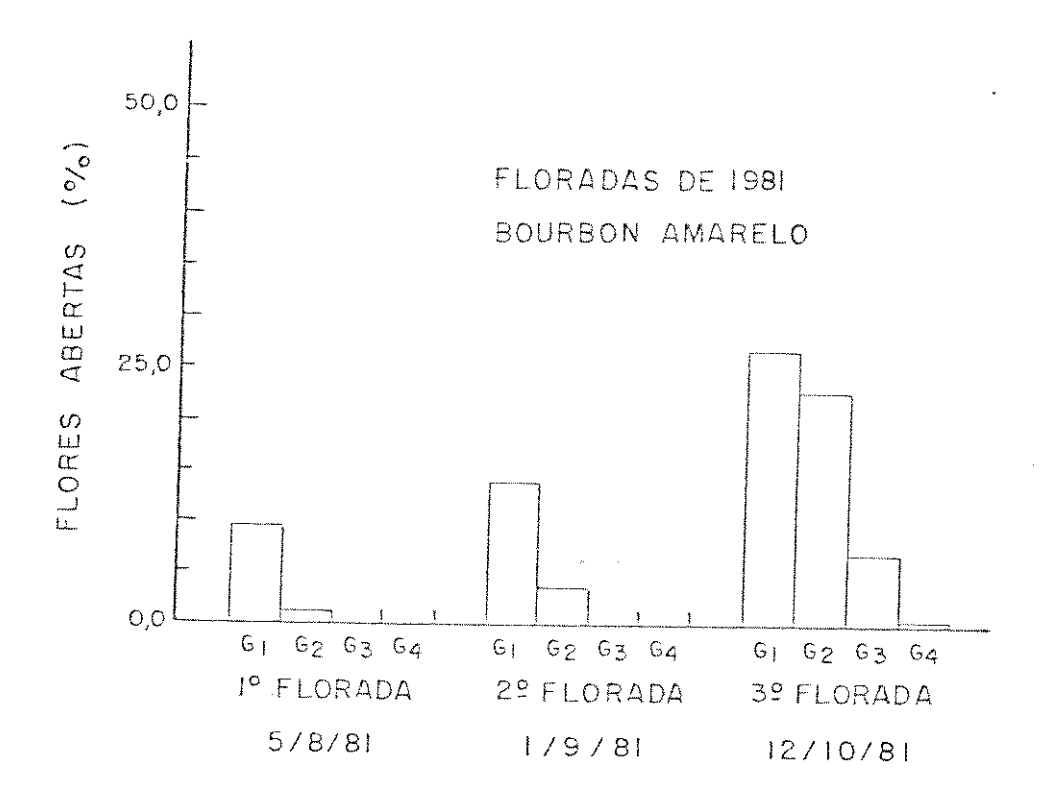


Figura 38 - Histogramas da participação (%) das gemas G<sub>1</sub>, G<sub>2</sub>, G<sub>3</sub> e G<sub>4</sub> nas floradas do cultivar Bourbon Amarelo registradas em 1981.

Tabela 7. Florada principal de 1981 em plantas de quatro cultivares de Coffea arabica.

Cultivar	Flores abertas (%)		-	das gema a florada G	errorit.	Flores
Catuai Vermelho*	73,3	50,7	34,4	13,1	1,8	1246
Bourbon Amarelo*	56,7	47,5	40,4	11,9	0,2	891
Nacional*	88,5	63,9	28,1	7,2	0,8	711
Mundo Novo**	56,4	62,1	31,4	6,2	0,2	768

<sup>\*</sup> Plantas da coleção da Seção de Genética.

<sup>\*\*</sup> Plantas de um ensaio de espaçamento da Seção de Café.

elevado percentual de "perdas" encontrado durante a florada principal, nas plantas de Mundo Novo (27,3%) pode ser atribuído ao baixo vigor vegetativo em 1981. Nos cafeeiros dos quatro cultivares, registrou-se a antese da maioria das gemas florais produzidas em 1981. Ficou evidenciada a importância das gemas  $G_1$  e  $G_2$  para a produção das flores nestes cultivares: Catuai Vermelho (85,1%); Bourbon Amarelo (87,9%); Arabica (92,0%) e Mundo Novo (93,5%).

5.3. Florescimento dos cultivares Catuai Vermelho e Bourbon Amarelo em 1982

#### 5.3.1. Cultivar Catuai Vermelho

Em 1982, foram observadas quatro floradas entre os me ses de agosto e outubro. As flores abertas no decorrer do mês de julho não definiram floradas porque ocorreram em restrito nú mero de plantas e em pequena quantidade. Os níveis de chuvas excepcionalmente elevados do mês de junho e a maior umidade do mês de julho, em relação aos anos anteriores, causaram as ante ses esporádicas durante o mês de julho (Figuras 34, 37 e 39).

As plantas de Catuai Vermelho de <u>8 anos de idade</u>, na <u>ēpoca da 1ª florada</u> (22/8/82), apresentavam 0,6% de chumbinhos e 6,1% de flores abertas (Tabela 8 e Figura 40). Esta florada foi promovida pelas chuvas de 11/8/82 (11,1 mm; Figura 39). Na <u>2ª florada</u> (29/8/82) registrou-se a antese de 11,0% do total de gemas florais. A 2ª florada foi atribuída à precipitação ocor

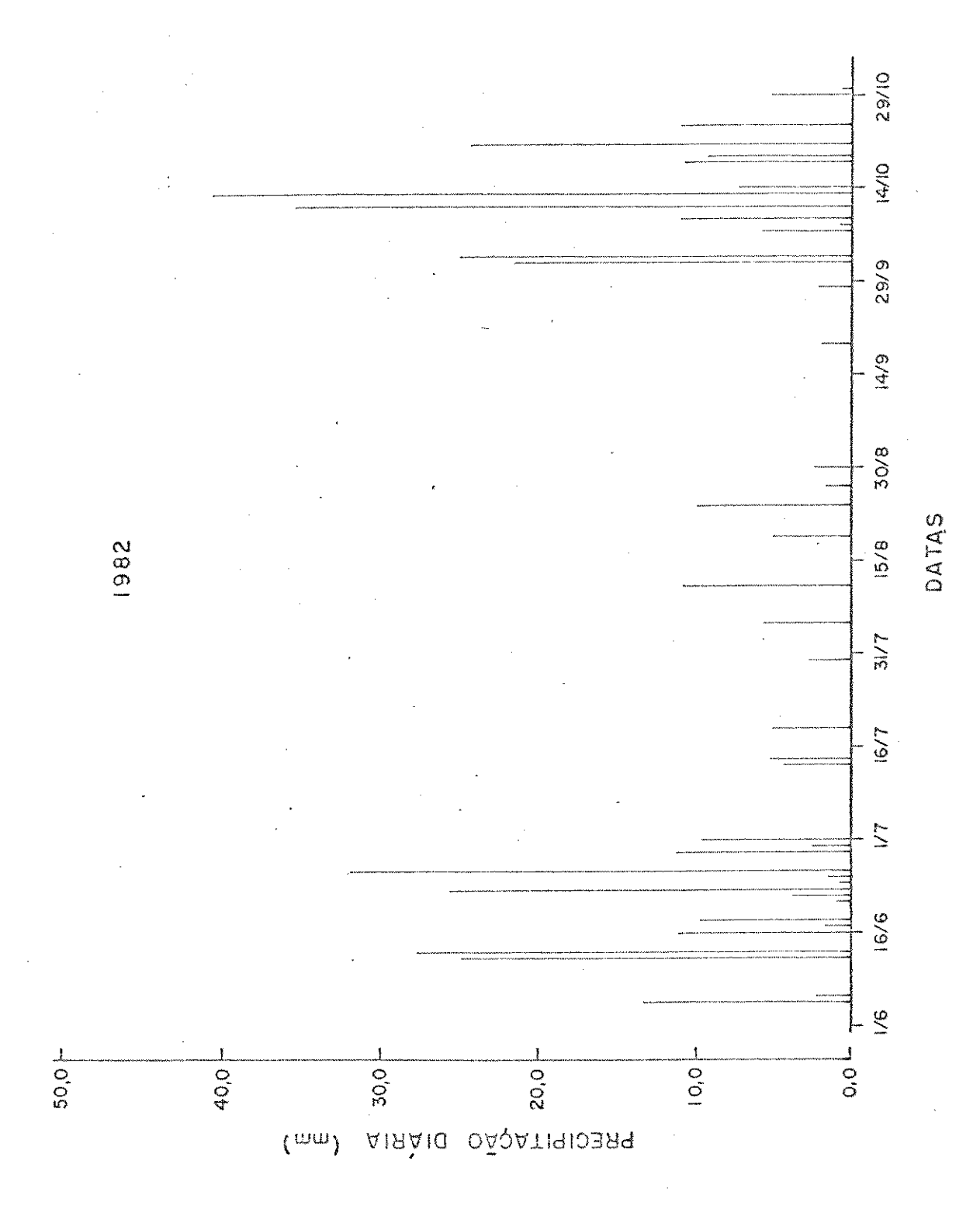


Figura 39 - Precipitação diária (mm) entre 1/6 e 30/10/82. Dados do Centro Experimental de Campinas (Seção de Climatologia).

Tabela 8. Florescimento do cultivar Catuai Vermelho (8 anos de idade) em 1982.

Floradas	Flores abertas (%)	Contribuição das gemas seriadas em cada florada					
		G <sub>1</sub>	G <sub>2</sub>	G <sub>3</sub>	G <sub>4</sub>	G <sub>5</sub>	
1 <sup>a</sup> (22/08/82)	6,1	61,0	39,0	<b></b> .	NAMES.	. WHAS	
2ª (29/08/82)	11,0	77,3	20,9	1,8	13949	*******	
3 <sup>a</sup> (29/09/82)	16,7	43,7	39,5	14,4	2,4	~	
4 <mark>a</mark> (10/10/82)	47,1	44,0	29,7	20,0	5,9	0,4	
Total	80,9	49,7	31,3	14,8	4,0	0,2	
Perdas	13,0						
Restante*	6,1						

<sup>\*</sup> Gemas florais dormentes.

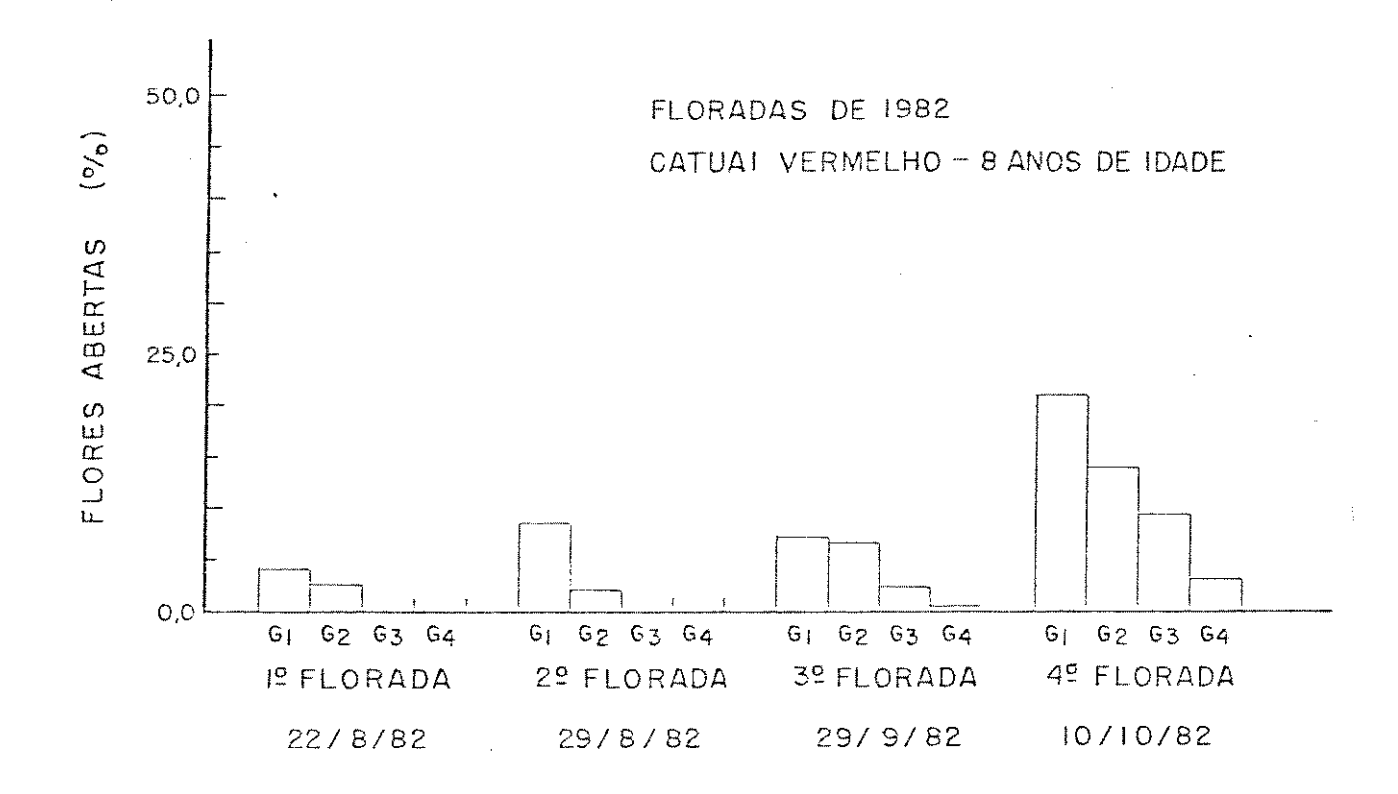


Figura 40 - Participação das gemas seriadas  $G_1$ ,  $G_2$ ,  $G_3$  e  $G_4$  nas floradas de plantas do cultivar Catuai Vermelho (8 anos de idade) em 1982.

rida em 19/8/82 (5,1 mm). As gemas  $G_1$  tiveram participação majoritária em ambas as floradas (61% - 19 florada e 77,3% - 29 florada). A 39 florada (29/9/82) deu-se em consequência das chuvas do dia 19/9/82 (2,0 mm), tendo atingido uma contribuição percentual de 16,7%. A 49 florada (10/10/82) representou a florada principal de 1982 devido ao elevado percentual de flores abertas (47,1%). As gemas  $G_1$  e  $G_2$  foram responsáveis pela formação de 73,7% das flores da florada principal. Considerandoseas quatro floradas, as gemas  $G_1$  e  $G_2$  contribuiram para a produção de 81% das flores. As precipitações de 2/10 e 3/10 (47 mm) foram responsáveis pela 49 florada (Figura 39).

Vermelho também foram avaliados no período de florescimento de 1982. Na época da 1ª florada (22/8/82) existiam 3,9% de chumbinhos. A contribuição percentual da 1ª florada foi de 14,1% (Tabela 9 e Figura 41). Na 2ª florada (29/8/82) houve abertura de 11,1% dos botões florais, tendo-se destacada o elevado percentual de flores das gemas  $G_3$  (14,4%). A 3ª florada (29/9/82) a presentou uma pequena quantidade de flores (4,4%). A florada seguinte constitui-se na florada principal (10/10/82), tendo uma contribuição percentual de 49,6%. A contribuição relativa das gemas  $G_1$  e  $G_2$  foi de 79,0% das flores abertas no decorrer das quatro floradas de 1982.

#### 5.3.2. Cultivar Bourbon Amarelo

Durante a 1ª florada (22/8/82), os ramos de Bourbon Amarelo apresentaram ântese em 20,2% do total de botões florais

Tabela 9. Florescimento do cultivar Catuai Vermelho (4 anos de idade) em 1982.

Floradas		Contribuição das gemas				
	Flores abertas (%)	seriadas em cada florada (%)				
		G <sub>1</sub>	G <sub>2</sub>	G <sub>3</sub>	G <sub>4</sub>	
1ª (22/08/82)	14,1	68,8	28,4	2,8		
2ª (29/08/82)	11,1	59,5	26,1	14,4	-	
3ª (29/09/82)	4,4	45,4	36,4	15,9	2,2	
4ª (10/10/82)	49,6	40,0	32,0	20,3	7,7	
			oran er e <u>annalaudad de de er er e</u> n de de de er			
Total	79,2	48,1	30,8	16,2	4,9	
Perdas	15,3			•		
Restante*	5,5					

<sup>\*</sup> Gemas florais dormentes.

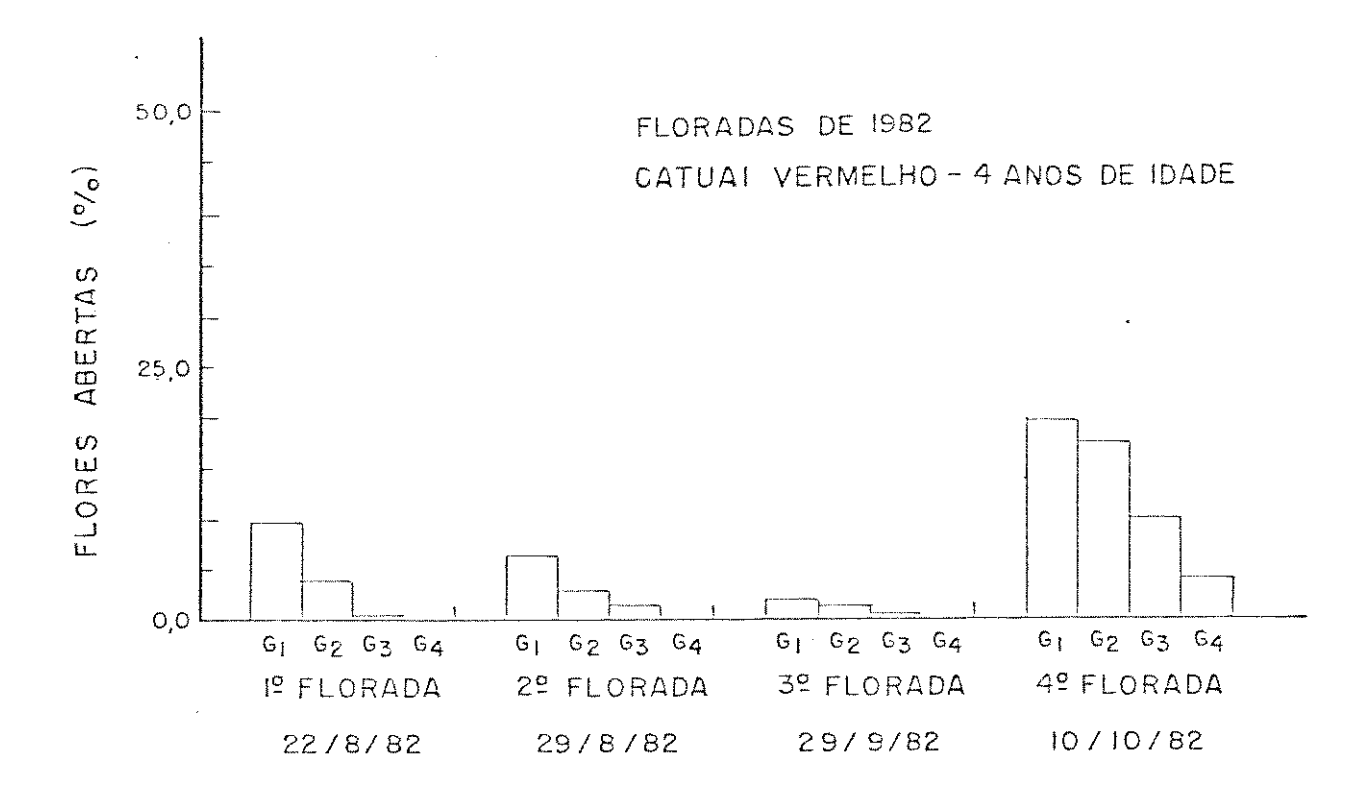


Figura 41 - Histogramas da distribuição das flores abertas entre as gemas seriadas  $G_1$ ,  $G_2$ ,  $G_3$  e  $G_4$  durante as flores abertas de 1982, em plantas do cultivar Catuai Vermelho de 4 anos de idade.

presentes (Tabela 10 e Figura 42). Na época, existia um percentual de chumbinhos equivalente a 1,5%. A  $\frac{2?}{6}$  florada (29/8/82) teve uma contribuição percentual de 9.6%. Na  $\frac{3?}{6}$  e  $\frac{4?}{6}$  floradas houve antese de respectivamente 28,0% e 23,7% dos botões florais. Não distinguiu-se, portanto, uma florada principal nas plantas de Bourbon Amarelo neste ano de 1982. A abertura de flores distribuiu-se indistintamente entre 22/8 e 10/10/82 (Tabela 10 e Figura 42). Cerca de 78,0% das flores abertas, no período de florescimento (22/8 a 10/10/82) pertenciam às gemas  $G_1$  e  $G_2$ .

## 6. MATURAÇÃO DOS FRUTOS DE COFFEA ARABICA EM 1981, 1982 e 1983

#### 6.1. Cultivar Catuai Vermelho

# 6.1.1. <u>Maturação dos frutos das quatro floradas de</u> 1980

O critério utilizado para se considerar maduros os frutos de uma florada foi a presença de 80% de frutos maduros: vermelho-escuros (Figura 3) ou amarelo-intenso (Figura 4).

A Figura 43 apresenta as curvas de maturação dos fru tos originados nas quatro floradas de 1980. Os frutos da 1ª e 2ª floradas (24/8 e 3/9/80, respectivamente) al cançaram a maturidade aos 220 dias apos a abertura das flores :

Tabela 10. Florescimento do cultivar Bourbon Amarelo (8 anos de idade) em 1982.

	Contribuição das gemas					
Flores abertas (%)	seria	seriadas em cada florada (%)				
	$G_{1}$	G <sub>2</sub>	G <sub>3</sub>	G <sub>4</sub>		
20,2	55,4	37,6	7,0	<del></del>		
9,6	56,3	31,2	12,5	<del>-</del>		
28,0	40,9	35,5	21,5	2,1		
23,7	37,5	25,3	30,0	7,2		
	Tradesina (Panga) a asal firebasa (Panasa Asal a Asal Panasa Asal Asal Asal Asal Asal Asal Asal A			And the second s		
81,5	45,4	32,5	19,3	2,8		
15,1						
3,4						
	20,2 9,6 28,0 23,7 81,5	Flores abertas (%) seriac G <sub>1</sub> 20,2 55,4  9,6 56,3  28,0 40,9  23,7 37,5	Flores abertas (%) seriadas em car G <sub>1</sub> G <sub>2</sub> 20,2 55,4 37,6  9,6 56,3 31,2  28,0 40,9 35,5  23,7 37,5 25,3  81,5 45,4 32,5	Flores abertas (%) seriadas em cada floradores (%) seriadas em cada floradores (%) (%) (%) (%) (%) (%) (%) (%) (%) (%)		

<sup>\*</sup> Gemas florais dormentes.

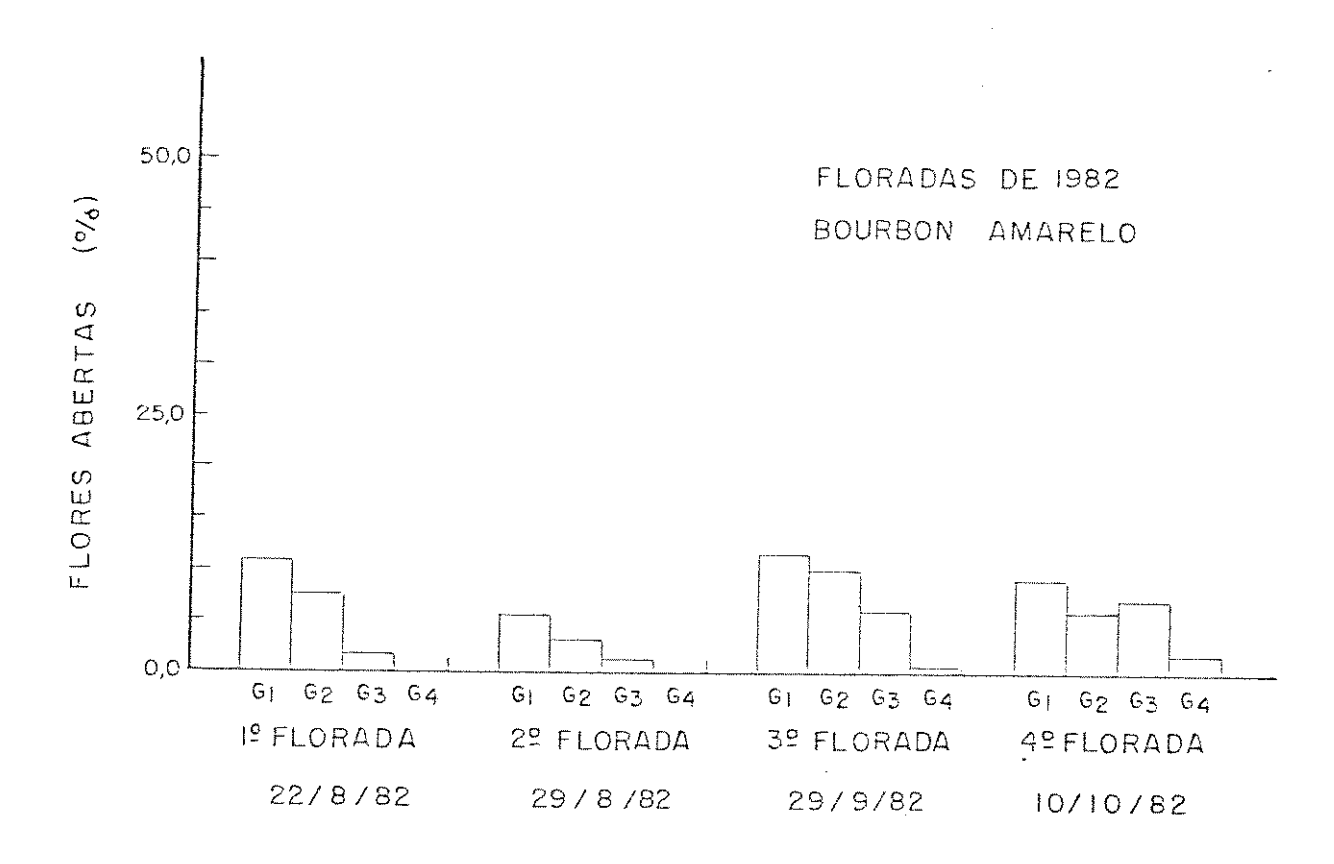


Figura 42 - Participação das gemas seriadas  $G_1$ ,  $G_2$ ,  $G_3$  e  $G_4$  nas floradas de 1982, em cafeeiros do cultivas Bourbon A marelo (8 anos de idade).

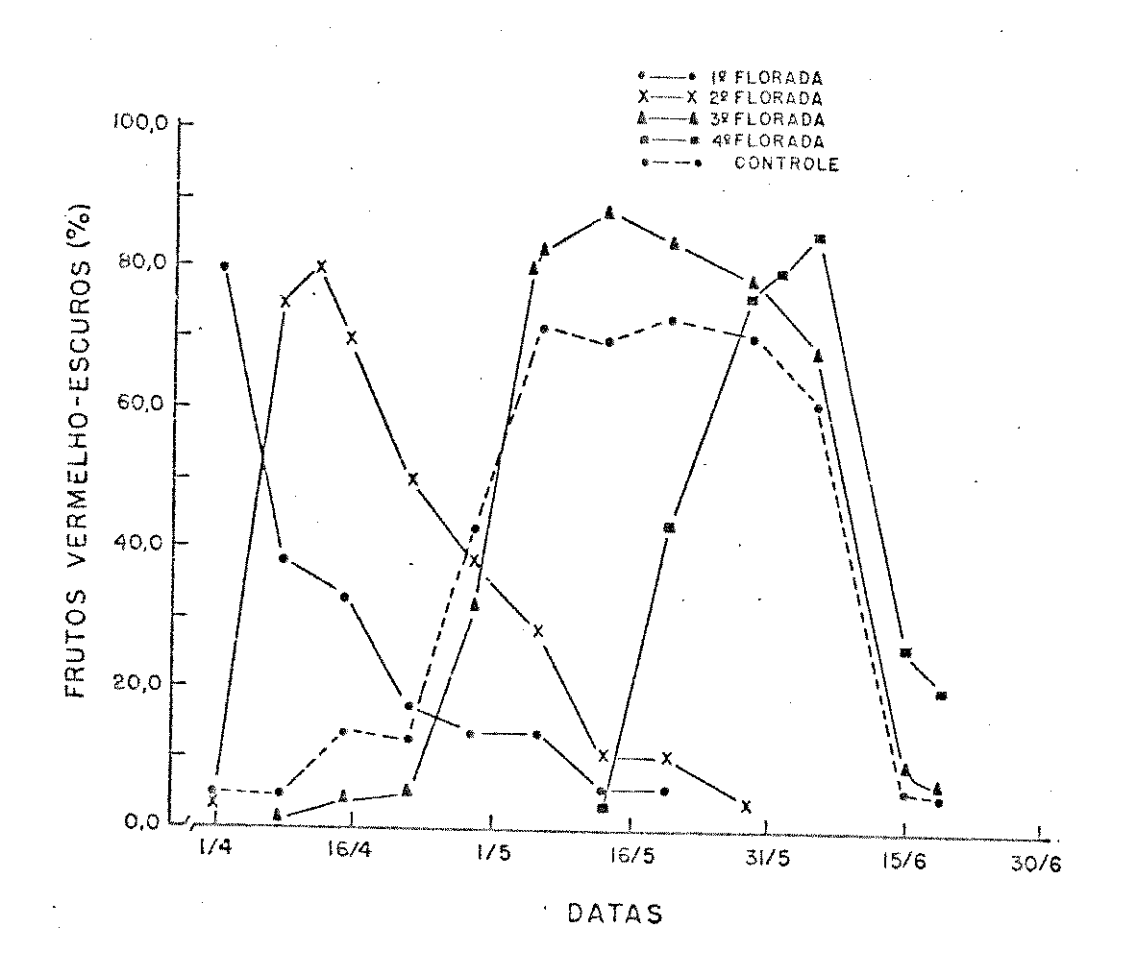


Figura 43 - Curvas de maturação, em percentagem de frutos vermelho-escuros, em Colóca anabica cv. Catuai Vermelho, originados nas 4 floradas de 1980 (período 1/4 a 19/6/81).

a 19 florada amadureceu em 1/4/81 e a 29 florada em 11/4/81. Os ramos da 39 florada (1/10/80 - florada principal) apresentaram 80% de frutos vermelho-escuros aos 217 días. A maturação dos frutos da 49 florada (19/10/80) deu-se, aproximadamente, 225 días apos a antese, em 1/6/81. A evolução dos valores percentuais de frutos vermelho-escuros dos ramos controle acompanhou as ten dências dos ramos da florada principal.

# 6.1.2. <u>Maturação dos frutos da florada principal</u> de 1980, 1981 e 1982

Curvas de maturação de frutos do cultivar Catuai Ver melho, originados nas floradas principais de três anos consecu tivos (1/10/80, 12/10/81 e 10/10/82) são mostradas na Figura 44. Os valores percentuais de frutos maduros aumentaram rapidamente a partir do final de abril de 1981 e 1982 (22/4/81 e 27/4/82), respectivamente 203 dias e 197 dias após a antese. Nota-se que, em 1982, a maturação dos frutos ocorreu mais lentamente. Em 1983, o surgimento de frutos maduros acelerou-se a partir de 12/5/83, ou seja, transcorridos 214 dias após a antese. As curvas de ma turação dos cafeeiros de 9 anos e 5 anos de idade apresentaram tendências semelhantes nas mesmas épocas. Os valores máximos de maturação registrados em 1983 foram inferiores a 80% de frutos maduros. O padrão de maturação dos ramos controle foi semelhan te ao padrão dos ramos contendo frutos das floradas principais de 1980, 1981 e 1982 (Figuras 44, 45.a, 45.b). A única exces são foi observada nas plantas de 9 anos de idade avaliadas 1983. Neste caso, os percentuais de frutos maduros dos ramos con trole superaram os valores dos ramos da florada principal (Figu ra 45.b).

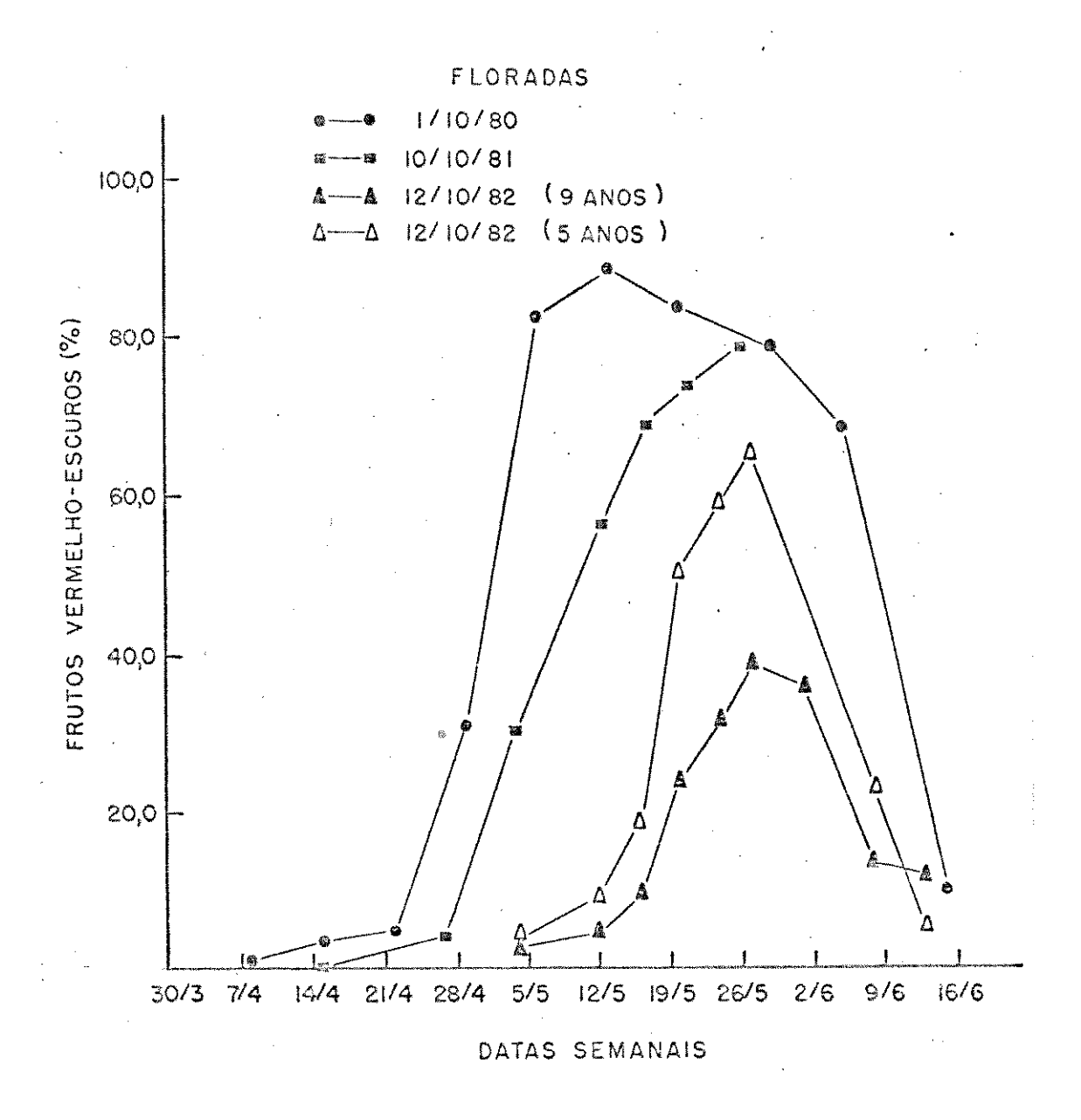
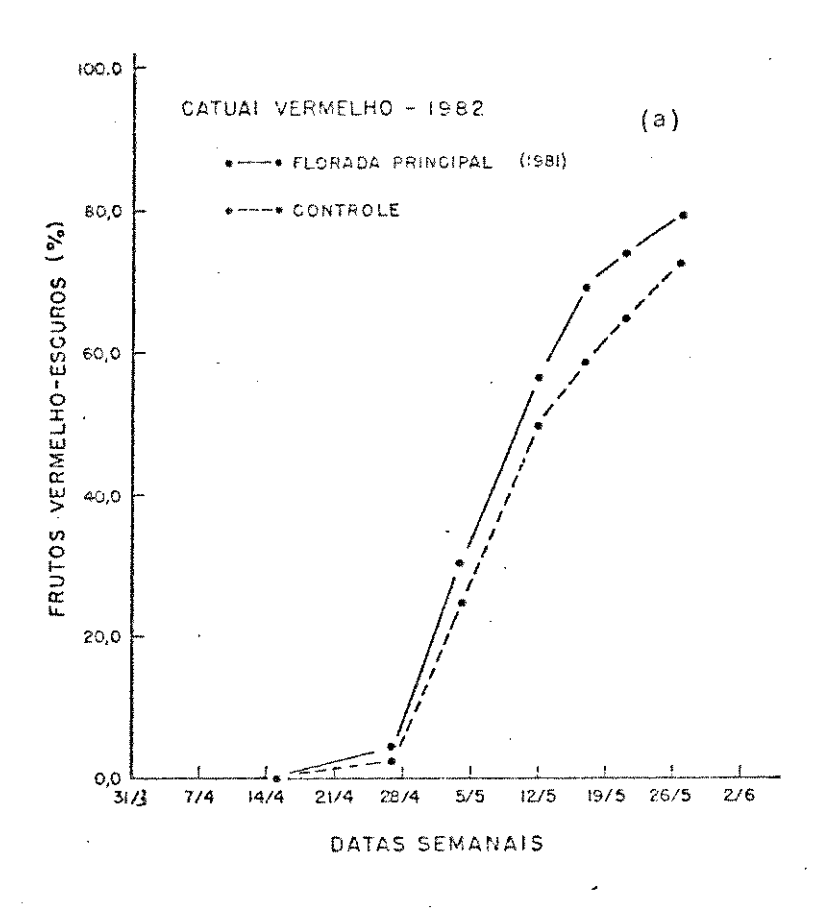


Figura 44 - Curvas de maturação, em percentagem de fru tos vermelho-escuros, provenientes das <u>floradas prin</u> <u>cipais</u> de 1980, 1981 e 1982, em cafeeiros do cult<u>i</u> var Catuai Vermelho.



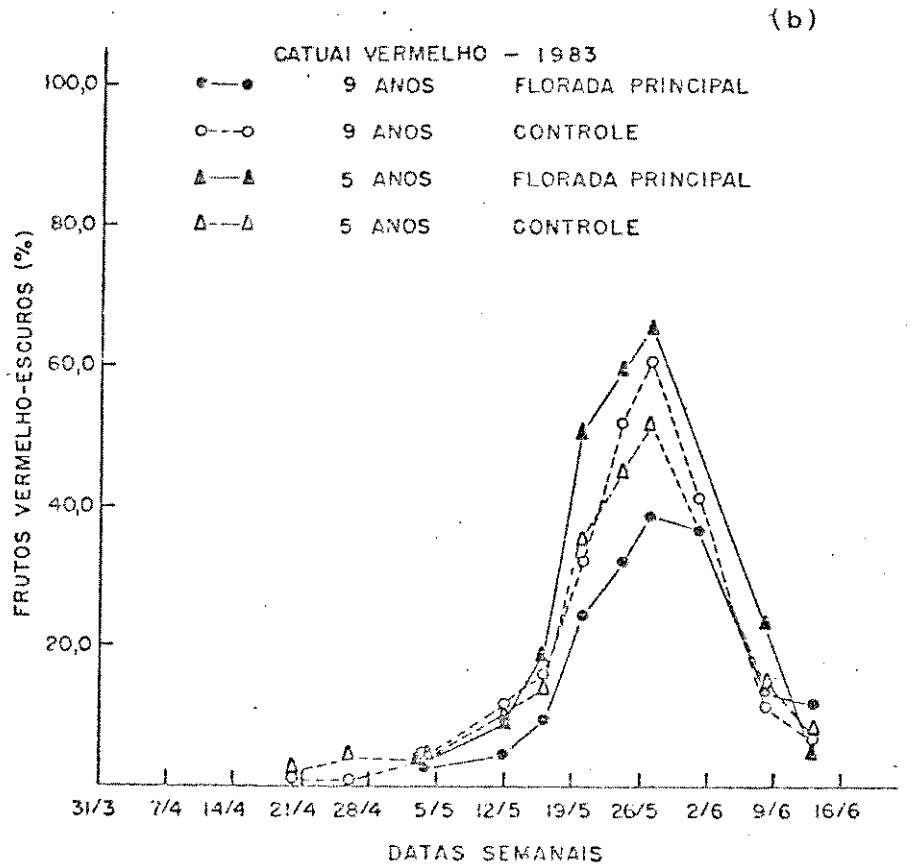


Figura 45 - Curvas de maturação, em percentagem de frutos verme lho-escuros, dos ramos controle e de floradas principais de cafeeiros do cv. Catuai Vermelho. 45a. Resultados obtidos no período de maturação de 31/3 a 27/5/82. 45b. Resultados obtidos no período de maturação de 31/3 a 16/6/83.

Tendo-se como base a evolução dos valores percentuais, estimou-se o número de dias necessários para que os frutos do cultivar Catuai Vermelho atingissem a maturidade (80% dos fru tos vermelho-escuros), encontrando-se 217 dias (6/5/81) e 227 dias (27/5/82) para as floradas principais de 1980 e 1981, Es timou-se que os cafeeiros de 9 anos e 5 anos de idade, estudados em 1983, apresentariam 80% de frutos vermelho-escuros aos 247 dias (14/6/83) e 236 dias (3/6/83) após a antese, respectivamen te. Na Tabela 11 estão contidos os resultados da aplicação do método da regressão linear aos dados de maturação. Pela estima tiva linear, obtiveram-se números de dias para a maturação to semelhantes aos que haviam sido calculados anteriormente.

6.2. Maturação dos frutos da florada principal de 1981 nos cultivares Arabica, Bourbon Amarelo e Mundo Novo

Nestes três cultivares, a rápida formação de vermelho-escuros ocorreu a partir de 15/4/82, ou seja, 185 dias após a ântese (Figura 46). O cultivar Arabica foi o primeiro a atingir a maturidade, tendo apresentado 80% de frutos Tho-escuros 208 dias após a florada principal (8/5/82). 0 avan ço inicial da maturação de Bourbon Amarelo foi superado pelo Mundo Novo após 27/4/82. O cultivar Mundo Novo atingiu a matu ridade 212 dias após antese e o Bourbon Amarelo amadureceu 221 dias. Os ramos controle seguiram o padrão dos ramos da flo rada principal (Figura 47). As estimativas lineares do número de dias necessários para a maturação dos frutos dos quatro tivares, em 1982, são apresentadas na Tabela 12. Os resultados obtidos coincidem com os valores percentuais calculados direta

Tabela 11. Estimativas do número de dias para a maturação dos frutos originados nas floradas principais do cultivar Catuai Vermelho, obtidas através de análise de regressão.

Ano	Estimativa linear (nº dias*)	Coeficiente de correlação	Equação da reta
1981	222	0,92	2,87x - 557,53
1982	223	0,98	2,65x - 510,53
1983 (a)	255	0,94	1,71x - 355,17
. 1983 (Ъ)	234	0,95	3,06x - 635,42

<sup>(</sup>a) Cafeeiros de 9 anos de idade.

<sup>(</sup>b) Cafeeiros de 5 anos de idade.

<sup>(\*)</sup> Nº dias para atingir 80% de frutos vermelho-escuros.

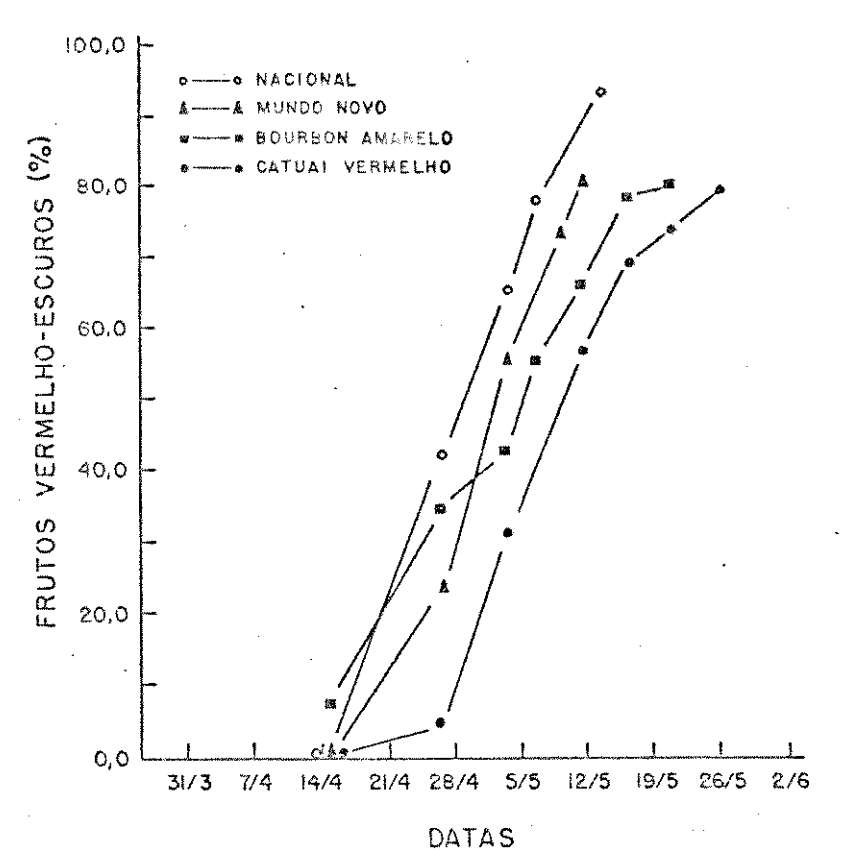


Figura 46 - Curvas representativas da maturação (% de frutos maduros) de frutos formados na <u>florada principal</u> de 1981 em cafeeiros dos cultivares Catuai Vermelho, Mundo Novo, Bourbon Amarelo e Arābica.

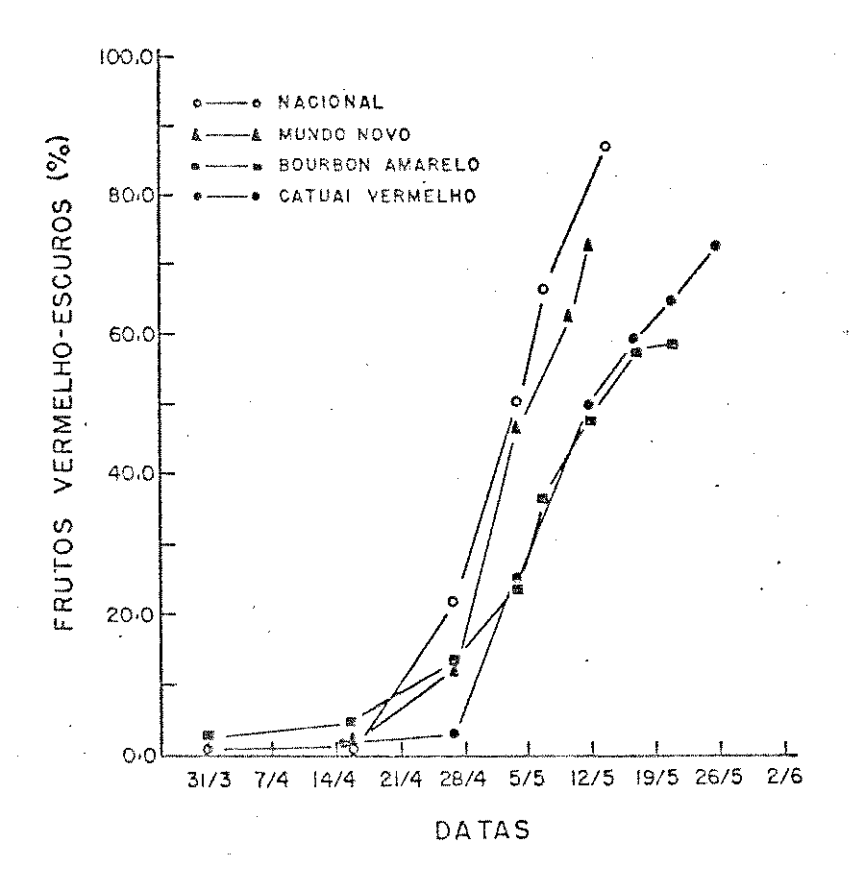


Figura 47 - Curvas de maturação (% de frutos maduros) dos ramos controle marcados na <u>florada principal</u> de 1981 em plantas per tencentes aos cultivares Catuai Vermelho, Mundo Novo, Bourbon Amarelo e Arábica.

Tabela 12. Estimativas do número de dias para a maturação dos frutos originados na florada principal de 1981, em cafeeiros dos cultiva
res Arabica, Mundo Novo, Bourbon Vermelho e Catuai Vermelho.

Cultivares	Estimativa linear (nº dias*)	Coeficiente de correlação	Equação da reta
Arabica	209	0,99	3,24x - 596,91
Mundo Novo	212	0,99	3,76x - 716,35
Bourbon Amarelo	219	0,99	2,23x - 406,32
Catuai Vermelho	223	0,98	2,65x - 510,53

<sup>\*</sup> Nº de dias para atingir 80% de frutos vermelho-escuros.

mente a partir dos dados de campo.

# 7. EFEITO DE FITORREGULADORES EXÓGENOS SOBRE AS GEMAS REPRODUTIVAS DE COFFEA ARABICA L. cv. CATUAI VERMELHO

#### 7.1. Experimentos de 1981

# 7.1.a. <u>Época I (14/7, 22/7 e 28/7/81)</u>

A Figura 48 e a Tabela 13 apresentam os dados sobre a antese de botões florais nos ramos pulverizados na época I. As floradas observadas em 29/7/81 e em 5/8/81 foram associadas ao rapido aumento da umidade relativa de ar entre 15 e 20/7/81 (de 57% para 71%) e as pequenas precipitações dos dias 19 e 20/7 (2,5 mm; Figuras 37). O tratamento GA-I estimulou a antese de uma quantidade de flores significativamente superior à do con trole (P < 0.05). Em 21/8/81 registraram-se flores apenas nos ramos tratados com reguladores de crescimento. Apesar do peque no percentual de flores, este fato é importante porque sugere a existência de um efeito residual dos fitorreguladores aplicados. Deve-se mencionar que houve uma brusca elevação na umidade rela tiva do ar entre 8/8 e 10/8/81 (de 53,2% para 82,9%) e uma cipitação da ordem 0,7 mm em 11/8/81. Na florada de 30/8/81,os ramos submetidos aos tratamentos GA-I e GN-I apresentaram a а bertura de maior número de flores do que o controle, mas as ferenças não foram significativas. Na florada principal (12/10/

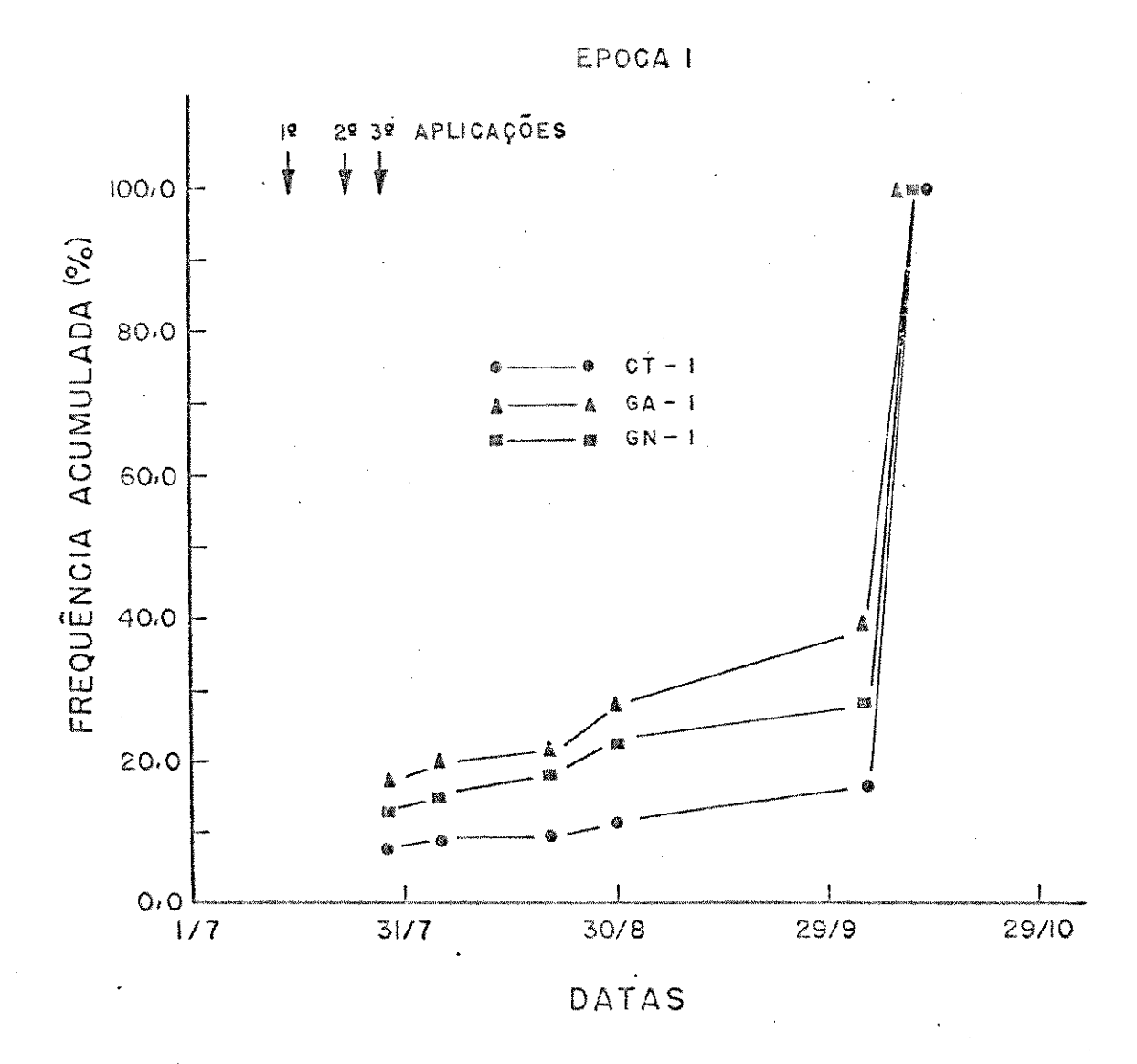


Figura 48 - Frequências acumuladas de flores abertas, em Catuai Vermelho, entre 29/7 e 12/10/81, nos ramos pul verizados com fitorreguladores na época I (14, 22 e 28/7/81). CT-I - controle; GA-I - giberelinas A $_4$  e A $_7$  (GA $_4$ - $_7$ ); GN-I - GA $_4$ - $_7$  + ácido  $\alpha$  naftaleno acético (NAA).

Tabela 13. Número de flores e percentuais do número total de flores abertas em 1981 nos ramos tratados com fitorreguladores na época I (14, 22 e 28/07/81).

Datas	C'.	r-I <sup>(a)</sup>	A Production of the Control of the C	GA-I <sup>(b)</sup>		GN-I(c)
WWW.	(N6)	(%)	(N 9)	(%)	(N Q)	(%)
29/7	40	7,5	135	17,1*	94	12,9ns
5/8	8	1,5	19	2,4	15	2,0
21/8	~		15	1,9	23	3,1
30/8	10	1,9	50	6,3 <sub>ns</sub>	38	5,2ns
5/10	29	5,4	84	10,7	33	4,5
12/10	447	83,7	485	61,6**	527	72,2**
Total	534	100,0	788	100,0	730	100,0

<sup>\*</sup> Diferença significativa ao nível de 5% em relação ao controle.

<sup>\*\*</sup> Diferença significativa ao nível de 1% em relação ao controle.

ns Diferença não significativa em relação ao controle.

<sup>(</sup>a) Controle da época I.

<sup>(</sup>b) Giberelinas  $A_4$  e  $A_7$  ( $GA_{4-7}$ ).

<sup>(</sup>c) Giberelinas  $A_4$  e  $A_7$  + acido  $\alpha$  naftaleno acetico (NAA).

81), o percental de flores abertas nos ramos tratados foi significativamente menor do que o percentual de flores do controle (Tabela 13; P < 0,001).

A Tabela 14 mostra que em 30/8/81 havia major percentual de flores e chumbinhos em ambos os tratamentos. Entretanto, apenas o  $GA_{4-7}$ , aplicado isoladamente, produziu um aumento significativo do número de flores abertas até aquela data (21,8%).

Os resultados da avaliação realizada durante a florada principal de 1981 (12/10/81) estão contidos na Tabela 15. Podese verificar que no tratamento GN-I, o percentual de gemas florais dormentes foi inferior ao do controle (p < 0,001). Ambos os tratamentos induziram a abertura de maior número de flores antes da florada principal (p < 0,05; GA-I - 15,3% e GN-I - 15,0% de chumbinhos). Apesar disso, não houve modificações significativas na proporção de flores dos ramos tratados com GA4-7 e NAA. Isto porque quase todas as gemas florais existentes nos ramos GN-I foram estimuladas a abrir na florada principal, provocando um efeito compensatório. O tratamento GN-I aumentou significativamente o percentual de flores anormais ("estrelinhas", p < 0,05).

Os tratamentos da época I não alteraram a abscisão de flores entre 30/8 e 12/10/81 (Tabela 16).

Os efeitos destes tratamentos sobre os frutos de café foram avaliados em 5/4/82 (Tabela 17). Observou-se redução no pegamento de frutos apenas no tratamento GA-I (P < 0,05).

Tabela 14. Percentuais de flores e chumbinhos registrados na avaliação de 30/08/81 nos ramos da época I (14, 22 e 28/07/81).

Tratamentos	F + CH (%)	Total (nº)	
CT-I(a)	11,0	534	
GA-I(b)	21,8*	1001	
GN-I (c)	19,0ns	902	

F - flores

#### CH - chumbinhos

- \* Diferença significativa ao nível de 5% em relação ao controle.
- ns Diferença não significativa em relação ao controle.
- (a) Controle.
- (b) Giberelinas  $A_4$  e  $A_7$  ( $GA_{4-7}$ ).
- (c) Giberelinas  $A_4$  e  $A_7$  + ácido  $\alpha$  naftaleno acético (NAA).

Tabela 15. Número e percentual de estruturas florais durante a florada principal de 1981 (12/10/81) nos ramos tratados na época I (14, 22 e 28/07/81).

Trata mentos	Gemas florais.	Flores	Chumbinhos (%)	Anormalidades (%)	Total
CT-I(a)	15,3	60,3	6,5	17,9	789
GA-I (P)	12,6ns	48,8 <sup>*</sup>	15,3*	23,3 <i>ns</i>	1116
GN-I (c)	3 <b>,</b> 8**	53,8ns	15,0*	27,3*	1038

<sup>\*</sup> Diferença significativa ao nível de 5% em relação ao controle.

<sup>\*\*</sup> Diferença significativa ao nível de 1% em relação ao controle.

ns Diferença não significativa em relação ao controle.

<sup>(</sup>a) Controle I.

<sup>(</sup>b) Giberelinas  $A_4$  e  $A_7$  ( $GA_{4-7}$ ).

<sup>(</sup>c) Giberelinas  $A_4$  e  $A_7$  (GA $_{4-7}$ ) + acido  $\alpha$  naftaleno acetico (NAA).

Tabela 15. Número e percentual de estruturas florais durante a florada principal de 1981 (12/10/81) nos ramos tratados na época I (14, 22 e 28/07/81).

Trat <u>a</u> mentos	Gemas florais. (%)	Flores	Chumbinhos (%)	Anormalidades (%)	Total
CT-I(a)	15,3	60,3	6,5	17,9	789
GA-I (b)	12,6ns	48,8*	15,3*	23,3 <i>ns</i>	1116
<sub>GN-I</sub> (c)	3 <b>,</b> 8**	53,8ns	15,0*	27,3*	1038

<sup>\*</sup> Diferença significativa ao nivel de 5% em relação ao controle.

<sup>\*\*</sup> Diferença significativa ao nível de 1% em relação ao controle.

ns Diferença não significativa em relação ao controle.

<sup>(</sup>a) Controle I.

<sup>(</sup>b) Giberelinas  $A_4$  e  $A_7$  (GA<sub>4-7</sub>).

<sup>(</sup>c) Giberelinas  $A_4$  e  $A_7$  (GA<sub>4-7</sub>) + ácido  $\alpha$  naftaleno acético (NAA).

Tabela 16. Abscisão de flores entre 30/08 e 12/10/81 nos tratamentos da época I (14, 22 e 28/07/81).

Tratamentos	Nº flores até 30/08	Nº chumbinhos em 12/10	Abscisão (%)
CT-I(a)	58	51	12,1
GA-I(b)	219	178	18,7 <i>ns</i>
GN-I(c)	170	156	8,2 <i>ns</i>
GN-T.	170	1 2 0	٥,

ns - Diferença não significativa em relação ao controle.

- (a) Controle.
- (b) Giberelinas  $A_4$  e  $A_7$  ( $GA_{4-7}$ ).
- (c) Giberelinas  $A_4$  e  $A_7$  ( $GA_{4-7}$ ) + acido  $\alpha$  naftaleno acético (NAA).

Tabela 17. Pegamento de frutos nos tratamentos da época I (14, 22 e 28/07/81) na avaliação realizada em 05/04/82.

Tratamentos	Frutos retidos até 05/04/82	Nº total frutos
CT-I (a)	65,8	376
GA-I(b)	53,6*	431
GN-I(c)	61,9 <i>ns</i>	449

<sup>\*</sup> Diferença significativa ao nível de 5% em relação ao controle.  $\eta s$  Diferença não significativa em relação ao controle.

<sup>(</sup>a) Controle.

<sup>(</sup>b) Giberelinas  $A_4$  e  $A_7$  ( $GA_{4-7}$ ).

<sup>(</sup>c) Giberelinas  $A_4$  e  $A_7$  + ácido  $\alpha$  naftaleno acético (NAA).

O número total de estruturas reprodutivas presentes nos ramos controle, em 30/8/81 (CT-I, 534) foi significativamen te inferior ao dos ramos submetidos ao fitorreguladores (Tabela 18 A; GA-I, 1038 e GN-I, 914). Testando-se as diferenças entre as médias (teste de Student-Newman-Keuls, SOKAL & ROHLF, 1969), verificou-se que ambos os tratamentos superaram o controle quan to ao número total de estruturas florais produzidas. Entretan to, na florada principal (12/10/81), as diferenças entre os ramos controle e os ramos tratados desapareceram (Tabela 18 B).

## 7.1.b. Época II (20/8, 28/8 e 4/9/81)

Na Tabela 19 e na Figura 49 são encontrados os resultados das observações sobre a antese de botões florais dos ramos da época II. As flores de 30/8/81 foram promovidas pelas chu vas caídas em 20/8 (11,8 mm). Nesta florada, os ramos pulverizados com soluções de fitorreguladores não diferiram do controle. Algumas flores foram registrados nos tratamentos GA-II e GN-II em 5/9/81. O efeito estimulatório do  $GA_{4-7}$  expressou - se de forma acentuada em 10/9/81 (p < 0,001). O NAA parece ter interferido na ação do  $GA_{4-7}$ . As alterações na umidade relativa do ar entre 27/8 e 29/8/81 (de 43,0% para 63,0%) juntamente com pequena precipitação de 4/9/81 (2,6 mm), provavelmente contribuiram para a antese de 10/9/81.

Considerando-se as flores abertas até 10/9/81, verificou-se que os tratamentos GA-II e GN-II estimularam a antese precoce de botões florais (Tabela 20).

Tabela 18.A. Análise de variância do número médio de estruturas reprodutivas (a) nos tratamentos e controles da época I, avaliados em 30/08/81.

Fonte de				
variação	GL	SQ	QM	F
		•		
Tratamentos	2	13.773,1	6.886,5	4,1518*
Residuo	27	44.784,4	1.658,7	
Total	29	58.557,5		
		**************************************		

 $F_{0,05}$ ; (2; 27) = 3,35

<sup>(</sup>a) Inclui gemas florais, flores, chumbinhos e frutos.

Tabela 18.B. Análise de variância do número médio de estruturas reprodutivas (a) nos tratamentos e controles da época I, avaliados em 12/10/81.

Fonte de Variação	GL	SQ	QM	F
Tratamentos	2	5.833,8	2.916,9	1,2997ns
Residuo	27	60.922,9	2.256,4	
Total	29	66.756,7		

F = 0.05; (2.27) = 3.35

<sup>(</sup>a) Inclui gemas florais, flores, chumbinhos e frutos.ns Diferença não significativa em relação ao controle.

Tabela 19. Número de flores e percentuais do número total de flores abertas em 1981 nos ramos tratados com fitorreguladores na época II (20, 28/08 e 04/09/81).

Datas	Cl	-II <sup>(a)</sup>	G	A-II <sup>(b)</sup>	GN	-II <sup>(c)</sup>
	(nº)	(%)	(nº)	(%)	(n º)	(%)
30/08	34	5,2	36	5,0ns	93	12,0ns
05/09	0	0,0	16	2,2	23	3,0
10/09	19	2,9	147	20,2**	89	11,5*
05/10	8 4	12,8	148	20,3	23	3,0
12/10	517	79,0	380	52,3**	543	70,4ns
Total	654	100,0	727	100,0	771	100,0

<sup>\*</sup> Diferença significativa ao nível de 5% em relação ao contro le.

<sup>\*\*</sup> Diferença significativa ao nível de 1% em relação ao contr<u>o</u> le.

ns Diferença não significativa em relação ao controle.

<sup>(</sup>a) Controle da época II.

<sup>(</sup>b) Giberelinas  $A_4 \in A_7 (GA_{4-7})$ .

<sup>(</sup>c) Giberelinas  $A_4$  e  $A_7$  (GA $_{4-7}$ ) + acido  $\alpha$  naftaleno acético (NAA).

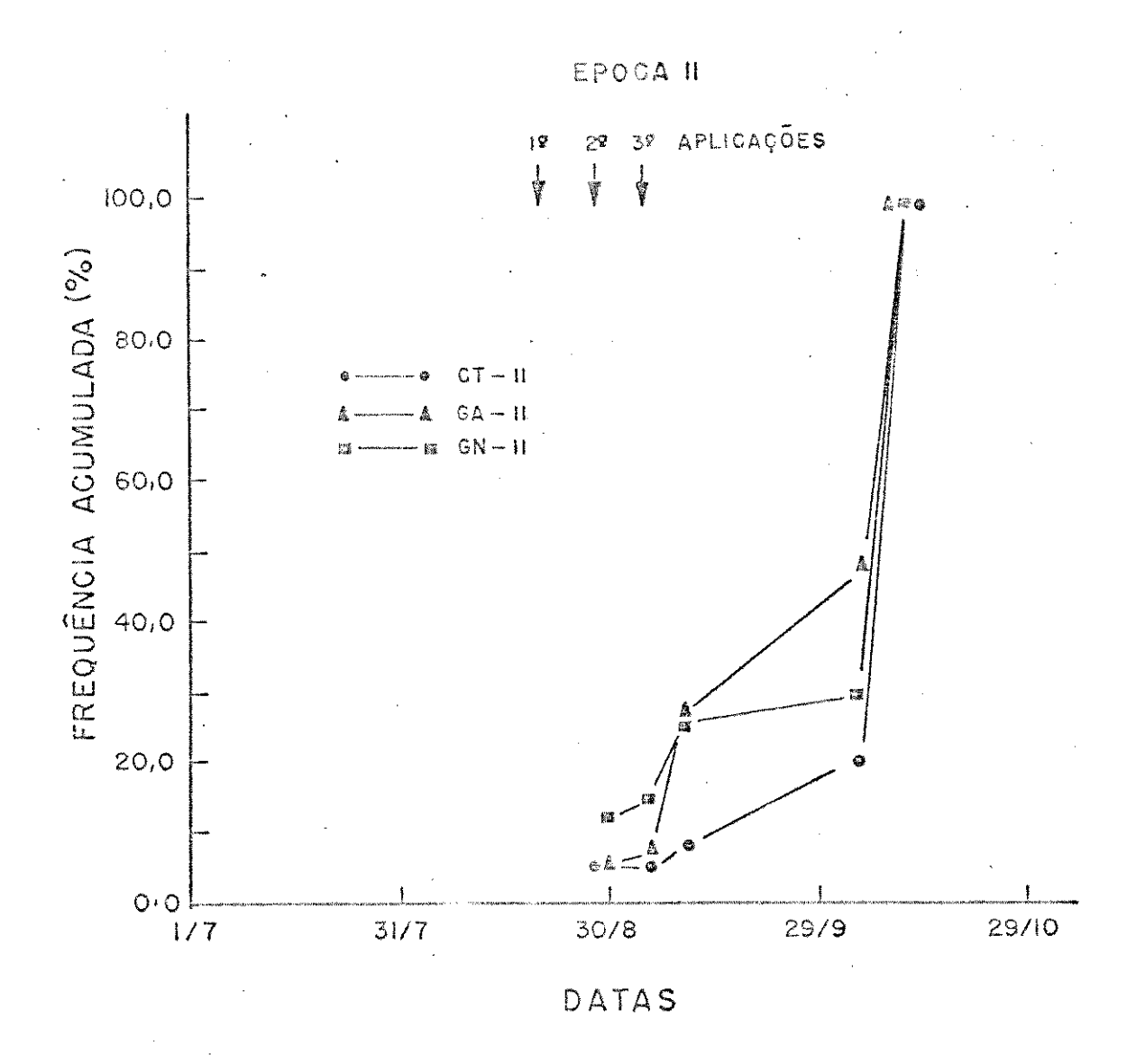


Figura 49 - Frequências acumuladas de flores abertas, em Catuai Vermelho, entre 30/8 e 12/10/81, nos ramos per tencentes aos tratamentos da época II (20 e 28/8; 4/9/81). CT-II - controle; GA-II - giberelinas  $A_4$  e  $A_7$  ( $GA_{4-7}$ ); GN-II -  $GA_{4-7}$  + ácido  $\alpha$  naftaleno acético (NAA).

Tabela 20. Percentual de flores abertas até 10/09/81 nos ramos tratados na época II (20, 28/08 e 04/09/81).

CONTRACTOR OF THE CONTRACTOR O	% Flores	Total	A A TOWN
Tratamentos	até 10/09/81	(nº)	
CT-II	8,1	654	
GA-II	27,3**	727	
GN-II	26,5**	771	

<sup>\*\*</sup> Diferença significativa ao nível de 1% em relação ao controle.

<sup>(</sup>a) Controle.

<sup>(</sup>b) Giberelinas  $A_4$  e  $A_7$  ( $GA_{4-7}$ ).

<sup>(</sup>c) Giberelinas  $A_4$  e  $A_7$  + ácido  $\alpha$  naftaleno acético (NAA).

A Tabela 21 apresenta os resultados da avaliação efetuada durante a florada principal (12/10/81). Da mesma forma que na época I, o tratamento que continha  $\mathrm{GA}_{4-7}$  e NAA reduziu, significativamente, o percentual de gemas florais remanescentes . Ambos os tratamentos contribuiram para o aumento de anormalida des florais, sendo que as estrelinhas foram as principais atrofias florais encontradas. O pequeno percentual de chumbinhos do tratamento  $\mathrm{GA-II}$  resultou da enorme abscisão das flores abertas até 10/9/81 (Tabela 22). O distúrbio foi menos pronunciado nos ramos tratados com  $\mathrm{GA}_{4-7}$  e NAA.

A retenção dos frutos originados no período de flores cimento de 1981 foi menor nos ramos do tratamento GN-II (Tâbela 23).

#### 7.2. Experimentos de 1982

### 7.2.a. <u>Época I (20, 22 e 27/5/82)</u>

Os ramos marcados para as pulverização da época l <u>a</u> presentaram, em 18/5/82, mais de 80% das gemas G<sub>1</sub> distribuídas, equitativamente, entre os estádios 3 e 4 (Figura 50). Aproxima damente 2 meses após as aplicações de fitorreguladores (28/7/82), realizou-se uma nova avaliação dos estádios morfológicos (Tabela 24). Verificou-se que nenhum dos tratamentos alterou a taxa de crescimento ou o padrão morfológico das gemas reprodutivas.

Tabela 21. Número e percentual de estruturas florais durante a florada principal de 1981 (12/10/81) nos ramos tratados na epoca II (20, 28/08 e 04/09/81).

Trata- mentos	Gemas florais	Flores	Chumbinhos (%)	Anormalidades (%)	Total (nº)
CT-II (a)	17,5	54,5	4,7	23,2	1098
GA-II (b)	13,8118	43,4*	8,8 <i>ns</i>	34,0*	1216
GN-II (c)	1,3**	50,5ns	15,1*	33,0*	1120

<sup>\*</sup> Diferença significativa ao nível de 5% em relação ao contr<u>o</u> le.

<sup>\*\*</sup> Diferença significativa ao nível de 1% em relação ao contr<u>o</u>

ns Diferença não significativa em relação ao controle.

<sup>(</sup>a) Controle.

<sup>(</sup>b) Giberelinas  $A_4$  e  $A_7$  ( $GA_{4-7}$ ).

<sup>(</sup>c) Giberelinas  $A_4$  e  $A_7$  +  $\widetilde{a}$ cido  $\alpha$  naftaleno ac $\widetilde{\epsilon}$ tico (NAA).

Tabela 22. Abscisão de flores entre 30/08 e 12/10/81 nos tratamentos da época II (20, 28/08 e 04/09/81).

Tratamentos	Nº flores até 10/09	Nº chumbinhos em 12/10	Abscisão (%)
CT-II(a)	53	5 2	1,9
GA-II(b)	199	107	46,2**
GN-II(c)	205	169	17,6**

<sup>\*\*</sup> Diferença significativa ao nível de 1% em relação ao controle.

<sup>(</sup>a) Controle.

<sup>(</sup>b) Giberelinas  $A_4$  e  $A_7$  (GA<sub>4-7</sub>).

<sup>(</sup>c) Giberelinas  $A_4$  e  $A_7$  + ácido  $\alpha$  naftaleno acético (NAA).

Tabela 23. Pegamento de frutos nos tratamentos da época II (20, 28/08 e 04/09/81) em avaliação realizada em 05/04/82.

	68,6	513
(h)		
GA-II (b)	61,3 <i>ns</i>	442
GN-II(c)	52,4**	386

<sup>\*\*</sup> Diferença significativa ao nível de 1% em relação ao contro le.

ns Diferença não significativa em relação ao controle.

<sup>(</sup>a) Controle.

<sup>(</sup>b) Giberelinas  $A_4$  e  $A_7$  (GA<sub>4-7</sub>).

<sup>(</sup>c) Giberelinas  $A_4$  e  $A_7$  (GA $_{4-7}$ ) +  $\tilde{a}$ cido  $\alpha$  naftaleno ac $ilde{e}$ tico (NAA).

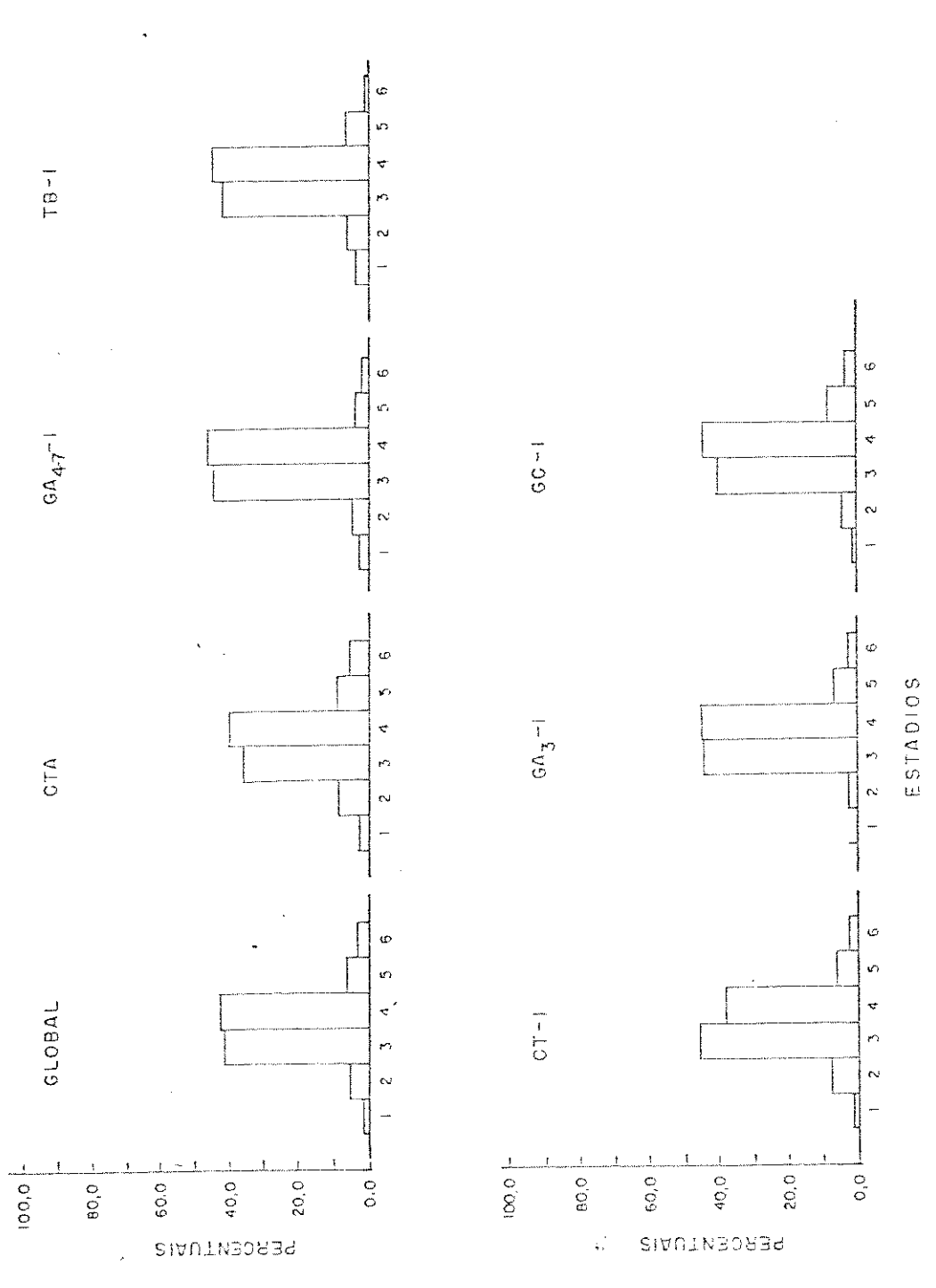


Figura 50 - Distribuição percentual dos estádios morfológicos das gemas G<sub>1</sub> de 27/5/82). CT-A - controle (nada);  $\mathsf{GA}_{\mathsf{H}-\mathsf{7}^{-1}}$  - giberelinas  $\mathsf{A}_{\mathsf{H}}$  e  $\mathsf{A}_{\mathsf{7}}$ ; TB-I - āci do triiodo benzóico; CT-I - veículo; G $A_3$ -I - ácido giberélico; GC-I -  $GA_{4-7}$ Catuai Vermelho no período das pulverizações da época I, em 1982 (20, 22 + citocinina.

Tabela 24. Estádio de desenvolvimento morfológico médio, em  $28/07/82, \ \text{calculado através da transformação prob} \underline{\mathbf{i}}$  tica nos ramos da época I (20, 22 e 23/05/82).

			Limites de confiança
Tratamentos	X	S	$(\alpha = 0,05)$
CT-I(a)	5,4	1,1	5,4 ± 0,7
CT-A(b)	5,7	1,1	5,7 ± 0,7
GA <sub>3</sub> -I <sup>(c)</sup>	5,5	1,1	5,5 ± 0,7
$GA_{4-7}-I^{(d)}$	5,5	1,0	5,5 ± 0,6
GC-I(e)	5,7	1,1	5,7 ± 0,7
TB-I (f)	5,6	1,1	5,6 ± 0,7

<sup>(</sup>a) Controle (veículo).

<sup>(</sup>b) Controle (nada).

<sup>(</sup>c) Ácido giberélico (GA3).

<sup>(</sup>d) Giberelinas  $A_4$  e  $A_7$  ( $GA_{4-7}$ ).

<sup>(</sup>e)  $GA_{4-7}$  + Citocinina.

<sup>(</sup>f) Ácido Triiodo benzóico.

A Tabela 25 apresenta os valores percentuais das flores abertas no mês de julho e durante as quatro floradas registradas em 1982. Diferenças significativas entre controles e tratamentos só foram identificadas durante a 1ª e 2ª floradas (22/8 e 29/8/82). Uma análise estatística mais detalhada revelou que apenas o tratamento  $GA_{4-7}$ -1 diferiu significativamente dos controles, tendo apresentado maior quantidade de flores abertas (39,0%; Tabela 26).

0 percentual de perdas (de natureza múltipla) durante a florada principal (10/10/82) foi da ordem de 21%. Tratamentos e controles apresentaram valores muito similares quanto ao percentual de perdas: CT-1 22,5%; CT-A - 20,0%;  $GA_3-1$  - 19,5%;  $GA_{4-7}$  - 20,5%; GC-1 - 17,7% e TB-1 - 24,5%.

A Tabela 25 mostra que o número total de estruturas manteve valores inferiores nos tratamentos  $GA_3$ -le  $GA_{4-7}$ -l. A análise de variância dos resultados da 3ª e 4ª floradas indicou que as diferenças entre controles e tratamentos não foram significativas (Tabela 27).

# 7.2.b. Época II (29 e 30/6; 1/7/82)

Na época II de aplicação dos reguladores de crescime<u>n</u> to, o estádio 4 apresentava-se majoritário para as gemas G<sub>1</sub> (57,0% em média; Figura 51). Não foram encontradas diferenças signif<u>i</u> cativas entre controles e tratamentos na avaliação dos estádios morfológicos realizados em 28/7/82 (Tabela 28).

Tabela 25. Percentual de flores abertas nos tratamentos e controles da época I (20, 22 e 27/05/82), durante o mes de julho e nas floradas de 1982.

And the second s	g ng gama, na na na ngama sa na nanka na kamba sa kamba sa kamba sa kamba sa kamba sa na na na na na na na na		1ª e 2ª	floradas	3 <u>a</u> e 4 <u>a</u>	floradas
	Julh	no /82	22/08 s	29/08/82	29/09 e	10/10/82
Trata-	Flores	Total(a)	Flores	Total(a)	Flores	Total (b)
mentos	(%)	(nº)	(%)	(nº)	(%)	(nº)
CT-I(c)	5,2	539	25,3	853	45,1	1224
CT-A(d)	8,3	588	29,5	789	42,0	1113
<sub>GA3</sub> -1(e)	7,1	438	25,3	575	46,2	909
GA <sub>4-7</sub> -I(f)	3,8	505	39,0	680	45,3	940
GC-I(g)	9,5	558	31,1	790	48,5	1107
TB-I(h)	5,1	565	30,2	833	38,5	1085
x <sup>2</sup> 5; 0,05	= 11,07	$x^2 = 2$	2,64 ns	$x^2 = 11,95^*$	$x^2$	= 5,08 <i>ns</i>

ns - Diferença não significativa em relação ao controle.

<sup>\*</sup> Diferenças significativas entre os tratamentos para  $\alpha$  = 0,05.

<sup>(</sup>a) Inclui gemas florais e flores.

<sup>(</sup>b) Inclui gemas florais, flores, chumbinhos, frutos e perdas.

<sup>(</sup>c) Controle (veículo); (d) controle (nada); (e) ácido giberélico.

<sup>(</sup>f) Giberelinas  $A_4$  e  $A_7$ ; (g) giberelinas  $A_4$  e  $A_7$  + citocinina.

<sup>(</sup>h) Acido Triiodo benzoico.

Tabela 26. Percentual de flores no tratamento  $GA_{4-7}$ -I e nos controles durante a 12 e 22 floradas de 1982 (22 e 29/08/82).

Tratamentos	Flores	Total (a) (nº)	
CT-I(b)	25,3	853	
CT-A(c)	29,5	789	
GA <sub>4-7</sub> -I (d)	39,0	680	
x <sup>2</sup> 2; 0,01 = 9	21	$x^2 = 9,30$	

<sup>(</sup>a) Número total de gemas florais e flores.

<sup>(</sup>b) Controle (veiculo).

<sup>(</sup>c) Controle (nada).

<sup>(</sup>d) Giberelinas  $A_4$  e  $A_7$  ( $GA_{4-7}$ ).

Tabela 27. Análise de variância do número médio de estruturas reprodutivas (a) nos ramos controles e tratamentos da época I (20, 22 e 27/05/82), avaliados em 10/10/82.

Fonte de variação	GL	SQ	QM	F
Tratamentos	5	6.386,9	1.227,4	0,9161 <i>ns</i>
Erro	54	75.297,0	1.394,4	
Residuo	59	81.683,9	1.384,5	
				Married A Late and a Construction of the Const

F = 0,05; (5; 54) = 2,39

<sup>(</sup>a) Inclui gemas florais, flores, chumbinhos, frutos e perdas.ns Diferença não significativa em relação ao controle.

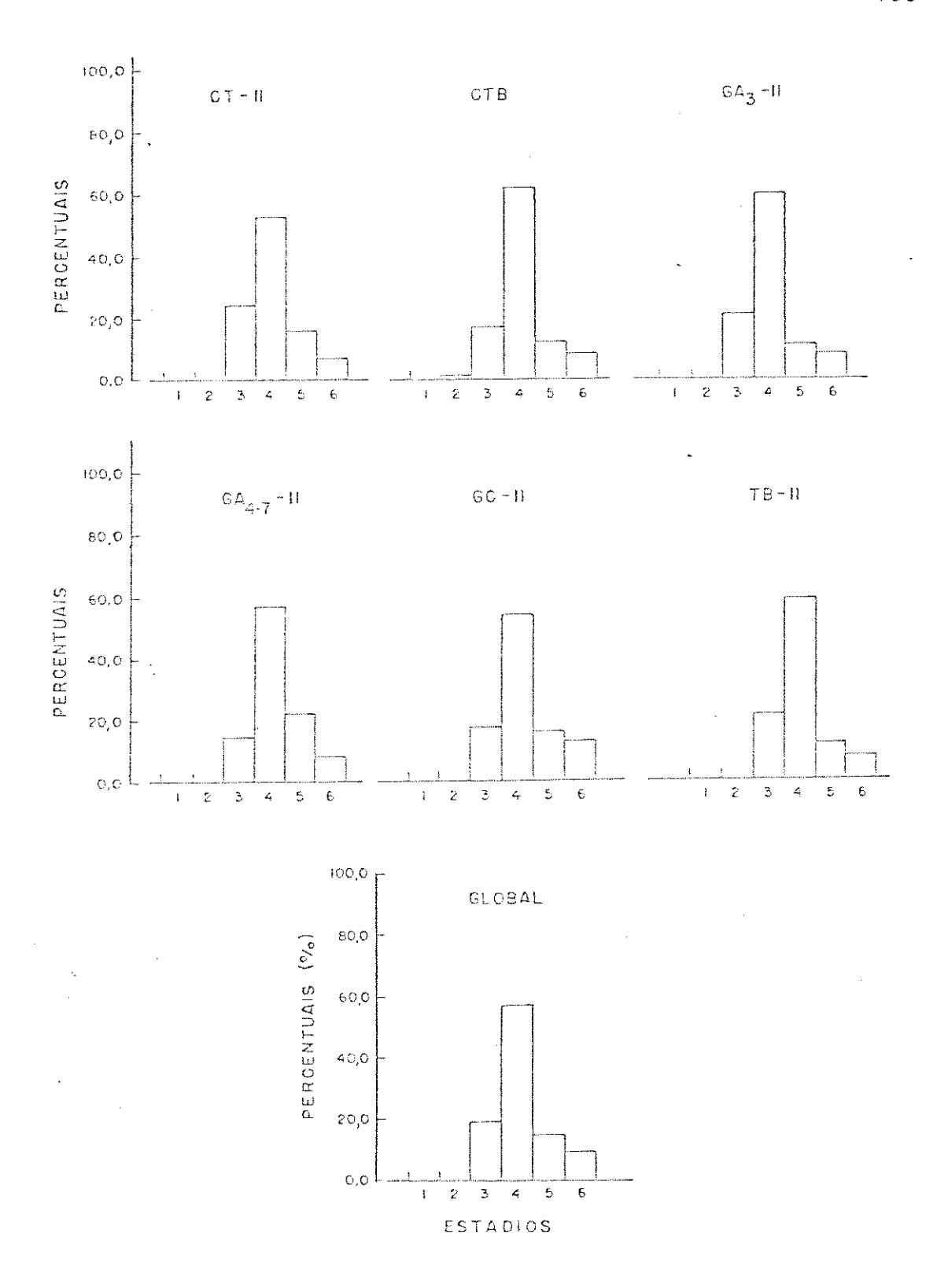


Figura 51 - Distribuição percentual dos estádios morfol $\underline{o}$  gicos das gemas  $G_1$ , em Catuai Vermelho, na época das pulverizações da época II, em 1982 (29 e 30/6/82) . CT-II - controle (veículo); CT-B - controle (nada) ;  $GA_3$ -II - ácido giberélico;  $GA_4$ -7-II - giberelinas  $A_4$  e  $A_7$ ; GC -  $GA_4$ -7 + citocinina; TB-II - ácido triiodo benzóico.

Tabela 28. Estádio de desenvolvimento morfológico médio em 28/07/82, calculado através da transformação prob<u>í</u> tica, nos ramos da época II. (29 e 30/06, 01/07/82).

Tratamentos	$\overline{x}$	S	Limites de confiança $(\alpha = 0.05)$
CT-II(a)	5,4	1,1	5,4 <sup>±</sup> 0,7
CT-B(b)	5,3	1,0	5,3 ± 0,6
GA <sub>3</sub> -II <sup>(c)</sup>	5,7	1,1	5,7 <sup>±</sup> 0,7
GA <sub>4-7</sub> -II <sup>(d)</sup>	5,8	1,0	5,8 <sup>±</sup> 0,6
GC-II(e)	5,7	1,1	5,7 ± 0,7
TB-II(f)	5,3	1,1	5,3 ± 0,7

<sup>(</sup>a) controle (veículo); (b) controle (nada); (c) ácido giberélico; (d) giberelinas  $A_4$  e  $A_7$ ; (e) giberelinas  $A_4$  e  $A_7$  + citocinina; (f) ácido triiodo benzóico.

Os resultados das observações sobre a entese dos botões florais são apresentados na Tabela 29. O qui-quadrado cal culado mostrou-se significativo na 3ª e 4ª floradas, mas o seu valor foi muito próximo do valor tabelado para  $\alpha=0.05\%$ . Com parando-se os tratamentos individuais com os controles, entretan to, não encontravam-se diferenças significativas. Mesmo o tratamento com o  $GA_{4-7}$ , que apresentou maior amplitude de variação, não diferiu dos controles ao nível de  $\alpha=0.05\%$  (Tabela 30).

## 7.2.c. Época III (3/9/82)

As flores observadas em 16/9/82, conforme indica a Tabela 31, podem ser atribuídas às pulverizações de fitohormônicos do dia 3/9/82. Não foram registradas alterações atmosféricas capazes de terem induzido a antese naquela data (Figura 39). Os tratamentos não diferiram do controle, o que sugere ter sido a umidade das pulverizações o fator responsável pelo pequeno número de flores abertas.

Na florada principal (10/10/82), o percentual de flores do tratamento  $GA_{4-7}$ -III foi significativamente menor do que o do controle (Tabela 31). Este fenônemo foi ocasionado pela ele vação do número de perdas (20,7%) e de gemas florais que não participaram da florada principal (15,1%; Tabela 32). A aplicação combinada de  $GA_{4-7}$  e ABA também aumentou o percentual de perdas (Tabela 32).

Tabela 29. Percentual de flores abertas nos tratamentos e con troles da época II (29 e 30/06, 01/07/82), durante o mes de julho e nas floradas de 1982.

	Jull	no/82		floradas	3ª e 4ª floradas		
			(22 e 2	29/08/82)	(29/09 e	10/10/82)	
Trata-	Flores	Total (a)	Flores	Total(a)	Flores	Total(b)	
mentos	(%)	(nº)	(%)	(nº)	(%)	(nº)	
CT-II <sup>(c)</sup>	7,6	449	38,9	635	52,1	946	
CT-B(d)	6,3	504	35,5	816	52,9	1171	
GA <sub>3</sub> -II <sup>(e)</sup>	11,0	528	32,8	646	44,6	950	
GA <sub>4-7</sub> -II(f)	10,9	558	41,1	654	42,9	928	
GC-II <sup>(g)</sup>	10,4	574	34,6	868	54,8	1276	
TB-II (h)	3,3	511	35,3	780	56,2	1085	
x <sup>2</sup> 5; 0,05	= 11,07	x <sup>2</sup> =	6,09 <i>ns</i>	$x^2 = 3,93$	ns x <sup>2</sup>	= 11,22	

<sup>(</sup>a) Inclui gemas florais e flores.

<sup>(</sup>b) Inclui gemas florais, flores, chumbinhos, frutos e perdas.

ns - Diferença não significativa em relação ao controle.

<sup>(</sup>c) controle (veículo); (d) controle (nada); (e) acido giberélico; (f) giberelinas A<sub>4</sub> e A<sub>7</sub>; (g) giberelinas A<sub>4</sub> e A<sub>7</sub> + citocinina; (h) acido triiodo benzoico.

Tabela 30. Percentual de flores abertas no tratamento  $GA_{4-7}$ -II durante a  $3\frac{a}{2}$  e  $4\frac{a}{2}$  floradas de 1982 (29/09 e 10/10/82).

Tratamentos	Flores	Total (a) (nº)	·
CT-11	52,1	946	
CT-B	52,9	1171	
GA <sub>4-7</sub> -II	42,9	950	
x <sup>2</sup> 2; 0,05 = 5	- 00 X	2 = 4,56	
2; 0,05 = 5	7,99	•	

<sup>(</sup>a) Inclui gemas florais, flores, chumbinhos, frutos e perdas.

CT-II - controle (veículo); CT-B - controle (nada); GA<sub>4-7</sub>-II - ácido giberélico.

Tabela 31. Percentual de flores abertas nos tratamentos da equation (03/09/82) durante as floradas de 1982.

	16/	09/82	29/	09/82	/82 10/10/82	
Tratamentos	Flores	Total (a)	Flores	Total(a)	Flores (%)	Total(a)
CT-III (b)	1,4	792	26,6	801	54,6	808
GA <sub>4-7</sub> -III(c)	7,2	735	29,8	738	32,5	742
AB-III (d)	0,0	710	23,0	710	58,9	711
GAB-III(e)	5,7	860	25,0	861	42,5	861
x <sup>2</sup> 3; 0,05	= 7,82	x <sup>2</sup> =	4,22	$x^2 = 2$ ,	34 X	2 = 33,01
x <sup>2</sup> 3; 0,01	= 11,34					

<sup>(</sup>a) Inclui gemas florais, flores, chumbinhos, frutos e perdas.

<sup>(</sup>b) Controle (veiculo).

<sup>(</sup>c) Giberelinas  $A_4 \in A_7 (GA_{4-7})$ .

<sup>(</sup>d) Ácido abscísico (ABA).

<sup>(</sup>e)  $GA_{4-7} + ABA$ .

Tabela 32. Percentual de estruturas florais nas inflorescencias  $G_1$ ,  $G_2$ ,  $G_3$  e  $G_4$  nos tratamentos e controles da época III (03/09/82) durante a florada principal (10/10/82).

Tratamentos	G. florais	Flores	Chumbinhos	Perdas (%)	Total (nº)
CT-III(a)	6,3	54,6	31,7	7,4	808
GA <sub>4-7</sub> -III(b)	15,1*	32,5**	31,7	20,7 <sup>**</sup>	742
AB-III(c)	11,1ns	59,0 <i>ns</i>	20,9	9,Gns	711
GAB-III(d)	7,3ns	42,5*	28,0	22,2**	861

ns - Diferença não significativa em relação ao controle.

- \* Diferença significativa entre tratamentos e controles, ao nível de 5%.
- \*\* Diferença significativa entre tratamentos e controles, ao nível de 1%.
- (a) Controle (veiculo).
- (b) Giberelinas  $A_4 \in A_7 (GA_{4-7})$ .
- (c) Ácido abscísico (ABA).
- (d)  $GA_{4-7} + ABA$ .

### 7.2.d. <u>Epoca IV (17/9/82)</u>

A Tabela 33 sintetiza os resultados da aplicação de  $GA_{4-7}$  e ABA em 17/9/82. O fitorregulador  $GA_{4-7}$  teve um podero so efeito estimulatório sobre a antese na 3ª florada (29/9/82). O ácido abscísico não conseguiu inibir o efeito promotor das chuvas do dia 19/9/82, ainda que tenha sido de baixa intensidade (2,2 mm). Na florada principal (10/10/82), o CT-IV e o tratamento AB-IV alcançaram elevadas proporções de flores (71,7% e 75,8%, respectivamente).

Tabela 33. Percentual de flores abertas nos ramos da equal 1V (17/09/83), durante a 3ª e 4ª floradas 1982 de (29/09 e equal 10/10/82).

	29/09/82		10/10/82		
Tratamentos	Flores	Total	Flores	Total	
ر سنة الماد المادسين من والمراجب المناسبين المناسبين المناسبين المناسبين المناسبين المناسبين المناسبين المناسبين	(%)	(nº)	(%)	(nº)	
CT-IV (a)	12,6	888	71,7	891	
GA <sub>4-7</sub> -IV(b)	41,7	780	41,9	782	
AB-IV(c)	10,3	935	75,8	937	

<sup>(</sup>a) Controle (veículo).

<sup>(</sup>b) Giberelinas  $A_4$  e  $A_7$  (GA $_{4-7}$ ).

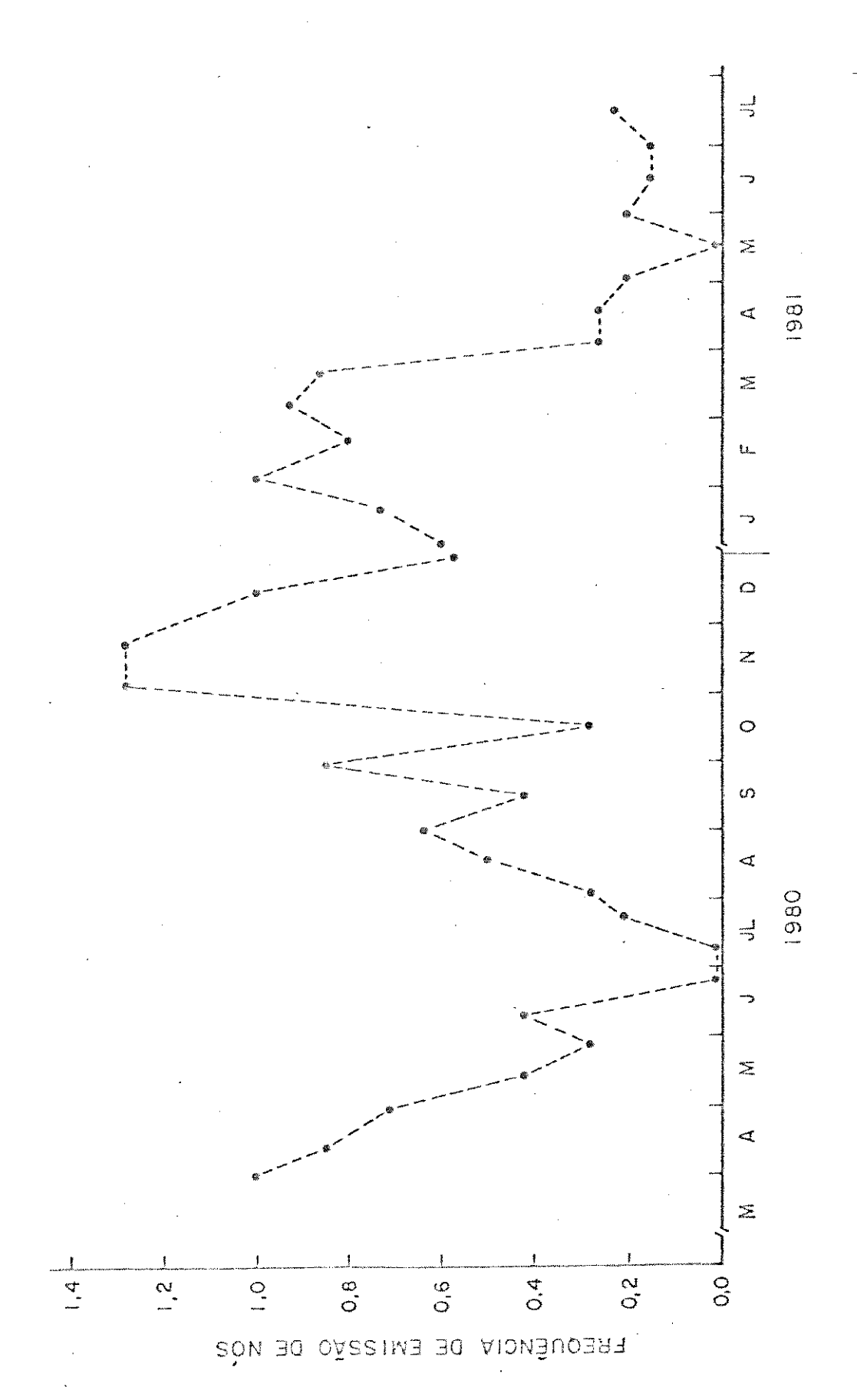
<sup>(</sup>c) Ácido abscísico (ABA).

#### V. DISCUSSÃO

# 1. INDUÇÃO DE GEMAS FLORAIS EM COFFEA ARABICA CV. CATUAI VERMELHO

As analises histológicas indicaram que a indução dos ápices reprodutivos ocorreu aceleradamente a partir do início de janeiro de 1981. As gemas nas fases II e III alcançaram valores per centuais semelhantes em fevereiro e março de 1980 e 1981 (Fig. 17a). No início do mês de março quase todas as gemas G<sub>1</sub>, situadas entre o 49 e 90 par de folhas, já encontravam-se induzidas (fases II e III). Observações provenientes de quatorze ramos lateráis, marcados no campo, mostraram que o período indutivo estendeu-se até o final de julho de 1980. Os nos emitidos neste mês ainda apresentaram chumbinhos e gemas florais em dezembro do mesmo ano. Evidentemente, os nos induzidos em junho e julho tiveram uma contribuição insignificante para a safra de 1981, pois a formação de novos nos foi mínima nos dois meses (Figura 52). Os nos surgidos a partir de agosto de 1980 forneceram gemas axilares para o período indutivo de 1981.

A estimativa do início e do término do período indutivo (Janeiro-Julho), nas condições de Campinas, sugere, de imediato, uma questão fundamental - existiria um fator ambiental responsável pela transformação de gemas não diferenciadas em gemas reprodutivas? A literatura disponível ainda apresenta - se controvertida quanto a este aspecto. A indução de gemas reprodutivas, em plantas jovens, por dias curtos (FRANCO, 1940; PIRIN GER & BORTHWICK, 1955; WENT, 1957) inferiores ao limite crítico de 13-14 horas (PIRINGER & BORTHWICK, 1955) não foi encontrada nos estudos de MONACO et al (1978). CANNELL (1972) verificou que



Coffea anabica cv. Catuai Vermelho no período compreendido entre 30/3/80 e 15/7/81. Figura 52 - Gráfico demonstrando a taxa de emissão de nós (nº nós/ramo) em plantas de Destaca-se o acentuado "flush" de crescimento durante a 2ª quinzena de outubro, la quinzena de novembro.

plantas adultas de Coffea atabica tenderam a se comportar como plantas de dias curtos, mas concluiu que os cafeeiros adultos são pouco sensíveis ao fotoperíodo. A periodicidade de flores cimento, nas regiões tropicais, tem sido atribuída às variações fotoperiodicas anuais (BARROS et al, 1978; CAMARGO, 1983). De acordo com as informações de TROJER (1954, 1968) pode-se inferir que o cafeeiro arabica mostra-se subordinado ao fotoperíodo acima do paraleo 6ºN, na Colombia.

Na Figura 53 estão representadas as curvas de variação fotoperiódica na latitude 23 30'S (S.Paulo - SP), calculadas em função do número de horas de brilho solar e de períodos lumino so de até 10''foot-candle''(107,6 LUX; FRANCIS, 1972). WENT (1957) estimou que intensidades luminosas ao redor de 10''foot-candle''a presentam limites mínimos críticos para a sensibilidade fotope riódica de Coffea arabica cv. Bourbon (lâmpadas incandescentes e fluorescentes na proporção de 4:9). Devido à pequena diferen ça entre as latitudes de São Paulo e Campinas ( $\Delta = 30'07''$ ),con siderou-se valida a utilização de curvas, publicadas por FRANCIS (1972), para os propositos do presente estudo. O dia mais lon go do ano (22 de dezembro) tem duração de 13:30 horas de brilho solar e de 13:54 horas considerando-se intensidades luminosas de atē 10 foot-candle. O dia mais curto (22 de junho) tem 10:42 horas de brilho solar e 11:00 horas com intensidades superiores a 10 foot-candle. O período indutivo coincidiu com a época de diminuição progressiva do comprimento do dia, excessão feita ao mês de julho. De acordo com SALISBURY (1982), as respostas fo toperiódicas não ocorrem simplesmente em função de um número de horas arbitrário (por exemplo, 8 horas ou 12 horas), e sim devi do ao aumento ou diminuição progressiva do comprimento do dia.

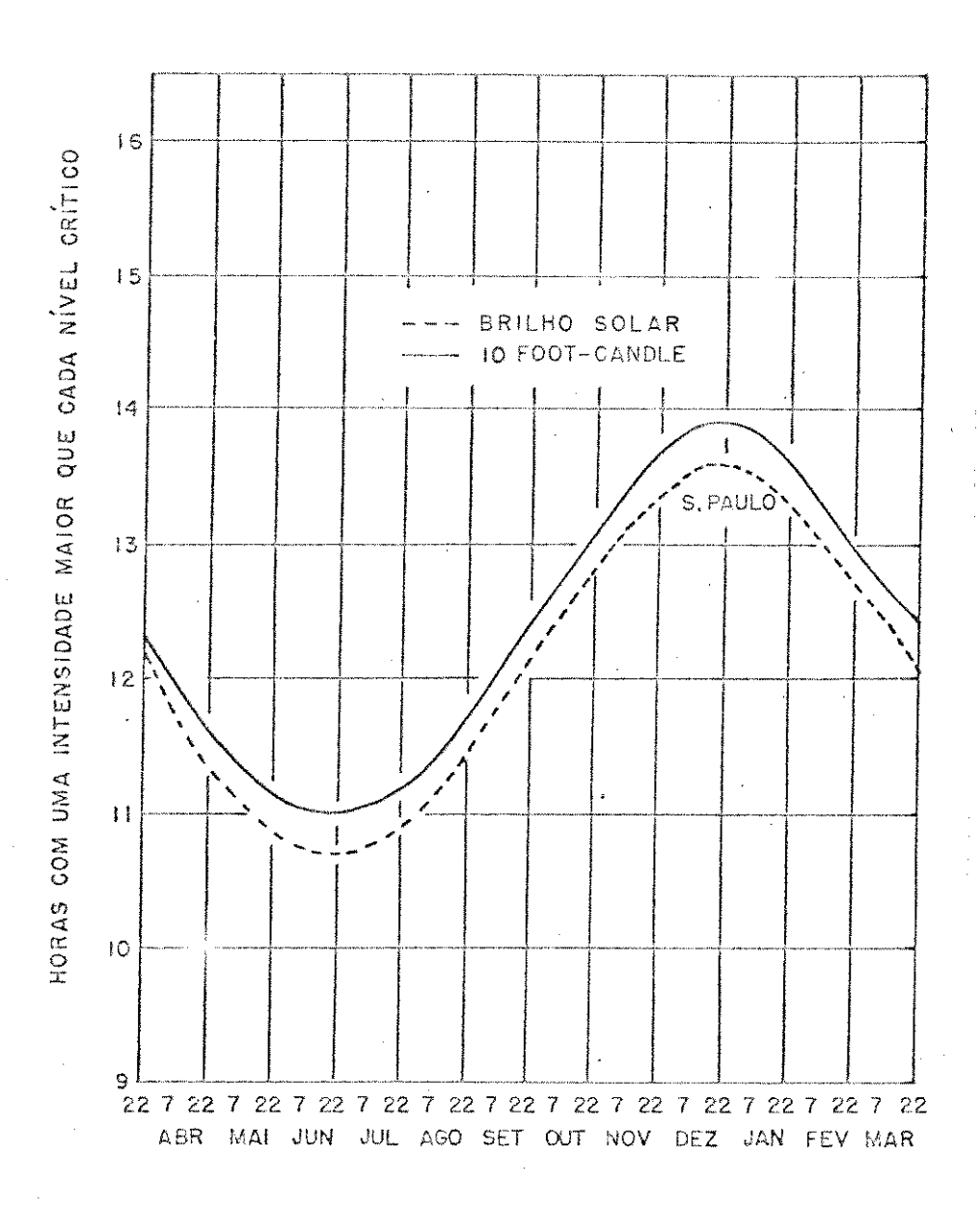


Figura 53 - Fotoperíodo calculado em função do  $n\underline{u}$  mero de horas de brilho solar e do  $n\underline{u}$ mero de horas em intensidades luminosas superiores ou iguais a 10 "foot-candle" (107,6 lux), em São Paulo, SP (latitude 23°30'S, FRANCIS, 1972).

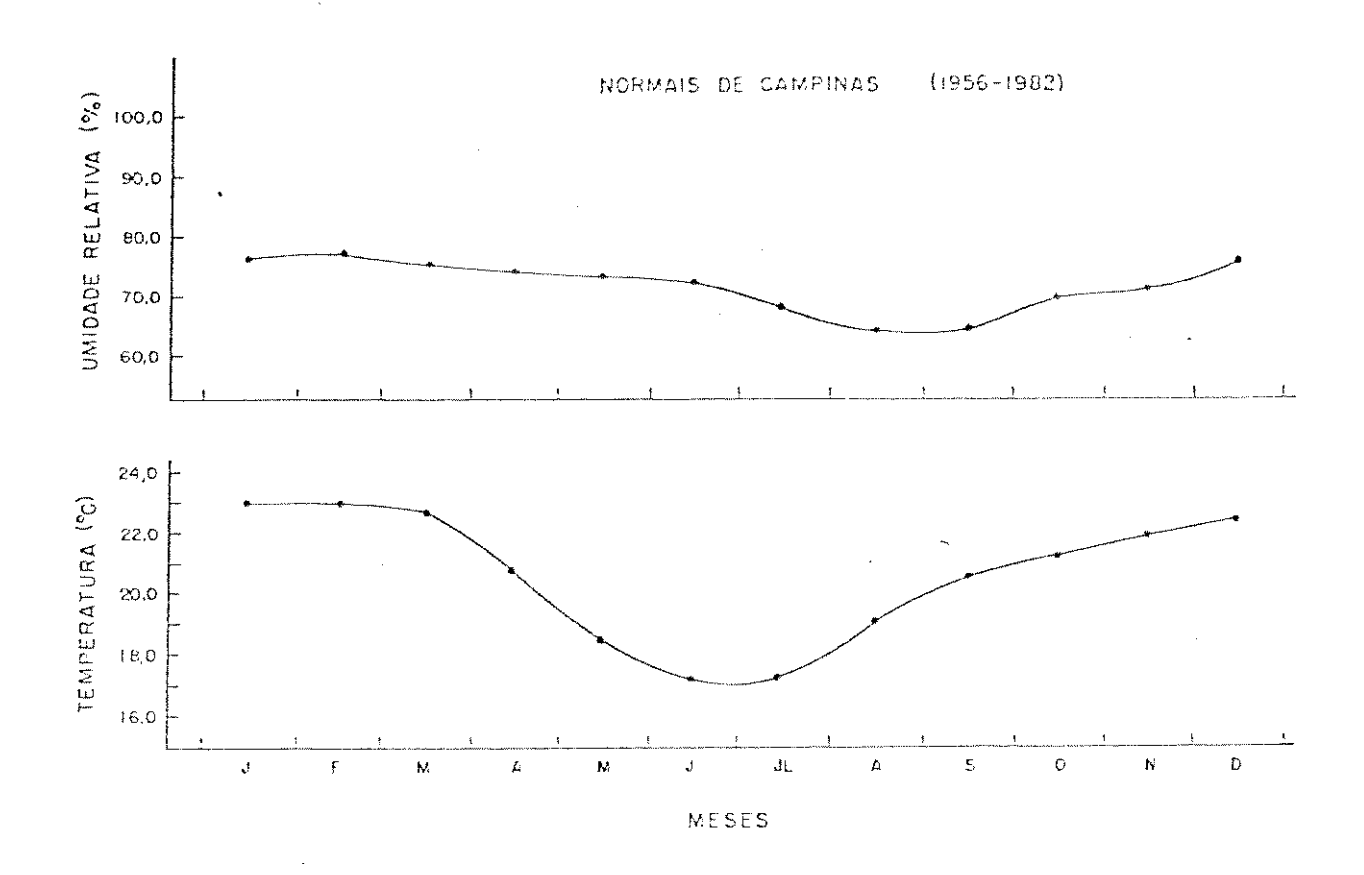
SALISBURY & ROSS (1978), relataram que muitas plantas tropicais são capazes de responder a pequenas oscilações fotoperiódicas anuais em áreas situadas entre 5º e 15º de latitude. Os autores destacaram a existência de muitos tipos de respostas fotoperiódicas e de interações entre a sensibilidade fotoperiódica e temperaturas infra e supra ótimas.

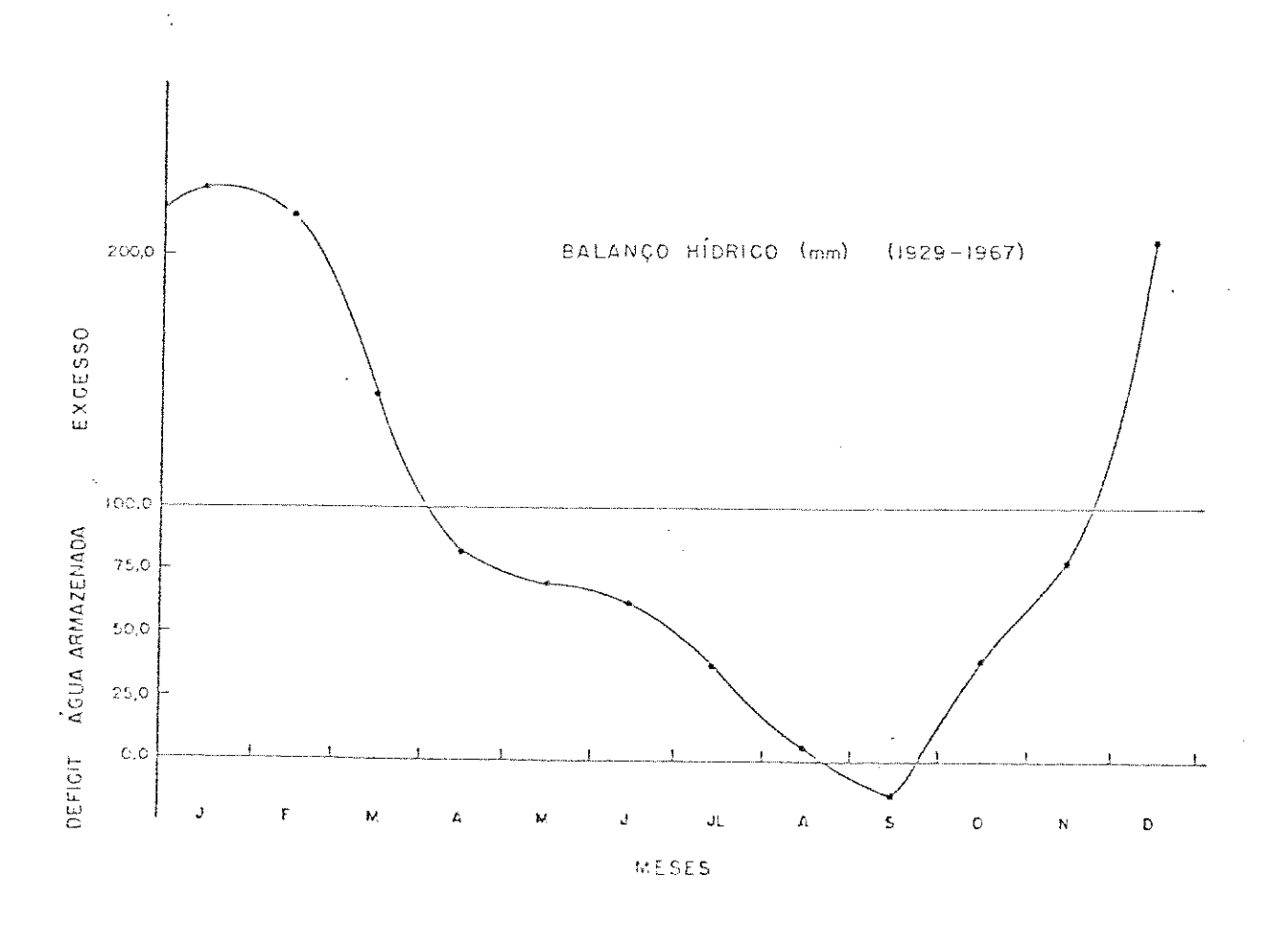
Em Campinas, as temperaturas mais elevadas são registradas em janeiro e fevereiro (23°C), declinando a partir de mar ço e atingindo valores mínimos em junho e julho (17,3° e 17,1°C, Figura 54). A disponibilidade de água no solo e a umidade relativa do ar também tendem a ser reduzidas ao longo do período em questão, alcançando os menores níveis entre os meses de julho e setembro (Figuras 54, 55 e 56). Seria difícil, portanto, associar o fenômeno indutivo à diminuição de temperatura ou deficit hídrico.

Sugere-se que a questão da indução de gemas reprodut<u>i</u>
vas em *Coffea arabica* esteja situada em uma das seguintes hip<u>ó</u>
teses:

- (1ª) A indução de ápices reprodutivos seria controlado por um mecanismo fotoperiódico refinado e extremamente sensível, através do qual os cafeei ros detectariam a progressiva diminuição do comprimento do dia, a partir de 22 de dezembro.
- (2ª) A indução de gemas reprodutivas, em condições na turais, estaria subordinada a um mecanismo mais complexo que envolveria a interação entre o foto

Figura 54 - Parametros climáticos de Campinas (23º53'S;  $47^{\circ}05'$ W;663m de altitude). Estão plotadas as tempera turas medias ( $^{\circ}$ C) e as umidades relativas (%) mensais do período (1956-1982). O balanço hídrico, represen tado na parte inferior do gráfico, foi calculado se gundo o modelo de THORNTHWAITE (1948), modificado por CAMARGO (1977). O modelo contabiliza os valores men sais da precipitação pluvial e os valores da evapo transpiração potencial, quantificando a disponibil<u>i</u> dade de água no solo no curso do ano. Valores superiores a 100 mm indicam excesso de água. Valores en tre 0 e 100 mm representam a quantidade de água arma zenada. Em valores abaixo de 25 mm, existe uma certa dificuldade para as plantas absorverem a água dispo nível. Valores negativos indicam déficit hídrico (CA MARGO, 1977).





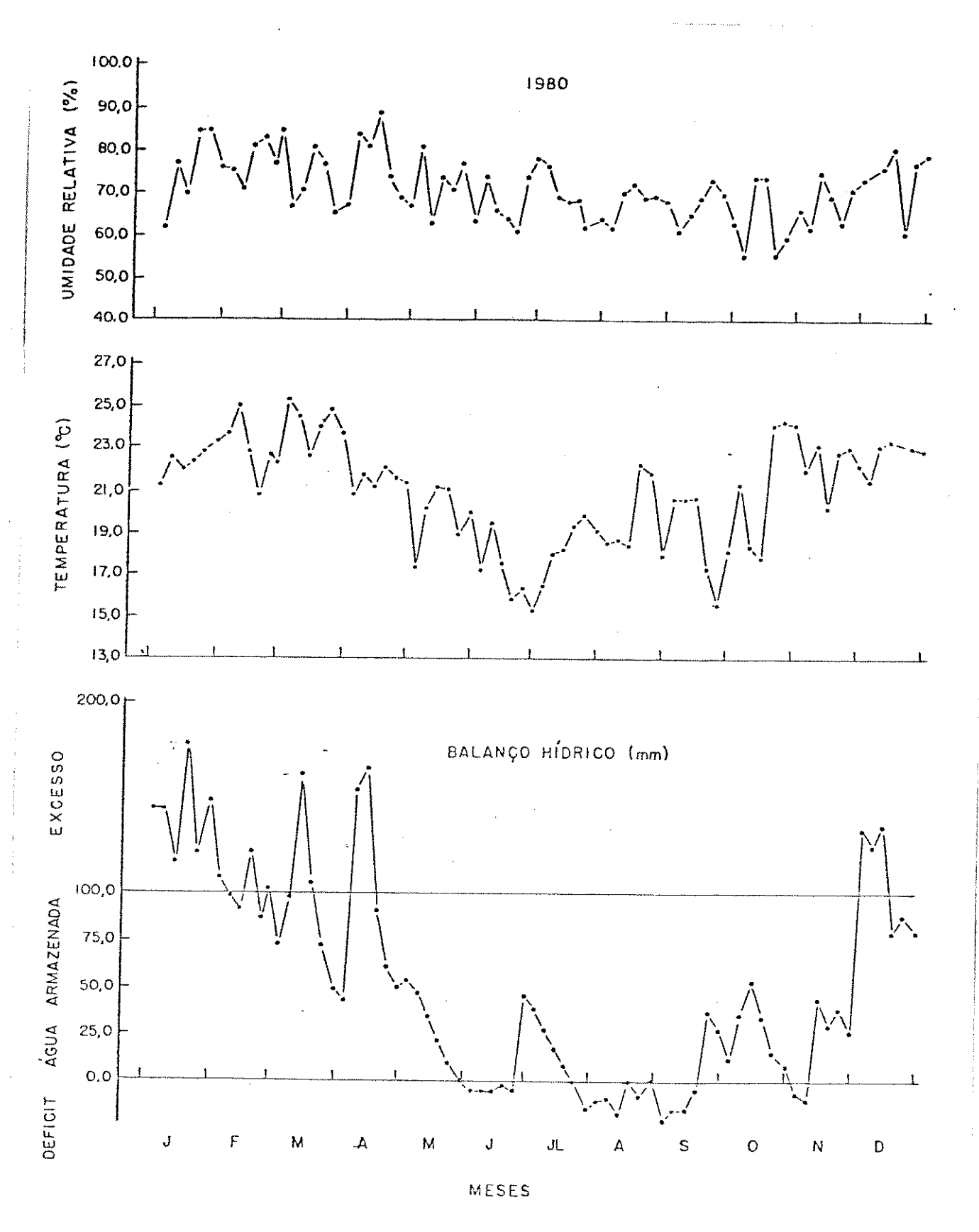


Figura 55 - Caracterização das condições climáticas de Campinas no ano de 1980: temperaturas médias (°C), umidade relativa do ar (%) e balanço hídrico segundo o modelo de THORNTHWAITE (1948), modificado por CAMARGO (1977). Valores calculados por pêntadas.

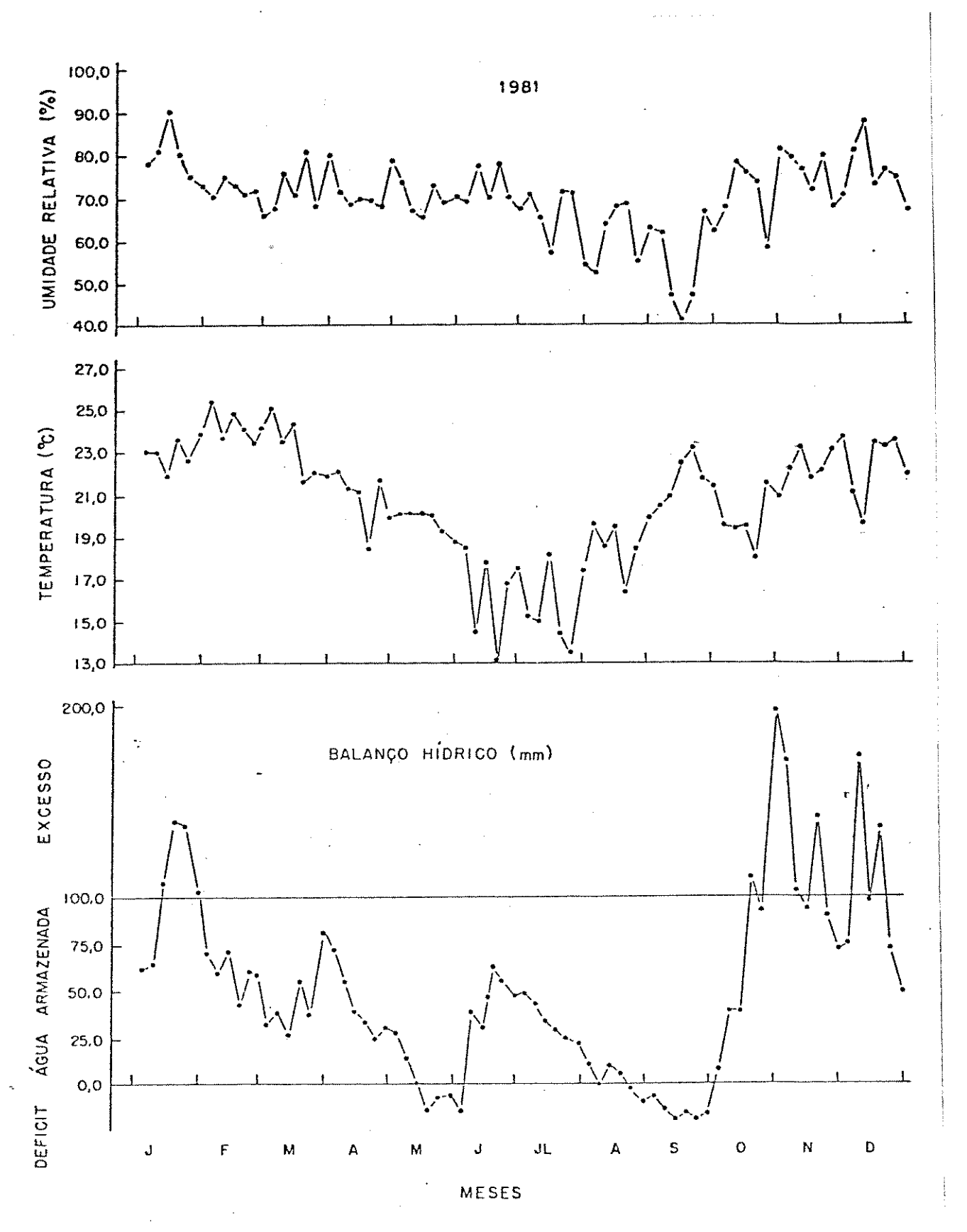


Figura 56 - Caracterização das condições climáticas de Campinas no ano de 1981: temperaturas médias (°C), umidade relativa do ar (%) e balanço hídrico segundo o modelo de THORNTHWAITE (1948), modificado por CAMARGO (1977). Valores plotados em intervalos de 5 dias.

período, a temperatura e/ou estado hídrico dos cafeeiros. A resposta fotoperiódica poderia ser continuamente modulada por fatores ambientais.

- (3ª) A formação de gemas reprodutivas poderia estar associada à condições fisiológicas específicas estreitamente controladas por fatores ambientais (ciclos sazonais de umidade e temperatura). Em macieiras, por exemplo, o início da diferenciação de primórdios florais está vinculado à existência de um número crítico de nós nos ramos reprodutivos (característico para cada cultivar) e a plastocrons inferiores a 7 dias (BUBAN & FAUST, 1982). WORMER & GITUANJA (1970a e 1970b) sugeriram que nas condições do Great Rift Valley (Quênia), o ciclo reprodutivo do cafeeiro encontrase estreitamente relacionado com o ciclo vegetativo.
- (4ª) Nas condições de Campinas, o comprimento dos dias é sempre inferior a 14 horas. Supondo que este fotoperíodo seja indutivo (PIRINGER & BORTHWICK, 1955), a indução floral ocorreria imediatamente apos a maturação do nó (gema), e portanto, durante a ano inteiro. Os fatores ambientais (disponibilidade de água e temperatura) e os fatores endógenos teriam um papel fundamental no controle das fases posteriores à indução, ou seja, na diferenciação, crescimento e antese floral.

### 2. DIFERENCIAÇÃO E CRESCIMENTO DAS GEMAS REPRODUTIVAS EM COFFEA ARABICA

Os estudos sobre o desenvolvimento morfológico mos traram que os comprimentos médios das gemas G<sub>1</sub> (obtidos quinze nalmente até as floradas principais de 1980, 1981 e 1982) são representativos de um conjunto de gemas em diversos estádios de desenvolvimento (Figuras 23, 26 e 28). Evidenciou-se igualmente, que em todas as épocas existiam estádios dominantes, o que significa que os comprimentos médios foram determinados pelas fases de desenvolvimento quantitativamente majoritárias. Da mes ma forma, as curvas de crescimento acompanharam as tendências e as velocidades das transformações morfológicas.

A distribuição das fases de desenvolvimento, em cada época, seguiu o padrão de uma curva "normal" (curva de Gauss). Por esse motivo, os dados ajustaram-se perfeitamente à transformação probítica. TROJER (1968) relatou que as diferentes fases fenológicas do cafeeiro, em Chinchina (5°N), apresentam uma distribuição anual nitidamente ajustada a uma curva normal, refletindo, em média, o estado ou a condição fisiológica dos cafeeiros em cada momento.

A transformação probítica mostrou-se vantajosa porque sintetiza uma distribuição de frequência através de um valor mé dio e do desvio padrão. A técnica revelou-se adequada para a comparação do desenvolvimento reprodutivo de diferentes cultiva res (Figuras 32 e 33). Tendo-se em vista a facilidade e a rapidez das avaliações dos estádios morfológicos, em condições de campo,

a transformação probítica poderia contribuir para a simplificação dos estudos visando a comparação simultânea de grande núme ro de germoplasmas. A evolução dos valores percentuais de cada estadio, ao longo do tempo, pareceu ser mais apropriada para se analisar, em detalhe, a dinâmica do processo de diferenciação morfológica.

Os gráficos contidos nas Figuras 17b e 20 sugerem que o processo de indução e o processo de diferenciação e crescimento são eventos fisiológicos controlados por fatores ambientais e/ou endógenos distintos.

A diferenciação e crescimento iniciais das gemas induzidas apresentaram aspectos que precisam ser assinalados, tais como:

- (19) A diferenciação histológica (Figura 17b) progrediu em direção aos estádios mais avançados (IV, Ve VI) a partir da 2ª quinzena de março de 1980 e 1981. Entretanto, as taxas de diferenciação foramnitida mente mais aceleradas em 1980, coincidindo com a defasagem inicial das curvas de crescimento (Figura 19).
- (2º) O aumento dos comprimentos médios teve início na 1ª quinzena de abril de 1980, na 2ª quinzena de abril de 1981 e na 1ª quinzena de abril de 1982 (Figura 20). No mesmo ano (1982), as gemas induzidas do cv. Bourbon Amarelo iniciaram o crescimento já na 1ª quinzena de março (Figura 22).

(3º) A diferenciação morfológica, em 1982, foi acentua damente mais acelerada no cultivar Bourbon Amare lo (Figura 29). Houve também indicação de que a transição do estádio 1 para o estádio 2 teve in i cio no mês de fevereiro, embora o estádio 1 tenantido elevados valores percentuais, no cultivar Catuai Vermelho, durante o mês de março (69,0% em 30/3/82).

Houve uma diferença fundamental entre as plantas de Catuai Vermelho em 1980 e 1981. A produção de 1981 superou de 1980 em, aproximadamente, 7 vezes (Tabela 1). As plantas tilizadas em 1982 também encontravam-se em ano de alta produção. Porem, eram mais jovens, pertenciam a uma linhagem superior destacavam-se pelo excelente vigor vegetativo. A produção nal é um aspecto amplamente conhecido em inúmeras árvores fruti feras (JACKSON & SWEET, 1972; MOSS & BEVINGTON, 1977; MONSELISE & GOLDSCHMIDT, 1982), e no cafeeiro arábica (CLOWES & WILSON 1977; CLOWES & ALLISON, 1982; FAZUOLI, 1977). FAZUOLI (1977) ana lisou a produção de 117 progênies pertencentes ao cultivares Mundo Novo, Bourbon Amarelo e Bourbon Vermelho durante 17 anos consecutivos. As produções de todas as progênies foram crescen tes até o 4º ano. O nivel de produção foi mantido no 5º ano a partir do 6º a-o iniciou-se o ciclo bienal de produção. No 11º ano de colheita foi atingida a produção máxima, havendo partir dessa idade flutuações bienais com produção nunca rior ao valor do 11º ano de produção.

Os frutos do cafeeiro são um poderoso sítio de abso<u>r</u>

ção de nutrientes e compostos orgânicos (CANNELL & HUXLEY, 1969; CANNELL,1971b). Dependendo da relação entre as condições vege tativas e nutricionais das plantas e a quantidade de frutos presentes é que se estabelecemos diferentes níveis de depauperamen to da estrutura vegetativa (SYLVAIN, 1959). A formação dos frutos, em anos de produção elevada, reduz acentuadamente o crescimento e atividade das partes aéreas e das raízes (NUTMAN, 1933; CANNELL, 1971b,1975; CLOWES e WILSON, 1977; KUMAR, 1979b). Isto é particular mente importante porque as raízes, além idas atividades de absorção, são importantes sítios de produção de citocininas e gibere linas (CLOWES & WILSON, 1977). A diminuição da atividade dos ápices vegetativos limita a produção de meristemas axilares disponíveis para a próxima safra.

WORMER & GITUANJA (1970b) identificaram um efeito inibitório dos frutos sobre o desenvolvimento das gemas reprodutivas ao compararem plantas com produção e plantas cujos frutos haviam sido removidos na fase de chumbinhos. Apesar da diferenciação ter sido mais acelerada nas plantas sem frutos, o florescimento ocorreu na mesma época nos dois grupos de plantas. A diferenciação de gemas florais, em várias árvores frutiferas (decíduas), sofre inibição quando coincide com a presença de frutos em suas fases iniciais de desenvolvimento. Demonstrou - se que, em macieiras, são as sementes que exercem um efeito inibitório sobre a formação de gemas florais. Várias auxinas e giberelinas são produzidas pelas sementes (MONSELISE E GOLDSCHMIDT, 1982). A ação inibitória de algumas giberelinas sobre a diferenciação de gemas florais foi observada em várias árvores frutíferas (JACKSON & SWEET, 1972; ZEEVAART, 1976; PHARIS, 1957; MOSS

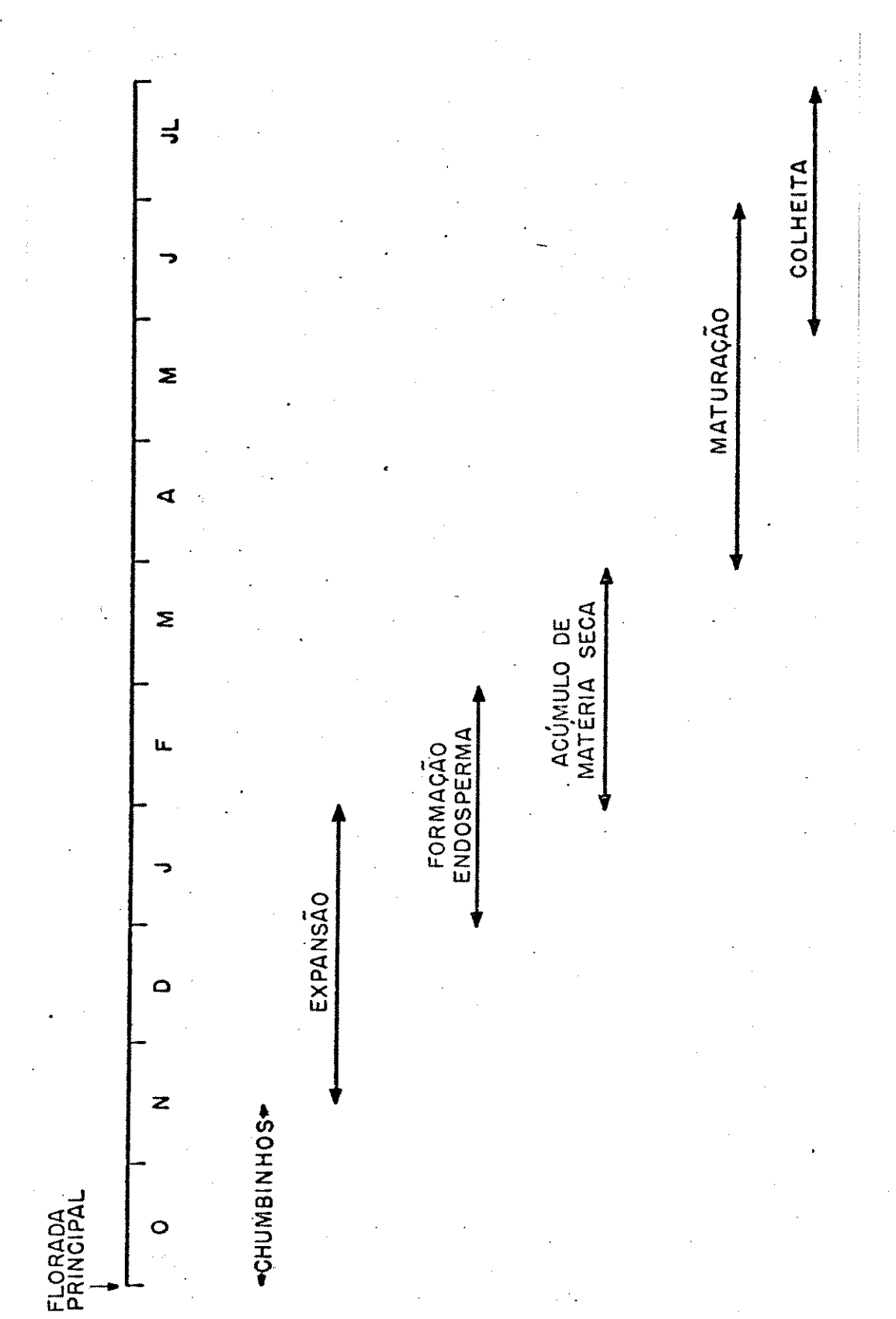
E BEVINGTON, 1977; BUBAN & FAUST, 1982; MONSELISE & GOLDSCHMIDT, 1982) e em cafeeiros arábica (CANNELL, 1971c). OPILE (1979) do sou o teor endógeno de reguladores de crescimento em frutos de cafeeiro cultivados em Quênia. A atividade das giberelinas foi máxima quando as sementes já estavam completamente formadas, em plena fase de acúmulo de matéria seca (22ª semana após a antese). A partir da 24ª semana, a atividade da fração de giberelinas tor nou-se praticamente nula.

As características da diferenciação e crescimento reprodutivos, entre os meses de março e junho de 1980, 1981 e 1982, puderam ser associadas aos diferentes níveis de produção das plantas estudadas (Figura 20). A rápida aceleração do crescimento durante o mês de junho de 1980 e 1981 se deu imediatamen te após a colheita parcial dos frutos no final de maio (38% em 29/5/80; 82% em 30/5/81; Tabela 1). Deve-se ressaltar que na época predominavam temperaturas infra-ótimas para o cafeeiro (média mensal de 17°C em 1980 e 16,3° em 1981). A tendência exponencial assumida pela curva de crescimento das gemas em julho de 1982 coincidiu com a colheita de 100% dos frutos no final de junho (24/6/82). Ao mesmo tempo, as temperaturas mantiveram-se elevadas nos meses de junho e julho (médias mensais de 18,4°C e 18,0°C).

A comparação entre os cultivares Bourbon Amarelo e <u>Ca</u> tuai Vermelho, em 1982, também produziu informações esclarec<u>e</u> doras sobre a influência dos frutos no processo de desenvolvimento reprodutivo. Neste ano, os cafeeiros do cultivar Bourbon Amarelo também caracterizaram-se pela alta produção. Mas a quan tidade de frutos foi aproximadamente quatro vezes menor do que

a produção do Catuai Vermelho (Tabela 1). O florescimento de Bourbon Amarelo distribuiu-se entre os meses de agosto e bro de 1981, sendo que, na florada principal (12/10/81), antese de 56,7% dos botões florais. Já o florescimento de Catuai Vermelho concentrou-se na florada principal (12/10/81) correspondido a 73,3% dos botões florais produzidos em 1981 (Ta bela 7). As combinações entre a distribuição das floradas e a quantidade de frutos devem afetar de maneira diversa as ativida des reprodutivas dos cafeeiros, principalmente durante a de desenvolvimento das sementes. A Figura 57 representa, de esquemática, a sequência das fases de desenvolvimento dos fru tos ao longo do tempo, segundo as informações de WORMER & NJUN GUNA (1966), obtidas em Quênia. Considerou-se válido utilizar a cronologia estabelecida por WORMER & NJUGUNA (1966) porque tempo necessário para a maturação dos frutos de C. arabica nas condições de Quênia (29-35 semanas) e de Campinas (30-35 semanas) e semelhan te. A etapa de acumulo de matéria seca nas sementes (formação das reservas de endosperma) originadas nas floradas principais de outubro coincidiria com os meses de fevereiro e março. Aparentemente, a intensificação do crescimento e desenvolvimento reprodutivos no cultivar Catuai Vermelho - a partir de abril de 1980 e 1982e do cv. Bourbon, a partir de fevereiro/março de 1982, pode es tar relacionada ao término da época principal de assimilação de matéria seça pelos frutos. A quantidade de frutos parece influenciado as taxas de crescimento das gemas reprodutivas até a época da colheita, sendo que seu efeito mais marcante foi re gistrado em 1981 (Figura 20).

A existência de um componente hormonal, na restrição ao desenvolvimento reprodutivo pelos frutos, foi sugerida pela



longo do tempo, teoricamente adaptado para as condições de Campinas, de aco<u>r</u> Figura 57 - Representação esquemática das fases de desenvolvimento dos frutos ao do com o trabalho de WORMER & NJUNGUNA (1966).

curva de crescimento de 1981. Neste ano, os frutos da florada principal amadureceram no início de maio (6/5/81), o que significa que as exigências nutricionais dos frutos foram reduzidas a um mínimo a partir deste período. Todavia, as maiores taxas de crescimento so foram alcançadas em junho, apos a colheita parcial dos frutos em 29/5/81 (Figura 19).

No âmbito do presente estudo, não foi possível identi ficar a influência da temperatura e das condições hibricas bre a diferenciação e crescimento reprodutivos, entre os meses de março e junho (Figuras 55, 56, 58), TROJER (1956) que a diferenciação de gemas florais, em Chinchiná (5ºN Colombia) ē intensificada nos períodos de seca. WORMER & GITUANJA (1970a) consideraram que as temperaturas mais amenas do ano favorecem a diferenciação nas condições de Riuru e Mariene (1º\$), em Quênia. KUMAR (1979b, 1982) argumentou que as evidências descritas na literatura sobre o cafeeiro são suficientes para se supor um estresse hídrico moderado estimule a diferenciação de estrutu ras reprodutivas. Na concepção do autor, a elevação dos níveis endogenos do ácido abscísico (ABA), em função do deficit hidri co, estimularia a diferenciação de gemas florais. Os resulta dos aqui discutidos indicam que as condições endógenas dos ca feeiros (produção, vigor vegetativo e estado nutricional) exer cem um efeito dominante sobre o processo de desenvolvimento re produtivo no periodo anterior e posterior a colheita (março junho). De acordo com CAMARGO:et al (1979), estudos visando e s tabelecer as relações entre os fatores climáticos e as ções da produtividade do cafeeiro devem, necessariamente, consi derar a produção do ano anterior para atender aos efeitos do ci clo bienal. Caso contrário, a importância das variáveis climá

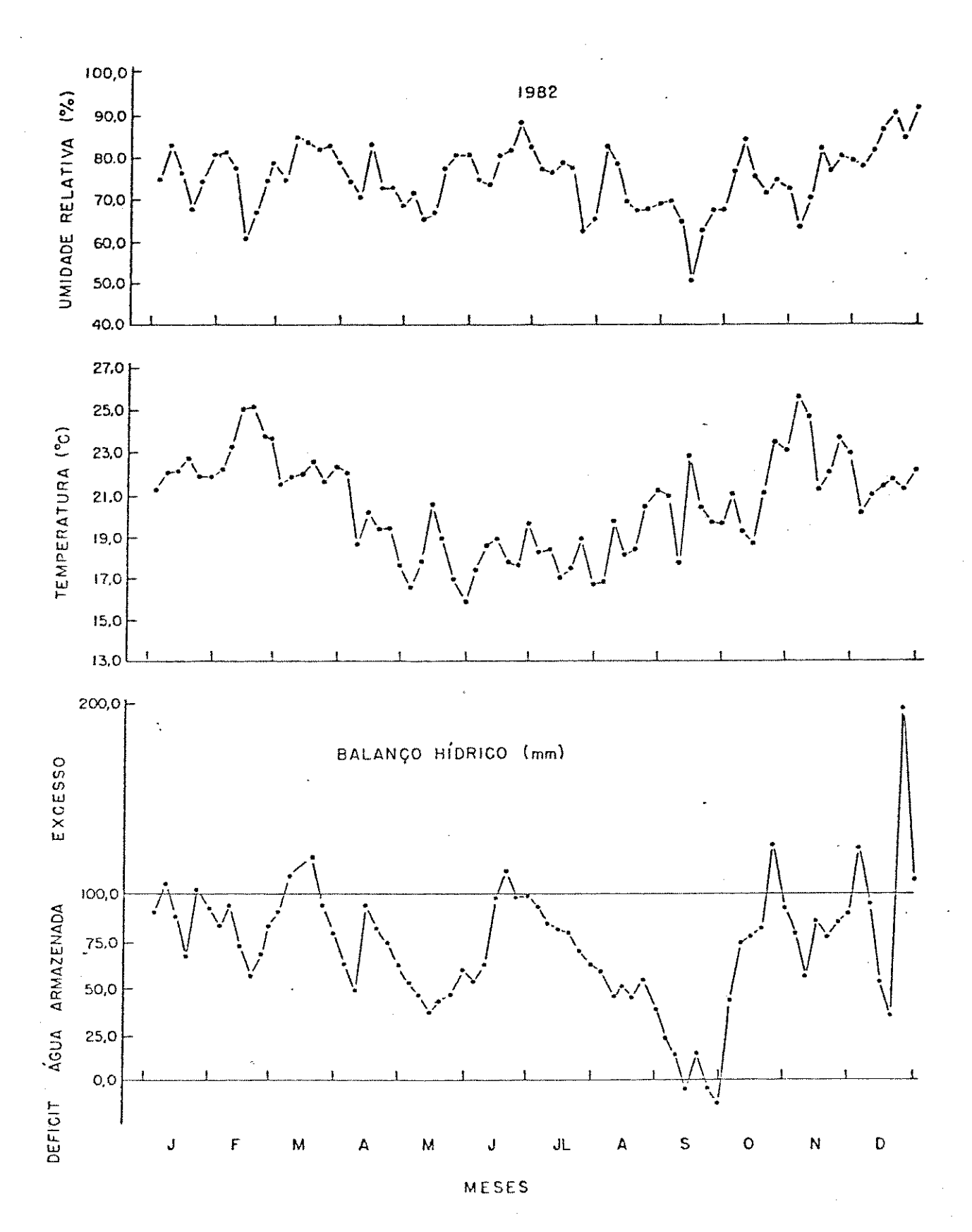


Figura 58 - Condições climáticas de Campinas em 1982: tem peraturas médias (°C), umidade relativas (%) e balanço hídrico, segundo modelo de THORNTHWAITE (1948), modificado por CAMARGO (1977), plotados por pêntadas.

ticas ficaria mascarada pela influência que a produção de um ano exerce sobre a do ano seguinte.

A nitida redução do crescimento das gemas reprodutivas, em torno do mês de julho de 1980 e 1981, parece ser resultado de restrições ambientais. Aparentemente, a temperatura foi o fator mais importante. As menores taxas de crescimento situaram-se entre 23/6 e 7/7 em 1980 e entre 16/7 e 1/8 em 1981, periodos marcados pelas temperaturas mais baixas do ano - média de 16°C em 1980 e de 15,1°C em 1981 (Figuras 19, 55 e 56). A retomada do crescimento durante o mês de agosto coincidiu com a elevação da temperatura e com o aumento dos niveis de deficit hidrico (Figuras 19, 55 e 56).

As altas taxas de crescimento das gemas reprodutivas observadas em julho de 1982 podem ser atribuídas à remoção to tal dos frutos em 24/6/82 e às temperaturas que oscilaram em torno de 18°C. A faixa térmica favorável ao cafeeiro arábica situa-se entre 18°C e 21°C (ALEGRE, 1959; CAMARGO, 1977), Não houve restrição à disponibilidade de água no período (Figuras 20°) e 58).

A diminuição das taxas de crescimento, na etapa final das curvas de crescimento, pode ser associada à transição da grande maioria das gemas florais para o estado de dormência, e vento amplamente conhecido nas regiões cafeeiras com periodos chuvosos e secos bem definidos (Figuras 23, 24, 25b, 26 e 27b).

## 3. FLORESCIMENTO DE COFFEA ARABICA EM 1980, 1981 e 1982

As gemas florais de Coffea arabica, apos tornarem - se externamente visíveis, desenvolvem-se até cerca de 4-6mm quando paralizam o seu crescimento (Figura 59; FREDERICO & MAESTRI,1970; SONDAHL & SHARP, 1979). A fase de dormência das gemas florais coin cide com a estação mais seca do ano (Campinas - julho a bro). Em Campinas, o período de florescimento é caracterizado pela ocorrência de sucessivas floradas. Após precipitações sionais, as gemas florais crescem rapidamente e a abertura das flores ocorre aproximadamente 10 dias após as chuvas. Normalmen te, uma das floradas é mais intensa, sendo denominada principal. As diversas floradas, registradas entre os meses de agosto e novembro, são consequência do processo assincrônico diferenciação e crescimento das gemas reprodutivas e da buição das chuvas no período. A florada principal se dã setembro e outubro, após o restabelecimento de um balanço co favorável ao cafeeiro (Figura 54).

Os gráficos representativos das precipitações diárias (Figura 34), da umidade relativa do ar e do balanço hídrico (Figura 55) mostram claramente que as duas primeiras floradas do cultivar Catuai Vermelho, no ano de 1980, foram promovidas por precipitações que pouco afetaram o deficit hídrico vigente (Tabela 4). Segundo o modelo de THORNTHWAITE (1948), as plantas já teriam dificuldade de utilizar a água armazenada abaixo de 25 mm. Durante o período seco, as oscilações de temperatura de monstraram ter maior influência sobre a umidade relativa do ar do que as chuvas eventuais de pequena intensidade. A umidade

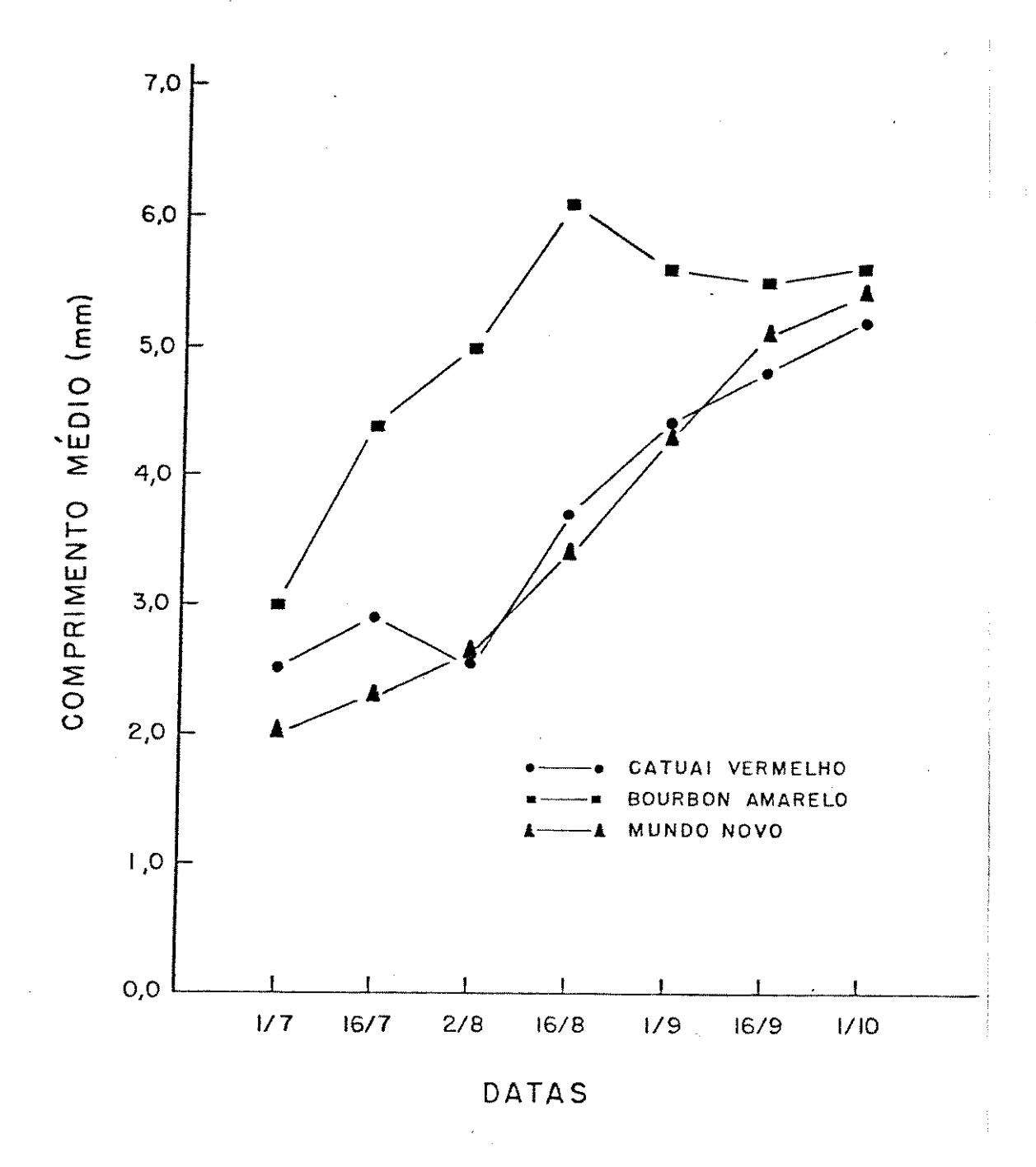


Figura 59 - Curvas de crescimento de gemas florais, situadas em inflorescências desenvolvidas a partir das gemas seriadas G<sub>1</sub>, pertencentes a <u>ca</u> feeiros dos cultivares Catuai Vermelho, Mundo Novo e Bourbon Amarelo no período de 1/7 a 1/10/81.

relativa do ar variou entre 70% e 62% entre os meses de julho e setembro, sendo que o progressivo aumento das temperaturas a centuou mais ainda a demanda evopotranspiratórica do ar. A <u>flo rada principal</u> de 1980 (1/10/80 - 64,2%) somente ocorreu após um nível de precipitação suficiente para o restabelecimento de um balanço hídrico favorável as atividades do cafeeiro (56,8 mm - 18 a 22/9/80; Figuras 34 e 55). Níveis pluviométricos inadequa dos, neste período, causam o surgimento de anomalias florais e, consequentemente, queda na produção (BARROS et al, 1978).

Em 5/8/81, registrou-se uma florada de ordem de 10,5% nas plantas do cultivar Bourbon Amarelo (Tabela 6). A Figura 56 indica a existência de plena disponibilidade de água no solo du rante a 1ª quinzena de julho. A umidade relativa do ar ceu rapidamente, tendo variado de 70% para 57% no periodo. rios autores sugeriram que um estresse hídrico acentuado pode de senvolver-se em cafeeiros, sem limitação de umidade nas raizes, quando a demanda evapotranspiratória doar é muito elevada (BOYER, 1969; BROWNING & FISHER, 1975; KUMAR, 1979b; KUMAR & TIEZEN, 1980b; JARAMILLO & VALENCIA, 1980). Na 2ª quinzena de julho, a tendência inverteu-se, havendo um rápido aumento na umidade re lativa do ar que passou de 57% para 71% entre 15 e 20/7/81. mesmo tempo, foram registradas pequenas precipitações-3,0 mm(19 e 20/7/81) e 2,5 mm (25 e 26/7/81; Figura 37), e grandes quedas na temperatura  $(18,0)^{\circ}$ C para 13,5 $^{\circ}$ C - 15/7 a 25/7). Diante destas condições, seria lícito supor que as plantas de Bourbon Amarelo floresceram em resposta ao restabelecimento de um balanço hídri co favoravel devido a eventos atmosfericos, não envolvendo alte rações nos níveis de umidade das raízes. ALVIM (1973) sugeriu esta explicação ao contestar a hipótese de que as rápidas que

das de temperatura atuariam diretamente no estímulo à antese...

Deve-se ressaltar que a geada de 20/7/81 não afetou as plantas de Bourbon Amarelo.

As precipitações registradas em 19/8/81 (11,8 mm,Figura 37) foram suficientes para promover a abertura de flores nos cafeeiros dos cultivares Catuai Vermelho e Bourbon Amarelo em 1/9/81, mas não causaram modificações apreciáveis na água armazenada e na umidade relativa do ar (Figura 56; Tabelas 5 e 6).

A 1ª florada do Bourbon Amarelo (5/8/81) juntamente com as diferenças de magnitude entre as floradas dos cafeeiros de Catuai Vermelho (9.5%) e Bourbon Amarelo (24,2%), em 1/9/81, evidenciaram a interação entre as condições climáticas e as características endógenas das plantas. A major precocidade no florescimento de Bourbom Amarelo coincidiu com os dados de crescimento e desenvolvimento reprodutivos.

As intensas chuvas ocorridas entre 3/10 e 8/10/81, to talizando 74,5 mm, promoveram a florada principal de 1981 (12 / 10/81, Figura 37). Apesar do acentuado nível de estresse a que as plantas estiveram submetidas, a proporção de atrofias florais ("estrelinhas" e gemas secas) foi bem inferior ao esperado (6,5% no Catuai;9,1% no Bourbon). CAMARGO et al. (1979) efetua ram regressões múltiplas entre a produção cafeeira e os parâme tros meteorológicos ocorridos em diferentes meses, bimestres e trimestres do ano anterior. A precipitação pluvial e a frequência de chuvas foram os parâmetros climáticos que apresentaram melhores correlações com a produtividade cafeeira nas 6 localidades do Estado de S. Paulo estudadas. O trimestre julho- agos to-setembro e o bimestre julho-agosto foram os períodos que a

presentaram as correlações mais significativas. Os autores con cluiram que precipitações muito baixas na época de diferencia ção das gemas florais e durante o florescimento tiveram grande influência sobre a produtividade cafeeira.

O outono e o inverno de 1982 destacaram-se por ces pluviométricos excepcionalmente elevados. Na época da 19 e 2ª floradas (22/8 e 29/8/82) a agua disponível encontrava-se a cima de 50 mm (Figura 58). Entre 5/8 e 15/8 a umidade relativa decresceu de 83% para 70%, mantendo-se nesse nível até o final de agosto. As chuvas associadas às duas floradas (Figura 39), não provocaram modificações visíveis na umidade relativa do e no nivel de água armazenada no solo (Figura 58), sugerindo que seus efeitos resultaram de alterações momentâneas no estado hi drico dos cafeeiros. As circunstâncias das floradas prelimina res de 1980 e 1981 (1ª e 2ª floradas) foram parecidas, mas a s plantas estudadas estavam submetidas à condições de deficit hí drico. Nas condições experimentais de MAGALHÃES & ANGELOCCI (1976), o efeito da irrigação na quebra da dormência foi buido à existência de uma brusca reversão do gradiente de poten cial da agua entre as gemas florais e as folhas subjacentes.

Os cafeeiros experimentaram estresse de água durante o mês de setembro de 1982, quando registraram-se deficits hídri cos (segundo THORNTHWAIT, 1948). As umidades relativas oscila ram entre 70% e 51% (Figura 58), Há indícios de que a 3ª flora da ocorreu em função do rápido aumento da umidade relativa do ar que acompanhou a precipitação do dia 19/9/82 (2,0 mm):de 51% para 63% entre 15 e 20/9/82. Cabe destacar a grande sensibilidade das plantas de Bourbon Amarelo às oscilações de umidade re

lativa do ar. Nestes cafeeiros registrou-se a abertura de 28% de botões florais durante a 3ª florada.

As precipitações elevadas dos dias 2 e 3/10/82 (47,0mm) induziram as floradas mais intensas no cultivar Catuai Vermelho (10/10/82, Tabelas 8 e 9).

Os dados de 1982 sugeriram que um estresse hídrico acen tuado não é uma condição necessária para que as floradas ocor ram. Entretanto, a seca, além de concentrar as floradas impedir a antese prematura das gemas florais mais adiantadas) . parece promover a aceleração da etapa final de diferenciação das gemas florais. Pode-se supor que algum processo associado estresse hídrico contribua para o estabelecimento da maturidade fisiologica das gemas florais. BROWNING (1977) acredita que a dormência das gemas florais assim como a sua liberação envolvem um mecanismo no qual o ABA (ácido abscísico) e o GA (ácido gibe rélico) exerceriam um papel fundamental. O ABA, aplicado viamente sobre as gemas florais, teve capacidade de inibir o e feito da irrigação ou da chuva, mas à medida que o estresse hidri co se acentou sua eficácia decresceu (BROWNING, 1977). De modo oposto, o poder estimulatório do GA, sobre as gemas florais au mentou com o prolongamento da seca (ALVIM, 1958, 1960b; BROWNING, 1971). Há, portanto, indícios experimentais de que a maturidade fisiologica das gemas florais seja favorecida pela seca.

As plantas mais jovens do cultivar Catuai Vermelho (4 anos de idade) revelaram-se um pouco mais precoces nas duas primeiras floradas de 1982 (Tabelas 8 e 9). Este fato há havia si

do constatado numa avaliação dos estádios morfológicos em 27/7/82 (Tabela 34). FAZUOLI (1977) demonstrou que o fenômeno de produção bienal somente se manifesta a partir do 69 ano de idade em alguns cultivares de Coffea arabica. Talvez o balanço entre a estrutura vegetativa (incluindo raízes) e a produção seja mais favorável ao desenvolvimento reprodutivo nas plantas mais jovens.

As observações sobre o florescimento, durante três anos consecutivos, envolvendo diversos cultivares Coffea axabi - ca (Tabelas 4 a 10), indicaram que as gemas seriadas  $G_1$  e  $G_2$  são as principais responsáveis pela produção de flores e frutos. Da mesma forma, a desuniformidade de florescimento e maturação resultam, principalmente, da assincronia na diferenciação e desenvolvimento das gemas florais originadas a partir das gemas  $G_1$  e  $G_2$ .

### 4. MATURAÇÃO DOS FRUTOS EM COFFEA ARABICA

O estudo da maturação dos frutos, provenientes das quatro floradas sucessivas registradas em 1980, vem confirmar que a desuniformidade de maturação resulta da defasagem entre as floradas do ano anterior (Figura 43). O número de dias entre a antese e maturação (80% de frutos vermelho-escuros) foi seme lhante para as quatro floradas (220 dias, 217 dias e 225 dias). O padrão das curvas de maturação das três primeiras floradas , aparentemente, está relacionado com as temperaturas dos meses de abril e maio (20,8°C e 19,7°C, respectivamente; Figura 52).

Tabela 34. Estádio morfológico médio das gemas seríadas  $G_1$  em 27/07/82 (cafeeiros do cv. Catuai Vermelho).

Limites de confi				
Idades	X	S	$(\alpha = 0,05)$	
4 anos	5,7	1,1	5,7 ± 0,7	
8 anos	4,7	0,9	4,7 ± 0,6	

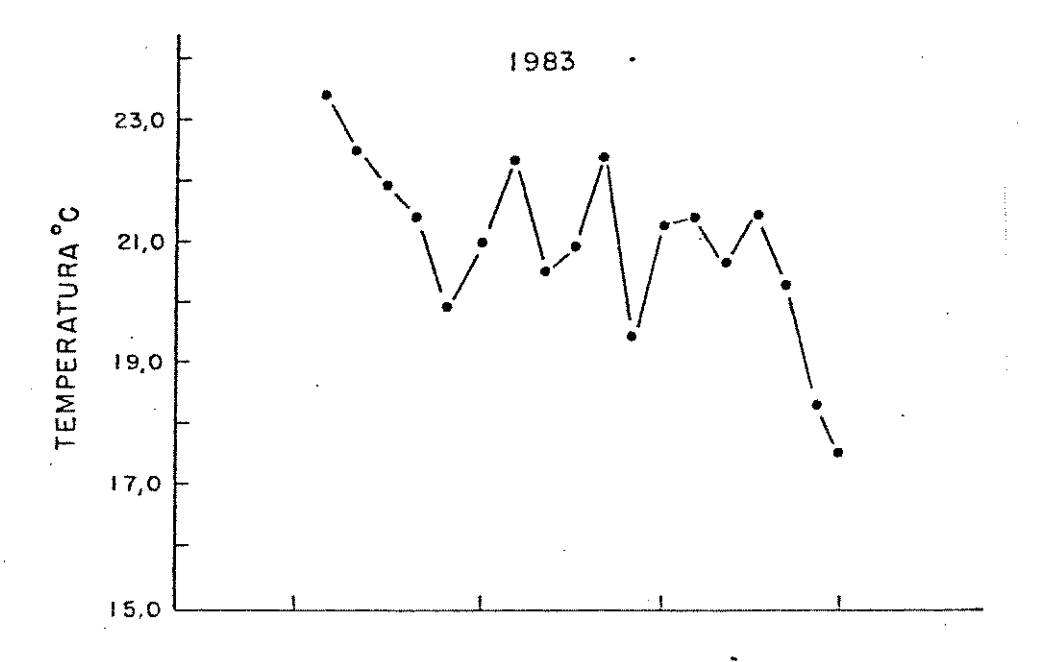
0 processo de maturação dos frutos das floradas principais de 1980 e de 1981 foi semelhante (Tabela 11 e Figura 44). Entretanto, a formação de frutos vermelho-escuros foi um pouco mais lenta em 1982, possivelmente, porque coincidiu com a predominância de temperaturas baixas (maio/82 - 17,8°C; Figuras 54). A mesma etapa, em 1981, se deu num período em que as temperaturas mantiveram-se em torno de 20,6°C (Figura 52).

O atraso da maturação, em 1983, esteve associado condições do tempo anormais durante os meses de abril e maio(Fi gura 44). A Tabela 35 e a Figura 60 mostram que as chuvas foram excessivas, bem distribuídas e que o tempo permaneceu blado ou encoberto durante a maior parte do período de ção (25 dias em abril e 25 dias em maio), o que resultou numa sensivel diminuição do número de horas de insolação. A ção da energia radiante deve ter sido um dos principais fatores responsaveis pelo atraso na maturação dos frutos neste TROJER (1968; Colombia) relatou que nas áreas de maior altitude, caracterizadas pela maior nebulosidade,o pro cesso de maturação é mais lento. Provavelmente, a diminuição das temperaturas com a altitude também contribui para a maior lentidão do amadurecimento. A discrepância do processo entre os cafeeiros de 9 anos e 5 anos de idade foram relacionadas à posi ção dos ramos na copa dos cafeeiros. Nas plantas mais jovens, os ramos situavam-se no terço superior das plantas. Nos cafeei ros de 9 anos de idade, os ramos localizavam-se no terço médio da copa, o que deve ter ocasionado uma restrição adicional recebimento da energia radiante. Normalmente, os frutos locali zados nas regiões sombreadas do cafeeiro, principalmente na por ção basal da copa (saia), amadurecem mais tardiamente. Pelo mes

Tabela 35. Condições climáticas nos meses de abril e maio de 1981, 1982 e 1983.

	Abril			Maio		
Anos	chuvas (mm)	nº dias claros	nº horas de brilho solar	chuvas (mm)	nº dias claros	nº ĥoras de brilho solar
1981	21,4	10	240,2	24,8	17	253,9
1982	68,6	13	252,2	33,4	12	227,5
1983	140,5	5	179,9	257,6	6	160,5

Dados meteorológicos do Centro Experimental de Campinas. (Seção de Climatologia).



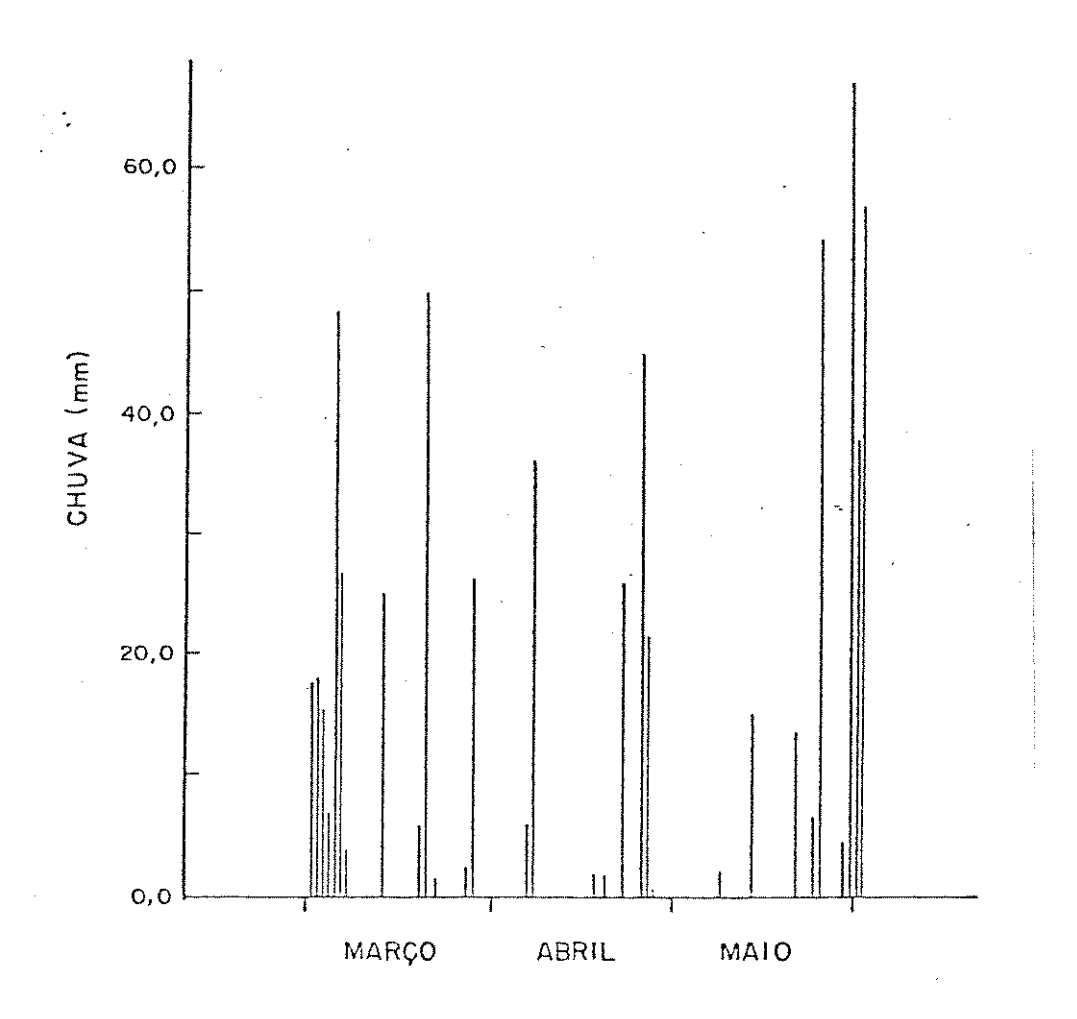


Figura 60 - Gráfico representativo das temperaturas médias (°C) e da precipitação diária (mm) entre 1/3 e 31/5/83. Dados do Centro Experimental de Campinas (Seção de Climatologia).

mo motivo, a maturação tende a ocorrer do ápice para a base num mesmo ramo lateral. A diferença entre os ramos controle e os ramos da florada principal, nas plantas de 9 anos de idade, tam bém pode ser atribuída à localização dos ramos na copa das plantas (Figura 45b). A queda abrupta dos valores percentuais, a partir de 17/5/83, foi ocasionada pelas intensas precipitações do final de maio. As chuvas, no período de maturação máxima , promovem a ruptura dos pericarpos e o colapso dos pedúculos, a carretando a senescência prematura dos frutos (Figura 60).

Tendo em vista os presentes resultados. pode-se suge rir que o espaço de tempo entre a antese e a completa maturação dos frutos foi influenciado pelas condições climáticas reinantes durante a transição para a etapa de maturidade fisiológica plena (Figuras 3 e 4). Os fatores climáticos mais importantes para a maturação parecem ser a temperatura e a radiação solar, dentro de um mesmo genótipo (cultivar).

CAMARGO (1977) relatou que o cafeeiro arábica, quando cultivado acima de 23°C, apresenta frutos com desenvolvimento e maturação muito precoces, coincidindo com a época úmida e quente (fevereiro-março). Temperaturas médias anuais inferiores a 18°C provocam grande atraso no desenvolvimento dos frutos cuja maturação se dá na época da florada seguinte. Segundo TROJER (1968), o ciclo produtivo do cafeeiro na Colombia, do florescimento à colheita, dura, em média, 215 dias a 5°N e 240 dias a 11°N. Em Chinchiná (5°N, Colombia; GOMEZ, 1977) e em Campinas (22°53'S, SONDAHL & SHARP, 1979) os frutos de Coffea arabica a madurecem em cerca de 224 dias após a abertura das flores. A maturidade fisiológica dos frutos de Coffea arabica cv. Mundo No

vo, nas condições de Lavras (MG), foi atingida 220 dias após o florescimento. Em Quênia (RIURU - 1°S) a maturação dos frutos ocorre entre os 206 e 266 dias posteriores à ântese. Aparente ente, nas áreas aptas ao cultivo de Coffea arabica (faixa termi ca entre 18° a 23°C) o tempo necessário para o amadurecimento dos frutos oscila entre 206 e 266 dias. Esta variação pode ser atribuída a diferenças fenotípicas entre cultivares, bem como diferenças em latitude e altitude das plantações comerciais.

A maior precocidade do cultivar Arábica está de acordo com os dados da literatura (MENDES, 1951). O Bourbon AAmare lo é mais tardio que o Arábica (MENDES, 1951), porém, em relação ao Mundo Novo tende a ser mais precoce (FAZUOLI, 1977). A inversão da ordem de amadurecimento, em 1982, pode ser atribuída à precária condição vegetativa do Bourbon Amarelo na época da maturação em oposição ao ótimo vigor das plantas de Mundo Novo (Tabela 12). O cultivar Catuai Vermelho demonstrou ser um pouco mais tardio em 1982. A maturação dos frutos neste cultivar, somente acelerou-se 197 dias após a ântese (27/4/81). Nos demais cultivares, o processo acelerou-se 185 dias a pós a antese (15/4/81; Figura 46).

5. EFEITO DE FITORREGULADORES EXÓGENOS SOBRE AS GEMAS REPR<u>O</u>S

DUTIVAS DE *COFFEA ARABICA* cv. CATUAI VERMELHO

Os experimentos efetuados em 1981 e 1982 visaram obter informações sobre a ação de reguladores de crescimento nas diferentes fases de desenvolvimento das estruturas reprodutivas do cafeeiro, ou seja, na diferenciação e antese das gemas florais.

#### 5.1. Experimentos de 1981

Em 1981, os reguladores de crescimento foram aplica dos sobre inflorescências contendo gemas florais já diferencia das (dormentes) ou em estádio avançado de diferenciação anatômica e fisiológica. Deve-se destacar que os cafeeiros experimentaram um stress hídrico severo durante os meses de agosto e se tembro de 1981 (Figuras 37 e 56).

O fitorregulador  $GA_{4-7}$ , aplicado nas duas épocas, foi capaz de promover a antese de maior quantidade de flores floradas que antecederam a florada principal de 1981 (10/10/81). O GA<sub>4-7</sub> atuou ampliando o efeito estimulatório das precipitações e alterações atmosféricas (umidade relativa do ar e temperatura do ar) responsáveis pelo estímulo da antese. O efeito mais nunciado do  $GA_{4-7}$  ocorreu em 29/7/81, nos ramos da  $ilde{e}$ poca I e em 10/9/81, nos ramos da época II. A indução das flores observa das nas duas datas esteve associada a rapidos aumentos na umida de relativa do ar e a precipitações de baixa intensidade que terromperam o período de déficit hídrico. BROWNING (1977), Quênia, destacou que o estímulo da antese pelas chuvas indepen de de seus efeitos sobre a umidade do solo, podendo ser atribu<u>í</u> do à rápida redução da temperatura do ar. ALVIM (1973) defendeu a hipótese de que as rápidas reduções na temperatura de forma indireta, promovendo bruscas alterações no estado hί drico dos cafeeiros.

BROWNING (1971) observou que pulverizações de  $GA_3$  (50 e 100 ppm), efetuadas após precipitações, aumentaram significativamente a proporção de flores abertas. Alguns autores demons

traram que giberelinas, aplicadas sobre gemas florais, podem substituir o estímulo gerado pelas chuvas ou pela irrigação (ALVIM, 1958, 1960a; BROWNING, 1971). BROWNING (1973a) verificou que o nível endógeno de giberelinas, nas gemas florais, aumenta rapidamente nos quatro primeiros dias que se seguem ao estímulo ambiental da antese, declinando quando as gemas começam a crescer e absorver água rapidamente.

Na literatura sobre o cafeeiro não foram encontrados <u>e</u> lementos para se discutir o papel dos tratamentos GN-I e GN-II na redução do número de gemas florais dormentes durante a flora da principal. Aparentemente, o estímulo da abertura de maior número de flores, antes da florada principal de 1981, pode ser <u>a</u> tribuído  $\tilde{a}$  ação isolada do  $GA_{4-7}$ .

As atrofías florais mais comuns na florada principal de 1981 foram as "estrelinhas", que se caracterizam pela segmentação do terço superior da corola e pelo estigma projetado acima da altura da corola. Normalmente, este tipo de anormalidade surge quando existem condições desfavoráveis ao desenvolvimento dos botões florais em direção à antese, tais como: temperaturas elevadas (MES, 1957) e baixas (ALCIDES CARVALHO, informação pessoal) e chuvas insuficientes (BARROS et al, 1978). Os tratamentos que incluiam o  $GA_{4-7}$  e o NAA aumentaram significativamente o percentual de atrofias florais (Tabelas 15 e 21). O  $GA_{4-7}$  contribuiu para elevar o índice de anormalidades apenas na época li. Nos meses de agosto e setembro de 1981, os cafeeiros experimentaram um estresse hídrico pronunciado.

Os tratamentos da época II, particularmente o GA<sub>4-7</sub>, provocaram uma grande abscisão das flores abertas até 10/9/81, o mesmo não se dando nos ramos tratados na época I (Tabelas 16 e 22). As flores estimuladas pelos tratamentos GA-II e GN-II abriram num período de acentuado déficit hídrico (Figura 56). Provavelmente, o nível de hidratação dos tecidos não foi suficiente para garantir o desenvolvimento normal dos botões florais estimulados a abrir, causando distúrbios fisiológicos não aparentes durante a antese.

Os tratamentos de 1981 também produziram efeitos, ain da que pequenos, sobre a retenção dos frutos originados durante as floradas. Na época I apenas o GA<sub>4-7</sub> diminuiu a retenção dos frutos ao passo que, na época II, a diminuição do pegamento de frutos manifestou-se no tratamento GN-II (Tabelas 17 e 23).

Os dados obtidos em 1981 indicam que os estudos visam do a utilização de reguladores de crescimento no controle do florescimento de Coffea arabica devem ser criteriosos e detalhados. Caso contrário, poderão causar distúrbios florais responsáveis por grandes prejuízos ao cafeicultor.

Pode-se supor que o efeito estimulatório do GA<sub>4-7</sub> tenha sido mais amplo, sofrendo no entanto, limitações em sua expressão devido ao grande deficit hídrico imposto as plantas nos meses de agosto e setembro de 1981.

## 5.2. Experimentos de 1982

Com as pulverizações de  $\underline{1982}$ , objetivou-se produzir modificações mais profundas sobre o processo de desenvolvimento reprodutivo, atingindo-se as gemas florais em suas fases iniciais de diferenciação. Os ramos pulverizados na época I (20,27 e 27/5/82) apresentaram grande parte de suas gemas  $G_1$  nos estádios 3 e 4. Durante as aplicações da epoca II (29 e 30/6 e 1/7/82), a maior parte das gemas  $G_1$  encontrava-se no estádio 4.

As taxas de diferenciação morfológica não foram afeta das por nenhum dos tratamentos aplicados em 1982 (Tabelas 24 e 28). Apesar disso, o  $GA_{4-7}$  pulverizado na época I produziu um aumento significativo ( $_{\rm p}<0.05$ ) do percentual de flores abertas durante as duas primeiras floradas, sugerindo uma possível aceleração do processo de diferenciação de uma parcela das ge mas florais.

A pequena resposta das gemas reprodutivas aos regul<u>a</u> dores de crescimento aplicados em maio (época I) e junho (época II) podem estar relacionados as seguintes hipóteses:

- (1º) Baixo nível de absorção da forma ativa dos fitor reguladores pelas gemas reprodutivas.
- (2º) Mesmo havendo absorção dos fitorreguladores, o aumento artificial do nível endogeno não teria sido efetivo para alterar o processo de diferenciação.

(3º) A precipitação e a umidade durante o ano agrícola de 1982 foram anormais, havendo seca apenas no mês de setembro.

A primeira hipótese é muito provável devido às carac terísticas morfológicas da maior parte das gemas  $\mathbf{G}_{\uparrow}$  durante pulverizações de fitorreguladores. Nos estádios 3 e 4 as são volumosas e têm a região apical impermeabilizada por uma cera que é abundantemente produzida por pelos grandulares. Após a emergência das gemas florais (estádios 5, 6 e 7) surge grande número de reentrâncias que facilitam a penetração dos fi torreguladores, além de haver um considerável aumento da superfí cie externa capaz de absorver as substâncias aplicadas. Sob se ponto de vista, seria mais adequado trabalhar-se com plantas individuais como unidades experimentais básicas. Pulverizando --se integralmente a copa dos cafeeiros, a área de absorção ria muito maior, havendo maiores chandes de se alterar, de fato, o nivel endógeno de fitorreguladores dos cafeeiros e, em conse quência, das gemas reprodutivas.

Na literatura específica foram encontrados poucos es tudos sobre a determinação do nível endógeno de fitorregulado res durante o processo inicial de diferenciação das gemas reprodutivas de Coffea arabica. Existem evidências experimentais de que o ácido giberélico (GA3) produz um efeito inibitório sobre a diferenciação de gemas florais em Coffea arabica. CANNELL (1971a), em Quênia, obteve sucesso ao empregar pulverizações de GA3 (100 ppm - 8 aplicações) para alterar o padrão de florescimento e frutificação. O GA3 inibiu a formação das gemas flo

rais que seriam responsáveis pela primeira época de florescimen to, acarretando uma elevação de 91% na quantidade de flores que participaram da 2ª época de florescimento. Entretanto, o ácido giberélico causou inúmeras modificações indesejáveis na parte aé rea dos cafeeiros, tais como: alongamento dos internos, diminuição do tamanho das folhas e alteração do formato das folhas, deixan do a copa das árvores menos densa e talvez mais vulnerável ã ação dos ventos. KUMAR (1982), estudando anomalias florais Quênia, verificou que plantas saudáveis "sem capacidade de flo rescimento" apresentavam uma atividade de giberelinas, em tecidos foliares, aproximadamente dez vezes superior à das plan tas com florescimento normal. KUMAR (1978) determinou que sombreamento excessivo elevava a atividade endogena das gibereli nas. Em cultivos cuja densidade de plantio superava 6000 tas/ha houve expressivo aumento da atividade das giberelinas sendo evidente a menor diferenciação das gemas reprodutivas. efeito limitante do sombreamento sobre a produção de flores frutos em Coffea arabica é um fenômeno bem conhecido (CASTILLO & LOPEZ, 1966).

Um fator que pode ter interferido com a ação dos fitorreguladores aplicados nas épocas I e II foi a alta pluviosidade do mês de junho de 1982 (170,6 mm; normais de Campinas -53,8 mm).

Na época III de pulverizações (3/9/82), o efeito mais notório dos tratamentos  $GA_{4-7}$ -III e GAB-III foi a significativa elevação do número de gemas florais inviáveis durante a florada principal (10/10/82). O  $GA_{4-7}$ , aplicado em 17/9/82 (época IV),

promoveu a antese de um grande percentual de gemas florais na 3ª florada (41,7%;29/9/82). O efeito estimulatório das altera ções ambientais que acompanharam a precipitação do dia 19/9/82 (2,0 mm) foi portanto "amplificado" pelo  $GA_{4-7}$ . Alguns pesquisadores verificaram que as respostas às pulverizações de  $GA_3$  se intensificaram com o prolongamento da seca (ALVIM, 1960a, 1960b, e BROWNING, 1971). De acordo com BROWNING (1971), a seca contribuidade isivamente para o aumento do número de gemas florais prontas para a ântese. As diferenças quanto à sensibilidade de respos ta ao  $GA_{4-7}$  nas épocas III e IV podem estar relacionadas aos níveis do estresse hídrico a que os cafeeiros estiveram submetidos antes das pulverizações do  $GA_{4-7}$ .

O ABA não foi capaz de inibir a ação estimulatória das alterações ambientais sobre antese dos botões florais. Provavel mente, os níveis de ABA absorvidos pelas gemas florais não foram suficientes para exercer o efeito inibitório descrito na literatura (BROWNING,1977; BARROS et al., 1978). BROWNING (1971) sugeriu que o ácido giberélico não só é necessário para estimular a retomada do crescimento como também para contrapor-se à ação inibitória do ABA endógeno sobre o desenvolvimento das gemas florais dormentes.

O papel dos reguladores de crescimento na indução e diferenciação das gemas florais do cafeeiro ainda precisa serri gorosamente investigado. Estudos sobre os níveis endógenos dos principais fitormônios, nas diferentes fases de diferenciação das gemas reprodutivas, são fundamentais para orientar os estudos aplicados visando controlar o desenvolvimento e a antese das gemas florais de Coffea arabica.

## VI. CONCLUSÕES

A análise dos estádios de desenvolvimento morfológico demonstrou ser um método rápido e adequado para a avaliação, da dinâmica do processo de diferenciação e crescimento reprodutivos em Coffea arabica. Verificou-se que a distribuição das fases de desenvolvimento reprodutivo, ao longo do tempo, ajusta --se a uma curva normal (curva de Gauss).

Os estudos histológicos e as observações de campo in dicaram que as condições indutivas já estavam presentes no inicio de janeiro de 1981 e que o período indutivo estendeu-se até o mês de julho. Já na 1ª semana de março de 1980 e 1981, quase todas as gemas G<sub>1</sub> já haviam sido induzidas. A única variação ambiental com tendência bem definida, durante os meses de janeiro e fevereiro, foi a progressiva diminuição do fotoperíodo. To davia, o papel do fotoperíodo na indução de gemas reprodutivas é um aspecto que ainda requer investigações críticas, principalmente em condições controladas. Informações complementares, obtidas no campo e em condições simuladas, poderão fornecer um quadro mais nítido sobre o controle da indução de gemas florais de Coffea atabica.

A indução e a diferenciação das gemas reprodutivas parecem ser eventos fisiológicos controlados por fatores endóge nos e/ou ambientais diferentes. A intensificação do crescimento e diferenciação das gemas induzidas, a partir do mês de abril de 1980, 1981 e 1982, foi associada ao término da etapa de máxima mobilização de matéria seca pelas sementes ("granação"). As taxas de crescimento das gemas reprodutivas, até a época da co

lheita (29/5/80, 30/9/81 e 24/6/82), aparentemente, foram influenciadas pela quantidade de frutos presentes nos cafeeiros. Estudos mais detalhados provavelmente mostrarão que a velocidade da diferenciação reprodutiva é parcialmente condicionada pelo balanço entre a quantidade de frutos e a estrutura vegetativa dos cafeeiros (relação número de frutos/área foliar + área do sistema radicular). Após a maturação dos frutos, a restrição ao desenvolvimento das gemas reprodutivas deve ser de natureza hormo nal. As maiores taxas de crescimento e diferenciação foram registradas logo após a colheita parcial (junho de 1980 e 1981) ou total dos frutos (julho de 1982).

Durante o mês de julho de 1980 e 1981, as temperaturas médias de aproximadamente 16°C e 15°C provocaram grandes reduções nas taxas de crescimento. Temperaturas iguais ou superiores a 18°C favoreceram a diferenciação das gemas florais em agosto de 1980 e 1981 e em julho de 1982.

A maturidade fisiológica da grande maioria das gemas florais, no cultivar Catuai Vermelho, foi atingida durante omês de setembro, epoca em que as plantas estavam submetidas a severo estresse hídrico.

O cultivar Bourbon Amarelo revelou-se mais precoce que o cultivar Catuai Vermelho quanto ao desenvolvimento das gemas reprodutivas em 1981 e 1982, o que refletiu-se na época de florescimento.

Nos três anos consecutivos, as floradas principais somente ocorreram após um período de acentuado estresse hídrico (va

riável em sua duração), seguido de precipitações intensas, suficientes para o restabelecimento de um balanço hídrico favorável as atividades fisiológicas do cafeeiro. As floradas preliminares (agosto e início de setembro) aparentemente foram estimuladas por rápidas reversões no estado de estresse hídrico decorrentes de pequenas precipitações e/ou bruscas elevações na umidade relativa do ar. A magnitude das floradas depende do nível de maturidade fisiológica das gemas reprodutivas (mais adiantadas no cultivar Bourbon Amarelo).

Em Coffea arabica as gemas seriadas  $G_1$  e  $G_2$  são responsáveis pela produção de mais de 80% das flores e frutos. A desuniformidade de florescimento e maturação dos frutos é causada, principalmente, pela assincronia na diferenciação e crescimento das gemas florais formadas a partir das gemas  $G_1$  e  $G_2$ .

A maturação dos frutos em Coffea arabica nas condições de Campinas, mostrou-se influenciada por variações nas condições climáticas durante os meses de abril e maio, principalmen te por variações da temperatura e da intensidade de radiação so lar. Foram necessários, aproximadamente, 222 dias para a maturação dos frutos originados nas floradas de 1980 e 1981. O processo de maturação foi consideravelmente retardado e prejudiça do pelas condições anormais do tempo em abril e maio de 1983 - chuvas intensas, bem distribuídas e elevada nebulosidade. A limitação da radiação solar parece ter sido um dos principais fa tores responsáveis pelo atraso da maturação dos frutos em 1983. Esta observação tornou-se mais evidente quando se efetuou a comparação entre grupos de ramos submetidos a diferentes níveis de sombreamento, em função de sua posição no interior da copa dos

cafeeiros de 9 anos e 5 anos de idade.

As gemas florais, em sua fase final de desenvolvimento, mostraram-se sensíveis às pulverizações de giberelinas  $A_4$  -  $A_7$ . O  $GA_{4-7}$  aumentou a quantidade de flores abertas nas floradas promovidas por alterações ambientais (pequenas precipitações e rápidas elevações da umidade relativa do ar durante o período seco).

Os resultados de 1981 indicaram que a disponibilidade de água é essencial para garantir flores e fecundações normais, após o estímulo da antese. Os tratamentos GA-II e GN-II aumentaram a abscisão das flores abertas em setembro e o percentual de atrofias florais durante a <u>florada principal</u> de 1981 provavelmente por terem promovido a ântese durante um período de <u>a</u> centuado déficit hídrico.

Aparentemente as unidades experimentais mais adequa das para se estudar o efeito de reguladores de crescimento so bre o desenvolvimento reprodutivo de Coffea arabica são as plantas individuais. As pulverizações, atingindo as plantas como um todo, aumentam a probabilidade de se alterar o nível endógeno de fitorreguladores, tendo em vista a grande área de absorção dos reguladores de crescimento.

## VII. RESUMO

O ciclo reprodutivo de plantas adultas de Coffea arabica pertencentes aos cultivares Catuai Vermelho e Bourbon Amarelo, foi estudado no Centro Experimental de Campinas do Instituto Agronômico, São Paulo (latitude 22°53'S), nos anos de 1980, 1981 e 1982.

Realizaram-se medidas de crescimento e caracterização morfológica de gemas axilares, situadas em ramos plagiotrópicos de 1º produção, em intervalos quinzenais. Ramos foram coleta dos para as observações de laboratório com o auxílio de uma lu pa estereoscópica. Parte deste material coletado foi fixado em FAA 50% para posterior preparo de cortes histológicos. As ava liações de crescimento foram feitas no campo, de abril até a é poca da florada principal (setembro-outubro). Durante as flora das, realizaram-se observações sobre o numero das gemas florais, flores abertas, chumbinhos e anormalidades florais ("perdas"). A valiou-se a maturação dos frutos das quatro floradas de 1980 (cv. Catuai Vermelho), das floradas principais de 1981 (Catuai Ver melho, Bourbon Amarelo, Arábica e Mundo Novo) e de 1982 (plantas do cultivar Catuai Vermelho de 9 anos e 5 anos de idade). Estu dou-se o efeito da aplicação de fitorreguladores sobre a renciação e antese das gemas florais em 1981 e 1982.

A análise histológica das gemas axilares indicou que as condições indutivas já estavam presentes no início de janei ro de 1981 e que quase todas as gemas já estavam induzidas na primeira semana de março em dois anos consecutivos deste estudo (1980 e 1981). As observações de campo permitiram concluir que

o período indutivo estendeu-se até o final do mês de julho, em 1980.

As curvas de crescimento, de diferenciação histológica e de diferenciação morfológica sugeriram que a indução e diferenciação das gemas reprodutivas são eventos fisiológicos con trolados por fatores ambientais e endógenos diferentes. Discute-se a influência dos frutos (produção bienal) e das condições ambientais (temperatura e balanço hídrico) sobre a taxa de crescimento e diferenciação das gemas reprodutivas. As taxas de crescimento e desenvolvimento mostraram-se limitadas pela presença e pela quantidade de frutos. Após a colheita, as condições ambientais, particularmente as variações na temperatura, tiveram um papel preponderante.

Verificou-se que a distribuição das fases de desenvolvimento reprodutivo, ao longo do tempo, ajustou-se a uma curva normal (curva de Gauss).

0 cultivar Bourbon Amarelo demonstrou maior precocida de quanto ao crescimento e diferenciação das gemas induzidas du rante as floradas de 1981 e 1982.

As floradas principais de 1/10/80 (antese de 64,2% dos botões florais), de 10/10/81 (83,1%) e de 12/10/82 (47,1%) foram registradas após períodos de acentuado déficit hídrico, seguidos de intensas precipitações (56,8 mm - 1980; 74,5 mm, 1981 e 47,0 mm, 1982). As pequenas floradas, ocorridas durante a época seca (agosto e setembro), parecem ter sido estimulados por rápidas inversões do balanço hídrico dos cafeeiros após pequenas preci

pitações e/ou rápidos aumentos na umidade relativa do ar.

Apesar de existir 4-5 gemas seriadas em cada axilar foliar, apenas duas gemas ( $G_1$  e  $G_2$ ) são responsáveis por mais de 80% das flores e frutos de Coffea arabica.

Os frutos do cultivar Catuai Vermelho, originados nas 4 floradas de 1980 e na florada principal de 1981 necessitaram de aproximadamente 222 dias para atingirem a maturidade (80% de frutos vermelho-escuros).

Discute-se a influência de fitorreguladores exógenos sobre a diferenciação e antese das gemas florais em 1981 e 1982.

Ċ

## VIII. REFERÊNCIAS

- ALÈGRE, G. 1959. Climats et caféiers d'Arabie. Agron. Trop. 14 (1): 23-58.
- ALMEIDA, S.R.; MATIELLO, J.B. & MIGUEL, A.E. 1982. Efeito da densidade foliar sobre a queda de frutos e a produção do cafeeiro. <u>In</u>: Colóquio da Associação Científica Internacional do Café, 10, Salvador, Bahia. <u>Resumos</u> p. 44-45.
- ALVIM, P. de T. 1958. Estímulos de la floración y frutificación del cafeto por aspersiones con ácido giberélico. <u>Turri</u>alba 8 (2): 64-72.
- ALVIM, P. de T. 1960 a. Fisiologia del crecimiento y de la floración del cafeto. Turrialba 2 (6): 57-64.
- ALVIM, P. de T. 1960 b. Moisture stress as a requirement for flowering of coffee. Science 132: 354.
- ALVIM, P. de T. 1973. Factors affecting flowering of coffee.

  In: Srb. A. N. Genes, enzymes and populations. London,

  Plenum Press, p. 193-202.
- BARROS, R.S. & MAESTRI, M. 1972. Periodicidade de cresci-mento em café. <u>Rev. Ceres</u> <u>19</u> (106): 424-448.
- BARROS, R. S.; MAESTRI, M. & MOREIRA, R. C. 1982. Sources of as similates for expanding flower buds of coffee. <u>Turrialba</u> 32(4): 371-377.

- BOYER, J. 1969. Étude Expérimentale des effets du régime d'humidité du sol sur la croissance végétative, la floraison e la fructification des caféiers robusta. <u>Café Cacao Thé 13</u> (3): 187-200.
- BARROS, R.S., MAESTRI, M. & COONS, M.P. 1978. The physiology of flowering in coffee: a review. <u>J. Coffee Res. 8</u> (2/3): 29-73.
  - BROWNING, G. 1971. The hormonal regulation of flowering and cropping in Coffea anabica L. Ph.D.Thesis. University of Bristol, England. 136 p.
  - BROWNING, G. 1973 a. Flower bud dormancy in Coffea arabica

    L. I. Studies of gibberellin in flower buds and xylem sap
    and abscisic acid in flower buds in relation to dormancy
    release. J. Hort. Sci. 48: 29-41.
  - BROWNING, G. 1973 b. Flower bud dormancy in Coffea anabica

    L. II. Relation of cytokinins in xylem sap and flower buds
    to dormancy release. J. Hort. Sci. 48: 297-310.
  - BROWNING, G. 1975. Shoot growth in Coffee arabica L., responses to rainfall when the soil moisture status and gibberellin supply are not limiting. J. Hort. Sci. 50: 1-11.
  - BROWNING, G. 1977. Environmental control of flower bud development in Coffea anabica L. In: J.J. LANDSBERG & C. V. CUTTING (eds). Environmental effects on crop physiology. New York, Academic Press. p. 321-331.

- BROWNING, G. & FISHER, N.M. 1975. Shoot growth in Coffee arabica L. II. Growth flushing stimulated by irrigation. J. Hort. Sci. 50: 207-218.
- BROWNING, G.; HOAD, G.V. & GASKIN, P. 1970. Identification of abscisic acid in flower buds of Coffea arabica L. Planta (Berl.) 94: 213-219.
- BUBAN, T. & FAUST, M. 1982. Flower bud induction in apple trees: internal control and differentiation. <u>Hort. Rev. 4</u>: 174-203.
- CAIXETA, I.F. 1981. Maturação fisiológiva da semente do cafeeiro (Coffea arabica L.) cv. Mundo Novo. Tese de Mestrado. Escola Superior de Agricultura de Lavras (MG). 48p.
- CAMARGO, A.P. de 1977. Zoneamento da aptidão climática para a cafeicultura de arábica e robusta no Brasil. <u>In: FUNDAÇÃO INSTITUTO BRASILEIRO DE GEOGRAFIA E ESTATÍSTICA.</u> Recursos naturais, meio ambiente e poluição contribuição de um ciclo de debates. Rio de Janeiro, SUPREN, p. 68-76. (<u>1</u> Recursos Naturais).
- CAMARGO, A.P. de 1983. Introdução do café não fotoperiódico, variedade semperflorens, nas condições climáticas de verão seco e inverno úmido do nordeste brasileiro. <u>In</u>: Congresso Brasileiro de Agrometeorologia, 3, Campinas S.Paulo. <u>Resumos</u>, p. 188-190,

- CAMARGO, M.B.P.; PINTO, H.S.; ALFONSI, R.R.; ORTOLANI, A.A.

  8 NÓBREGA, M. 1979. Relação entre parâmetros hidrometereo
  lógicos e produtividade do cafeeiro no Estado de São Paulo.
  Congresso Brasileiro de Agrometeorologia, 1, Mossoró (RN)
  ANAIS. p. 78-79.
  - growth rates of developing fruits of Collea anabica L. J. Hort. Sci. 46: 263-272.
  - CANNELL, M.G.R. 1971 b. Production and distribution of dry matter in trees of Coffea anabica L. in Kenya as affected by seasonal climatic differences and the presence of fruits.

    Ann. Appl. Biol. 67: 99-120.
- the seasonal fruiting pattern of Arabica coffee in Kenya.

  J. Hort. Sci. 46: 289-298.
- CANNELL, M.G.R. 1972. Photoperiodic response of mature trees of Arabica coffee. <u>Turrialba 22</u> (2): 198-206.
- CANNELL, M.G.R. 1974. Factors affecting Arabica coffee bean size in Kenya. <u>J. Hort. Sci. 49</u>: 65-76.
- CANNELL, M.G.R. 1975. Crop physiological aspects of coffee bean yield: a review. <u>J. Coffee Res. 5</u> (1/2): 7-20.
- CANNELL, M.G.R. & HUXLEY, P.A. 1969. Seasonal differences in the pattern of assimilate movement in branches of Coffea anabica L. Ann. Appl. Biol. 64: 345-357.

- CANNELL, M.G.R. & KIMEU, B.S. 1971. Uptake and distribution of macro-nutrients in trees of Coffea anabica L. in Kenya as affected by seasonal climatic differences and the presence of fruits. Ann. Appl. Biol. 68: 213-230.
- CARVAJAL, J.F.; ACEVEDO, A. & LOPEZ, C.A. 1969. Nutrient uptake by the coffee tree during a yearly cycle. <u>Turrialba</u>

  19 (1): 13-29.
- CARVALHO, A.; KRUG, C.A. & MENDES, J.E.T. 1950. O dimor-fismo dos ramos em Coffea arabica L. <u>Bragantia</u> 10 (6).151-159.
- CARVALHO, A.; FERWERDA, F.P.; FRAHM-LELIVELD, J.A.; MEDINA, D.M.; MENDES, A.J.T. & MONACO, L.C. 1969. Coffee. F.P. FERWERDA & F. WIT (eds.). Outlines of perennial crop breeding in the tropics. Netherlands, H.Veenman & Zonen N. V. Wageningen. p. 189-241.
- CASTILLO, Z.J. & R. LOPEZ, A. 1966. Nota sobre el efecto de la intensidade de la luz en la floración del cafeto. <u>Cenicafé</u> (Colombia) <u>17</u>: 51-60.
- CLOWES, M. ST. J. 1977. The effects of ethrel on ripening Coffea anabica L. fruits at different stages of maturity.

  Rhod. J. Agric. Res. 15: 79-93.
- CLOWES, M. ST. J. & ALLISON, J.C.S. 1982. A review of the coffee plant (Coffea arabica L.), its environment and management in relation to coffee growing in Zimbabwe.

  Zimbabwe J. Agric. Res. 20: 1-19.

- CLOWES, M. ST. J. & WILSON, J.H.H. 1977. The growth and development of lateral branches of Coffea anabica L. In Rhodesia. Rhod. J. Agric. Res. 15: 171-185.
- CROOPE, S. M. S., FREDERICO, D., MESTRI, M. & SANT'ANA, R. 1970.

  Variações no conteúdo de amido e açúcares nas corolas de café

  (Coffea arabica L.) durante a floração. Rev. Ceres, Viçosa 17(93):217-226.
- DEDECCA, D.M. 1957. Anatomia e desenvolvimento ontogenético de Coffea arabica L. var. Typica Cramer. <u>Bragantia 16</u> (23): 315-366.
- ESAU, K. 1960. Anatomy of seed plants. New York, Wiley. 376 p.
- FAZUOLI, L.C. 1977. Avaliação de Progênies de Café Mundo Novo (Coffea anabica L.). Dissertação de Mestrado. Escola Su perior de Agricultura "Luiz de Queiroz", da Univ. de São Paulo. 146 p.
- FISHER, N.M. & BROWNING, G. 1978. The water requirements of high density coffee. 1. Responses to irrigation and plant water stress measurements. Kenya coffee 43 (503): 43 46.
- FRANCIS, C.A. 1972. Natural daylengths for photoperiod sensitive plants. Colombia, CIAT., 32 p. (Technical, Bulletin, 2).

- FRANCO, C.M. 1940. Fotoperiodismo em cafeeiro (Coffea arabíca L.). Rev. Inst. Cafe, São Paulo, 27: 1586-1592.
- FRANCO, C.M. 1958. Influência da temperatura no crescimento do cafeeiro. New York, <u>IBEC Research Institute</u>. 27 p. (n. 16).
- FRANCO, C.M. 1982 a. Efeito da temperatura do solo e suas os cilações sobre o crescimento e o acúmulo de nutrientes nas partes aéreas do cafeeiro. <u>Turrialba</u> 32 (3): 249-255.
- FRANCO, C.M. 1982 b. Efeito de temperaturas supra-otimas no sistema radicular, no crescimento e na absorção e translocação de nutrientes em cafeeiros cultivados em solução nutritiva. Turrialba 32 (3): 243-247.
- FREDERICO, D. & MAESTRI, M. 1970. Ciclo de crescimento dos botões florais de café (Coffea arabica L.). Rev.Ceres, Viçosa, 17 (92): 171-181.
- GOMEZ-GOMEZ, L. 1977. Influência de los factores climáticos sobre la peridicidad de crecimiento del cafeto. <u>Cenicafé</u> 28 (1): 3-17.
- GOPAL, N.H. 1974. Some aspects of hormonal balance in coffee. <u>Indian Coffee 38</u>: 168-175.
- GOPAL, N.H. & RAJU, K.I. 1978. Physiological studies on flowering in coffee under South Indian conditions. VIII Number of flower buds in relation to wood starch of cropping branches. <u>Turrialba 28</u> (4): 311-313.

- GOPAL, N.H. & VASUDEVA, N. 1973. Physiological studies of flowering in arabica coffee under South Indian conditions.

  I Growth of flower buds and flowering. Turrialba 23(2):: 146-153.
- GOPAL, N.H. & VENKATARAMANAN, D. 1976. Physiological studies of flowering in coffee under South Indian conditions. V Growth substance content during flower bud enlargement and anthesis. Turrialba 26 (1): 74-79.
- GOPAL, N.H. & VISHVESHWARA, S. 1971. Flowering of coffee under South Indian conditions. Indian Coffee 35: 142-154.
- GOPAL, N.H.; VENKATARAMANAN, D. & RAJU, K.I. 1975 a.

  Physiological studies on flowering in coffee under South

  Indian conditions. II Changes in water content, growth

  rate, respiration and carbohydrate metabolism of flower buds

  during bud enlargment and anthesis. Turrialba 25 (1):29-36.
- GOPAL, N.H.; RAJU, K.I.; VENKATARAMANAN, D. & JANARDHAN, K. V. 1975 b. Physiological studies on flowering in coffee under South Indian conditions. III Flowering in relation to foliage and wood starch. Turrialba 25 (3): 239-242.
- HSIAO, T.C.; ACEVEDO, E.; FERERES, E. & HENDERSON, D.W.

  1976. Water stress, growth and osmotic adjustment. <u>In</u>

  Phil Trans. R. Soc. Lond. B. 273 (927): 479-500.
- HUMPHREY, D.M. & BALLANTYNE, D.J. 1974. Diurnal and annual fluctuations of gibberellins in the leaves of Coffee anabica L. <u>Turrialba</u> 24 (4): 360-366.

- JACKSON, D.I. & SWEET, G.B. 1972. Flower initiation in temperate woody plants (A review based largely on the literature of conifers and decidous fruit trees). Hort.

  Abstr. 42: 9-24.
- JANARDHAN, K.V.; GOPAL, N.H. & RAMAIAH, P.K. 1971 a. Carbohydrate reserves in relation to vegetative growth, flower bud formation and crop levels in Arabica coffee. Indian Coffee 35: 145-148.
  - JANARDHAN, K.V.; GOPAL, N.H. & RAMAIAH, P.K. 1971 b.

    Starch scoring by visual observation in fresh wood of coffee plants. Indian Coffee 35: 219-221.
  - JANARDHAN, K.V.; RAJU, K.I. & GOPAL, N.H. 1977.

    Physiological studies on flowering in coffee under South

    Indian conditions. VI Changes in growth rate indolacetic acid and carbohydrate metabolism during flower bud

    development and anthesis. Turrialba 27 (1): 29-35.
- JARAMILLO-ROBLEDO, A. & VALENCIA-ARISTIZÁBAL, G. 1980. Los elementos climáticos y el desarrollo de Coffea arabica L., en Chinchiná, Colombia. Cenicafé 31 (4): 127-143.
- JOHANSEN, D.A. 1940. <u>Plant Microtechique</u>. New York. McGraw HILL Book Company. 523 p.
- KRUG., C.A.; MENDES, J.E.T. & CARVALHO, A. 1939. Taxonomia de Coffea arabica L. descrição das variedades e formas encontradas no Estado de São Paulo. Campinas, Instituto Agronômico. 58 p. ilus. (Boletim técnico, 62).

- ASPECTS of high density plantings of coffee (Coffea arabica L.). Kenya Coffee 43 (510): 263-272.
- KUMAR, D. 1979 a. Some aspects of plant-water-nutrient relationship in Coffea anabica L. Kenya coffee 44 (517): 15-21.
- KUMAR, D. 1979 b. Some aspects of the physiology of Coffee arabica L. A review. Kenya Coffee 44 (519): 9-47.
- KUMAR, D. 1982. Primary investigations into some flowering abnormalities of coffee in Kenya. <u>Kenya Coffee 47</u> (550):: 16-24.
- KUMAR, D. & TIESZEN, L.L. 1980 . Photosynthesis in Coffea arabica L. I Effects of light and temperature.

  Expl. Agric. 16: 13-19.
- KUMAR, D. & TIESZEN, L.L. 1980 b. Photosynthesis in Coffea arabica L. II Effects of water stress. Expl.

  Agric. 16: 21-27.
- LABOURIAU, L. G. 1969. Flower initiation in Vicia graminea

  Sm. An. Acad. Bras. Cienc. 41 (3): 453-469.
- MAESTRI, M. & BARROS, R.S. 1977. Coffee. <u>In:</u> P. de T. ALVIM & T. T. KOZLOWISKI (eds.) New York. Academic Press, Inc. p. 249-278.

- MAGALHÃES, A.C. & ANGELOCCI, L.R. 1976. Sudden alterations in water balance associated with flower bud opening in coffee plants. J. Hort. Sci. 51: 419-423.
- MATHER, K. 1947. Statistical analysis in biology. 2ª ed.

  New York, Interscience Publishers Inc. 267 p.
- MENDES, A.J.T. 1942. Observações citológicas em Coffea. VI Desenvolvimento do embrião e do endosperma em Coffea anabica
  L. Bragantia 2 (4): 115-128.
- MENDES, J. E.T. 1951. III Ensaio de variedades de cafeei ros. Bragantia 11: 29-43.
- MES, M.G. 1957. Estudos sobre o florescimento de Coffea arabica L. New York, IBEC Research Institute. 48 p. (nº14).
- MEULEN, A. van der 1939. On the structure and periodical development of the flower buds of coffee species. (Engl. summ.) Proc. Roy. Neth. Acad. of Sci 38 (2): 1-128.
- MOENS, P. 1962. Étude écologique du développment génératif et végétatatif des bourgeons de Coffea canephora Pierre. (L'initiation florale). Publ. Inst. Nacional pour l'étude Agronomique du Congo (INÉAC). 96: 103 p.
- MOENS, P. 1963. Les bourgeons végétatifs et génératifs de Coffea canephora Pierre. (Étude morphologique et morfogénétique). La cellule 63 (2): 165-244.

- MONACO, L.C. & SONDAHL, M.R. 1974. Emprego do etileno na maturação de frutos de café. <u>Pesq. Agropec. Bras. 9</u>: 135 -
- MONACO. L.C.; MEDINA FILHO, H.P.; SONDAHL, M.R. & ALVES DE LIMA, M.M. 1978. Efeito de dias longos no crescimento e florescimento de cultivares de café. <u>Bragantia</u> 37 (4): 25-32.
- MONSELISE, S.P. & GOLDSCHMIDT, E.E. 1982. Alternate bearing in fruit trees. Hort. Rev. 4: 128-173.
- MOSS, G.I. & BEVINGTON, K.B. 1977. The use of gibberellic acid to control alternate cropping of Late Valencia Sweet Orange. Aust. J. Agric. Res. 28: 1041-54.
- NUNES, M.A. 1976. Water relations in coffee. Significance of plant water deficits to growth and yield: a review.  $\underline{J}$ . Coffee Res. 6 (1): 4-21.
- NUNES, M.A.; BIERHUIZEN, J.F. & PLOEGMAN, C. 1968. Studies on productivity of coffee. I Effect of light, temperature and CO<sub>2</sub> concentration on photosynthesis of Coffee arabical. Acta Bot. Neerl. 17 (2) 93-102.
- NUTMAN, F.J. (1933). The root system of Coffea arabica L.

  Emp. J. Exp. Agric. 1: 271-285.
- OPILE, W.R. 1978. Influence of fruit stage on the use of (2 chloroethyl) phosphonic acid (CEPA) in Kenya. Kenya Coffee 43 (510): 253-260.

- OPILE, W.R. 1979. Hormonal relations in fruit growth and development of Coffee anabica L. Kenya Coffee 44 (520): 13-21.
- OYEBADE, T. 1976. Influence of pre-harvest sprays of ethrel on ripening and abscission of coffee berries. <u>Turrialba</u> 26 (1): 86-89.
- PHARIS, R.P. 1977. Interaction of native or exogenous plant homones in the flowering of woody plants. <u>In H. R. SCHUTTE</u> & D. GROSS (eds.). Regulation of Developmental Processes in plants.: <u>Proceedings</u> p. 343-360.
- PIRINGER, A.A. & BORTHWICK, H.A. 1955. Photoperiodic responses of coffee. <u>Turrialba 5</u> (3): 72-77.
- POPHAM, R.A. 1963. Developmental Studies of flowering.

  Columbus, Ohio State University. p. 138-156. (Papers, 687).
- RAYNER, R.W. 1946. Growth and bearing habits of Coffea arabica L. in Kenya and Southern India. E. Afr. Agric. J. 11: 251-255.
- REDDY, A.G.S. 1979. Quiescence of coffee flower buds and observations on the influence of temperature and humidity on its release. J. Coffee Res. 9 (1): 1-13.

- RENA, A. B., CALDAS, L. S. & JOHNSON, C. E. 1982. Fotossíntese e depauperamento de algumas progênies de café resistentes à ferrugem. In Congresso Brasileiro de Pesquisas Cafeeiras, 10, Pogos de Caldas (MG). Anais p. 171-172.
- SALISBURY, F.B. 1982. Photoperiodism. Hort. Rev. 4:66-105.
- SALISBURY, F.B. & ROSS, C.W. 1978. Plant Physiology, second ed. California, Wadsworth Publ. Co. Belmont. 436pp.
- SALISBURY, F. B. & ROSS, C. W. 1969. Plant Physiology. Wadsworth Publishing Company, Inc., Belmont, California, 747 p.
- SAM, 0. 1980. Crecimiento de yemas axilares de Coffea arabica, variedad "Caturra" en plantas cultivadas a plena exposicion solar. <u>Café y Cacao 2</u> (2): 48-54.
- SOKAL, R.R. & ROHLF, F.J. 1969. <u>Biometry</u>. San Francisco, W. H. Freeman and Company. 776 p.
- SONDAHL, M.R. & SHARP, W.R. 1979. Research in <u>Coffea</u> spp. and applications of tissue culture methods. <u>In</u> E.F. PADDOCK & V. RAGHAVAN (eds.). Plant cell and Tissue Culture: Principles and Applications. Columbus, Ohio State university Press. 527-584.
  - SONDAHL, M.R.; TEIXEIRA, A.A.; FAZUOLI, L.C. & MONACO, L.C.

    1975. Efeito do etileno sobre o tipo e qualidade da bebida
    do café. Turrialba 24 (1): 17-19.

- SYLVAIN, P.G. 1958. El ciclo de crecimiento de Cobbea arabica. <u>Turrialba</u>, IICA. 17 p.
- SYLVAIN, P.G. 1959. Some Physiological Disorders of Coffee.

  I Die back. Turrialba, IICA. 17 p. (Coffee & Cacao
  Training materials, 13).
- TROJER, H. 1954. El ambiente climatológico y el cultivo del cafe en Colombia. Boletin Informativo do CENICAFE, 5 (57): 22-37.
- TROJER, H. 1956. La investigacion Agroclimatologica para el cultivo del cafe en Colombia. <u>Boletin Informativo do CENICA-FE, 7</u> (75): 78-101.
- TROJER, H. 1968. The phenological equator for coffee planting in Colombia. Symposium of Agroclimatological Methods 7, Paris (UNESCO). <u>Proceedings</u>. p. 107-103.
- VAADIA, Y. 1976. Plant hormones and water stress. <u>In: Phil.</u>

  <u>Trans. R. Soc. Lond. B. 273</u> (927): 513-522.
  - VASUDEVA, N. 1979. The role (s) of carbohydrates in growth and development of coffee. <u>Indian Coffee 43</u>: 127-128/123.
  - VASUDEVA, N. & RAMAIAH, P.K. 1979. The growth and development of arabica coffee under South Indian conditions.

    J. Coffee Res. 9 (2): 35-45.

- VASUDEVA, N. & RATAGERI, M.C. 1981. Studies on leaf to crop ratio in two commercial species of coffee grown in India. J. Coffee Res. 11 (4): 129-136.
- WENT, F.W. 1957. The Experimental Control of Plant Growth.

  Waltham, Chronica botanica. 343 p. (Chronica botanica, 17).
- WORMER, T.M. δ GITUANJA, J. 1970 a. Floral initiation and flowering of Coffea arabica L. in Kenya. Expl. Agric. 6: 157-170.
- wormer, T.M. & GITUANJA, J. 1970 b. Seasonal patterns of growth and development of arabica coffee in Kenya. Kenya Coffee 35: 270-277.
- wormer, T.M. & NJUNGUNA, S.G. 1966. Bean size and shape as quality factors in Kenya Coffee. Kenya Coffee 31: 397 405.
- ZEEVAART, J.A.D. 1976. Physiology of flower formation. Ann Rev. Plant Physiol. 27: 321-348.